Serviço Público Federal



Ministério da Educação

FUNDAÇÃO UNIVERSIDADE FEDERAL DE MATO GROSSO DO SUL



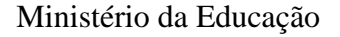
INSTITUTO DE QUÍMICA

PROGRAMA DE PÓS-GRADUAÇÃO EM QUÍMICA

Eletroconversão eficaz de nitrato em amônia usando um catalisador emaranhado de Co₃O₄ com nanofitas de grafeno

MARCIÉLLI KAROLINE RODRIGUES DE SOUZA

Serviço Público Federal





FUNDAÇÃO UNIVERSIDADE FEDERAL DE MATO GROSSO DO SUL



INSTITUTO DE QUÍMICA

PROGRAMA DE PÓS-GRADUAÇÃO EM QUÍMICA

Eletroconversão eficaz de nitrato em amônia usando um catalisador emaranhado de Co₃O₄ com nanofitas de grafeno

MARCIÉLLI KAROLINE RODRIGUES DE SOUZA

Tese apresentada ao Programa de Pós-Graduação em Química — Nível de Doutorado — da Universidade Federal de Mato Grosso do Sul como pré-requisito para obtenção do título de Doutora em Química.

Orientador: Prof. Dr. Gilberto Maia

Campo Grande – MS

AGRADECIMENTOS

A Deus, pela saúde e bênçãos recebidas, que permitiram a conclusão de mais um ciclo.

Aos meus familiares, que sempre me incentivaram e me ajudaram a conquistar meus objetivos; em especial aos meus pais Carla e Emerson, e ao meu irmão Matheus, que sempre me apoiaram e dedicaram momentos de suas vidas para me ajudarem em mais uma das minhas empreitadas; e à minha vó Judite (*in memorian*), que sempre foi paz em todos os momentos da minha vida, rezou, me inspirou e torceu por mim. Ao meu sobrinho Rafael, que preenche meu coração de alegria.

Ao meu professor orientador, Gilberto Maia, pela confiança, oportunidade e por todo conhecimento e ensinamento que recebi nesta etapa; figura importantíssima para minha formação como pesquisadora e como pessoa.

Aos meus colegas de laboratório, que tornaram o caminho mais tranquilo com momentos de descontração com conversas e cafés, em especial ao Clauber, Eduardo, Hebert, Letícia e Guilherme, que também contribuíram muito com seus conhecimentos.

Ao Nico vidreiro da UFMS pelo auxílio na construção das células eletroquímicas.

Ao Guilherme, meu noivo, por todo apoio, incentivo, cuidado e pelos momentos de carinho.

Aos meus amigos Suzana, Natalia, Viviane, Poliane, Janaina, Amanda, Dona Maria e Ilza, pelo apoio e orações.

Aos órgãos de fomento Capes (CAPES-PRINT projeto 88881.311799/2018-01 e CAPES — Código Financeiro 001), CNPq (Projetos 465571/2014-0; 302874/2017-8; 427452/2018-0; 303351/2018-7; 405742/2018-5; 380886/2020-0; 303943/2021-1; 302561/2022-6; 151161/2023-2 e 402115/2023-6), Fundect-MS (Projetos 71/020.168/2021, 71/027.195/2022 e 71/039.199/2022), ao Laboratório de Caracterização Estrutural (LCE/DEMa/UFSCar) e a Universidade Federal de Mato Grosso do Sul (UFMS/MEC — Brasil) pelas instalações gerais disponibilizadas para a condução dos experimentos.

"Você não pode esperar construir um mundo melhor sem melhorar os indivíduos. Para esse fim, cada um de nós deve trabalhar para o seu próprio aperfeiçoamento e, ao mesmo tempo, compartilhar uma responsabilidade geral por toda a humanidade." (Marie Curie)

RESUMO

Tem havido um enorme interesse entre os cientistas na redução eletroquímica de nitrato (NO₃⁻) em amônio (NH₄⁺) devido a aplicação útil do NH₄⁺ em fertilizantes e combustíveis nitrogenados. Para conduzir uma reação de redução tão complexa, que envolve 8 elétrons e 8 prótons, é preciso desenvolver eletrocatalisadores de alto desempenho e estáveis, que favoreçam a formação de intermediários de reação que sejam seletivos para produção de amônia. No presente estudo empregou-se um método hidrotérmico simples, que envolveu a mistura de CoCl₂·6H₂O, ureia e nanofitas de grafeno (GNR), para síntese dos seguintes eletrocatalisadores: Co₃O₄(Cont.75%), Co₃O₄(Cont.38%)GNR, Co₃O₄(Cont.55%)GNR, Co₃O₄(Cont.53%)GNR e GNR(Cont.0%). O catalisador Co₃O₄(Cont.55%)GNR demonstrou a melhor resposta, sendo capaz de converter NO₃⁻ em NH₄⁺ com uma taxa de rendimento de 42,11 mg h⁻¹ mg_{cat}⁻¹, uma eficiência faradaica (EF) de 98,7%, uma eficiência de conversão de NO₃⁻ de 14,71% e uma seletividade de NH₄+ de 100%, utilizando apenas 37,5 µg cm⁻² de catalisador. (20,6 μg cm⁻² de Co foi aplicado), confirmado por carregamentos variando de 19 – 150 μg cm⁻². Os resultados altamente satisfatórios obtidos para o catalisador proposto foram favorecidas por altos valores de área eletroquimicamente ativa (ECSA, sigla do inglês) e baixos valores de R_{tc}, juntamente com a presença de vários planos no Co₃O₄ e a ocorrência de uma espécie de "complexo (Co₃(Co(CN)₆)₂(H₂O)₁₂)_{1,333}" (emaranhamento envolvendo os elementos Co, C, O e N) na superfície do catalisador, além da migração efetiva de NO₃⁻ do ramo catódico para anódico, no qual foi confirmado no experimento conduzido usando uma célula H separada por membrana de Nafion 117. Os resultados in situ de FTIR e espectroscopia Raman ajudaram a identificar os intermediários adsorvidos, como, NO₃-, NO₂-, NO e NH₂OH, e o produto NH₄+, os quais são compatíveis com o mecanismo de eletrorredução. Os cálculos da Teoria do Funcional da Densidade (DFT, sigla do inglês) ajudaram a confirmar que o catalisador Co₃O₄(Cont.55%)GNR exibiu a melhor performance em termos de eletrorredução de NO₃⁻ em comparação ao Co₃O₄(Cont.75%), considerando os intermediários identificados pelos resultados in situ de FTIR e espectroscopia Raman e a etapa determinante da taxa (RDS) observada para a transição do *NO para *NHO (0,43 eV).

Palavras chaves: Amônia, eletrorredução de nitrato, nanofitas de grafeno, Co₃O₄, emaranhamento.

ABSTRACT

There has been significant interest among scientists in the electrochemical reduction of nitrate (NO₃⁻) to ammonium (NH₄⁺) due to the useful application of NH₄⁺ in fertilizers and nitrogenbased fuels. To carry out such a complex reduction reaction, which involves 8 electrons and 8 protons, it is necessary to develop high-performance and stable electrocatalysts that favor the formation of reaction intermediates selective for ammonia production. In the present study, a simple hydrothermal method was employed, involving the mixture of CoCl₂·6H₂O, urea, and graphene nanoribbons (GNR), to synthesize the following electrocatalysts: Co₃O₄(Cowt.%75), Co₃O₄(Cowt.%38)GNR, Co₃O₄(Cowt.%55)GNR, Co₃O₄(Cowt.%53)GNR, and GNR(Cowt. %0). The Co₃O₄(Cowt.%55)GNR catalyst exhibited the best performance, capable of converting NO₃⁻ to NH₄⁺ with a yield rate of 42.11 mg h⁻¹ mg⁻¹ catalyst, a Faradaic efficiency (FE) of 98.7%, a nitrate conversion efficiency of 14.71%, and an NH₄⁺ selectivity of 100%, using only 37.5 µg cm⁻² of catalyst (20.6 µg cm⁻² of Co applied), confirmed by loadings ranging from 19 to 150 µg cm⁻². The highly satisfactory results obtained for the proposed catalyst were favored by high values of electrochemically active surface area (ECSA) and low values of R_{ct}, along with the presence of multiple planes in Co₃O₄ and the occurrence of a "complex (Co₃(Co(CN)₆)₂(H₂O)₁₂)_{1.333}" (entanglement involving the elements Co, C, O, and N) on the catalyst surface, as well as the effective migration of NO₃- from the cathodic branch to the anodic one, which was confirmed in the experiment conducted using a H-cell separated by a Nafion 117 membrane. In-situ FTIR and Raman spectroscopy results helped identify the adsorbed intermediates, such as NO₃⁻, NO₂⁻, NO, and NH₂OH, and the NH₄⁺ product, which are consistent with the electroreduction mechanism. Density Functional Theory (DFT) calculations helped confirm that the Co₃O₄(Cowt.55%)GNR catalyst exhibited the best performance in terms of NO₃⁻ electroreduction compared to Co₃O₄(Cowt.75%), considering the intermediates identified by in-situ FTIR and Raman spectroscopy results and the ratedetermining step (RDS) observed for the transition from *NO to *NHO (0.43 eV).

Keywords: Ammonia, nitrate electroreduction, graphene nanoribbon, Co₃O₄, entanglement.

LISTA DE ABREVIATURAS E SIGLAS

AE Análise Elementar

AAS Espectroscopia de Absorção Atômica (Atomic Absorption

Spectrometry)

CA Cronoamperometria

 C_{dc} Capacitância da dupla camada

CE Contra eletrodo

CI Cromatógrafo de íons

 C_s Capacitância específica

DFT Teoria do funcional da densidade (Density Functional Theory)

DRX Difração de Raios-X

 E° Potencial termodinâmico padrão

ECSA Área superficial eletroquimicamente ativa (electrochemical active

surface área)

EDX Energia dispersiva de Raios-X

EF Eficiência faradaica

EIE Espectroscopia de impedância eletroquímica

ER Eletrodo de referência

ERH Eletrodo de referência de hidrogênio

ET Eletrodo de trabalho

F Constante de Faraday

GNR Nanofitas de grafeno (graphene nanoribbons)

GONR Nanofitas de óxido de grafeno (graphene oxide nanoribbons)

HER Reação de evolução de hidrogênio (hydrogen evolution reaction)

HRTEM Microscopia eletrônica de transmissão de alta resolução (high resolution

transmission electron microscopy)

i Corrente

 I_a Corrente anódica I_c Corrente catódica

j Densidade de corrente

LSV Voltametria de varredura linear (Linear sweep voltammetry)

MWCNT Nanotubos de carbono de paredes múltiplas (multiwalled carbon

nanotubes)

 η Sobrepotencial

PC Papel carbono

PCA Potencial de circuito aberto

Q Carga

RDS Etapa determinante da velocidade (Rate determining step)

Rs Resistência da solução

R_{tc} Resistência de transferência de carga

SEM Microscopia Eletrônica De Varredura (Scanning Electron Microscopy)

TEM Microscopia Eletrônica De Transmissão (Transmission Electron

Microscopy)

TCD Detector de condutividade térmica (Thermal conductivity detector)

TG Termogravimetria

UV Ultravioleta

N Velocidade de varredura

VC Voltametria de varredura cíclica

vs. Versus

XPS Espectroscopia de fotoelétrons excitados por Raios-X (X-ray

photoelectron spectroscopy)

ΔG Variação de energia livre de Gibbs

LISTA DE FIGURAS

FRA2.X e (B) AFCBP1 da Pine Research Instrumentation	57
Figura 10. Potenciostato/galvanostato (A) PGSTAT128N da Autolab com um m	ódulo
	56
(ERH), eletrodo de trabalho (PC com e sem modificação) e contra eletrodo (haste de gr	afite).
separado por membrana de Nafion 117; conjunto com três eletrodos: eletrodo de refer	rência
Figura 9. Imagem da célula eletroquímica tipo H com compartimento do cátodo e a	anodo
eletrodo de trabalho (PC com e sem modificação) e contra eletrodo (haste de grafite)	55
separado por vidro sinterizado; conjunto com três eletrodos: eletrodo de referência (I	ERH),
Figura 8. Imagem da célula eletroquímica tipo H com compartimento do cátodo e a	anodo
padrões para posterior análise no AAS	54
Figura 7. Imagem representativa do esquema da digestão ácida dos compós	
	53
$Co_3O_4(Cont.55\%)GNR \text{ em } A = 1 \text{ cm}^2$: (a) 19,0; (b) 37,5; (c) 56,0; (d) 75,0; (e) 150 µg	
Figura 6. Eletrodo de PC em diferentes carregamentos do catali	isador
variações de óxidos de Co com GNR ou não.	52
Figura 5. Imagem representativa do esquema de síntese dos compósitos para as div	
unico. Ponte, adaptado da referencia [74].	42
Figura 4. Diagrama de blocos de um espectrofotômetro de absorção atômica de único. Fonte: adaptado da referência [74].	
	c ·
Adaptado da referência [75]	39
potencial inicial como E_1 e o potencial final E_2 . Dado que E_1 é positiva é apenas para ilustr	ração.
Figura 3. Gráfico da variação do potencial aplicado com o tempo, apresentar	ndo o
bulk, b) octaedro CoO ₆ e tetraedro CoO ₄ .	33
Figura 2. Vista esquemática da estrutura atômica relaxada do composto Co ₃ O ₄ (
literatura para eletrorredução de NO_3^- em NH_3	
Figura 1. Comparação dos catalisadores usando metais não nobres reportad	os na

Figura 11. Imagem de um Cromatógrafo de Íons modelo 930 Compact IC Flex
9componente da direita) e um autoinjetor 915 IC autosampler flex (componente da esquerda),
ambos da Metrohm. Fonte: do autor60
Figura 12. Imagem de um espectrofotômetro UV-visível da Hitachi (modelo U3000).
60
Figura 13. a) espectros de Raman, b) espectros de DRX, e c) espectros de HR-XPS para
O 1s e Co 2p para o GNR e Co ₃ O ₄ (puros), as diferentes combinações de Co ₃ O ₄ com GNR
(Co ₃ O ₄ (.)GNR) e Co ₃ O ₄ GNR pós–estabilidade)69
Figura 14. Espectros de XPS exploratório de Co ₃ O ₄ (Cont.75%), GNR(Cont.0%),
variações de Co ₃ O ₄ (.)GNR e o Co ₃ O ₄ GNR pós estabilidade71
Figura 15. Espectros de HR–XPS para C 1s para o GNR(Cont.0%), Co ₃ O ₄ (Cont.75%),
variações de Co ₃ O ₄ (.)GNR e Co ₃ O ₄ GNR pós-estabilidade
Figura 16. Curvas de TG obtidas para os materiais GNR(Cont.0%) e Co ₃ O ₄ (Cont.75%)
puros, e para as diferentes variações de Co ₃ O ₄ (.)GNR
Figura 17. Imagens com mapeamento SEM para Co ₃ O ₄ (Cont.75%), para as diferentes
variações Co ₃ O ₄ (.)GNR e para Co ₃ O ₄ GNR pós–estabilidade78
Figura 18. Imagens de TEM e HR-TEM, usadas para produzir os padrões de difração
de elétrons e as imagens do padrão de difração de elétrons para a amostra de Co ₃ O ₄ (Cont.75%),
variações de Co ₃ O ₄ (.)GNR e Co ₃ O ₄ GNR pós estabilidade. A amostra GNR(Cont.0%)80
Figura 19. Voltamogramas cíclicos dos eletrodos de PC modificados com os
compósitos, obtidos em solução aquosa de K ₂ SO ₄ 0,1 M saturada em Ar sem a presença de
nitrato e com 40 mM de nitrato, com potenciais de varredura de 50 mV s ⁻¹ . Voltamogramas
registrados de 1,65 a - 0,35 V para primeira linha (a - e) e de 0,7 a -0,7 V para segunda linha
(f – j)

Figura 20. Voltamogramas cíclicos obtidos em uma região de potencial não faradaica para o eletrodo de PC modificado com 37,5 μ g cm⁻² de Co₃O₄(Cont.55%)GNR em K₂SO₄ 0,1 M saturado com Ar, com diferentes concentrações de NO₃⁻ (10 – 100 mM). O potencial foi mantido constante durante 10 s em cada vértice das voltametrias. O procedimento se iniciou no

potencial	mais	elevado	da	janela.	Os	valores	de	PCA	estão	apresentados	na	Tabela	15
(APÊNCI	CE I).												.85

Figura 22. Voltamogramas cíclicos obtidos em uma região de potencial não faradaica para o eletrodo de PC puro e PC modificado com Co₃O₄(Cont.53%)GNR, Co₃O₄(Cont.38%)GNR, Co₃O₄(Cont.75%) e GNR(Cont.0%) em carregamento de 37,5 μg cm⁻² em K₂SO₄ 0,1 M saturado com Ar, em 40 mM de NO₃⁻. O potencial foi mantido constante durante 10 s em cada vértice das voltametrias. O procedimento se iniciou no potencial mais elevado da janela. Os valores de PCA estão apresentados na Tabela 15 (APÊNCICE I).......87

Figura 24. Resultados de EIE (gráfico de Nyquist) para o (a) eletrodo de PC modificado com 37,5 μg cm⁻² de Co₃O₄(Cont.55%)GNR em K₂SO₄ 0,1 M em diferentes concentrações de NaNO₃ (10 – 100 mM) e (b) diferentes eletrodos em K₂SO₄ 0,1 M em 40 mM de NaNO₃. Faixa de frequência: 100 kHz – 10 mHz usando o valor do PCA como potencial constante para aquisição da EIE. Para ambos os experimentos, o eletrólito foi saturado em Ar..................................89

Figura 25. Voltamogramas de: Voltametria de varredura linear (LSV) registrados para o PC modificado com 37,5 μg cm⁻² do catalisador Co₃O₄(Cont.55%)GNR empregado em K₂SO₄ 0,1 M saturado com Ar, na presença de diversas concentrações de nitrato a taxa de varredura de 5 mV s⁻¹. As varreduras foram iniciadas em 0,2 V.......92

Figura 26. Voltamogramas de: Voltametria de varredura linear (LSV) registrados para o PC modificado com 37,5 µg cm⁻² dos diferentes catalisadores (Co₃O₄(.)GNR,

$Co_3O_4(Cont.75\%)\ e\ GNR(Cont.0\%),\ e\ para\ o\ PC\ sem\ modificação\ empregado\ em\ K_2SO_4\ 0, 1$
M saturado com Ar, na presença de 40 mM de nitrato a taxa de varredura de 5 mV s ⁻¹ . As
varreduras foram iniciadas em 0,2 V
Figura 27. Resultados cronoamperométricos obtidos para os diferentes potenciais (-0,5;
-0,6 e −0,7 V vs. ERH) obtidos para o catalisador Co ₃ O ₄ (Cont.55%)GNR empregado em K ₂ SO ₄
0,1M saturado em Ar na presença de 40 mM de NaNO3. Após cada hora de experimento de
CA, o experimento foi interrompido para coleta das alíquotas93
Figura 28. Resultados cronoamperométricos obtidos em –0,6 V vs. ERH obtidos para o
catalisador $\text{Co}_3\text{O}_4(\text{Cont.}55\%)\text{GNR}$ empregado em $K_2\text{SO}_4$ 0,1M saturado em Ar na presença de
diferentes concentrações de NaNO3. Após cada hora de experimento de CA, o experimento foi
interrompido para coleta das alíquotas
Figura 29. Resultados cronoamperométricos obtidos em –0,6 V vs. ERH para os diferentes catalisadores: diferentes variações de Co ₃ O ₄ (.)GNR, Co ₃ O ₄ (Cont.75%), GNR(Cont.0%) e PC sem modificação, empregado em K ₂ SO ₄ 0,1M saturado em Ar na presença de 40 mM de NaNO ₃ . Após cada hora de experimento de CA, o experimento foi interrompido para coleta das alíquotas
comportamento linear baseado nas respostas obtidas no UV-visível para cada composto na sua
faixa de concentração avaliado com sua respectiva equação linear96
Figura 31. Curvas padrão de calibração no CI (figuras da coluna da esquerda) usadas
para quantificar $\mathrm{NH_4}^+$, $\mathrm{NO_3}^-$ e $\mathrm{NO_2}^-$. As figuras da direita apresentam o comportamento linear
baseado nas respostas obtidas no CI para cada composto na sua faixa de concentração avaliado
com sua respectiva equação linear

Figura 32. Taxa de rendimento de NH₄⁺ e EF obtidos em três horas de CA, experimentos conduzidos em K₂SO₄ 0,1 M saturado em Ar e nas seguintes condições: catalisador Co₃O₄(Cont.55%)GNR em carregamento de 37,5 μg cm⁻² em 40 mM de nitrato em diferentes potenciais; (b) catalisador Co₃O₄(Cont.55%)GNR em carregamento de 37,5 μg cm⁻² em diferentes concentrações de nitrato aplicando potencial de –0,6 V vs. ERH; (c) para os

diferentes	catalisadores	em	carregamento	de	37,5	μg	cm^{-2}	em	40	mM	de	NO_3^-	aplicando
potencial of	de –0,6 V vs. I	ERH											98

	Figura	37.	Respostas	obtidas	para	O	eletrodo	de	PC	modificado	com
Co ₃ O	4(Cont.55)	%)GN	IR em carreg	gamento d	le 37,5	μgο	cm ⁻² em K	$2SO_4$	0,1 M	I saturado em	Ar na
prese	ıça de 40	mM o	de NaNO3 no	os ramos	anódic	ое	catódico da	a célu	ıla H:	(a) LSV regi	strada
em v	= 5 mV s	$^{-1}$ (0,2	a −1,0 V); (b) resultad	dos de	CA	(-0,6V), o	expe	rimen	nto foi interro	mpido
a cada	hora para	a retira	ada de alíquo	otas da sol	lução; ((c) r	esultado de	e EIE	(gráf	ico de Nyquis	st); (d)
taxa c	le rendime	ento d	le NH4+ e va	lores de F	EF obti	dos	após três l	noras	de ex	perimentos d	e CA;
(e) ef	ciência de	e conv	versão de NC	0 ₃ e seleti	ividade	de	NH_4^+ e (f)	migr	ação d	le NO ₃	107

Figura 38. Respostas obtidas para o eletrodo de PC modificado com $Co_3O_4(Cont.55\%)GNR$ em carregamento de 37,5 µg cm⁻² da célula H com membrana de Nafion 117: (a) LSV registrada em v = 5 mV s⁻¹(0,2 a -1,0 V); (b) resultados de CA (-0,6V), o experimento foi interrompido a cada hora para a retirada de alíquotas da solução; (c) resultado de EIE (gráfico de Nyquist; (d) taxa de rendimento de NH_4^+ e valores de EF obtidos após três horas de experimentos de CA; (e) eficiência de conversão de NO_3^- e seletividade de NH_4^+ e (f) migração de NO_3^- .

Figura 39. Espectros de FTIR in situ para o eletrodo de CV modificado com 37,5 μg cm⁻² de Co₃O₄(Cont.55%)GNR (como ET) na presença de 40 mM de NaNO₃ e 0,1 M de K₂SO₄: (a) em diferentes potenciais cronoamperométricos (diferença de 100 mV para cada espectro, 0,2 a –0,8 V vs. ERH) e espectro PCA; (b) em diferentes tempos (após 10 min de cronoamperometria em –0,6 V vs. ERH para aquisição de cada espectro) e espectro do PCA.

Figura 40. Espectro de Raman in situ para o catalisador Co₃O₄(Cont.55%)GNR suportado em carbono em carregamento de 37,5 μg cm⁻² (como ET) em 0,1M de K₂SO₄ e 40 mM de NaNO₃: (a e c) em diferentes potenciais cronoamperométricos (diferença de 100 mV para cada espectro, de 0,6 a –1,0 V vs. ERH) e espectro de PCA; (b e d) em diferentes tempos (após 10 min de CA em –0,6 V vs. ERH para aquisição de cada espectro) e espectro de PCA.

Figura 41. Diagrama de energia livre para produção de NH₃. Cores dos átomos da estrutura interna: azul escuro = Co, verde = O, azul = N e Branco = H.......115

Figura 42. Curvas de UV usadas para quantificar nitrato em ambos os ramos da célula
H (alíquotas: ânodo, $60~\mu\text{L}$; cátodo $20~\mu\text{L}$) após os experimentos cronoamperométricos em -
0,6 V vs. ERH aplicados a diferentes catalisadores em 40 mM de NO ₃ 139
Figura 43. Curvas de CI usadas para quantificar nitrato em ambos os ramos da célula H
(alíquotas de 500 μL ânodo e cátodo) após os experimentos cronoamperométricos em $-0.6~V$
vs. ERH aplicado a $\text{Co}_3\text{O}_4(\text{Cont.}55\%)\text{GNR}$ em diferentes concentrações de NO_3 139
Figura 44. Curvas no UV usadas para quantificar NO ₃ após os experimentos
cronoamperométricos em diferentes potenciais aplicado a Co ₃ O ₄ (Cont.55%)GNR em 40 mM
de NO_3^- (alíquotas: ânodo, 60 μL ; cátodo 20 μL)
Figure 45. Curves no LIV visível usados pero quentificar NII + enés es experimentes
Figura 45. Curvas no UV-visível usadas para quantificar NH ₄ ⁺ após os experimentos
cronoamperométricos em diferentes potenciais aplicado a Co ₃ O ₄ (Cont.55%)GNR em 40 mM
de NO_3^- (alíquota de $20 \mu L$)
Figura 46. Curvas no CI usadas para quantificar NH ₄ ⁺ após os experimentos
cronoamperométricos em diferentes potenciais aplicado a Co ₃ O ₄ (Cont.55%)GNR em 40 mM
de NO ₃ ⁻ (alíquota de 100 µL)
de 1vO ₃ (anquota de 100 μL)141
Figura 47. Curvas no UV-visível usadas para quantificar NH ₄ ⁺ após os experimentos
cronoamperométricos em -0,6 V vs. ERH aplicado a Co ₃ O ₄ (Cont.55%)GNR em diferentes
concentrações de NO ₃ ⁻ (alíquota de 20 µL)
Figura 48. Curvas no CI usadas para quantificar NH ₄ ⁺ após os experimentos
cronoamperométricos em $-0.6~V~vs.~ERH~aplicado~a~Co_3O_4(Cont.55\%)GNR~em~diferentes$
concentrações de NO_3^- (alíquota de $100~\mu L$)
Figura 49. Curvas no UV-visível usadas para quantificar NH ₄ ⁺ após os experimentos
cronoamperométricos em $-0.6~\mathrm{V}$ vs. ERH aplicado a diferentes catalisadores em $40~\mathrm{mM}$ de
NO_{3}^{-} (alíquota de $20~\mu L)$
Figura 50. Curvas no CI usadas para quantificar NH ₄ ⁺ após os experimentos
cronoamperométricos em $-0.6~V~vs.$ ERH aplicado a diferentes catalisadores em $40~mM$ de
NO_2 (alíquota de 100 µL)

Figura 51. Curvas no UV-visível usadas para quantificar NO ₂ ⁻ após os experimentos
cronoamperométricos em $-0.6~V~vs.~ERH~aplicado~ao~catalisador~Co_3O_4(Cont.55\%)GNR~em$
$40~\text{mM}$ de NO_3^- (alíquota de $100~\mu\text{L}$) usando a Célula H com membrana de Nafion 117143

Figura 52. Espectros de UV usados para quantificar NO ₃ ⁻ nos ramos: (a) anódico
alíquota de 20 μL), (b) catódico (alíquota de 20 μL) da célula H e (c) curvas de CI usadas para
uantificar NH ₄ ⁺ (alíquota de 100 μL) no ramo catódico, durante os experimentos CA
onduzidos a -0,6 V vs. ERH no catalisador de PC modificado com 37,5 μg cm ⁻² de
Co ₃ O ₄ (Cont.55%)GNR

Figura 61. Voltamogramas cíclicos obtidos em uma região de potencial não faradaica para o eletrodo de PC modificado com diferentes carregamentos (19, 56, 75 e 150 μg cm⁻²) de Co₃O₄(Cont.55%)GNR em K₂SO₄ 0,1 M saturado com Ar, em 40 mM de NO₃⁻ na célula H. O

procedimento	se i	iniciou	no	potencial	mais	elevado	da	janela.	Os	valores	de	PCA	estão
apresentados r	na Ta	abela 15	5 (A	PÊNCICE	I)								151

Figura 67. Espectros de Raman in situ em diferentes potenciais cronoamperométricos (diferença de 100 mV para cada espectro, de 0,6 a –1,0 V vs. ERH) e espectro de PCA para os catalisadores suportados em carbono em carregamento de 37,5 μg cm⁻², como ET:

$\text{Co}_3\text{O}_4(\text{Cont.75\%})$ em (a) 0,1M de K_2SO_4 , (b) 0,1 M K_2SO_4 + 40 mM de Na_3NO_3 e (c)
GNR(Cont.0%); espectros em diferentes tempos (após 10 min de CA em -0,6 V vs. ERH para
quisição de cada espectro) e espectro de PCA para: Co ₃ O ₄ (Cont.75%) em (d) 0,1M de K ₂ SO ₄ ,
e) 0,1 M K ₂ SO ₄ + 40 mM de NaNO ₃ e (f) GNR(Cont.0%) 0,1 M K ₂ SO ₄ + 40 mM NaNO ₃ .
Figura 68. Representação do catalisador Co ₃ O ₄ (111)(Cont.55%)GNR após a otimização
ompleta da geometria156

LISTA DE TABELAS

Tabela 1. Massa utilizada de $CoCl_2.6H_2O$, GNR e Ureia para síntese dos diferentes catalisadores: $Co_3O_4(Cont.75\%)$, GNR(Cont.0%) e diferentes variações de $Co_3O_4(.)$ GNR51
Tabela 2. Posições, fatores de sensibilidade relativa (RSF) e porcentagens atômicas e de massa para os catalisadores puros GNR(Cont.0%) e Co ₃ O ₄ (Cont.75%) e para as amostras nas diferentes variações Co ₃ O ₄ (.)GNR e Co ₃ O ₄ GNR pós-estabilidade
Tabela 3. Análise elementar para o GNR(Cont.0%), Co ₃ O ₄ (Cont.75%) e Co ₃ O ₄ (.)GNR.
Tabela 4. Resultados do AAS obtidos para GNR(Cont.0%), Co ₃ O ₄ (Cont.75%) e para as diferentes variações de Co ₃ O ₄ (.)GNR
Tabela 5. Valores de C_{dc} obtidos da Equação 9 correspondentes às VCs Figura 20 e valores de ECSA para o eletrodo de PC modificado com 37,5 μg cm ⁻² de $Co_3O_4(Cont.55\%)GNR$ em K_2SO_4 0,1 M saturado com Ar, com diferentes concentrações de NO_3^- (10 – 100 mM).
Tabela 6. Valores de C_{dc} obtidos da Equação 9 correspondente as VCs da Figura 22 e valores de ECSA para os eletrodos de PC puro e PC modificado com $Co_3O_4(Cont.55\%)GNR$, $Co_3O_4(Cont.53\%)GNR$, $Co_3O_4(Cont.53\%)GNR$, $Co_3O_4(Cont.53\%)GNR$, $Co_3O_4(Cont.75\%)$ e $GNR(Cont.0\%)$ em carregamento de 37,5 μg cm ⁻² em K_2SO_4 0,1 M saturado com Ar, em 40 mM de NO_3 88 Tabela 7. Valores de resistência da solução eletrolítica (R_s) e transferência de carga (R_{tc}) obtidos para o eletrodo de PC modificado com 37,5 μg cm ⁻² de $Co_3O_4(Cont.55\%)GNR$ empregando K_2SO_4 0,1 M saturado com Ar na presença de várias concentrações de NaNO3. Os valores de R_s e R_{tc} foram obtidos com base nos resultados do EIE (Figura 24a). Os pH das soluções são relatados antes e após os experimentos de CA90
Tabela 8. Valores de resistência da solução eletrolítica (R_s) e transferência de carga (R_{tc}) obtidos para o eletrodo de PC modificado com 37,5 μg cm ⁻² dos diferentes catalisadores, empregando 0,1 M de K_2SO_4 saturado com Ar na presença de 40 mM de NaNO ₃ . Os valores de R_s e R_{tc} foram obtidos com base nos resultados do EIE (Figura 24b). Os pH das soluções são relatados antes e após os experimentos de CA.

Tabela 9. Porcentagem de migração de NO ₃ ⁻ em relação ao tempo obtidos a partir dos						
resultados de UV para o ramo anódico da célula H. O experimento foi conduzido usando 0,1 M						
de K ₂ SO ₄ saturado com Ar na presença de 40 mM de NO ₃ ⁻ (adicionado apenas no ramo						
catódico), sem aplicação de potencial						
Tabala 10 Wara and dan dalla dan matariala di Calònda da cananara da distrib						
Tabela 10. Visão geral de catalisadores, potenciais, eficiência de conversão de nitrato,						
eficiência faradaicas e seletividade de amônia						
Tabela 11. Posição e porcentagens de grupos funcionais ou estados químicos presentes						
no $GNR(Cont.0\%)$, $Co_3O_4(Cont.75\%)$, as diferentes variações de $Co_3O_4(.)GNR$ e ao						
Co ₃ O ₄ GNR pós-estabilidade, obtidos a partir do espectro de HR XPS apresentado nas Figuras						
13 e 15						
Tabala 12 Valores de D. a D. abtidos pero e eletrodo de DC modificado com diferentes						
Tabela 12. Valores de R _s e R _{tc} obtidos para o eletrodo de PC modificado com diferentes						
carregamentos de Co ₃ O ₄ (Cont.55%)GNR empregando K ₂ SO ₄ 0,1 M saturado com Ar na						
presença de 40 mM de NaNO3 na célula H e da célula H com membrana de Nafion 117 Os						
valores de R_s e R_{tc} foram obtidos com base nos resultados do EIS (Figura 38c – Figura 60c). Os						
pH das soluções são relatados antes e após os experimentos de CA146						
Tabela 13. Valores de C _{dc} obtidos da Equação 9 correspondente as VCs Figuras 62 e 64						
e valores de ECSA para o eletrodo de PC modificado com diferentes carregamentos (19, 56, 75						
e 150 μg cm ⁻²) de Co ₃ O ₄ (Cont.55%)GNR em K ₂ SO ₄ 0,1 M saturado com Ar, com 40 mM de						
NO_3^- na célula H; e na célula H com membrana de Nafion 117 para o carregamento de 37,5 μg						
cm ⁻² 153						
Tabela 14. Taxas médias de rendimento de NH ₄ ⁺ após três horas de CA Quantificação						
obtida a partir de resultados de UV-visível e CI (APÊNDICE B)						
obitua a partir de resultados de o v-visiver e el (Al ENDICE B)137						
Tabela 15. Valores de PCA medidos nos experimentos de voltametrias cíclicas obtidos						
em uma região de potencial não faradaica usados nas Figuras 20, 22, 61e 63158						
Tabela 16. Correção de Energia de Ponto Zero e Contribuições entrópicas para as						
energias Livres						

SUMÁRIO

1.	INT	'ROI	OUÇAO	25
	1.1.	Pro	dução de amônia	25
	1.2.	Mét	todos eletroquímicos para síntese de NH3	26
	1.2.	1.	Redução eletrocatalítica de N ₂	27
	1.2.2	2.	Redução eletrocatalítica de NO ₃ ⁻	28
	1.3.	Ava	anços recentes nas estratégias de projeto e construção de catalisadores	29
	1.3.	1.	Metais não nobres	31
	1.3.2	2.	Catalisadores a base de Co ₃ O ₄ para produção de NH ₃	33
	1.3.	3.	Nanofitas de grafeno	35
2.	ОВ	JETI	VO GERAL	37
	2.1.	Obj	jetivos específicos	37
3.	DES	SCRI	ÇÃO DAS TÉCNICAS UTILIZADAS	38
	3.1.	Téc	nicas de caracterização eletroquímicas	38
	3.2.	Téc	nicas de caracterização física e elementar	40
	3.2.	1.	Termogravimetria e Análise Elementar	40
	3.2.2	2.	Espectroscopia de Absorção Atômica Com Chama	41
	3.2.	3.	Microscopia eletrônica de transmissão (TEM), microscopia eletrônica de	
	varr	edura	(SEM), e Energia dispersiva de Raios-X (EDX)	42
	3.2.4	4.	Difração de Raios–X (DRX)	43
	3.2.:	5.	Raman	44

	3.2.6.	Espectroscopia de infravermelho com transformada de Fourier (FTIR)45
	3.2.7.	Espectroscopia de fotoelétrons excitados por Raio-X (XPS)45
	3.2.8.	Cromatografia46
	3.2.9.	Espectrofotômetro UV-visível
	3.2.10.	Teoria Funcional da Densidade (DFT)47
4.	PARTE	EXPERIMENTAL 49
4	.1. Lin	npeza das vidrarias49
4	.2. Ma	teriais e métodos49
	4.2.1.	Reagentes
	4.2.2.	Sínteses
	4.2.3.	Preparação do eletrodo
	4.2.4.	Preparo amostra para digestão
	4.2.5.	Preparo das amostras para análise de TEM, HR-TEM, SEM e EDX54
4	.3. Ap	aratos e medidas eletroquímicas54
	4.3.1. cronoam	Voltametria de varredura cíclica, voltametria de varredura linear estacionária e perometria
	4.3.2.	Espectroscopia de Impedância Eletroquímica, determinação da área superficial
	eletroqui	micamente ativa e eficiência faradaicas
4	.4. Ap	aratos de medidas físicas e químicas58
4	.5. Ap	aratos e medidas para quantificação dos produtos formados59
4	.8. Tra	atamento e equações aplicadas

5. RESUI	LTADOS E DISCUSSÃO68
5.1. C	aracterização dos materiais68
5.1.1.	Análise elementar, TG e AAS75
5.1.2.	Caracterizações de SEM e TEM77
5.2. A	tividade catalítica para reação de redução de nitrato para produção de
amônia u	sando compósitos sintetizados e depositados na superfície de um eletrodo de
papel car	bono
5.2.1.	Perfil eletroquímico, C _{dc} , ECSA e espectroscopia de impedância82
5.2.2.	Estudo eletroquímico de voltametria de varredura linear e cronoamperometria 91
5.3. A	nálise dos produtos resultantes da eletrorredução de NO3 ⁻ 95
5.3.1.	Diferentes carregamentos do catalisador Co ₃ O ₄ (Cont.55%)GNR104
5.3.2.	Migração eletroquímica de NO_3^- do ramo catódico para anódico da célula H 106
5.4. To	écnicas in situ para identificar os intermediários e produtos gerados durante
a eletrori	redução de NO ₃ 110
5.4.1.	Medições de FTIR in situ
5.5. M	lecanismo de produção de NH3 a partir de cálculos de DFT114
6. CONC	LUSÃO118
7. REFEI	RÊNCIAS
APÊNDICI	E A – DADOS EXTRAIDOS DOS ESPECTROS DE XPS DE ALTA
RESOLUC	

APÊNDICE B – CURVAS USADAS PARA QUANTIFICAR AMÔNIO,	NITRATO E
NITRITO	139
APÊNDICE C – DADOS EXTRAIDOS DOS GRÁFICOS DE NYQUIST	TE MEDIDAS
DE PH	146
APÊNDICE D – RESPOSTAS OBTIDAS PARA OS DIFERENTES	
CARREGAMENTOS DO Co ₃ O ₄ (Cont.55%)GNR NO PC	147
APÊNDICE E – VOLTAMETRIAS CICLICAS USADAS PARA OBTE	R VALORES
DE ECSA	151
APÊNDICE F – ESPCETROS <i>IN SITU</i> PARA COMPOR O MECANISI	MO DE
REDUÇÃO DE NITRATO	154
APÊNDICE G – REPRESENTAÇÃO DO CATALISADOR C03O4(Cont	55%)GNR
APÓS A OTIMIZAÇÃO GEOMÉTRICA	156
APÊNDICE H – TAXAS MÉDIAS DE RENDIMENTO DE NH4+	157
APÊNDICE I – VALORES DE POTENCIAL DE CIRCUITO ABERTO)158
APÊNDICE J – VALORES DE VARIAÇÕES NA ENERGIA DO PONT	
TERMO ENTRÓPICO	159
PRODUÇÃO CIENTÍFICA	160

1. INTRODUÇÃO

1.1. Produção de amônia

A amônia tem desempenhado um papel essencial na vida humana, visto que tem sido um dos produtos químicos mais utilizados na indústria química como matéria-prima para uma série de produtos contendo nitrogênio, empregado na indústria de fertilizantes, têxtil e farmacêutica [1–4]; além de ser considerado um promissor transportador de energia limpa por ser livre de carbono, devido ao seu alto teor de hidrogênio (17,6% em massa), alta densidade de energia (4,3 kWh kg⁻¹) [1,3,5], e por permanecer na forma líquida em temperatura ambiente em condição de ~10 bar, o que torna seu armazenamento e distribuição relativamente fáceis, além do custo relativamente menor em relação ao gasto energético para comprimir H₂ em 700 bar [6].

O gás N₂ como principal componente do ar (78%) tem sido utilizado para produção de amônia há mais de um século, através da reação industrial de N₂ e H₂ em larga escala pelo método convencional de Haber–Bosch (HB) [7]. Para esse processo, grandes quantidades de consumo de energia são necessárias, cerca de 2% da energia global são utilizadas visto que essa reação ocorre sob elevadas condições de temperatura e pressão (400 – 500°C e 150 – 300 atm) na presença de catalisadores heterogêneos [8,9]. Para obtenção de NH₃ nesse processo são obtidos rendimento inferiores a 200 mmol g_{cat}-1 h⁻¹ [7]. Além disso, são gerados cerca de 1,5 % de CO₂ da emissão global [3]. Considerando a demanda por NH₃, há a necessidade de uma abordagem limpa e mais sustentável para sua obtenção, em meio aquoso e em condições ambientais [10].

Várias rotas eletroquímicas estão em desenvolvimento. Por exemplo, o H_2 necessário para a reação HB pode ser obtida da eletrolise da água, ou a síntese de N_3 por meio da redução eletroquímica de N_2 ou NO_3^- .

1.2. Métodos eletroquímicos para síntese de NH₃

O desenvolvimento de tecnologias de energias sustentáveis para diminuição da dependência dos combustíveis fósseis se torna cada vez mais emergente e a eletroquímica é uma importante conexão com a catálise [11–13]. Este é um ramo da química preocupado com a inter-relação dos efeitos elétricos e químicos, com ênfase na aplicação de métodos eletroquímicos. Existem diversos estudos para a eletrossíntese de amônia, dentre eles a obtenção de NH₃ através da redução eletroquímica de N₂, NO₂⁻ e NO₃⁻ [14–19]. A aplicação desses estudos requer uma compreensão dos princípios fundamentais das reações dos eletrodos e das propriedades elétricas da interface eletrodo-solução, além disso, nesses sistemas os eletrólitos mais utilizados são soluções líquidas contendo espécies iônicas, nas quais devem ser suficientemente condutores e ter baixa resistência [16,20,21].

A influência dos diferentes eletrodos e suas propriedades na análise das taxas de reações também são consideradas, operando não somente como doadores e receptores de elétrons, mas fornecendo sítios ativos para o processo de adsorção de intermediários da reação catalisada [21]. Para isso, um bom eletrocatalisador deve ser estável, ativo e ser altamente seletivo ao produto de interesse [22]. Visando aprimorar a resposta catalítica e diminuir os custos com menores quantidades de metais, os materiais de suporte são fundamentais na construção desses eletrocatalisadores, visto que são usados para suportar e dispersar uniformemente os sítios ativos dos metais utilizados, aumentando a área superficial ativa disponível, devem ter boa condutividade elétrica e boa interação com o substrato e o catalisador, além de serem resistentes a corrosão e de fácil recuperação do catalisador etc. [16,20].

Nessa busca pela obtenção de amônia, a sua síntese eletroquímica fornece uma direção na pesquisa para substituição do método convencional de HB, devido as suas condições de produção moderadas e da capacidade de integração com recursos renováveis [23].

1.2.1. Redução eletrocatalítica de N₂

A síntese eletroquímica de NH₃ pode ser obtida através da redução eletrocatalítica de nitrogênio (RRN). Nesse sistema, a síntese da NH₃ origina-se da redução de N₂ e da dissociação da H₂O, controlada pela tensão aplicada em condições ambientais. Nesse processo, são obtidos 20% a mais de eficiência energética termodinâmica em relação ao método de HB [24]. Mas apesar de fornecer uma rota que possibilita a obtenção de amônia através das reações RRN, são necessárias 941 kJ mol⁻¹ para quebrar as ligações N≡N que são extremamente estáveis bem como a limitada solubilidade de N₂. Além da reação de evolução de hidrogênio (HER) ser bastante competitiva e levar à baixa seletividade [23].

Assim, um projeto específico para geração de catalisadores é necessário não apenas para aumentar a atividade de produção de amônia, mas também para suprimir a HER. Por exemplo, a utilização de nanocristais de Au [17] favoreceu a redução de N2 devido as facetas nanoestreladas (321) de Au sendo obtidos 10,2% de Eficiência Faradaica (EF) e rendimentos de 2,6 µg h⁻¹ cm⁻² de NH₃. Buscando o aprimoramento da EF, Zhang e colaboradores [25] obtiveram 14,23% de eficiência e atribuíram essa performance aos átomos de Ru dispersos uniforme e regularmente na estrutura de C dopado com N, substituindo os átomos de Zn da estrutura de ZIF-8, uma série de estruturas de imidazolato zeolítico (ZIF, sigla do inglês) é um tipo de estruturas metal-orgânica (MOF, sigla do inglês), com produção de NH₃ de 16,68 μg h⁻¹mg_{cat}⁻¹ a –0,4 V vs. ERH. Apesar de obter melhores EF, o desafio de um sistema sob baixos sobrepotenciais e pequenas densidades de correntes são desejáveis para maior seletividade de NH₃, já que a evolução de hidrogênio domina em altos sobrepotenciais. Os nanorreatores de W₁₈O₄₉ dopados com Fe mostraram que este catalizador otimiza a energia de adsorção do nitrogênio com barreira muito menor na RRN, devido ao aumento das vacâncias de O que expõe mais os sítios ativos de W sendo obtidos 24,7 µg h⁻¹ mg_{cat}⁻¹ e EF de 20% em menor sobrepotencial de -0,15 V vs. ERH [26].

Apesar dos esforços para otimizar o processo eletroquímico, a baixa solubilidade do N_2 e as reações competitivas de HER levaram o processo a obter baixas eficiências faradaicas e taxas de reação inferiores a 10 mmol $g_{cat}^{-1} h^{-1}$ [10]. Esses resultados estão longe de atender as demandas práticas, assim, é importante encontrar outras fontes alternativas de nitrogênio com

alta reatividade e elevada eficiência de transferência de elétrons para promover a produção eletroquímica de NH₃.

1.2.2. Redução eletrocatalítica de NO₃⁻

Como alternativa ao N₂ inerte, o NO₃⁻ destaca-se como rota promissora devido à energia relativamente menor para dissociação da ligação dupla N=O (204 kJ mol⁻¹), [10,27] o que permite uma cinética de reação muito mais rápida para produção de amônia. Os íons nitrato são amplamente disponíveis em águas residuais, sendo um dos poluentes de maior ocorrência nas águas superficiais e subterrâneas, oriundos de resíduos industriais e nucleares líquidos, excremento de gado e fertilizantes químicos. Além disso, o nitrato ameaça diretamente a saúde humana, contribuindo para várias doenças como cancro, problemas no fígado e síndrome do bebê azul que estão ligados diretamente a ânions de nitrito (NO₂⁻, produto de transformação de NO₃⁻) [28–31]. É recomendado pela Organização Mundial da Saúde (OMS) que o limite de NO₃⁻ em água potável não deve ser superior a 50 ppm [31,32]. Além de que, para esse processo, utiliza-se água como fonte de prótons, eliminando o consumo de combustíveis fosseis e zero emissão de CO₂ [28]

Essas questões o tornam uma fonte atraente de nitrogênio, permitindo abordar questões ambientais simultaneamente ao baixo consumo de energia e elevada eficiência faradaica.

Em mais detalhes, a Reação de Redução de Nitrato (RRNO₃⁻) à amônia tem chamado a atenção devido as suas vantagens excepcionais [2,23,28,33–37]: (i) alternativa sustentável sobre o processo HB, (ii) vantagem energética em relação a reação de redução de nitrogênio, (iii) nas reações eletroquímicas, os elétrons atuam como agentes redutores ecologicamente corretos, atendendo as questões energéticas sem impactar negativamente o meio ambiente, (iv) da sua capacidade de remover nitratos e (v) suas vantagens em síntese eficaz e controlável de produtos de elevado valor comercial (amônia e hidroxilamina, por exemplo), selecionando eletrodos apropriados e parâmetros experimentais. Para este último, desenvolver um catalisador de alto desempenho para RRNO₃⁻ baseado em uma estratégia reacional é a chave e o prérequisito para alcançar a conversão altamente eficiente e seletiva de nitrato à amônia.

1.3. Avanços recentes nas estratégias de projeto e construção de catalisadores

A transformação eletrocatalítica de NO₃⁻ em amônia é uma reação complexa e requer uma transferência de 9H⁺ e 8 elétrons (Equação 5), onde o NO₃⁻ (aq) é convertido em NO₂⁻ e depois em HNO₂, NO, NH₂OH⁻ e então formando NH₃ [38]. Nessa reação o N₂ é inevitavelmente gerado (Equação 7). Desses produtos, a seletividade preferencial para N₂ ou NH₃ é frequentemente alvo na literatura devido as suas aplicabilidades [3,4,8,11,23,39]. Esse desempenho eletrocatalítico é regido principalmente pelos catalisadores; sendo este o maior desafio na produção em larga escala de NH₃ através RRNO₃⁻, visto que desenvolver um catalisador adequado à produção de NH₃ é altamente desejado e apresenta grandes desafios tanto na ciência fundamental quanto na engenharia [33].

As reações de redução eletrocatalítica de nitrato podem levar a produtos como NO₂⁻, NH₂OH⁻, NH₃ e N₂ com os potenciais padrões redox *vs.* ERH para essas reações típicas são fornecidas (Equação 1 – Equação 7) [38]:

$NO_3^-(aq) + 2H^+ + 2e^- \leftrightarrows NO_2^-(aq) + H_2O_{(l)}$	$E^{\circ} = 0.85 \text{ V}$	Equação 1
$NO_3^{(aq)} + 3H^+ + 2e^- \leftrightarrows HNO_{2(aq)} + H_2O_{(l)}$	$E^{\circ} = 0.89 \text{ V}$	Equação 2
$NO_{3(aq)}^{-} + 4H^{+} + 3e^{-} \Longrightarrow NO_{(g)} + 2H_{2}O_{(l)}$	$E^{\circ} = 0.96 \text{ V}$	Equação 3
$NO_{3}^{-}{}_{(aq)} + 7H^{+} + 6e^{-} \Longrightarrow NH_{2}OH^{-}{}_{(aq)} + 2H_{2}O_{(l)}$	$E^{\circ} = 0.67 \text{ V}$	Equação 4
$NO_{3^{-}(aq)}^{-} + 9H^{+} + 8e^{-} \Longrightarrow NH_{3(aq)} + 3H_{2}O_{(1)}$	$E^{\circ} = 0.82 \text{ V}$	Equação 5
$2NO_{3(aq)}^{-} + 10H^{+} + 8e^{-} \Longrightarrow N_{2}O_{(aq)} + 5H_{2}O_{(l)}$	$E^{\circ} = 1,12 \text{ V}$	Equação 6
$2NO_{3^{-}(aq)} + 12H^{+} + 10e^{-} \iff N_{2(g)} + 6H_{2}O_{(l)}$	$E^{\circ} = 1,25 \text{ V}$	Equação 7

Para obtenção seletiva de NH₃ muitos esforços têm sido realizados para construção de catalisadores eficientes que tem sido bem documentado na literatura. Como o uso de metais nobres, como Au, Pd, Pt, Rh, Ru [10,15,39–41], metais não nobres como Fe, Cu, Co e Ni [26,32,42–44] e metais nobres/não nobres (Cu, Pd, Pt, Rh) e CuAu [45,46], que exibiram atividade eletroquímica elevadas.

Zhang e colaboradores [46] produziram uma liga de átomo único (SAA, sigla do inglês) Au₁Cu (111) com vacâncias superficiais de Cu para produção do catalisador Cu(V_{Cu}–Au₁Cu) que alcançou 98,7% de EF com taxa de produção de 555 μg h⁻¹ cm⁻² a −0,2 V vs. ERH e acreditam que a migração dos elétrons do Cu para os átomos de Au cria sítios mais ativos de Cu deficientes em elétrons que promovem a geração de espécies de H* ativas para hidrogenação do NO₃⁻. Já Cai e colaboradores [36] obtiveram 100% de EF e rendimento de 326,7 μmol h⁻¹ cm⁻² em −0,55 V vs. ERH empregando um catalisador de Ni₁Cu e atribuíram a forte interação do Ni com o intermediário NOOH* o favorecimento a produção de NH₃. Similarmente, o catalisador Bi₁Pd [41] levou à diminuição da barreira de energia na etapa *NO → *NOH devido ao acoplamento eletrônico do átomo de Bi com os átomos vizinhos de Pd levando a rendimento de 33,8 mg h⁻¹ cm⁻² de NH₃ em −0,6 V vs. ERH com EF de 99,6%.

Já Singh e colaboradores [38] reportaram que a liga de PtRu levou a EF para NH₃ em valores >93% e assumiram que a incorporação de Ru na composição do catalisador aumentou a energia de ligação dos intermediários em proporção de Pt₇₈Ru₂₂/C em seis vezes mais ativa que a Pt pura. Da mesma forma, Matsushima e colaboradores [45], sintetizaram Cu/Pd em diferentes proporções (1:1, 5:1, 10:1) e obtiveram desempenho aprimorado com o aumento do teor de Cu com 98% de EF.

Em condições ambientais, Li e colaboradores [10] obtiveram a taxa de produção de amônia em 5,56 mol g_{cat}⁻¹ h⁻¹ ou 1,17 mmol h⁻¹ cm⁻² a partir RRNO₃⁻ usando nanoaglomerados de núcleo/casca de Ru dopado com oxigênio por meio de uma rota sol-gel. Os autores assumem a principal contribuição aos radicais de hidrogênio que são gerados da supressão H–H durante dimerização da água, obtidos através da deformação de tração na rede.

Embora exista muitos catalisadores como os citados acima e que apresentam atividade catalítica desejável com alto valor de EF e seletividade, a sua aplicação é reduzida em larga escala devido ao seu elevado custo e recursos raros limitados, o que torna os catalisadores com metais não nobres foco de investigação.

1.3.1. Metais não nobres

Em contraste, os metais de transição não nobres como Fe, Co, Cu e Ni e suas ligas têm chamado atenção em virtude dos seus recursos abundantes e pelas condições catalíticas favoráveis [23]. Materiais a base desses metais, incluindo seus óxidos metálicos, fosfetos, entre outros, tem sido amplamente estudado como catalisadores com promissor potencial para aplicação na síntese eletroquímica de NH₃ através da RRNO₃ - [18,38,43,47–49].

Na Figura 1 são apresentados alguns desses catalisadores empregados para a síntese eletroquímica de NH₃ através da RRNO₃⁻ [34]. A figura mostra valores de rendimento de amônia, densidade de corrente e EF para esses catalisadores.

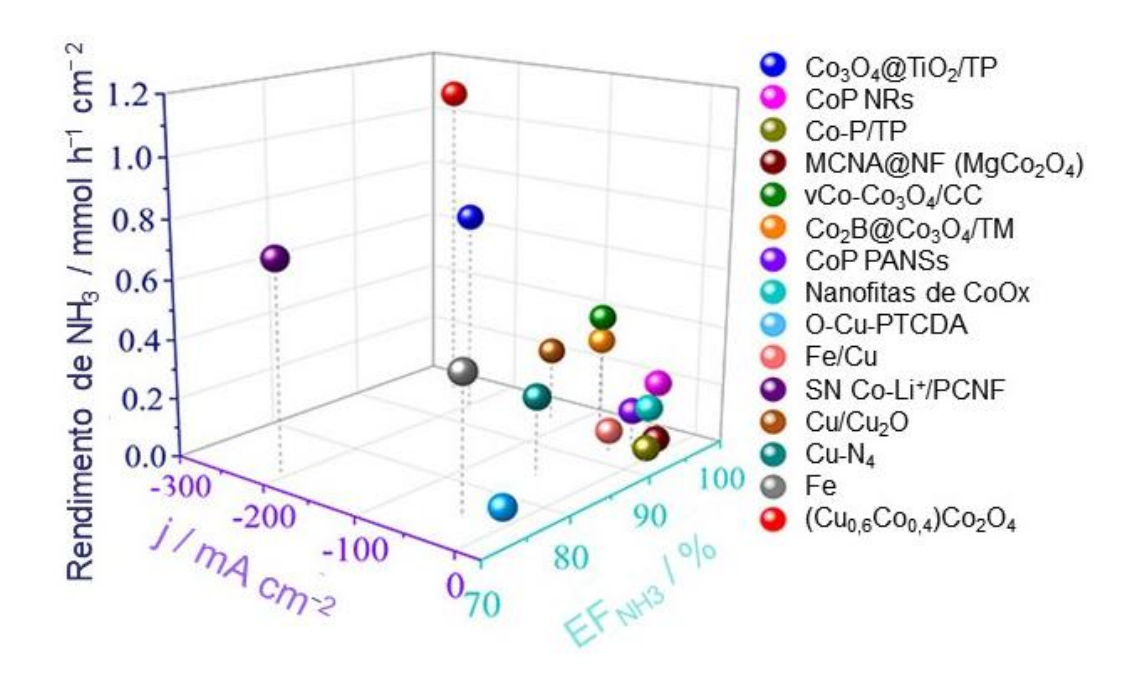


Figura 1. Comparação dos catalisadores usando metais não nobres reportados na literatura para eletrorredução de NO₃⁻ em NH₃.

Fonte: figura adaptada da referência [34].

Como visto acima, os materiais a base de Co provam ser candidatos promissores na catálise de conversão do NO₃⁻ para produção de NH₃, com alta densidade de corrente e elevada EF. Por exemplo, matrizes de folhas de Co–CoO [50] apresentam excelente EF de 93,8% com rendimento de amônia de 194,46 µmol h⁻¹ cm⁻². Um catalisador de Co–NC rico em mesoporos

3D (NC = carbono dopado com N) [9] pode converter nitrato eletrocataliticamente em NH₃ em $1,25 \pm 0,023$ mmol h⁻¹ cm⁻² em -0,7 V vs. ERH a $95,35 \pm 1,75$ % de EF.

Outros exemplos são os nanotransportadores de fosfetos de cobalto poroso e amorfo (CoP PANSs) que apresentaram rendimentos de NH₃ em 19,28 mg h⁻¹ mg_{cat}⁻¹ e EF 94,24% em sobrepotenciais de –0,5 V *vs* ERH [51]; Wang e colaboradores obtiveram maior supressão da reação de HER empregando nanofolhas de CoOx, no qual atribuíram a superfície modificada rica em oxigênios superficiais em local de Co a estabilização do hidrogênio adsorvido levando a maior EF de 93,4 ± 3,8% em –0,3 V vs. ERH em rendimento de 82,4 ± 4,8 mg h⁻¹ mg_{cat}⁻¹ [52]; Buscando alcançar aplicações industriais em larga escala, a construção de matrizes tridimensionais com elevada atividade catalítica é desejada, por exemplo, o nanoarranjo de cobalto metálico (Co–NAs) foi preparado por eletrodeposição em tecido de carbono, essa estrutura beneficia a alta adsorção dos intermediários na superfície do Co⁰ com seletividade a NH₃ devido à nanoestrutura Co–Nas, que expõe um grande número de sítios ativos e EF de 96% em rendimento de 10,4 mmol h⁻¹ cm⁻² em –0,24 V vs. ERH [53].

Buscando obter benefícios com alta atividade através da incorporação de mais metais de baixo custo, cálculos de DFT revelaram que os íons Al reduzem a densidade da nuvem de elétrons na superfície de Co, facilitando a adsorção de NO₃⁻ em nanofolhas de Co₂AlO₄ em tecido de carbono (Co₂AlO₄/CC) [54] sendo obtidos rendimentos de 7,9 mg h⁻¹ cm⁻² com EF de 92,6%; em baixos sobrepotenciais He e colaboradores [55] propuseram a construção de um catalisador em tandem, combinando duas ou mais fases intermediárias cooperativas, os sulfetos binários de Cu–Co em fases Cu/CuOx e Co/CoO levaram a EF de 93,3 ± 2,1% em taxa de produção de NH₃ de 1,17 mmol cm⁻² h⁻¹ em –0,175 V vs. ERH; na catálise com vários catalisadores para produção de amônia Carron–Calle e colaboradores [56] propuseram a configuração trimetálica para conversão de NO₃⁻ em 1,22 mmol NH₃ g_{cat}⁻¹ h⁻¹ e EF de 4 a 22% em 20 mA cm⁻² usando um catalisador de espuma de Ni com nanocompósitos de Cu₂O, Ni/Co(OH)x, (Ni/Cu₂O/Co(OH)x).

Dentre tantas variedades de eletrocatalisadores que têm sido desenvolvidos, os óxidos de espinélio também têm recebido interesse para RRNO₃⁻. Devido ao seu arranjo de íons flexíveis, estados multivalentes e alta condutividade elétrica, em destaque os Co₃O₄ tem sido capaz de gerar seletivamente NH₃ através da RRNO₃⁻.

1.3.2. Catalisadores a base de Co₃O₄ para produção de NH₃

O óxido de cobalto (Co₃O₄) está em uma estrutura espinélio e sabe-se que a unidade da célula contém 16 sítios octaédricos de Co³⁺ em sítios 16d (Co_{Oct}) e 8 sítios tetraédricos de Co²⁺ em sítios 8a (Co_{Tet}) da rede cúbica de face centrada (FCC). Cada átomo de O está ligado a quatro átomos de Co vizinhos, dos quais três são Co_{oct} (CoO₆) e um Co_{tet} (CoO₄). A estrutura do espinélio Co₃O₄ em *bulk* é apresentada na Figura 2a-b e apresenta os comprimentos de ligação do O-Co_{oct} e de O-Co_{tet} [57,58].

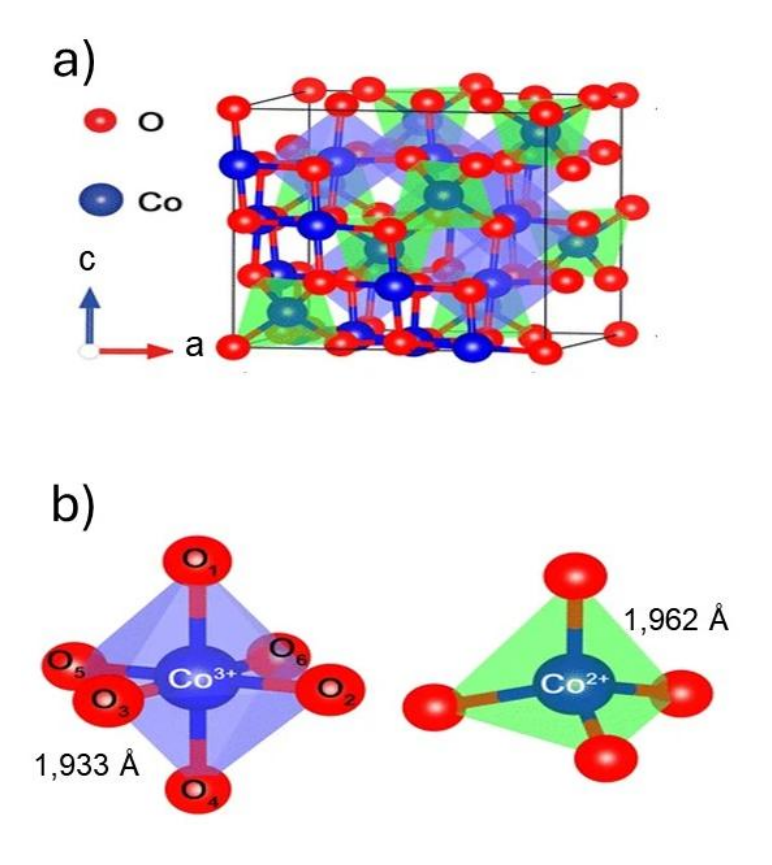


Figura 2. Vista esquemática da estrutura atômica relaxada do composto Co₃O₄ (a) em *bulk*, b) octaedro CoO₆ e tetraedro CoO₄.

Fonte: Adaptada da referência [57].

Alguns estudos relataram o uso de catalisadores com cátodo de Co₃O₄ para RRNO₃⁻. O primeiro relato utilizando essa classe de catalisadores foi reportada por Su e colaboradores, que sintetizaram Co₃O₄/Ti pelo método sol-gel com eficiência de remoção de NO₃⁻-N em 99% e geração de NH₄⁺-N em 6 mg em 10 mA cm⁻² [59]. Buscando aprimorar os resultados obtidos na redução eletroquímica de NO₃⁻ à NH₃, Fu e colaboradores produziram um eletrodo de

 Co_3O_4/CF (CF = feltro de carbono) com uma estrutura 3D, sendo obtido taxa de 283 μg mg⁻¹ h⁻¹ de NH₃ e EF de 22,19% atribuídos a sinergia de Co (III) que possui preferência pela adsorção de NO₃⁻ e Co (II) favorecendo a produção de H* [60].

Para melhorar os rendimentos de amônia e EF, que ainda estão abaixo do desejável, muitas estratégias foram aplicadas, como a incorporação de elementos ao Co_3O_4 , em exemplo, Niu e colaboradores [61] sintetizaram um catalisador constituído de matrizes de nanofios de $Cu-Co_3O_4$ em tecido de carbono, e reportaram que essa estrutura otimiza a variação de energia livre de hidrodesoxigeneração intermediária de redução de NO_3^- , especialmente para as espécies * NOx^- (x = 1, 2 e 3) que leva a valores de EF mais elevados em 86,5 % com rendimentos de 36,71 mmol h^{-1} g^{-1} .

Outra abordagem é a substituição iônica de Co no sítio tetraédrico ou octaédrico em Co₃O₄ para regular as estruturas eletrônicas locais e modular os comportamentos de adsorção/dessorção de intermediários para aprimorar a eficiência da catálise. Por exemplo, Hu e colaboradores reportaram que a atividade catalítica de RRNO₃⁻ em Co₃O₄ dependente da localização geométrica do Co e apresentaram que no catalisador (Cu_{0,6}Co_{0,4})Co₂O₄, no lugar de sítios tetraédrico inertes de Co_{Td} substituídos por Cu²⁺ foi atingida uma eficiência de amônia em 1,09 mmol h⁻¹ cm⁻² a –0,45 V vs. ERH e EF de 96,5% que foram atribuídos à preferência do NO₃⁻ em ocorrer nos sítios octaédricos otimizados de Co (Co_{oh}) juntamente com a formação de vacâncias de O (O_v) [62].

A reconstrução dessas superfícies também tem sido bastante explorada, como exemplo o Co₃-xNixO₄ (Co₃-xNixO₄, x = 0, 0,5, 1, 1,5) cujo nanoarranjo em tecido de carbono com Ni incorporado promove a reconstrução da superfície de Co₃O₄ em CoyNi1-y(OH)₂ como fase ativa podendo facilitar a formação do intermediário *NOH e suprimir HER levando a rendimentos de 20 mg_{NH3} h⁻¹ cm⁻² a –1,0 V vs. ERH com EF de 94,9% [63]. Da mesma forma, a mistura física de nanotubos de Cu₂O + Co₃O₄ em microeletrodo de papel carbono, com cubos que expõem a rede (100) em razão de Cu para Co de 2,8:1 apresentaram EF superior a 85% e rendimento de NH₃ em 12,76 mg h⁻¹ cm⁻² a –0,3 V vs. ERH [27].

A construção de estruturas defeituosas também tem demonstrado ser uma estratégia promissora para constituição de catalisadores efetivos para RRNO₃⁻ seletivo para NH₃, visto que essas estruturas de vacâncias de ânions ou cátions podem alterar os números de coordenação dos átomos do catalisador para formar um sítio mais ativo. Por exemplo, Deng e

colaboradores reportaram que matrizes de nanofolhas de Co₃O₄ com vacâncias de Co em tecido de carbono (vCo–Co₃O₄/CC) ajudaram a aumentar a carga e reduzir a densidade da nuvem de elétrons nos sítios de Co do Co₃O₄, propiciando a adsorção de NO₃⁻ à EF de 97,2% e rendimento de 517,5 μmol h⁻¹ cm⁻² [64]; ou o catalisador de enxofre preenchendo vacâncias de oxigênio (S5–Co₃O₄) que similarmente exibiu taxa de rendimento de NH₃ de 174,2 mmol h⁻¹ g⁻¹ a –0,6 V vs. ERH com EF de 89,9% [65]. Conforme apresentado por Meng e colaboradores [66] os átomos de Co próximos às vacâncias de oxigênio servem como sítios ativos e aumentam a adsorção de NOx⁻ (x = 2,3), obtendo rendimentos de 39,6 mg h⁻¹ cm⁻² e EF de 96,08%.

Embora os catalisadores a base de metal demonstram um desempenho promissor para RRNO₃⁻, ainda há espaço para melhorias adicionais. Para melhorar o rendimento de produção de amônia, o desempenho dos catalisadores pode ser aprimorado por um material de apoio que permite uma distribuição uniforme dos sítios ativos do metal, alcançada juntamente com boa condutividade com o eletrodo.

1.3.3. Nanofitas de grafeno

O grafeno surgiu como um material de carbono altamente desejável e tem sido empregado em diversas inovações devido a suas propriedades valiosas de alta área superficial, extraordinária estabilidade química e eletroquímica, além da excelente condutividade e facilidade em funcionalização que pode ser utilizada a processos catalíticos específicos [67–72]. Recentemente, pesquisas direcionadas a síntese do grafeno a partir de nanotubos de carbono (NTCs) tem levado ao desenvolvimento e investigação de suas propriedades interessantes para sua funcionalização devido a sua estrutura semelhante a nanofitas [68]. Essa estrutura possui uma configuração alongada e que se assemelha a finas tiras medindo apenas alguns nanômetros, e dependendo da largura dessas fitas e da estrutura de borda, as nanofitas de grafeno (GNR) podem exibir características metálicas ou de semicondutores, o que o torna um interessante material para diversas aplicações à conversão de energia eletroquímica [67].

Inspirados nas propriedades excepcionais do GNR, os materiais baseados nessa estrutura podem surgir como candidatos altamente promissores para as reações eletrocatalíticas de RRNO₃. Além disso, é levado em consideração que diversos eletrocatalisadores a base de

Co e Co₃O₄ tem sido relatado na literatura e não tendo conhecimento da existência de estudos relacionados a aplicação de Co₃O₄ emaranhado com nanofitas de grafeno (emaranhamento entre Co, C, O e N) para redução eletroquímica de NO₃⁻ para produzir NH₄⁺. O estudo aqui proposto permite explorar uma nova perspectiva que abrirá caminho para síntese eletroquímica de amônia na presença de uma pequena quantidade de metais não nobres em nanofitas de grafeno que conduzirão a extração de novas informações importantes e ideias na busca pelo desenvolvimento científico e tecnológico com abordagens mais eficientes e sustentáveis.

2. OBJETIVO GERAL

Sintetizar, estudar e aplicar catalisadores constituídos de nanofitas de grafeno com nanopartículas de óxido de cobalto (Co₃O₄) para promover a redução eletroquímica de nitrato em amônia, identificando os produtos gerados por cromatografia de íons e espectrofotometria.

2.1. Objetivos específicos

- 2.1.1. Sintetizar nanopartículas de óxido de Co suportadas ou não em nanofitas de grafeno pelo método hidrotermal simples;
- 2.1.2. Decoração da superfície do eletrodo de papel carbono com os catalisadores produzidos pelo método de gotejamento;
- 2.1.3. Avaliação da atividade catalítica da redução de nitrato por meio de Voltametria de Varredura Cíclica, Voltametria de Varredura Linear e Cronoamperometria;
- 2.1.4. Caracterização eletroquímica por Espectroscopia de Impedância Eletroquímica e investigar a Área Superficial Eletroquimicamente Ativa por estudo de Capacitância da dupla camada;
- 2.1.5. Aplicação dos catalisadores sintetizados para promover a eletrorredução de nitrato;
- Quantificação dos produtos formados por sistema de cromatografia e espectrofotometria;
- 2.1.7. Caracterização física e química dos eletrocatalisadores através de Microscopia Eletrônica de Transmissão, Microscopia Eletrônica de Transmissão de Alta Resolução, Microscopia Eletrônica de Varredura, Análise por Energia Dispersiva de Raios-X, Difração de Raios-X, Raman, Espectroscopia de Fotoelétrons Excitados por Raios-X, Termogravimetria, análise Elementar e Espectrofotometria de Absorção Atômica com Chama;

Analisar os espectros de FTIR e Raman in situ e cálculos de DFT para confirmação da presença dos intermediários e produto para análise do mecanismo de formação de amônia.

3. DESCRIÇÃO DAS TÉCNICAS UTILIZADAS

3.1. Técnicas de caracterização eletroquímicas

A voltametria de varredura cíclica (VC) é uma ferramenta fundamental em estudos eletroquímicos devido a sua simplicidade e versatilidade, que fizeram com que essa técnica se tornasse extensivamente aplicada para estimar reações eletroquímicas e suas cinéticas [20]. No geral, esse estudo fornece informações sobre o comportamento redox dos materiais eletroativos, as cinéticas das reações heterogêneas de transferência de elétrons, reações químicas e eletroquímica, processo de adsorção e área de superfície eletroquimicamente ativa (ECSA) [73]. Nessa técnica, para um eletrodo de trabalho estático (em solução não agitada) o potencial aplicado pode ser alterado linearmente a uma taxa de varredura constante de potencial (variando com o tempo), resultando em correntes referentes aos processos de oxidação ou redução de espécies eletroativas, ditas reações faradaicas e/ou correntes capacitivas devido ao carregamento da dupla camada [74,75]. A corrente resultante desse processo de transferência de elétrons em relação ao potencial aplicado é usada para construir um gráfico de potencial vs. corrente, em um voltamograma cíclico (com potencial iniciando e finalizando-se no mesmo ponto, incluindo as direções anódicas e catódicas) [75]. A direção da varredura inicial pode ser negativa, como mostra a Figura 3, onde E_1 é um valor positivo $(E_1 > 0)$ e E_2 um valor negativo (E₂ < 0), quanto positiva, dependendo da composição da amostra. O sentido de varredura de potenciais mais negativos é chamado de varredura direta, enquanto na direção oposta é chamada de varredura inversa. Os potenciais nos quais a reversão ocorre são chamados de potenciais de inversão (nesse caso, E₁ e E₂).

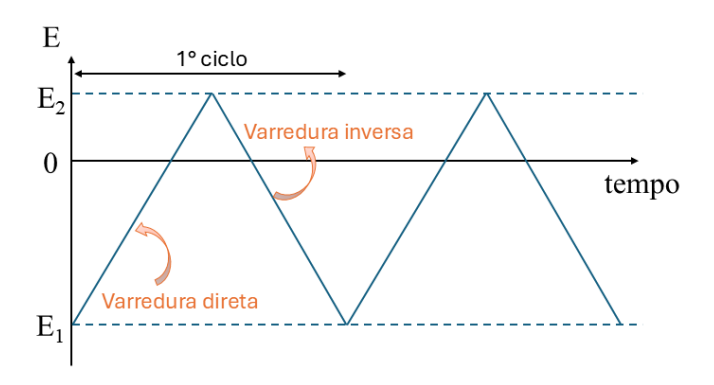


Figura 3. Gráfico da variação do potencial aplicado com o tempo, apresentando o potencial inicial como E_1 e o potencial final E_2 . Dado que E_1 é positiva é apenas para ilustração. Adaptado da referência [75].

A voltametria de varredura linear (LSV, sigla do inglês) assim como a VC é uma técnica usada para examinar o comportamento redox de uma espécie eletroquimicamente ativa através da aplicação do potencial em apenas um sentido. Para o potencial aplicado do limite inferior ao limite superior é definida como região catódica, e para o potencial aplicado do limite superior ao limite inferior é definida como região anódica. No geral, essa técnica é usada para estimar as reações eletroquímicas, como redução e oxidação dependendo de três fatores: (i) a taxa de transferência de elétrons, (ii) a reatividade das espécies eletroativas e (iii) a taxa de varredura do potencial [20].

A técnica de cronoamperometria corresponde ao registro de corrente faradaica durante uma variação de tempo em que o potencial é controlado. Assim, mede-se a corrente resultante de um salto de potencial no qual não existe reação ocorrendo no eletrodo, para um potencial específico de trabalho [75].

Entre as diversas técnicas eletroquímicas disponíveis, a Espectroscopia de Impedância Eletroquímica (EIE) mostra-se interessante devido às respostas obtidas através do estímulo de pequenas amplitudes a interface, aplicadas ao eletrodo um potencial de corrente alternada com diferentes valores de frequência, tendo como vantagem as medições em frequências realizadas quando o sistema está em estado estacionário [76]. De acordo com a teoria de EIE, as propriedades eletroquímicas dos catalisadores são influenciadas por vários fatores eletroquímicos na sua reação e pode ser caracterizado por três condições: (i) resistência ôhmica, (ii) capacitância da dupla camada e (iii) resistência a transferência de carga. O primeiro está associado à transferência de íons, o segundo ao efeito cinético e o último, ao efeito de transferência de massa [77]. Assim, diversas aplicações podem ser atreladas a essa técnica. Dentre elas é possível predizer a resistência da solução (R_s) e a resistência de transferência de carga (R_{tc}).

Para eletrocatalisadores a base de metais não nobres, a Área Eletroquimicamente Ativa (ECSA, sigla do inglês) pode ser efetivamente calculado a partir da dupla camada eletroquímica, que é avaliada na região não faradaica, PCA, para as respectivas VCs em diferentes taxas de varredura. Esse valor de capacitância da dupla camada (C_{dc}) dos materiais

pode ser considerado como um indicador quantitativo para estimar a área de superfícies acessíveis para que as reações aconteçam. Pode ser determinado pela diferença dos valores de densidade de corrente anódica-catódica no gráfico densidade de corrente *vs.* as várias velocidades de varredura (0,005; 0,01; 0,015; 0,02; 0,03; 0,04 V s⁻¹), o valor de C_{dc} é obtido através da inclinação a partir da tendência linear desse gráfico. Como relatado na Equação 10, o ECSA é obtido através da razão C_{dc} e capacitância específica C_s do eletrodo de superfície plana, geralmente esse valor corresponde entre 0,020 a 0,060 mF cm⁻², podendo assim assumir o valor de 0,040 mF cm⁻² neste trabalho para obter os valores de ECSA para os catalisadores de metais não nobres em K₂SO₄ 0,1M [77,78].

3.2. Técnicas de caracterização física e elementar

3.2.1. Termogravimetria e Análise Elementar

Em definição, a análise térmica é um grupo de técnicas em que se mede uma propriedade física de um material em função da temperatura enquanto ela é submetida a um sistema de temperatura controlada [79]. A discussão se concentra em três métodos que proporcionam informações químicas básicas, sendo estas: (i) termogravimetria (TG), (ii) análise térmica diferencial (DTA) e (iii) calorimetria de varredura diferencial (DSC) [74,79]. Neste trabalho será discutido o primeiro método. Assim, em uma análise de TG registra-se continuamente a massa de uma amostra, colocando-a em uma atmosfera controlada, em função da temperatura (isoterma) ou do tempo ao aumentar a temperatura da amostra, que geralmente é linear com o tempo. A representação da massa ou da porcentagem de massa em função do tempo é chamada de termograma ou curva de decomposição térmica [80]. Os instrumentos comerciais modernos consistem em: (i) uma balança analítica sensível, (ii) um forno, (iii) um sistema de gás de purga para proporcionar uma atmosfera inerte, (iv) computador para o controle do instrumento e aquisição dos dados [80].

Para uma análise térmica mais detalhada e direcionada a descobrir quais elementos compõe uma amostra, dentre carbono (C), hidrogênio (H), nitrogênio (N), enxofre (S) e oxigênio (O), a análise elementar (AE) é uma técnica analítica qualitativa e quantitativa desses

elementos. O funcionamento dessa técnica é baseado na combustão da amostra em altas temperaturas, na qual a amostra é sujeita à combustão em uma atmosfera de oxigênio puro e hélio para CHNS e hélio para O, e os gases resultantes dessa combustão são quantificados por um detector TCD (Detector de condutividade térmica).

3.2.2. Espectroscopia de Absorção Atômica Com Chama

Na espectroscopia de absorção atômica com chama (AAS, sigla do inglês), uma substância é decomposta em átomos em uma chama. Cada elemento é medido pela absorção da radiação ultravioleta ou visível pelo átomo gasoso [74,75]. O AAS permite analisar o analito em partes por milhão, assim, a amostra deve ser diluída para reduzir as concentrações a essa faixa de concentração [74,81]. Para análise de Co, a amostra precisou passar por processo de digestão (Seção 4.2.4) para que no estado líquido pudesse ser aspirada e atomizada em uma chama (constituída de acetileno e ar sintético) cuja temperatura é de 2.400 a 2.700 K.

A fonte de radiação mais útil empregada é a lâmpada de cátodo oco. Esta consiste em um ânodo de tungstênio e de um cátodo cilíndrico selado em um vidro, contendo gás inerte. O cátodo é fabricado com o metal do analito (neste trabalho foi empregado uma lâmpada de Co em 240,73 nm). O cátodo é bombardeado com íons energéticos e os átomos de Co são excitados e vaporizam, emitindo luz nas mesmas frequências absorvidas pelo analito de Co na chama (L₁). A radiação atenuada da fonte (L₂) entra em um monocromador, que isola a linha de interesse, a qual, depois é medida em um tubo fotomultiplicador (TFM). O sinal é processado para obter o sinal do analito que é dirigido a um sistema computacional, como resumido na Figura 4 [74].

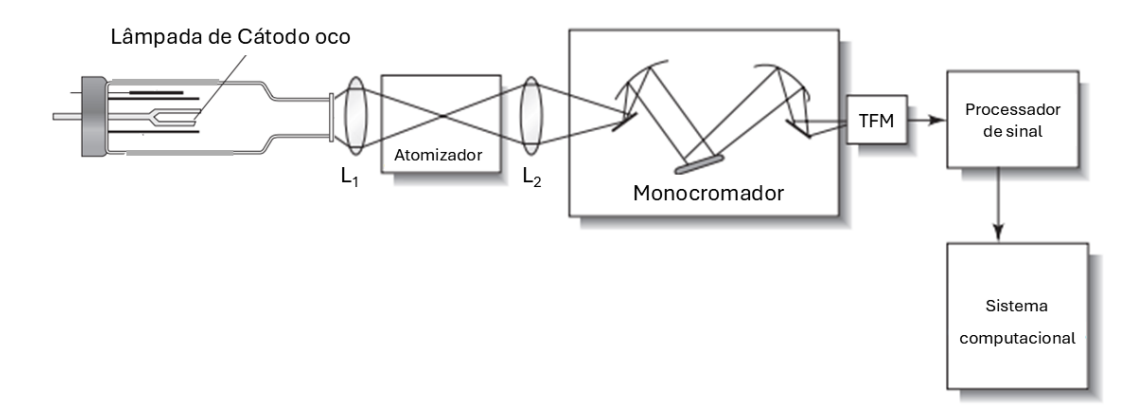


Figura 4. Diagrama de blocos de um espectrofotômetro de absorção atômica de feixe único. Fonte: adaptado da referência [74].

3.2.3. Microscopia eletrônica de transmissão (TEM), microscopia eletrônica de varredura (SEM), e Energia dispersiva de Raios-X (EDX)

Para obter informações sobre a natureza física da superfície dos materiais o uso de microscopia eletrônica para obter imagens de superfície são bastante úteis. Assim, a microscopia eletrônica de varredura (SEM, sigla do inglês) e microscopia eletrônica de transmissão (TEM, sigla do inglês) são métodos importantíssimos para obter tais resultados. Embora essas duas técnicas apresentem muitas semelhanças, a SEM fornece imagens com informações sobre a morfologia externa desses materiais, enquanto a TEM fornece imagens da estrutura interna de sólidos através de informações microestrutural detalhadas [82].

Como os elétrons devem passar pela amostra, essa técnica é limitada a filmes finos, em até 1 mm. Através da técnica de TEM e de alta resolução é possível analisar amostras em níveis atômicos, visto que a amostra é incidida com elétrons presentes em um canhão que está localizado no topo do microscópio e é acelerado em alto vácuo, esse feixe de elétrons resultante sofre uma magnificação através das lentes eletromagnéticas e incide em uma tela fluorescente ou em um filme fotográfico no fundo da coluna do microscópio no sistema de gravação [82].

Para obtenção de uma imagem no SEM a superfície é escaneada por um feixe de elétrons finamente focado incidido na superfície da amostra sólida, o impacto desse em uma superfície gera um feixe secundário de elétrons, e a intensidade do elétron secundário é monitorado e usado para construir a imagem [79]. Para fins de análises químicas, muitos desses SEMs são

equipados com detectores de raios-X que permitem determinações a serem feitas por meio de raios-X.

Assim, a técnica de Energia Dispersiva de Raios-X (EDX) possui capacidade analítica de ser acoplada a essas técnicas de microscopia eletrônica para obter informações das distribuições dos elementos na superfície dos compósitos [83].

Então, o EDX é uma técnica analítica usada para análises elementar ou caracterização química de uma amostra. Essa análise pode ser usada para determinar a composição elementar em pontos individuais ou para mapear a distribuição lateral de elementos da área fotografada. O EDX incide um feixe de elétrons sobre a amostra e provoca a excitação dos átomos a um estado de energia mais elevado, quando os átomos retornam ao seu estado de energia inicial a energia recebida é liberada em comprimento de ondas de raios-X. Essa energia é identificada por uma sonda presente no microscópio eletrônico de varredura e é então atribuída aos elementos químicos presentes na amostra [83].

3.2.4. Difração de Raios–X (DRX)

A técnica de Difração de Raios—X (DRX) envolve o espalhamento de um feixe de raios—X monocromáticos na superfície de um material e informações sobre as propriedades físicas desse material, como a composição de fases, estrutura do cristal e orientação das amostras. Para as medições de difração, utiliza-se um ângulo pequeno (rasante) entre o feixe de raios—X e a superfície da amostra. Após colidir com os átomos da amostra, o fóton de raios—X muda a sua direção entre um átomo e outro na rede cristalina organizada e é observado uma tendência recorrente entre os espalhamentos em várias fases [84].

Assim, nessa técnica, padrões de difração resultam da interferência de feixes espalhados pelos átomos da superfície e esses padrões fornecem informações sobre a estrutura da superfície e sobre processos que alteram essa estrutura [20]. A difração pode revelar detalhes da estrutura interna na ordem de 10⁻⁷ mm em tamanho [85].

Essa tendência de difração é observada quando a tensão em um tubo de raios-X é elevada a valores característicos do metal alvo, máximos de intensidade nítidos aparecem em

certos comprimentos de onda e são chamados de linhas características. Essas linhas são geradas quando um elétron é removido da camada K (a camada mais interna de um átomo) e essas linhas se enquadram em vários conjuntos e normalmente apenas as linhas K são úteis para o DRX, visto que as linhas de comprimento de onda mais longo são facilmente absorvidas. Dentro das várias linhas no conjunto K, apenas as três mais fortes são observados (Kα1, Kα2 e Kβ2) [85].

3.2.5. Raman

Os espectros de Raman são adquiridos irradiando uma amostra com uma fonte de laser (monocromática na região do visível ou do infravermelho próximo), para obter uma boa relação sinal-ruído. A radiação geralmente é medida em ângulo de 90° com um espectrômetro. A instrumentação dessa técnica requer uma fonte de laser, um sistema de iluminação da amostra e um espectrômetro adequado. Esse procedimento possibilita a identificação da estrutura química do material analisado e essas informações são obtidas a partir do espalhamento inelástico da luz sofrido pela radiação eletromagnética após a interação com uma molécula [79].

Esse fóton pode ser espalhado de três maneiras principais: (i) quando a radiação espalhada é de uma frequência menor que a radiação de excitação, é chamada de espalhamento Stokes, (ii) quando é de uma frequência maior, é chamada de anti-Stokes e (iii) radiação espalhada também pode ocorrer com a emissão de um fóton de mesma energia que o fóton de excitação, chamada de dispersão de Rayleigh. Geralmente, é usado a parte de Stokes do espectro devido as linhas mais intensas que as linhas anti-Stokes [79].

Para sistema inorgânico, as energias vibracionais de ligação metal-ligante estão geralmente na faixa de 100 a 700 cm⁻¹, ligações metal-oxigênio também são ativas no Raman e essa técnica fornece também informações sobre certos tipos de compostos orgânicos, o que a torna potencialmente útil para identificação da estrutura química dos materiais aqui estudados [79,81,86].

3.2.6. Espectroscopia de infravermelho com transformada de Fourier (FTIR)

A espectroscopia FTIR é uma metodologia espectral universal e amplamente utilizada com base na vibração e rotação de átomos. Nessa técnica, quando um feixe de luz infravermelha com comprimento de onda contínuo é aplicado às moléculas alvo, a luz com um certo número de onda fornecendo diferença de energia entre dois níveis de energia será absorvida resultando em um espectro de absorbância. Como as ligações químicas e os grupos funcionais de uma molécula estão em estado de vibrações constantes, a espectroscopia FTIR é capaz de detectar estruturas moleculares internas e devido a esse princípio, é possível obter diferentes espectros FTIR, visto que essas substâncias são diferentes no número, tipo ou posição de átomos [87].

Em resumo, esse feixe de luz infravermelha é direcionado a um interferômetro onde é dividido pelo divisor de feixe, metade do feixe é refletida em um espelho fixo e a outra metade em um espelho móvel. Os dois feixes de luz se recombinam e dão origem a um feixe reconstruído que é opticamente uma onda de interferência. Essa onda de interferência é passada pela amostra e por sua interação com a amostra é modificada e levado a um detector. Um computador é usado para controlar o interferômetro, coletar, armazenar os dados e executar a transformada de Fourier [88].

3.2.7. Espectroscopia de fotoelétrons excitados por Raio-X (XPS)

Essa técnica de espectroscopia de fotoelétrons excitadas por Raio-X é baseada na análise dos elétrons emitidos, produzidos por um feixe monoenergético incidente para irradiar a superfície da amostra. As medidas espectrométricas consistem na determinação da potência deste feixe em função da energia ou da frequência hv dos elétrons. Os picos permitem a identificação das espécies, uma vez que cada elemento tem um conjunto característico de energia de ligação [81,89].

Assim, a espectroscopia eletrônica é uma ferramenta poderosa para identificação de todos os elementos da tabela periódica, com exceção do hidrogênio e hélio, permitindo a determinação do estado de oxidação de um elemento e o tipo de espécie que está ligado, fornecendo informações úteis sobre a estrutura eletrônica das moléculas. Os fotoelétrons

produzidos por XPS trazem informações da superfície, visto que só alcançam até 10 nm, para obter informações sobre o perfil de profundidade é necessário usar métodos de deconvolução [81,89].

3.2.8. Cromatografia

A cromatografia compreende um grupo diversificado e importante método de separação, identificação e determinação de componentes presentes em misturas complexas, como amônia, nitrato e nitrito, que são apresentados nesse trabalho. Para a análise desses íons, foi utilizado um cromatógrafo de íons (CI) (com limites de detecção de 100 pg – 1 ng), e esta técnica consiste na separação de cátions e ânions através de colunas empacotadas com resinas de troca catiônica ou aniônica, com baixa resistência iônica que possam ser deionizadas posteriormente, o que permite detecção de condutividade de alta sensibilidade. Assim, esses íons são dissolvidos em uma fase móvel (soluções aquosas com solvente miscível em água chamado também de eluente) que é forçada a percorrer uma fase estacionária (fixada em uma coluna) e imiscível, através de pressões de bombeamento. Essas duas fases são escolhidas de modo que os componentes da amostra sejam distribuídos entre a fase móvel e estacionária em graus variados. Por causa dessas diferentes taxas de migração, os componentes são separados e analisados quantitativa e qualitativamente [75,79].

A introdução da amostra no cromatógrafo líquido (LC, sigla do inglês) é baseada no uso de loops de amostragem (com volumes definidos em escala de μL), que geralmente são parte integrante do equipamento cromatográfico, para aumentar a reprodutibilidade com que as amostras são introduzidas no empacotamento da coluna e comumente são realizadas por sistema de autoinjetor (através de frascos em um carrossel de amostras). Além do volume automatizado injetado na coluna, manter a temperatura da coluna constante leva a obter cromatogramas com melhores separações e reproduzíveis, assim, a maioria dos instrumentos comerciais estão equipados com aquecedores que controlam as temperaturas de décimos de graus da temperatura ambiente a 150 °C [79].

Os íons são identificados e quantificados por detectores de condutividade, estes são bastante vantajosos, visto que são altamente sensíveis, universais para espécies carregadas e correspondem de maneira previsível as mudanças de concentração.

3.2.9. Espectrofotômetro UV-visível

As regiões espectrais ultravioleta e visível (190 a 800 nm) da espectroscopia de absorção molecular são amplamente utilizadas para o quantitativo na determinação de substâncias inorgânicas, orgânicas e biológica, nesse trabalho foi aplicada para quantificação de amônia, hidrazina, nitrato e nitrito. Esta técnica se baseia na medição de transmitância (T) ou absorbância (A) de soluções contidas em células transparentes com um comprimento de caminho (b) em centímetros [79]. Conforme dado pela lei de Lambert–Beer, a concentração do analito absorvente é linearmente relacionada com a absorbância (Equação 8).

$$A = -logT = log \frac{P_0}{P} = \varepsilon bc$$
 (Equação 8)

Onde, P_0 corresponde a luz incidente e P a luz transmitida, ϵ = absortividade e c = concentração.

3.2.10. Teoria Funcional da Densidade (DFT)

Uma das abordagens mais populares na química computacional é a teoria funcional da densidade (DFT), porque incorpora alguma correlação eletrônica a um custo consideravelmente menor e em alguns casos, melhor concordância com valores experimentais do que os obtidos nas técnicas de Métodos de Cluster Acoplados ou Interação de Configurações [90]. O foco central da DFT é a densidade eletrônica, ρ , em vez da função de onda, ψ . A parte funcional do nome vem do fato de que a energia da molécula é uma função da densidade eletrônica, escrita $E[\rho]$, a densidade eletrônica em si é uma função da posição, ρ (r), e em matemática uma função de uma função é chamada de 'funcional' [91].

A DFT é frequentemente listada como uma teoria *ab initio*, embora inclua alguma parametrização. Em um método semiempírico, muitas das integrais são estimadas apelando para dados espectroscópicos ou propriedades físicas, como energias de ionização, e usando uma série de regras para definir certas integrais iguais a zero. A DFT considera a densidade eletrônica total ao invés de colocar elétrons em orbitais individuais, então se a densidade eletrônica for conhecida precisamente, torna-se possível determinar a energia total e todas outras propriedades do sistema precisamente. Essa densidade eletrônica é calculada a partir de versões modificadas da equação de Schröndiger conhecidas como equações de Kohn-Sham [91].

Dos métodos computacionais disponíveis, a escolha a ser feita do método empregado deve ser levado em consideração a precisão versus o tempo. Para moléculas pequenas e teoria de alto nível, é possível fazer previsões notavelmente precisas de geometria moleculares e energias em tempos computacionais menores [90]. Assim, a função matemática que relaciona a densidade eletrônica à energia que foram empregadas neste trabalho está descrita na Seção 4.8.

4. PARTE EXPERIMENTAL

4.1. Limpeza das vidrarias

Todas as vidrarias utilizadas foram lavadas após cada experimento com solução alcoólica de KOH (etanol com 10% de hidróxido de potássio) e enxaguadas abundantemente com água ultrapura (0,05 μS cm⁻¹).

4.2. Materiais e métodos

4.2.1. Reagentes

Os reagentes utilizados nos experimentos estão apresentados a seguir: HNO₃ (70%; Alphatec), H₂SO₄ (98%; Merck), H₃PO₄ (85%; Dinâmica), NaNO₃ (99,5%; Merck), HCl (37%; Vetec), K₂S₂O₈ (99%; Merck), NO₂ (solução de 100 ppm; Sigma–Aldrich), padrão multicátions para CI (NH₄⁺ 400 ppm; Sigma-Aldrich), padrão multiânions para CI (NO₃⁻ 20 ppm; Sigma-Aldrich), NH₄OH (solução 28% m/v em H₂O; Merck), H₂O₂ (30%; Vetec), P₂O₅ (99%; Vetec), K₂SO₄ (99%; Sigma–Aldrich), ureia (99%; Neon), NaClO (10-12%; Neon), KMnO₄ (98%; Nuclear), 4–(dimetillamino)benzaldeído (99%; Sigma–Aldrich), C₂H₆O (95%, Vetec), ácido nitrico/ácido dipiconilico (solução 17 mM; Sigma-Aldrich), Na₂CO₃/NaHCO₃ (solução 64/20 mM; Sigma-Aldrich), CoCl₂·6H₂O (98%; Sigma-Aldrich), NH₄Cl (99,5%; Sigma-Aldrich), fenol (99%; Sigma-Aldrich), sulfanilamida (98%; Sigma-Aldrich), N-1-naftil)etilenodiamina ácido Sigma-Aldrich), dihidroclorídrico (98%; Sigma–Aldrich), sulfâmico (99%; nitroprussiato de sódio dihidratado (Na₂[Fe(CN)₅]NO·2H₂O) (99%; Sigma-Aldrich), Nafion[®] (20% m/v; Sigma-Aldrich), sulfato de hidrazina (NH₂NH₂·H₂SO₄) (99%; Sigma-Aldrich), e nanotubos de carbono de paredes múltiplas (MWCNTs) com dimensão de 10±1 nm (diâmetro externo)×4,5 ± 0,5 nm (diâmetro interno) e 3–6 μm comprimento, com seis a oito paredes tubulares (Sigma-Aldrich).

4.2.2. Sínteses

4.2.2.1. Síntese das nanofitas de grafeno

As nanofitas de grafeno (GNRs) foram sintetizadas através do método desenvolvido por Cardoso e colaboradores [68], onde 0,70 g de MWCNT foram dispersados em 20 mL de H₂SO₄ concentrado; 0,37 g de K₂S₂O₈ e 0,37 g de P₂O₅ foram adicionados a mistura que foi submetida a aquecimento a 80°C por 6h sob agitação. Na sequência, a solução foi arrefecida até a temperatura ambiente e foi adicionado em água a 0°C. O produto foi então filtrado sob vácuo em membrana de Nylon de 0,22 μm e lavado com água até o pH neutro. O produto é seco em temperatura ambiente.

O produto obtido foi reoxidado utilizando 40 mL de H₂SO₄ contendo 0,70 g de NaNO₃ e 2,10 mg de KMNO₄ sob agitação, mantendo a solução a 0°C. A mistura foi aquecida a 32°C por 2 h sob agitação e em seguida 320 mL de água ultrapura a 5°C foram adicionados lentamente e 40 mL de H₂O₂ 30% v/v gota a gota à mistura em agitação por 20 minutos. Após atingir a temperatura ambiente, a solução foi transferida para um recipiente de água ultrapura de 3,5 L a 0°C. Após 24 h, o precipitado foi centrifugado a 7.500 rpm e lavado com água ultrapura, seguido da lavagem com solução 90:10 H₂O/HCl v/v e posteriormente com água até pH neutro do sobrenadante. Posteriormente, o material foi seco a 50°C por 24 h, resultando em nanofitas de óxidos de grafeno (GONR).

Para obtenção das nanofitas de grafeno reduzidas, foi empregado o GONR produzido na etapa anterior e submetidos a etapa de redução. Assim, a dispersão homogênea de 250 mg de GONR foi misturado com 5 ml de solução aquosa de sulfato de hidrazina (21 mg) e 35 μL de solução de NH₄OH 28% m/v foi vigorosamente agitado por 30 min. A solução foi mantida em banho maria a 95°C por 2h e 30 min. Após atingir a temperatura ambiente, o GNR foi obtido após filtração a vácuo usando um filtro de Nylon de 0,22 μm e lavado com 100 ml de NH₄OH 0,5 % v/v. O excesso de base foi removido lavando o material com água em sistema a vácuo até que o pH neutro fosse atingido e seco em temperatura ambiente.

4.2.2.2. Síntese dos compósitos de óxido de Co (Co₃O₄) suportados ou não em GNR

As sínteses descritas abaixo produziram os compósitos de óxido de Co (Co₃O₄) utilizados no trabalho. Os dados obtidos na AAS (Seção 5.1.1.) apresentados na Tabela 4 foram utilizados para quantificar a quantidade de Co (% em massa) presente nas amostras e para nomear as amostras representando as porcentagens em conteúdo de Co nesses materiais.

A decoração das nanopartículas de óxido de cobalto (Co₃O₄) sobre o GNR foi realizada por método hidrotermal e está resumida na Tabela 1.

Tabela 1. Massa utilizada de CoCl₂.6H₂O, GNR e Ureia para síntese dos diferentes catalisadores: Co₃O₄(Cont.75%), GNR(Cont.0%) e diferentes variações de Co₃O₄(.)GNR.

Compósito	CoCl ₂ ·6H ₂ O / mg	GNR / mg	Ureia / g
Co ₃ O ₄ (Cont.55%)GNR	300	48	1,5
Co ₃ O ₄ (Cont.75%)	300	_	1,5
GNR(Cont.0%)	-	48	1,5
Co ₃ O ₄ (Cont.38%)GNR	150	48	1,5
Co ₃ O ₄ (Cont.53%)GNR	450	48	1,5

O material Co₃O₄(Cont.55%)GNR foi produzido a partir da mistura em um béquer com 48 mg de GNR, 300 mg de CoCl₂·6H₂O, 1,5 g de ureia e 90 ml de água ultrapura. Após a adição foram sonicados por 40 minutos. Na sequência, a dispersão foi transferida para uma autoclave de aço inoxidável revestido de teflon e mantido a 180°C por 24 h. Após resfriado em temperatura ambiente, o produto foi lavado com água ultrapura e centrifugado por diversas vezes, e por fim foi seco a 40°C por 12 h (Figura 5).

Foi seguido o mesmo procedimento para o Co₃O₄(Cont.75%), porém, na ausência de GNR. Para o GNR(Cont.0%) foi seguido o mesmo procedimento, porém, na ausência de CoCl₂·6H₂O. Para os demais materiais Co₃O₄(Cont.38%)GNR e Co₃O₄(Cont.53%)GNR foi empregado o mesmo procedimento com a utilização de 150 e 450 mg de CoCl₂·6H₂O, respectivamente, ao invés de 300 mg do mesmo sal.

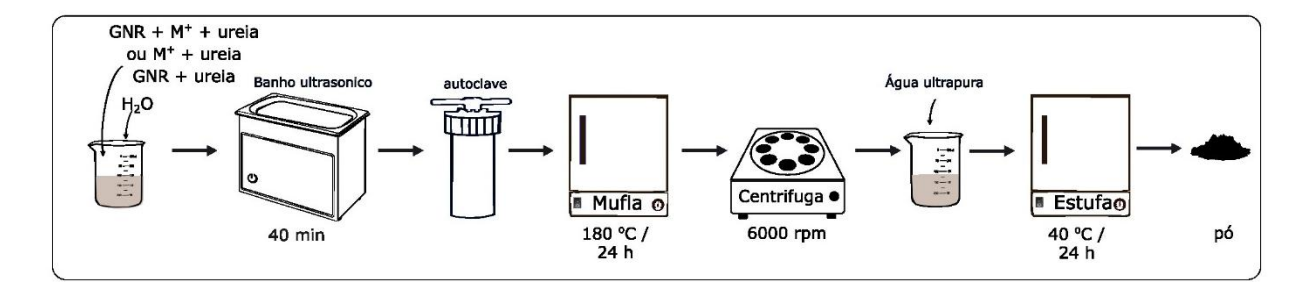


Figura 5. Imagem representativa do esquema de síntese dos compósitos para as diversas variações de óxidos de Co com GNR ou não.

4.2.3. Preparação do eletrodo

Foi utilizado o papel carbono (PC) como eletrodo, que foi preparado a partir da folha de papel carbono dimensionada em 2,5 x 1 cm² submetida a processo de lixiviação para remover qualquer metal que possa estar impregnado no PC. Então, as fitas foram colocadas em um béquer com 30 mL de solução 0,5M H₂SO₄/HNO₃ e sonicados por 20 minutos e posteriormente aquecido a 50°C por 8 h [70]. Após a lixiviação, as fitas foram lavadas por diversas vezes com água ultrapura, até que fosse alcançado o pH neutro e secas em temperatura ambiente.

Foi preparado um filme uniforme dos materiais sintetizados (Seção 4.2.2.2) na superfície do papel carbono, que foi gotejado em cada face, em solução aquosa contendo 0,1% de Nafion® em área de 1 cm², resultando em carregamento de 19,0; 37,5; 56,0; 75,0 e 150 μg cm². Após preparação do filme, foi gotejado 10 μL de solução de Nafion® 0,1% na superfície do catalisador. Esses filmes foram secos em temperatura ambiente (Figura 6a–e). Subsequentemente, os eletrodos modificados foram imersos em água ultrapura antes de serem colocados na célula eletroquímica.

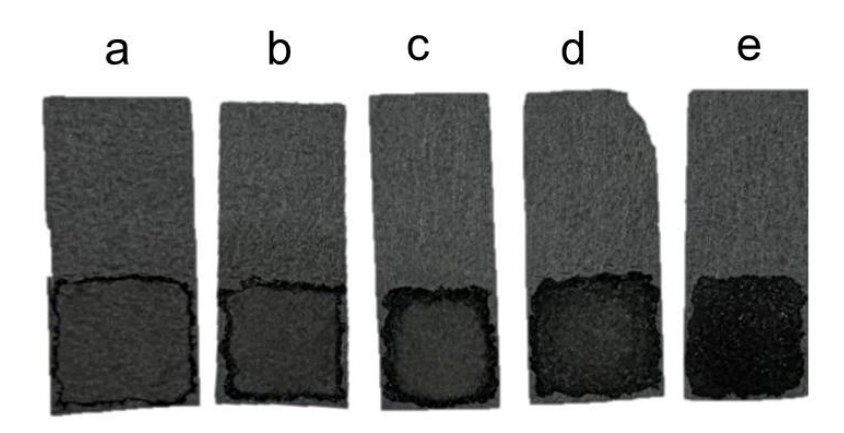


Figura 6. Eletrodo de PC em diferentes carregamentos do catalisador $Co_3O_4(Cont.55\%)GNR$ em A=1 cm²: (a) 19,0; (b) 37,5; (c) 56,0; (d) 75,0; (e) 150 μg cm⁻².

4.2.4. Preparo amostra para digestão

A digestão da amostra foi realizada seguindo o procedimento descrito por Polkowska–Motrenko e colaboradores [92]. Onde 10 mL de HNO₃ concentrados são adicionados a 2 mg da amostra em um béquer. O béquer foi coberto com um vidro de relógio e aquecido até o desaparecimento da cor marrom (proveniente do desaparecimento da espécie NO₂⁻). O béquer foi resfriado a temperatura ambiente e 2 mL de HClO₄ foi adicionado e o béquer foi aquecido até que vapores de HClO₄ aparecessem. Esta solução foi resfriada e transferida para um tubo de PTFE seguido da adição de 5 mL de 40% de HF e aquecido até que toda a amostra fosse evaporada (até a secura). O resíduo foi dissolvido em 10 mL HCl concentrado e submetido ao procedimento de separação. Posteriormente, uma alíquota de 500 μL das amostras foi diluída em um balão de 10 mL contendo uma solução aquosa de HCl (50/50) e levada para análise no AAS como descrito na Figura 7.

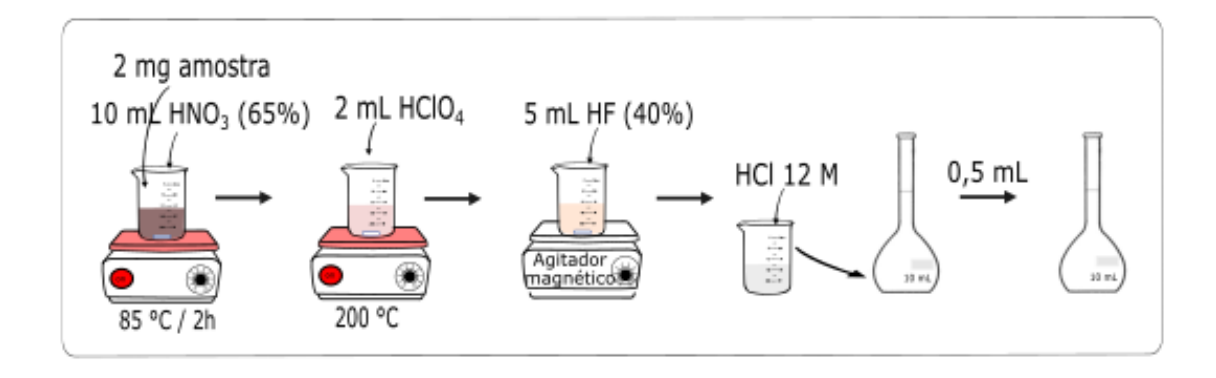


Figura 7. Imagem representativa do esquema da digestão ácida dos compósitos e padrões para posterior análise no AAS.

4.2.5. Preparo das amostras para análise de TEM, HR-TEM, SEM e EDX

Soluções aquosas diluídas dos compósitos sintetizados foram gotejadas em um filme ultrafino de carbono suportado por um filme de carbono numa grade de cobre 400 *mesh* (Ted Pella, Inc.) e secas a temperatura ambiente. As grades foram levadas as análises de TEM e HR—TEM.

Para as análises de SEM e EDX, foi preparado uma solução aquosa dos compósitos e gotejadas em placas de silicone tipo <100> dopada com boro.

4.3. Aparatos e medidas eletroquímicas

4.3.1. Voltametria de varredura cíclica, voltametria de varredura linear estacionária e cronoamperometria

Todos os experimentos eletroquímicos para eletrolise foram conduzidos utilizando uma célula de vidro tipo H, contendo ramo anódico e catódico separados por vidro sinterizado com porosidade número $4 (10 \ a \ 16 \ \mu m)$ com sistema de três eletrodos: um eletrodo de trabalho (papel

carbono, PC com área = 1,0 cm²), um eletrodo de referência (Eletrodo Reversível de Hidrogênio, ERH), e uma haste de grafite utilizada como contra eletrodo. A distância entre o eletrodo de trabalho e o contra eletrodo foi de 7,6 cm. O eletrólito de suporte utilizado foi K₂SO₄ 0,1 M, sendo adicionado 35 mL no cátodo e 20 mL no anodo (Figura 8). Após os experimentos eletroquímicos em K₂SO₄ 0,1 M, diferentes concentrações de NaNO₃ foram adicionadas no ramo catódico. As soluções foram todas saturadas em Ar (pureza 5,0, adquirido da White Martins). Para promover os ensaios de redução eletroquímica, primeiramente os eletrodos de PC e PC modificados foram estabilizados por três voltametria de varredura cíclicas (VC) de 0,7 a −0,2 V a 50 mV s⁻¹, seguidas de três voltametrias de varredura linear (LSV) de 0,2 a −1,0 V a 5 mV s⁻¹. Foi realizado a eletrolise por cronoamperometria, aplicando os potenciais (−0,5; −0,6 e −0,7 V vs. ERH) por tempos de 3600 s. Após cada eletrolise foi realizado a coleta de 300 μL de alíquotas, totalizando 3 eletrolises, contabilizando 10.800 s de cronoamperometria. Ao final do procedimento, foi realizado uma VC e uma LSV e realizado o procedimento de espectroscopia de impedância eletroquímica (EIE) e capacitância da dupla camada (C_{dc}).

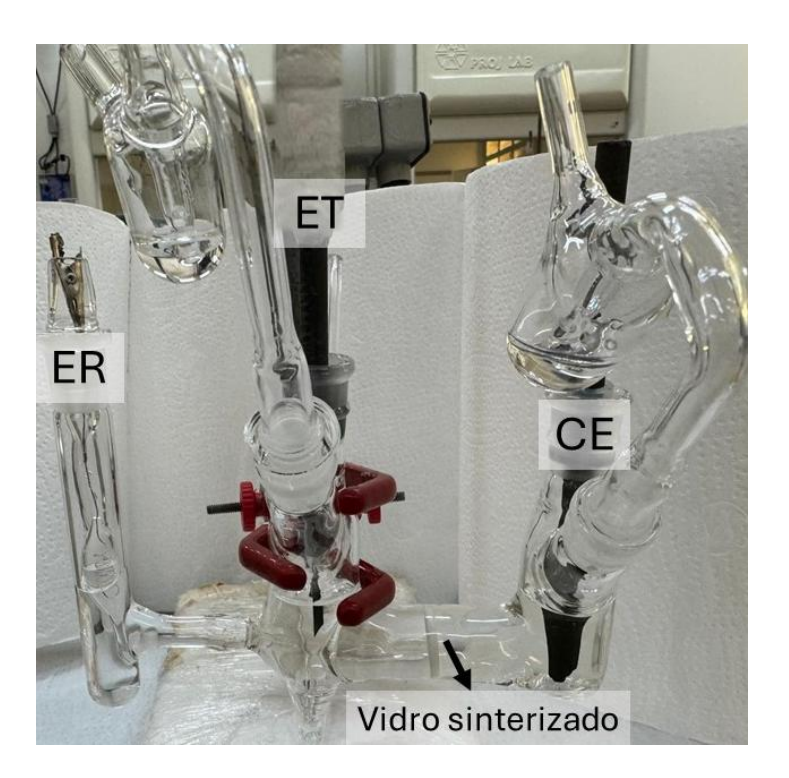


Figura 8. Imagem da célula eletroquímica tipo H com compartimento do cátodo e anodo separado por vidro sinterizado; conjunto com três eletrodos: eletrodo de referência (ERH), eletrodo de trabalho (PC com e sem modificação) e contra eletrodo (haste de grafite).

Seguindo o mesmo procedimento que foi descrito acima, foi realizado um ensaio eletroquímico utilizando uma célula de vidro tipo H, com ramo anódico e catódico separados

por uma membrana de Nafion 117. A distância entre o eletrodo de trabalho e o contra eletrodo foi de 7,9 cm. O eletrólito de suporte utilizado foi K₂SO₄ 0,1 M, sendo adicionado 31 mL no cátodo e 21 mL no ânodo (Figura 9).

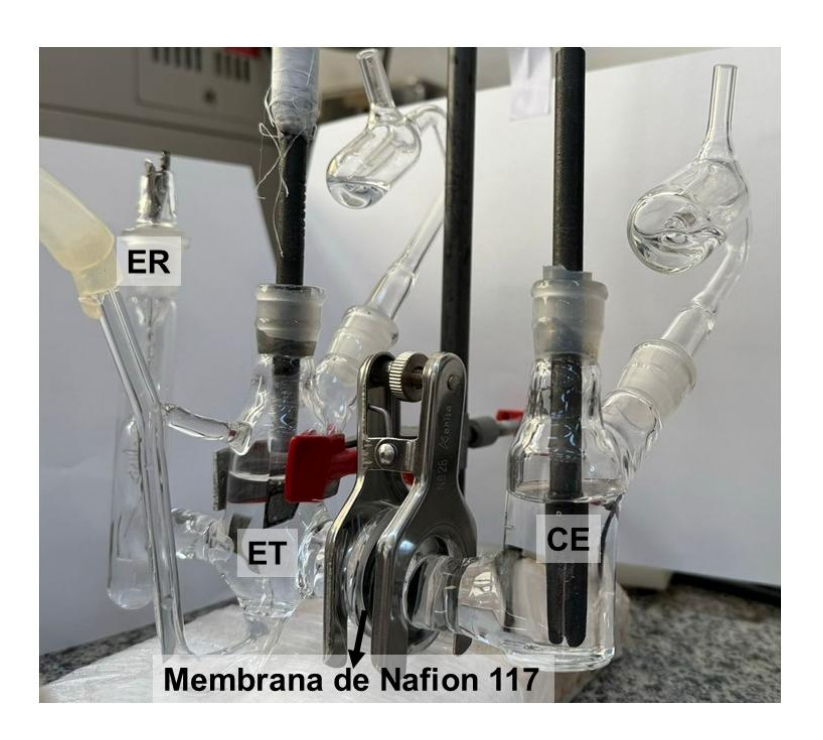


Figura 9. Imagem da célula eletroquímica tipo H com compartimento do cátodo e anodo separado por membrana de Nafion 117; conjunto com três eletrodos: eletrodo de referência (ERH), eletrodo de trabalho (PC com e sem modificação) e contra eletrodo (haste de grafite).

Os experimentos eletroquímicos de caracterização de VC e LSV foram realizados em um sistema de célula de vidro com compartimento único, contendo os mesmos eletrodos descritos nas Figuras 8 e 9. As janelas de potencial aplicadas foram de 0,7 a -0,7 V e 1,65 a -0,35 V ambas em 50 mV s⁻¹ e LSV de 0,2 a -1,0 V a 5 mV s⁻¹. As VCs e LSVs foram realizadas usando um bipotenciostato AFCBP1 (Pine Research Instrumentation), controlado pelo software PineChem 2.5 (Figura 10).

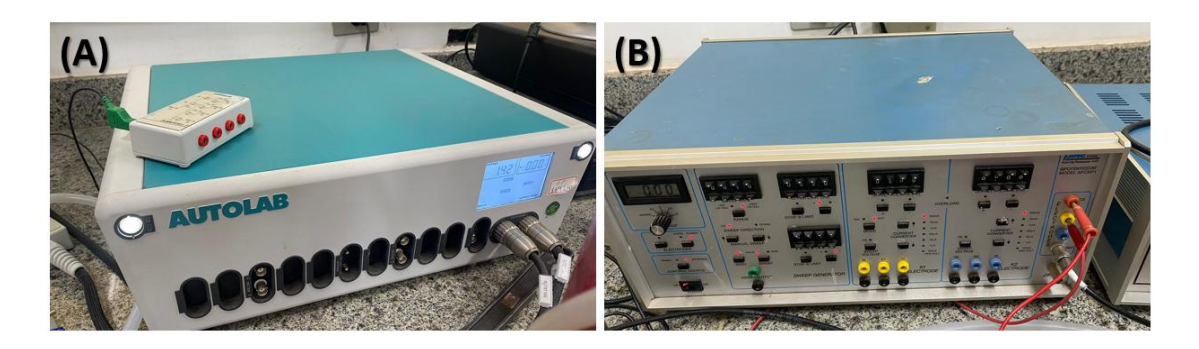


Figura 10. Potenciostato/galvanostato (A) PGSTAT128N da Autolab com um módulo FRA2.X e (B) AFCBP1 da Pine Research Instrumentation.

Fonte: do autor.

4.3.2. Espectroscopia de Impedância Eletroquímica, determinação da área superficial eletroquímicamente ativa e eficiência faradaicas

Para o estudo de Espectroscopia de Impedância Eletroquímica (EIE), um potenciostato-galvanostato PGSTAT128N (Autolab), controlado pelo software NOVA 2.1, equipado com modulo FRA2.X foi usado durante os experimentos de EIE performadas em potencial de circuito aberto (PCA) com faixa de frequência de 10 mHz-100 kHz e perturbação de potencial de 10 mV (rms).

Para as medidas de C_{dc} também foi utilizado o Autolab, a partir da determinação do PCA para cada catalisador (Tabela 1), as VCs foram realizadas na janela de potencial de 100 mV centralizadas na região do PCA, parando-se 10 s em cada vértice.

$$C_{dc} = \left(\left(\frac{\Delta I}{2}\right) = \left(\frac{I_a - I_c}{2}\right)\right) / v$$
 (Equação 9)

No qual, I_a e I_c representam as correntes anódicas e catódicas, respectivamente, no meio da janela de potencial da VC, e v é a taxa de varredura do potencial.

O ECSA é obtido através da razão C_{dc} e capacitância específica C_s do eletrodo de superfície plana, assumimos o valor de 0,040 mF cm $^{-2}$ neste trabalho para obter os valores de ECSA para os catalisadores de metais não nobres em K_2SO_4 0,1M [77,78], como descrito na equação a seguir.

$$ECSA = \frac{cdc}{cs} \quad (Equação 10)$$

4.4. Aparatos de medidas físicas e químicas

Para a análise termogravimétrica o equipamento utilizado foi um Shimadzu TGA–50, com fluxo de ar sintético (5.0 FID) de 50 mL min⁻¹ com faixa de temperatura de 35 a 905 °C em razão de aquecimento de 10 °C min⁻¹, usando 5 mg de massa da amostra em um cadinho de platina. Para uma análise térmica mais detalhada e direcionada a descobrir quais elementos compõe uma amostra, dentre carbono (C), hidrogênio (H), nitrogênio (N), enxofre (S) e oxigênio (O), a AE é uma técnica qualitativa e quantitativa desses elementos. A AE foi performada usando um equipamento da Thermo, modelo Scientific Flash 2000 CHNS/O, sob condições de operação de ciclo de 720 s de tempo de execução e temperatura de forno de 950 °C para determinação de CHNS e sob ciclo de 400 s em temperatura de forno de 1060 °C para determinação de O.

Para quantificação de Co presente nas amostras, foi utilizado um espectrofotômetro da PinAAcle modelo 900T, com composição da chama (Ar sintético 10 L min⁻¹ e Acetileno 2,5 L min⁻¹).

A morfologia e a distribuição dos nanocompósitos e nanopartículas foram caracterizados por um microscópio eletrônico de transmissão (TEM) registrada em equipamento FEI TECNAI G² F20 HR-TEM operado a 200 kV. Os filmes dos compósitos também foram caracterizados por microscopia eletrônica de varredura com pistola de emissão de campo (SEM-FEG) utilizando equipamento JEOL JSM 7200F acoplado ao EDX.

As análises das estruturas cristalinas dos compósitos foram realizadas por um equipamento de DRX, utilizando o difratômetro de raios—X (Bruker D8 Advance), operando nas condições de 40 kV e 40 mA (1,6 kW). Os parâmetros experimentais adotados incluíram taxa de varredura de 0.02° s⁻¹ a 2θ , o uso da radiação de Cu–K α_1 com λ = 1,540501 Å e energia de 8,047 keV, e pó de Si foi empregado como padrão de referência.

Informações úteis sobre a estrutura química dos materiais foram obtidas através da análise dos dados espectrais de Raman, obtidos em um espectrômetro micro-Raman LabRam HR Evolution (Horiba Jobin-Yvon) em temperatura ambiente. Foi utilizado um laser de estado sólido operando a 633 nm, em grade padrão (600gr/mm) e um detector EMCCD (Synapse EM). As amostras foram excitadas com laser de baixa intensidade (2mW) para evitar superaquecimento e ocorrência de fenômenos fotoquímicos. Uma objetiva 100 (Olympus, MPlan N) foi usada para focar o laser na amostra. Os espectros foram coletados em um tempo de aquisição de 12 s.

Para medir a composição elementar da superfície foi utilizado um PHI Quantera II para realizar as análises no XPS. A linha Al Kα (1486,6 eV) foi utilizada como fonte de ionização, que operou a 15 kV e 25 W. Após realizar a subtração de fundo, os espectros foram deconvolucionados usando uma combinação de Lorentiziano (30%) e Gaussiano Voigt (70%).

4.5. Aparatos e medidas para quantificação dos produtos formados

As quantificações das concentrações dos produtos foram baseadas na curva de calibração de padrão externo e plotados em função da concentração e área dos picos. Para isso, foi utilizado um cromatógrafo iônico 930 Compact IC Flex (Metrohm, Figura 11) utilizando um detector de condutividade. Para a análise de cátions, para determinação de amônia, foi empregada uma coluna cromatográfica Metrosep C6–100/4.0, com vazão de 0,9 mL min⁻¹ de ácido nítrico/ácido dipiconílico 1,7 mM como eluente. Em detalhe, para a identificação e quantificação das amostras, foram utilizados 100 μL de alíquotas em volume final de 10 mL de HNO₃ 1,7 mM no carrossel. A curva de calibração foi obtida usando padrão certificado de multi cátions na faixa de 0,4 a 60 ppm. Para análises no modo ânion, na determinação de nitrato e nitrito, foi utilizada uma coluna cromatográfica Metrosep A Supp 5–150/4.0 com vazão de 0,7 mL min⁻¹ utilizando Na₂CO₃ 3,2 mM/NaHCO₃ 1,0 mM como eluente. Para a leitura e quantificação de nitrato e nitrito, foram adicionados 500 μL de alíquota em 9,5 mL de água no carrossel. A curva de calibração foi obtida usando um padrão certificado de multi ânions com faixa de 0,8 a 174,1 ppm para nitrato e 0,5 a 16 ppm para nitrito. Para ambas as análises (cátions e ânions) foi utilizado um loop de 20 μL e aquecimento da coluna a 30 °C.



Figura 11. Imagem de um Cromatógrafo de Íons modelo 930 Compact IC Flex 9componente da direita) e um autoinjetor 915 IC autosampler flex (componente da esquerda), ambos da Metrohm. Fonte: do autor.

As quantificações dessas espécies foram realizadas medindo as absorbâncias utilizando um espectrofotômetro UV-visível Hitachi U3000 (Figura 12), empregando cubetas de quartzo.



Figura 12. Imagem de um espectrofotômetro UV-visível da Hitachi (modelo U3000).

Fonte: do autor.

Assim, a concentração de amônia foi determinada usando o método de azul de indofenol [93]. Em que duas soluções foram preparadas separadamente em balões volumétricos, Solução A contendo 1 g de fenol e 5 mg de nitroprussiato dissolvidos em água (preenchidos até 100 mL); Solução B foi preparada utilizando 0,5 g de NaOH e 0,84 mL de NaClO (10–12%)

preparado em água (até 100 mL). Para a preparação das amostras e padrões, foi adicionado 10 μL da amostra ou solução padrão e 4,99 mL de cada solução A e B. As soluções foram deixadas em repouso por 1 h e em seguida foram medidos os espectros de absorção UV–Visível (800 – 400 nm), onde a concentração da amônia foi avaliada em relação a absorbância em 625 nm. A curva de absorbância-concentração de amônia foi obtida utilizando uma solução padrão de NH₄Cl (0,02 a 0,7 ppm) em K₂SO₄ 0,1 M.

A concentração de hidrazina foi determinada utilizando o método desenvolvido por Watt e Chrisp [94]. Foi preparado uma solução reagente corante dissolvendo 0,2 g de p—(dimetilamina)benzaldeido em 1 mL de HCl (12,0 M), seguido da adição de 10 mL de etanol. Os espectros de absorção foram medidos em soluções preparadas misturando 0,4 mL de reagente corante e 0,3 mL da amostra ou solução padrão em balão volumétrico de 10 mL (aferido em água), seguido da agitação rápida e deixando a mistura em repouso por 10 minutos e seguido das medidas de espectros de absorção UV-visível (750 — 400 nm), onde a concentração de hidrazina foi medida em 455 nm. A curva de absorbância-concentração de hidrazina foi obtida utilizando uma solução padrão de N₂H₄ H₂SO₄ (0,05 a 1,00 ppm).

A concentração de nitrato foi determinada pelo método colorimétrico na faixa de comprimento de onda de 300 – 190 nm [95]. Em um balão volumétrico de 10 mL foi adicionado 100 μL de solução de HCl (1,0 M), 10 μL de solução aquosa de ácido sulfâmico (0,8 %, em massa) e alíquotas da solução padrão ou amostra e aferidos em água, permanecendo em repouso por 10 minutos para posterior análise. As alíquotas de amostras e padrões foram coletadas e diluídas levando em consideração o intervalo de detecção. As concentrações de nitrato foram analisadas em relação à absorbância a 220 nm menos 2 vezes a absorbância a 275 nm (A = A220 – (2xA275)). As concentrações de nitrato foram obtidas através de soluções padrões de NaNO₃ (0,5 a 6,4 ppm) em solução de K₂SO₄ 0,1 M.

O Reagente de Griess foi utilizado para determinação da concentração de nitrito [96]. Em um balão volumétrico de 5 mL foi solubilizado 0,4 g de p-aminobenzenosulfanamida e 0,02 g de N–(1–Naftil)–etilenodiamino diidrocloridrico em 1 mL de H₃PO₄, seguido da adição de água. Foi utilizado 100 μL do reagente de Griess e 400 μL de solução padrão ou amostra em balão volumétrico de 10 mL aferido com água. A solução foi mantida no escuro por 20 minutos e seguido das medidas de espectros de absorção UV-visível (750 – 400 nm), onde a concentração de nitrito foi avaliada em relação a absorbância em 540 nm menos a absorbância

em 750 nm (A= A540nm – A750 nm). A curva de absorbância-concentração de nitrito foi obtida utilizando uma solução padrão de NO₂⁻ (0,01 a 1 ppm) em 0,1 M de K₂SO₄.

4.6. Aparatos de medidas in situ

Para as análises de FTIR *in situ* foi utilizado uma célula eletroquímica constituída de três eletrodos: carbono vítreo (ET), Pt (CE) e ERH (ER). Foi empregado o catalisador Co₃O₄(Cont.55%)GNR em carregamento de 37,5 μg cm⁻² no CV, usado como eletrodo de trabalho, na presença de 0,1 M de K₂SO₄ e 40 mM de NaNO₃. Os espectros foram coletados no potencial do circuito aberto e em diferentes potenciais cronoamperométricos (0,2 a –0,8 V *vs*. ERH, com diferença de 100 mV para cada espectro coletado). Foram adquiridos também espectros do potencial do circuito aberto e aplicando o potencial cronoamperométrico de –0,6 V *vs*. ERH com aquisição de cada espectro após 10 minutos.

As análises de Raman *in situ* foram realizadas empregando uma célula de eletrodos, com solução em gota na presença de 0,1 M de K₂SO₄ e 40 mM de NaNO₃, com ET de carbono, ER de Ag e CE de carbono. Os espectros foram coletados no potencial do circuito aberto e em diferentes potenciais cronoamperométricos (0,6 a –1,0 V *vs.* ERH, com diferença de 100 mV para cada espectro coletado) e aquisição de cada espectro após 10 minutos aplicando o potencial cronoamperométrico de –0,6 V *vs.* ERH. O eletrodo de trabalho foi modificado com os catalisadores Co₃O₄(Cont.55%)GNR, Co₃O₄(Cont.75%) e GNR(Cont.0%) em carregamento de 37,5 μg cm⁻² no carbono.

4.7. Cálculo computacional teórico

Os cálculos de DFT foram realizados usando um código GPAW [97,98], uma ferramenta eficiente e flexível para cálculos de estrutura eletrônica. As interações de trocacorrelação foram tratadas usando o funcional Perdew-Burke-Ernzerhof (PBE) [99] que é um método de aproximação de gradiente generalizado (GGA) amplamente empregado. Um

conjunto de base de onda plana foi empregado com um corte de energia de 450 eV, onde resultados precisos foram garantidos, mantendo a eficiência computacional.

Para integração da zona de Brillouin, uma grade de pontos-k Monkhorst-Pack [100] de 4x4x1 foi usada. O critério de convergência de energia total foi definido de forma que a mudança na energia absoluta entre as interações fosse menor que 1 x 10⁻⁵ eV. Nas etapas de otimização da geometria, o sistema foi considerado convergido quando as forças atuando em cada átomo foram conduzidas para menos de 0,02 eV/Å.

A modelagem da superfície de Co₃O₄(111), foi dada com base nos resultados de DRX e HR-TEM, e o composto Co₃O₄(111)(Cont.55%)GNR foi conduzida usando uma supercélula (2 x 2), conforme mostrado na Figura 68 (APÊNDICE G). Uma região de vácuo de 15 Å foi usada para separar placas adjacentes. Primeiro, a estrutura Co₃O₄(111) foi totalmente otimizada para determinar sua geometria de equilíbrio. Depois disso, o GNR foi introduzido no sistema, e a estrutura combinada foi relaxada novamente para levar em conta as interações entre Co₃O₄ e o GNR.

Subsequentemente, as espécies de adsorvato (NO₃⁻, NO₂, NO, NHO, NH₂O, NH₂OH, NH₂ e NH₃) foram posicionados em seus respectivos sítios de adsorção. Um processo de relaxamento foi então realizado para acomodar quaisquer mudanças estruturais induzida pela adsorção.

Além dos cálculos de *slab*, as energias totais das espécies gasosas H₂O, NO₂ e H₂, foram computadas para fins de comparação; isso facilitou uma avaliação precisa das energias de adsorção.

4.8. Tratamento e equações aplicadas

Para determinar a seletividade geral de um processo eletroquímico foi utilizado a eficiência faradaica, essa aplicação considera a quantidade máxima em número de mols de produto que poderia ser formado em relação a quantidade de carga passada no eletrodo e é expressa em porcentagem. Assim, a EF foi determinada como descreve a Equação 11:

$$EF / \% = \frac{mol \ de \ NH_4^+ \ produzido \times n \times F}{Q} \ X \ 100$$
 (Equação 11)

No qual, n é igual a 8 para o número de elétrons envolvidos na formação de amônia através da redução de nitrato, Q é a carga eletroquímica passada no eletrodo e F é a constante de Faraday (96.485 C mol⁻¹).

O rendimento ou a taxa de produção de NH₄⁺ em um potencial aplicado específico foi calculado da seguinte forma:

Rendimento ou taxa de produção de $NH_4^+=\mu mol$ de NH_4^+ produzida/(h x área geométrica do eletrodo)

ou = mg de NH_4^+ produzida/(h x área geométrica do eletrodo)

ou = mg de NH₄⁺ produzida/(h x mg do catalisador usado

ou = mmol de NH₄⁺ produzida/ (h x mg do catalisador usado)

A eficiência de conversão de NO_3^- / %, migração de NO_3^- / % e a seletividade de NH_4^+ / % (com NO_3^- adicionado apenas no ramo catódico da célula H) foram calculados através das Equações 12 a 14.

A eficiência de conversão de nitrato (que foi adicionado apenas no ramo catódico) foi determinada seguindo a seguinte equação:

Eficiência de conversão de NO₃⁻ / % =
$$\frac{n_{NO_{3,inicial}^{-}} - n_{NO_{3,t}^{-}}}{n_{NO_{3,inicial}^{-}}} \times 100$$
 Equação 12

Em que $n_{NO_{3,}^-inicial}$ representa o número de mols de nitrato no ramo catódico da célula no tempo zero menos o número de mols de nitrato que migraram para o ramo anódico da célula em cada tempo; o $n_{NO_{3,}^-t}$ representa o número de mols de nitrato que permaneceu no ramo catódico da célula no tempo t.

A migração de nitrato / %, do ramo catódico da célula para o ramo anódico foi determinada pela seguinte equação:

Migração de
$$NO_3^-$$
 / %= $\frac{n_{NO_3^-,t,\ migrado\ do\ ramo\ catódico\ da\ célula\ para\ o\ ramo\ anódico}}{n_{NO_3^-,inicial,\ ramo\ da\ célula\ catódica}} \times 100$

Equação 13

Em que $n_{NO_3^-,inicial}$, $r_{amo\ da\ c\'elula\ cat\'odica}$ representa o número de mols de nitrato do ramo cat\'odico da c´elula no tempo zero; e $n_{NO_3^-,t}$, $m_{igrado\ do\ ramo\ cat\'odico\ da\ c\'elula\ para\ o\ ramo\ an\'odico}$ representa o número de mols de nitrato do ramo an\'odico no tempo t.

A seletividade de NH₄⁺ / %, foi determinada pela Equação 14.

Seletividade de NH₄⁺ / % =
$$\frac{n_{NH_4^+,t}}{n_{NO_3^-,inicial}-n_{NO_3^-,t}} \times 100$$
 Equação 14

Em que $[NH_4^+]_t$ representa os números de mols de amônia no tempo t.

A obtenção de eficiência de conversão de NO_3^- / %, migração de NO_3^- / % e a seletividade de NH_4^+ para o experimento adicionando nitrato nos ramos anódicos e catódicos foram obtidos pelas Equações 15 a 17.

A eficiência de conversão de nitrato (que foi adicionado em ambos os ramos da célula – anódico e catódico) foi determinada seguindo a seguinte equação:

Eficiência de conversão de
$$NO_3^-$$
 / % =
$$\frac{(n_{NO_3^-,inicial}-n_{NO_3^-,t})_{ramo\ catódico\ da\ célula} - (n_{NO_3^-,t}-n_{NO_3^-,inicial})_{ramo\ anódico\ da\ célula}}{n_{NO_3^-,inicial},\ ramo\ catódico\ da\ célula} \times 100 \quad \text{Equação}\ 15$$

Em que $(n_{NO_{3,}^-inicial}-n_{NO_{3,}^-t})_{ramo\ catódico\ da\ célula}$ representa o número de mols de nitrato no ramo catódico da célula H no tempo zero e $(n_{NO_{3,}^-t}-n_{NO_{3,}^-inicial})_{ramo\ anódico\ da\ célula}$ representa o número de mols de nitrato que permaneceram no ramo catódico da célula H no tempo t.

A migração de nitrato / %, do ramo catódico da célula H para o ramo anódico (na presença da mesma quantidade de número de mols de nitrato em ambos os ramos anódicos e catódicos da célula) foi determinada pela Equação 16:

$$\label{eq:migração} \mbox{Migração de NO}_3^- \mbox{/ \%} = \frac{(n_{NO_3^-,t} - n_{NO_3^-,inicial})\mbox{ ramo anódico da célula}}{n_{NO_3^-,inicial,\mbox{ ramo anódico da célula}} \times 100$$

Equação 16

Em que $(n_{NO_{3,}t}-n_{NO_{3,}inicial})$ $r_{amo\ an\'odico\ da\ c\'elula}$ representa os números de mols de nitrato no ramo anódico da c´elula H no tempo zero, e $n_{NO_{3,}inicial,\ ramo\ an\'odico\ da\ c\'elula}$ representa os números de mols de nitrato no ramo anódico da c´elula H no tempo t.

A determinação da Seletividade de NH_4^+ / %, em que os números de mols de nitrato inicialmente eram iguais em ambos os ramos da célula H (anódico e catódico) foi determinada pela Equação 17:

Seletividade de
$$NH_4^+$$
 / % = $\frac{n_{NH_4^+,t}}{(n_{NO_3^-,inicial}^-n_{NO_3^-,t})_{ramo\ catódico\ da\ célula}} \times 100$ Equação 17

Em que $[NH_4^+]_t$ representa os números de mols de amônia no tempo t.

O processo de reação gradual do NH₃ usado nos cálculos do DFT:

superfície + HNO ₃ \rightarrow *NO ₃ + H ⁺ + e ⁻	Equação 18
*NO ₃ + 2H ⁺ + 2e ⁻ \rightarrow *NO ₂ + H ₂ O (I)	Equação 19
*NO ₂ + 2H ⁺ + 2e ⁻ \rightarrow *NO + 2H ₂ O (I)	Equação 20
$*NO + H^+ + e^- \rightarrow *NHO$	Equação 21
*NHO + H ⁺ + e ⁻ \rightarrow *NH ₂ O	Equação 22
$*NH2O + H+ + e- \rightarrow *NH2OH$	Equação 23
*NH ₂ OH + H ⁺ + e ⁻ \rightarrow *NH ₂ + H ₂ O (1)	Equação 24
*NH ₂ + H ⁺ + e ⁻ \rightarrow superfície + NH ₃	Equação 25

A superfície representa os sítios de adsorção na superfície e '*' representa as espécies adsorvidas, onde *NO₃, *NO₂, *NO, *NHO, *NH₂O, *NH₂OH e *NH₂, e NH₃ referem-se as espécies adsorvidas.

A variação de energia livre de Gibbs (ΔG) para cada etapa da reação foram calculadas usando as expressões de ΔG_1 a ΔG_8 (Equações 26 a 33):

$\Delta G_1 = E_{*NO3} - E_{superficie} - E_{HNO3} + 1/2E_{H2} + (\Delta ZPE - T\Delta S)_1 + \Delta G_{pH} + \Delta G_U$	Equação 26
$\Delta G_2 \!\! = E_{^*NO2} - E_{H2O} - E_{^*NO3} - E_{H2} + (\Delta ZPE - T\Delta S)_2 + \Delta G_{pH} + \Delta G_U$	Equação 27
$\Delta G_3 = E_{*NO} - E_{H2O} - E_{*NO2} - E_{H2} + (\Delta ZPE - T\Delta S)_3 + \Delta G_{pH} + \Delta G_{U}$	Equação 28
$\Delta G_4 = E_{*NHO} - E_{*NO} - 1/2E_{H2} + (\Delta ZPE - T\Delta S)_4 + \Delta G_{pH} + \Delta G_{U}$	Equação 29
$\Delta G_5 = E*_{NH2O} - E*_{NHO} - 1/2E_{H2} + (\Delta ZPE - T\Delta S)_5 + \Delta G_{pH} + \Delta G_U$	Equação 30
$\Delta G_6 \!\! = E_{^*NH2OH} - E_{^*NH2O} - 1/2E_{H2} + (\Delta ZPE - T\Delta S)_6 + \Delta G_{pH} + \Delta G_{U}$	Equação 31
$\Delta G_{7} = E_{*NH2} + E_{*H2O} - E_{*NH2OH} - 1/2E_{H2} + (\Delta ZPE - T\Delta S)_{7} + \Delta G_{pH} + \Delta G_{U}$	Equação 32
$\Delta G_8 = E_{NH3} + E_{superficie} - E_{*NH2} - 1/2E_{H2} + (\Delta ZPE - T\Delta S)_8 + \Delta G_{pH} + \Delta G_U$	Equação 33

Onde:

E representa a energia de interação obtida diretamente dos cálculos de DFT; ΔZPE e T ΔS são as variações na energia do ponto zero e o termo entrópico, respectivamente, com valores retirados das referências [91,101] e resumidas na Tabela 16 (APÊNDICE J); ΔG_{pH} é responsável pela contribuição da concentração de H⁺ para a energia livre e é dada pela Equação 34.

$$\Delta G_{pH} = -k_BT ln[H^+] = pH k_BT ln10 Equação 34$$

Onde k_B é a constante de Boltzmann, com T=298,15 K e pH=9 usados no presente estudo. ΔG_U representa a variação de energia em um potencial de eletrodo específico para todos os estudos envolvendo transferência de elétrons, calculado como –eU. O potencial de referência é definido como aquele do eletrodo de hidrogênio padrão (SHE, sigla do inglês), o potencial químico de $H^+ + e^-$ está relacionada a ½ H_2 na fase gasosa sob condições padrões (pH=0, p=1 bar, T=298 K, U=0).

5. RESULTADOS E DISCUSSÃO

5.1. Caracterização dos materiais

Todos os catalisadores sintetizados foram submetidos a experimentos de espectroscopia Raman, para obter informações sobre a cristalinidade, defeitos e a identificação de bordas dentro do GNR. Para obter informações sobre os tipos de óxido de Co suportadas em GNR foi utilizada a técnica de difração de raios—X e para informações sobre as espécies presentes nesses materiais, foram realizadas caracterizações de XPS.

A Figura 13a mostra os espectros de Raman obtidos para os catalisadores puros GNR(Cont.0%) e Co₃O₄(Cont.75%) e para as diferentes combinações de Co₃O₄(.)GNR, para esses mesmos materiais o espectro de DRX é apresentado na Figura 13b, e na Figura 13c os espectros de HR–XPS (adicional ao espectro do Co₃O₄GNR pós–estabilidade, que corresponde ao carregamento de 1.000,00 μg cm⁻² do Co₃O₄(Cont.55%)GNR após três horas de cronoamperometria em –0,6 V *vs.* ERH).

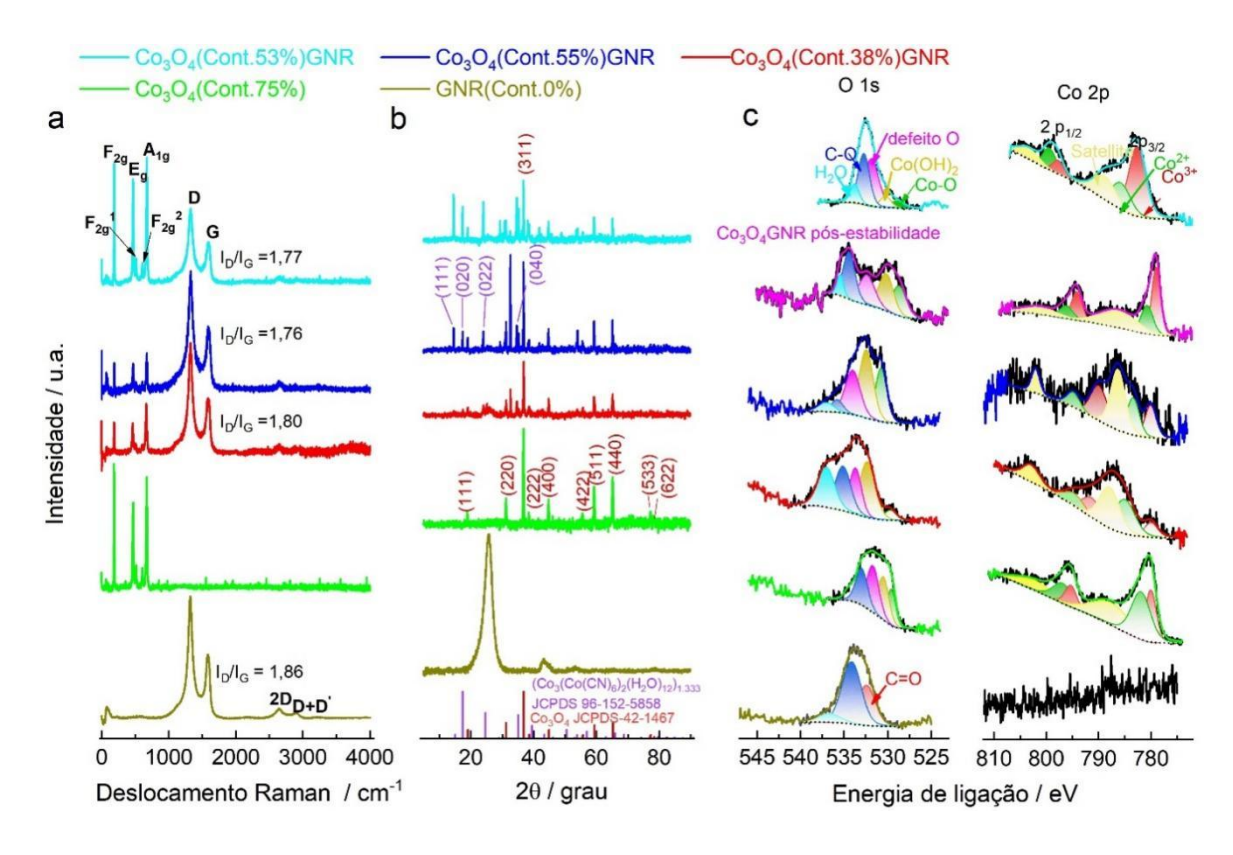


Figura 13. a) espectros de Raman, b) espectros de DRX, e c) espectros de HR–XPS para O 1s e Co 2p para o GNR e Co₃O₄ (puros), as diferentes combinações de Co₃O₄ com GNR (Co₃O₄(.)GNR) e Co₃O₄GNR pós–estabilidade).

Os espectros de Raman para $Co_3O_4(Cont.75\%)$, $Co_3O_4(Cont.38\%)GNR$, $Co_3O_4(Cont.55\%)GNR$ e $Co_3O_4(Cont.53\%)GNR$, revelam fortes picos de vibração, em média em 188, 469, 512, 607 e 673 cm⁻¹, correspondendo aos modos ativos de Raman F_{2g} , E_g , F_{2g}^1 , F_{2g}^2 e A_{1g} , da fase cúbica de Co_3O_4 [102–104]. Assumindo que as vibrações E_g e F_{2g} da rede do espinélio são consideradas aos íons Co^{2+} e Co^{3+} , enquanto os íons Co^{3+} coordenados octaedricamente contribuem apenas para forte banda de Raman A_{1g} [105].

O espectro de Raman para GNR(Cont.0%), Co₃O₄(Cont.38%)GNR, Co₃O₄(Cont.55%)GNR e Co₃O₄(Cont.53%)GNR revelam também bandas proeminentes de primeira-ordem: a banda de desordem (banda D) em aproximadamente 1326 cm⁻¹ e a banda de grafite (banda G) em torno de 1592 cm⁻¹ [67,68,106–110]. Em comparação com a banda G, a intensidade relativamente maior da banda D é indicativa da contribuição dos defeitos de borda do GNR [67,68,107] para os catalisadores GNR(Cont.%0), Co₃O₄(Cont.%38)GNR, Co₃O₄(Cont.%55)GNR e Co₃O₄(Cont.%53)GNR; a relação I_D/I_G na Figura 13a significa a

intensidade relativa das bandas D e G. Além disso, os espectros Raman revelam sinais de menor intensidade que correspondem a bandas de ressonância dupla atribuídas às bandas 2D e D+D' [111] em aproximadamente 2.648 e 2.923 cm⁻¹, respectivamente [68,107,112–114]. Normalmente, a banda 2D é considerada uma métrica valiosa, pois ajuda a discernir as variações no empilhamento de folhas e na contagem de camadas de grafeno [68,115,116]. A banda D + D' observada nos espectros Raman está associada ao grafeno danificado induzido pela desordem e para esta última é atribuída a uma banda harmônica da banda D [15,48].

A Figura 13b exibe os resultados obtidos nas análises de DRX e mostram um pico pronunciado em $2\theta = 25.8^{\circ}$ (0,35 nm) que é tipicamente característico do pico cristalino correspondente ao grafite do C no plano (110) (JCPDS 89-8489) e um pequeno pico $2\theta = 43.3^{\circ}$ (0,21 nm) relacionado ao plano (201) (JCPDS 89-8489) para o GNR(Cont.0%) puro [68].

Para o $\text{Co}_3\text{O}_4(\text{Cont}.75\%)$ é exibido um pico proeminente em $2\theta = 36,98^\circ$ (0,24 nm) no qual é tipicamente característico ao pico cristalino correspondente ao Co_3O_4 com plano (311) (JCPDS 42-1467) e outro pico em 2θ de 19; 31,3; 38,3; 44,9; 55,6; 59,4; 65,3; 77,3 e 78,4° (0,46; 0,28; 0,23; 0,20;0,17;0,16; 0,14; 0,123 e 0,122 nm, respectivamente), correspondendo aos planos (111), (220), (222), (400), (422), (511), (440), (533) e (622), respectivamente, dos quais tipicamente são associados com o Co_3O_4 (JCPDS 42-1467); esses resultados confirmam a presença do óxido de Co presente na espécie de Co_3O_4 .

Para as variações de $Co_3O_4(.)GNR$ que foram investigadas, foi identificada a presença de vários picos relacionados ao Co_3O_4 , em adição aos picos de 2θ de 14,6; 17,5; 24,1 e $34,7^\circ$ (0,59; 0,51; 0,36; e 0,25 nm, respectivamente), que correspondem aos planos (111), (020), (022), e (040), respectivamente, e são relacionados ao complexo $(Co_3(Co(CN)_6)_2(H_2O)_{12})_{1,333}$ (JCPDS 96-152-5858); estes resultados reforçam a banda envolvendo os átomos de Co com C e alguns átomos de N presentes no GNR. Também foi observado a presença de um pico mais intenso no $Co_3O_4(Cont.55\%)GNR$ em $2\theta = 32,7^\circ$, e que provavelmente está associado a ligação entre os átomos de Co, C e N.

Os resultados do DRX (Figura 13b) confirmam que as estruturas do Co₃O₄(.)GNR são constituídas por átomos de Co₃O₄ e Co ligados a carbono e nitrogênio presente no GNR.

Os espectros de XPS exploratório de Co₃O₄(Cont.75%), GNR(Cont.0%), variações de Co₃O₄(.)GNR e o Co₃O₄GNR pós estabilidade são apresentados na Figura 14.

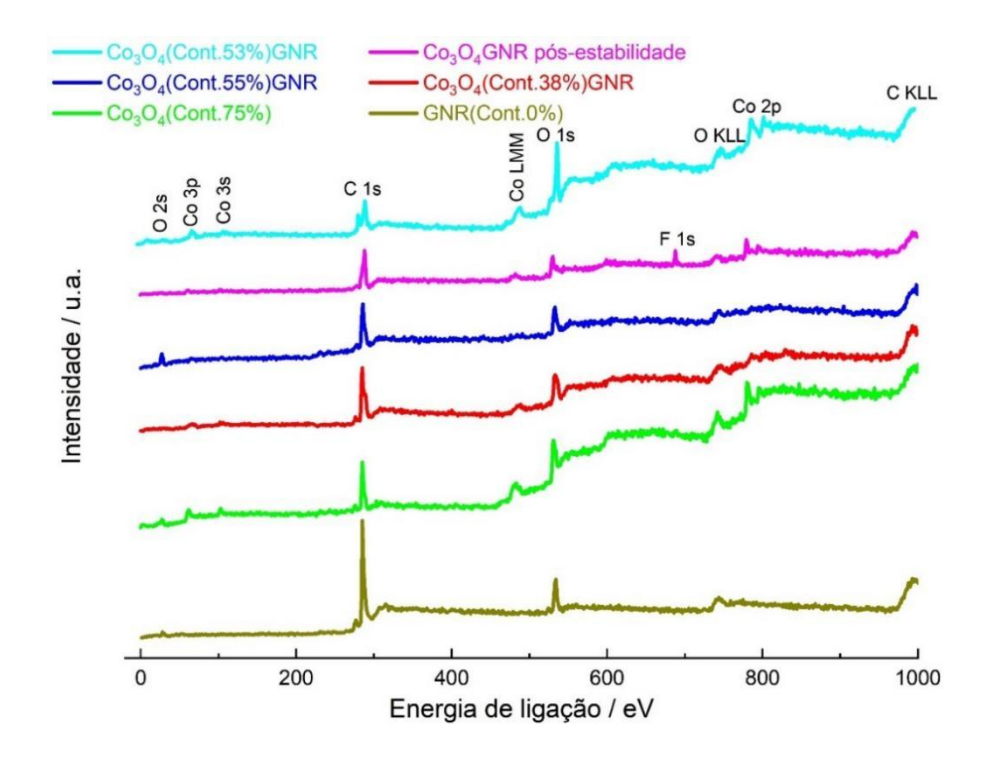


Figura 14. Espectros de XPS exploratório de Co₃O₄(Cont.75%), GNR(Cont.0%), variações de Co₃O₄(.)GNR e o Co₃O₄GNR pós estabilidade.

Através do espectro exploratório para as amostras é visto a presença de picos de C 1s e O 1s e 285 e 534 eV, respectivamente, e picos de O KLL e C KLL em 750 e 980 eV, respectivamente para o GNR(Cont.0%). Para o Co₃O₄(Cont.75%) também foi identificado a presença de picos O 2s, Co 3p, Co 3s, Co LMM e Co 2p (Tabela 2) em 28, 62, 103, 483 e 780 eV, respectivamente; a presença de picos de C 1s e C KLL na amostra pura de Co₃O₄(Cont.75%) está associado ao fato de as amostras terem sito feitas suportadas por fita de carbono quando submetidas à análise de XPS.

Para as variações de Co₃O₄(.)GNR foram observados os mesmos picos que foram registrados para os materiais puros GNR(Cont.0%) e Co₃O₄(Cont.75%), com exceção do Co₃O₄GNR pós-estabilidade que também apresentou o pico de F 1s em 688 eV, correspondendo ao Nafion® utilizado para suportar essa amostra na superfície do carbono (esse sistema foi utilizado para análise de XPS dessa amostra).

As porcentagens atômicas em massa dos elementos (Tabela 2) foram obtidas a partir do espectro exploratório de XPS (Figura 14). A amostra pura de GNR(Cont.0%) exibiu uma maior proporção de carbono (% em massa) em sua superfície (86,5%, em massa), enquanto a amostra Co₃O₄(Cont.53%)GNR exibiu menor proporção de carbono; para a amostra de Co₃O₄(Cont.75%) foi exibido a presença de carbono devido a exposição da fita de carbono

usada como suporte durante a análise justificando a presença de uma quantidade muito maior de Co na amostra Co₃O₄(Cont.53%)GNR em comparação com a quantidade observada na amostra pura do Co₃O₄(Cont.75%) (de 35 para 26,7 %, em massa). A quantidade de Co na superfície da amostra de Co₃O₄(Cont.55%)GNR também é baixa quando comparada com Co₃O₄(Cont.38%)GNR (de 7,6 para 12,9 %, em massa). A elevada quantidade de Co observada na amostra pós-estabilidade de Co₃O₄GNR em comparação com a amostra Co₃O₄(Cont.55%)GNR (de 16,8 para 7,6%, em massa) é atribuído ao fato de que uma carga de 1.000,00 μg cm⁻² foi empregado na amostra Co₃O₄GNR pós-estabilidade. Como esperado, a amostra pura Co₃O₄(Cont.75%)GNR exibiu o maior teor de oxigênio em sua superfície, seguida da amostra Co₃O₄(Cont.53%)GNR e a amostra Co₃O₄(Cont.38%)GNR. Em comparação com a amostra Co₃O₄(Cont.55%)GNR, a quantidade relativamente menor de oxigênio observada na amostra pós-estabilidade pode indicar a ocorrência de alguma corrosão do Co durante o teste de estabilidade. A tabela a seguir apresenta mais detalhes acerca das posições, fatores de sensibilidade relativa (RSF) e porcentagens atômica e de massa obtidas.

Tabela 2. Posições, fatores de sensibilidade relativa (RSF) e porcentagens atômicas e de massa para os catalisadores puros GNR(Cont.0%) e Co₃O₄(Cont.75%) e para as amostras nas diferentes variações Co₃O₄(.)GNR e Co₃O₄GNR pós-estabilidade.

Catalisador	Nome	Posição (eV)	R.S.F.	Cont. (at. %)	Cont. (massa %)
	C 1s	285,0	1,0	57,7	37,7
Co ₃ O ₄ (Cont.53%)GNR	O 1s	532,0	2,85	31,4	27,3
	Co 2p	781,0	18,48	10,9	35,0
Co.O.CND mág	C 1s	288,0	1,0	78,2	64,0
Co ₃ O ₄ GNR pós-	O 1s	530,0	2,85	17,6	19,2
estabilidade	Co 2p	779,0	18,48	4,2	16,8
	C 1s	286,0	1,0	79,5	70,3
Co ₃ O ₄ (Cont.55%)GNR	O 1s	533,0	2,85	18,7	22,1
	Co 2p	786,0	18,48	1,8	7,6
	C 1s	285,0	1,0	77,5	65,3
Co ₃ O ₄ (Cont.38%)GNR	O 1s	533,0	2,85	19,4	21,8
	Co 2p	786,0	18,48	3,1	12,9
	C 1s	285,0	1,0	62,6	44,9
Co ₃ O ₄ (Cont.75%)	O 1s	531,0	2,85	29,8	28,5
	Co 2p	780,0	18,48	7,6	26,7
GNR(Cont.0%)	C 1s	285,00	1,0	89,5	86,5
	O 1s	534,00	2,85	10,5	13,5

Os espectros de XPS de alta resolução (HR-XPS) de C 1s, O 1s e Co 2p para as amostras GNR(Cont.0%), Co₃O₄(Cont.75%) e para as variações de Co₃O₄(.)GNR foram apresentadas na Figura 13c.

Para esses espectros (Figura 13c), para as amostras de Co₃O₄(Cont.75%) e para as variações Co₃O₄(.)GNR, em geral, um pico bem amplo de O 1s foi deconvoluído em cinco picos. Para a amostra Co₃O₄GNR pós-estabilidade os dois picos de O 1s presentes foram deconvoluídas em cinco picos. Para a amostra de GNR(Cont.0%) houve três picos deconvoluídos, essas atribuições estão resumidas e apresentadas na Tabela 11 (APÊNDICE A).

Para as deconvoluções no GNR(Cont.0%) foram atribuídos aos estados químicos de C=O, C-O, e H₂O, posicionados em 532,4, 534,1 e 536,7 eV, respectivamente. Para as amostras Co₃O₄(Cont.75%), Co₃O₄(.) e Co₃O₄GNR pós-estabilidade os cinco picos deconvoluídos foram atribuídos aos estados químicos Co-O, Co(OH)₂, locais de defeito-O, C-O, e H₂O, foram posicionados em média 529,5; 531,1; 532,7; 534,2 e 535,6 eV, respectivamente [67,68].

A identificação dos estados químicos de C–O e H₂O para a amostra Co₃O₄(Cont.75%) é atribuído ao fato da amostra ser apoiada por fita de carbono durante o experimento de XPS [70,71]. A porcentagem média de conteúdos registrado foi 14; 24,8; 27,6; 23,2 e 10,4 % para os estados químicos Co–O, Co(OH)₂, locais de defeito do O, C–O, e H₂O, respectivamente. A principal contribuição para a porcentagem de conteúdo encontrada vem de Co–O e Co(OH)₂, seguida dos defeitos de O; isto aponta claramente para a relevância do Co₃O₄ quando se trata de respostas catalíticas na redução de nitratos.

Os espectros de HR-XPS para Co 2p registrados para as amostras Co₃O₄(Cont.75%), variações de Co₃O₄(.)GNR e Co₃O₄GNR pós-estabilidade (Figura 13c) mostram em geral, dois picos, com uma proporção média de 1,8:1, atribuídos a Co 2p_{3/2} e Co 2p_{1/2} seus respectivos picos satélites em 787,3 e 802,4 eV em Co³⁺ e Co²⁺, com posições de 780,3 e 793,7 eV e 783,3 e 796,4 eV, respectivamente [70]. Já para a amostra GNR(Cont.0%) não é observado nenhum pico, apenas ruído. A divisão spin-orbital de 13,3 eV, em média, entre os picos e a presença dos picos satélite apontam claramente para a presença de espécies de Co³⁺ e Co²⁺ na amostra de Co₃O₄(Cont.75%), como para as variações de Co₃O₄(.)GNR e Co₃O₄GNR pós-estabilidade e essas espécies apresentam teores percentuais de 33,3% e 29,6% em média, respectivamente (Tabela 4), isso é totalmente consistente com a presença do espinélio de cobalto (II, III) ou Co₃O₄ [60,70].

Os picos referentes ao espectro HR-XPS de C 1s para Co₃O₄(Cont.75%), GNR(Cont.0%), variações de Co₃O₄(.)GNR e Co₃O₄GNR pós estabilidade são apresentados na Figura 15.

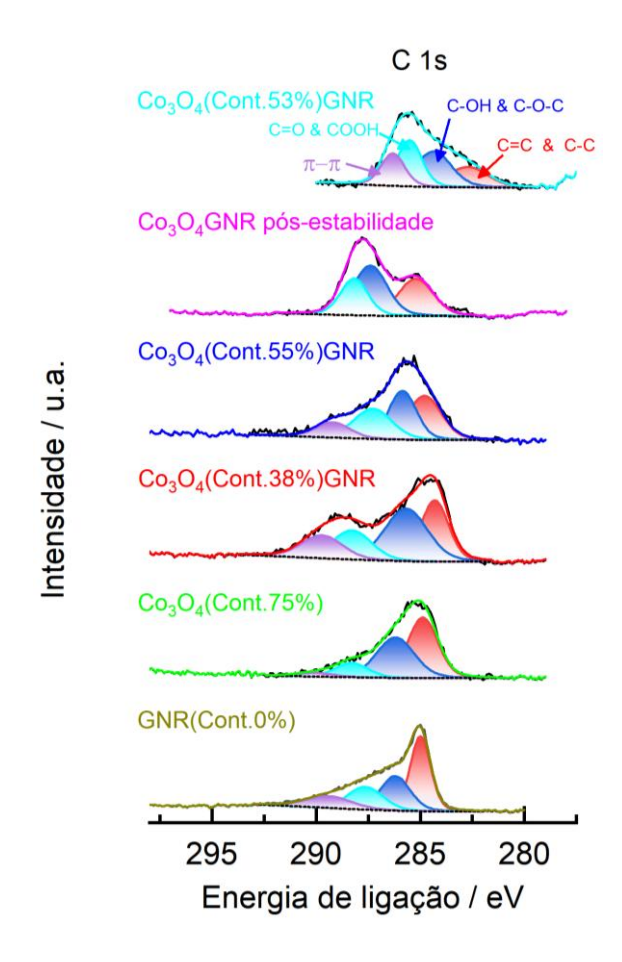


Figura 15. Espectros de HR–XPS para C 1s para o GNR(Cont.0%), Co₃O₄(Cont.75%), variações de Co₃O₄(.)GNR e Co₃O₄GNR pós-estabilidade.

A figura acima mostra que os espectros HR-XPS de C 1s, exibem um pico amplo com ombro ou dois picos, que foram deconvoluídos em quatro picos, atribuídos aos estados químicos C=C & C-C; C-OH & C-O-C; C=O & COOH e π-π, posicionados em média em 284,5; 286,0; 287,5 e 289,0 eV, respectivamente [67,68,117]. Não é possível distinguir o C 1s da fita de PC utilizada para apoiar a amostra durante a análise de XPS dos C 1s do GNR(Cont.0%). O que torna justificável o aparecimento do C 1s para o Co₃O₄(Cont.75%). As principais porcentagens de conteúdos registrados foram em média de 33,2 e 34,4% para os estados químicos C=C & C-C e C-OH & C-O-C, respectivamente. Essas atribuições estão resumidas e apresentadas na Tabela 11 (APÊNDICE A).

5.1.1. Análise elementar, TG e AAS

Os catalisadores puros GNR(Cont.0%) e Co₃O₄(Cont.75%) e as diferentes variações de Co₃O₄(.)GNR foram submetidas a técnica de análise elementar para quantificação de CHNS e O e para quantificação da perda de massa observada na resposta do TG. Os resultados obtidos são apresentados a seguir.

Tabela 3. Análise elementar para o GNR(Cont.0%), Co₃O₄(Cont.75%) e Co₃O₄(.)GNR.

Catalisador	N (massa %)	C (massa %)	H (massa %)	O (massa %)	Outros (massa %)
Co ₃ O ₄ (Cont.53%)GNR	0,47	21,7	0,75	28,0	49,1
Co ₃ O ₄ (Cont.55%)GNR	1,17	44,8	0,58	23,4	30,1
Co ₃ O ₄ (Cont.38%)GNR	1,36	40,6	0,55	26,5	31,0
Co ₃ O ₄ (Cont.75%)	-	-	_	08,2	91,8
GNR(Cont.0%)	0,47	80,0	0,63	10,1	8,8

Os resultados (Tabela 3) mostram que o teor de carbono e oxigênio no GNR(Cont.0%) foram bastante próximos daqueles registrados na análise do XPS (Tabela 2). O conteúdo de oxigênio registrado foi de 8,2% em massa e com algum tipo de óxido de Co atribuído a outros em 91,8% em massa para o Co₃O₄(Cont.75%). A amostra Co₃O₄(cont.55%)GNR registrou um teor de carbono (44,8 % em massa) ligeiramente superior ao Co₃O₄(Cont.38%)GNR e Co₃O₄(Cont.53%)GNR (40,6 e 21,7 % em massa, respectivamente). Este último apresentou um teor de oxigênio ligeiramente superior ao Co₃O₄(Cont.55%)GNR e Co₃O₄(Cont.38%)GNR (de 28 % em massa para 23,4 e 26,5 % em massa, respectivamente). Essas tendências se assemelham muito aos resultados observados no espectro exploratório do XPS (Tabela 2). Quando se trata de atribuir o conteúdo de 'outros' a algum tipo de óxido de cobalto, deve-se observar que há um teor muito superior de 49,1 % em massa em comparação com amostras de Co₃O₄(Cont.55%)GNR e Co₃O₄(Cont.38%)GNR (30,1 e 31,0 % em massa, respectivamente). Para o conteúdo de nitrogênio foi observado uma pequena quantidade para a amostra do GNR(Cont.0%) em 0,47 % em massa e na mesma quantidade para Co₃O₄(Cont.53%)GNR, em maior quantidade para Co₃O₄(Cont.38%)GNR e Co₃O₄(Cont.55%)GNR (1,36 e 1,17% em massa, respectivamente). Esses resultados corroboram a ocorrência de alguma ligação entre Co e N, conforme detectado nos resultados do DRX (Figura 13b). Para nenhum dos catalisadores foram quantificados teor de enxofre.

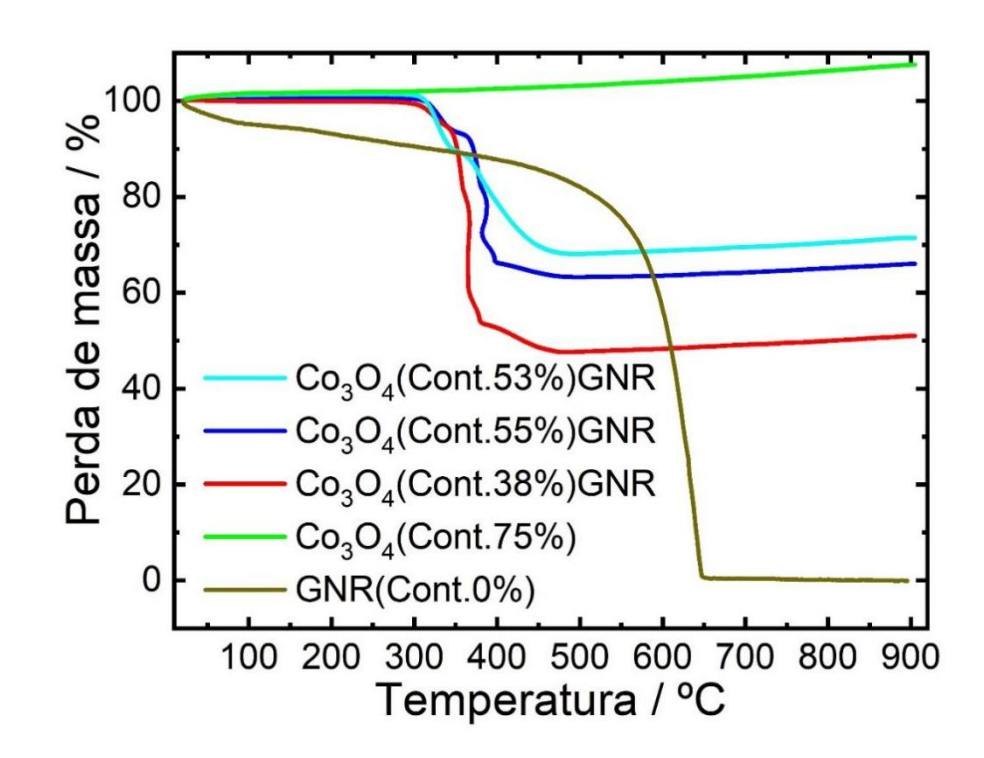


Figura 16. Curvas de TG obtidas para os materiais GNR(Cont.0%) e Co₃O₄(Cont.75%) puros, e para as diferentes variações de Co₃O₄(.)GNR.

A perda de massa observada na resposta do TG para a amostra pura do GNR(Cont.0%) foi de quase 100%, resultado coerente com os já relatado na literatura [68]. Já a amostra Co₃O₄(Cont.75%) registrou um ganho de massa com o aumento da temperatura, isso pode ser devido a algum ganho de oxigênio [68,70]. Para as variações Co₃O₄(.)GNR a perda de massa atribuída à queima do GNR é acentuada em torno de ~350 °C e a diminuição gradual da temperatura pode ser atribuído aos óxidos metálicos presentes nas amostras [71]. O conteúdo de Co₃O₄ na amostra Co₃O₄(Cont.53%)GNR é de 71,45%, 66,04% na amostra Co₃O₄(Cont.55%)GNR e 51,03% na amostra Co₃O₄(Cont.38%)GNR.

Os dados obtidos na AAS foram utilizados para quantificar a quantidade de Co (% em massa) presente nas amostras e para nomear as amostras. Os resultados estão apresentados na Tabela 4.

Tabela 4. Resultados do AAS obtidos para GNR(Cont.0%), Co₃O₄(Cont.75%) e para as diferentes variações de Co₃O₄(.)GNR.

Catalisador	Alíquota	Absorbância	Concentração	Cont. /
	/mL		$/ mg L^{-1}$	%
Co ₃ O ₄ (Cont.53%)GNR	0,50	0,4469	5,3	53
Co ₃ O ₄ (Cont.55%)GNR	0,50	0,4587	5,5	55
Co ₃ O ₄ (Cont.38%)GNR	0,50	0,3345	3,8	38
Co ₃ O ₄ (Cont.75%)	0,50	0,5301	7,5	75
GNR(Cont.0%)	0,50	0,0128	0,0	0

A quantidade de Co registrada para a amostra Co₃O₄(Cont.75%) foi de 75% em massa, com valor muito próximo ao teórico em 74% confirmando que essa amostra é pura, conforme observado nos resultados do DRX (Figura 13b). Além disso, a quantidade de Co registrada nas demais amostras também estiveram em linha com o esperado, essa relação de Co teórico foi obtida através da consideração de que a quantidade de Co em Co₃O₄ é de ~74%, aplicando esse valor nos dados de perda de massa do TG, a quantidade de Co no Co₃O₄(Cont.53%)GNR é de ~52%, 48,1% no Co₃O₄(Cont.55%) e de ~37% no Co₃O₄(Cont.38%)GNR; isso é um claro indicativo da proximidade nos valores obtidos nas técnicas de AAS e TG. A diferença significativa em termos dos valores registrados entre essas duas técnicas para o Co₃O₄(Cont.55%)GNR pode ser atribuída à presença de uma quantidade relativamente superior do complexo '(Co₃(Co(CN)₆)₂(H₂O)₁₂)_{1,333}' nessa amostra, que foi identificada no DRX (Figura 13b).

5.1.2. Caracterizações de SEM e TEM

Para informações acerca da distribuição dos elementos químicos dentro dos materiais foi realizado o mapeamento SEM para Co₃O₄(Cont.75%), para as diferentes variações de Co₃O₄(.)GNR e amostra de pós-estabilidade de Co₃O₄.

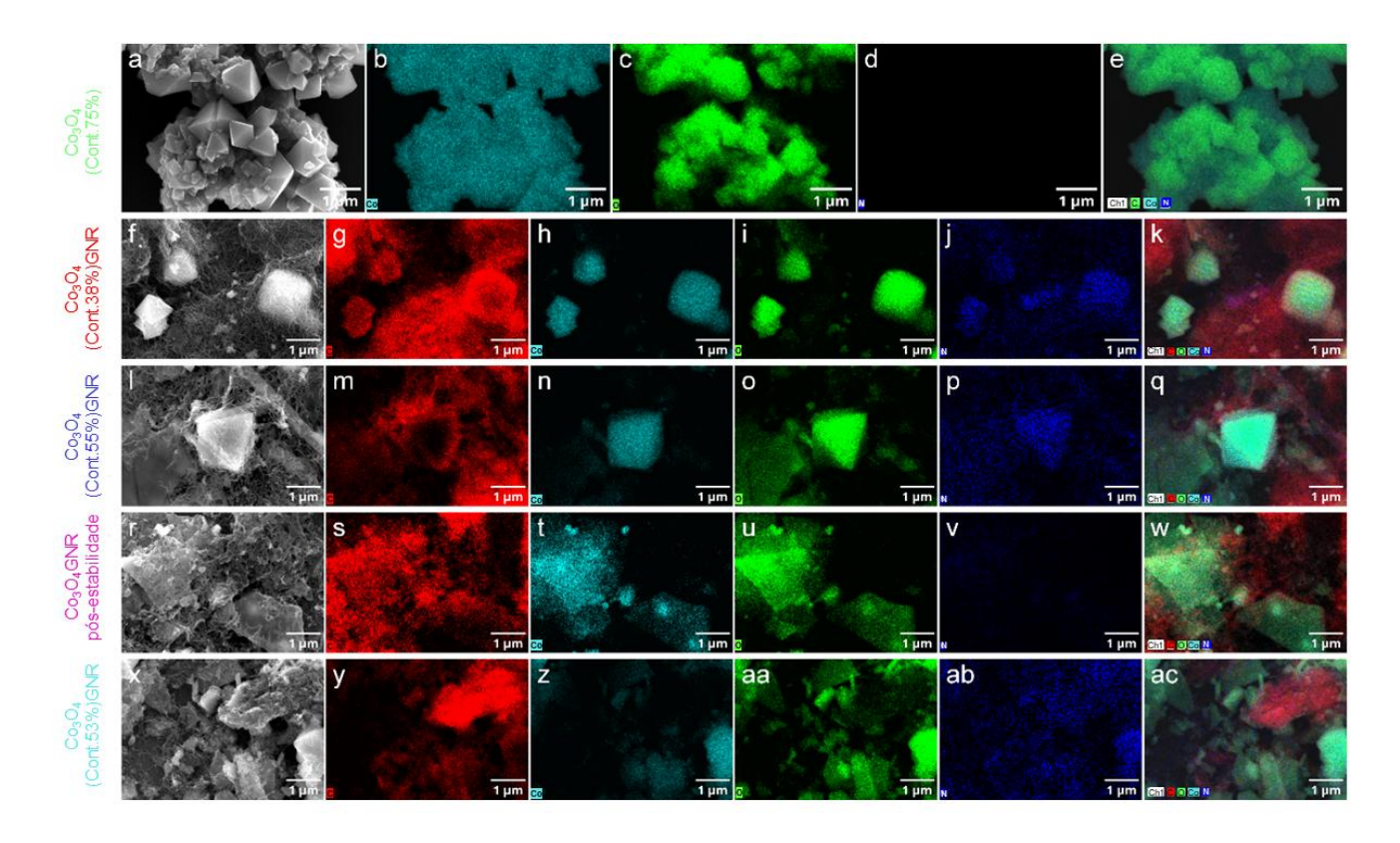


Figura 17. Imagens com mapeamento SEM para Co₃O₄(Cont.75%), para as diferentes variações Co₃O₄(.)GNR e para Co₃O₄GNR pós—estabilidade.

Para uma caracterização adicional dos catalisadores investigados, as imagens da SEM na Figura 17 mostram as estruturas de nanofitas esperadas no GNR(Cont.0%) puro e estruturas bipiramidais, piramidais, placas e outras estruturas para a amostra pura de Co₃O₄(Cont.75%). Para a amostra Co₃O₄(Cont.38%)GNR, pode-se ver claramente as placas piramidais de Co₃O₄ cercadas por GNR ou no topo das nanofitas. A amostra de Co₃O₄(Cont.55%)GNR mostra algum tipo de 'nuvem' de Co₃O₄ envolvendo/cobrindo o GNR que é mais sólido e com algumas nanopartículas de Co₃O₄ na amostra pós-estabilidade de Co₃O₄GNR. Na amostra Co₃O₄(Cont.53%)GNR, placas visíveis e nanopartículas de Co₃O₄ podem ser vistas cercadas ou cobertas por GNR.

As imagens mostram que o Co₃O₄(Cont.75%) possui principalmente os elementos de Co e O, sendo o elemento O mais visível na superfície do catalisador (Figura 17a–e). Na Figura 17f–k para o Co₃O₄(Cont.38%)GNR, pode-se observar claramente a presença do elemento C bem distribuído na amostra, sendo o elemento Co visto principalmente em grandes estruturas de Co₃O₄, enquanto o elemento O também é visto nessas estruturas grandes de Co₃O₄ quanto

nas pequenas. O elemento N pode ser visto em menor quantidade, acompanhado principalmente da intensidade do elemento O. Esta resposta de mapeamento mostra que o elemento N e C fazem parte do catalisador proveniente do GNR.

Para a amostra de Co₃O₄(Cont.55%)GNR (Figura 17l–q), verifica-se também a presença do elemento C, que está bem distribuído na amostra, embora com menor 'densidade' quando coberto pelo elemento Co que aparece com maior intensidade apenas na estrutura piramidal do Co₃O₄. O elemento N encontra-se bem distribuído pela amostra, certamente com menor 'densidade', este elemento acompanha tanto a intensidade do elemento O quanto do C. Esta resposta de mapeamento mostra que há um forte emaranhamento entre os elementos C, Co, O e N nessa amostra; esse emaranhamento também foi encontrado na resposta DRX (Figura 13b), que é considerado responsável pelo resultado de redução eletroquímica de nitrato mais eficaz observado para esta amostra, como demonstrado na Seção 5.2.

A amostra de Co₃O₄GNR pós-estabilidade (Figura 17r–w) segue um padrão similar ao comportamento da amostra citada acima, com o elemento N presente em baixa intensidade.

A amostra Co₃O₄(Cont.53%)GNR (Figura 17x–ac) exibiu uma região caracterizada pela presença do elemento C com forte intensidade, e com baixíssima intensidade dos elementos Co e O; outra região observada apresentou alta intensidade dos elementos Co e O, mas com baixa intensidade de C. Curiosamente, observa-se que o elemento N apresentou-se bem distribuído por toda a amostra. Esta resposta de mapeamento indica a ausência de um emaranhado envolvendo os elementos C, Co, O e N para essa amostra.

As imagens de TEM e HR-TEM foram usadas para produzir os padrões de difração de elétrons e as imagens do padrão de difração de elétrons para a amostra de Co₃O₄(Cont.75%), variações de Co₃O₄(.)GNR e Co₃O₄GNR pós estabilidade. A amostra GNR(Cont.0%) é apresentada apenas nas imagens de TEM.

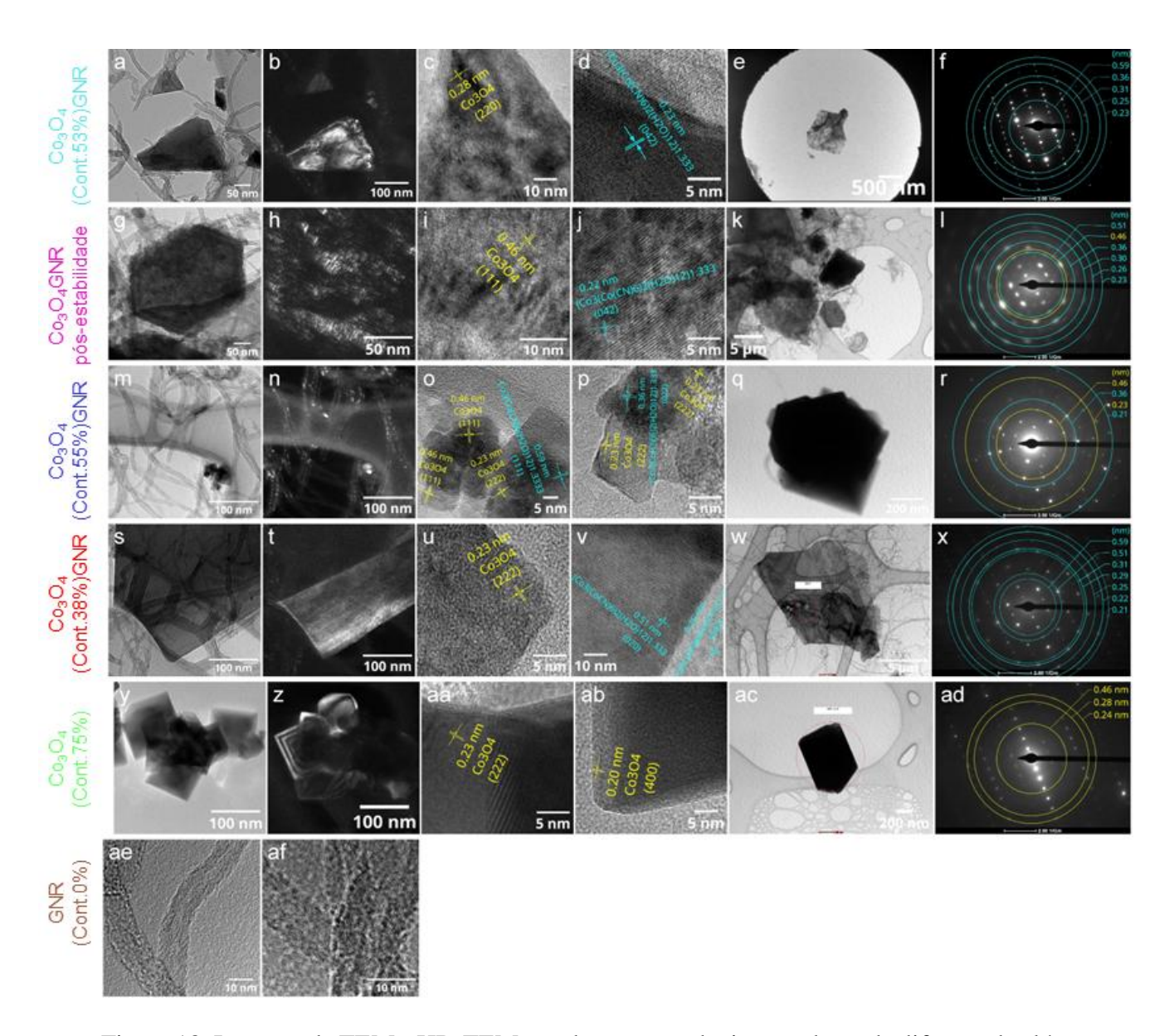


Figura 18. Imagens de TEM e HR-TEM, usadas para produzir os padrões de difração de elétrons e as imagens do padrão de difração de elétrons para a amostra de $Co_3O_4(Cont.75\%)$, variações de $Co_3O_4(.)GNR$ e Co_3O_4GNR pós estabilidade. A amostra GNR(Cont.0%)

As imagens do TEM (Figura 18ae–af) mostram as fitas de GNR. Para a amostra de Co₃O₄(Cont.75%) é possível ver as estruturas piramidais/placas (Figura 18y), mostrando claramente a presença de Co nas estruturas (Figura 18z) e nos '*steps*'. Os padrões cristalinos revelam os planos expostos ao Co₃O₄ (222) e (400) com distâncias de 0,23 e 0,20 nm (Figura 18aa-ab) (JCPDS 42-1467). O padrão de difração (Figura 18ad) da imagem exposta da Figura 18ac mostra a difração do anel para os planos (111), (220) e (311) do Co₃O₄ (JCPDS 42-1467). A amostra Co₃O₄(Cont.38%)GNR apresentou presença das placas de Co₃O₄ e GNR (Figura 18s), com Co confirmado na placa de Co₃O₄ (Figura 18t). As imagens de HR-TEM (Figura

18u-v) revelam os padrões cristalinos do plano exposto ao Co₃O₄ (222) com distância de 0,23 nm (JCPDS 42-1467), e (020) e (040) do (Co₃(Co(CN)₆)₂(H₂O)_{1,333} planos expostos do complexo com distancias de 0,51 e 0,25 nm (JCPDS 96-152-5858), respectivamente. O padrão de difração (Figura 18x) da imagem exibida na Figura 18w mostrou a difração do anel dos (020),(222),(131).(040),(042)e (242)complexo planos (111).do $(Co_3(Co(CN)_6)_2(H_2O)_{12})_{1,333}$ (JCPDS 96-152-5858).

A amostra de Co₃O₄(Cont.55%)GNR mostrou a presença de uma quantidade suficiente de GNR e um pequeno aglomerado de cristais de Co₃O₄ (Figura 18m), com o elemento de Co do Co₃O₄ cobrindo claramente o emaranhado com o GNR (Figura 18n). As imagens de HR-TEM (Figura 18o-p) revelam pequenos cristais (com tamanho médio de 10,3 nm; essas partículas se aglomeram para formar partículas maiores com tamanho médio de 24,2 nm (Figura 17l) e partículas ainda maiores como as mostradas na Figura 18m) e placas sob o GNR, com padrões cristalinos de (222) e (111) com planos expostos ao Co₃O₄ com distâncias de 0,23 e 0,46 nm (JCPDS 42-1467), respectivamente, e (111) e (022) dos planos expostos do complexo (Co₃(Co(CN)₆)₂(H₂O)₁₂)_{1,333} com distância de 0,59 e 0,36 nm (JCPDS 96-152-5858), respectivamente. O padrão de difração (Figura 18r) da imagem exibida na Figura 18q mostrou a difração em anel relacionada a (111) e (222) do Co₃O₄, e plano (022) e (242) do complexo (Co₃(Co(CN)₆)₂(H₂O)₁₂)_{1,333} (JCPDS 42-1467 e 96-152-5858).

A amostra de Co₃O₄GNR pós-estabilidade mostrou uma placa de Co₃O₄ que se assemelha a um 'anel benzeno' rodeado por uma quantidade suficiente de GNR (Figura 18g), com o elemento Co do (Co₃O₄) cobrindo claramente uma placa (Figura 18h). as imagens do HR-TEM (Figura 18i-j) revelam uma espécie de placa com padrões cristalinos do plano exposto (111) do Co₃O₄ com distância de 0,46 nm (JCPDS 42-1467) e plano exposto (042) do complexo $(Co_3(Co(CN)_6)_2(H_2O)_{12})_{1,333}$ com distância de 0,22 nm (JCPDS 96-152-5858). O padrão de difração (Figura 181) da imagem exibida na Figura 18k a difração do anel relacionada a (111) (022),(131),(040)e (133) dos planos complexo (020),do $(Co_3(Co(CN)_6)_2(H_2O)_{12})_{1,333}$ (JCPDS 42-1467 e 96-152-5858).

A amostra Co₃O₄(Cont.53%)GNR exibiu placas de Co₃O₄ circundadas por GNR (Figura 18a), com o elemento Co (Co₃O₄) cobrindo parcialmente as placas (Figura 18b). As imagens HR-TEM (Figura 18c-d) revelam uma placa sob o GNR com padrões de dados de planos expostos (220) do Co₃O₄ com distância de 0,28 nm (JCPDS 42-1467) e plano exposto (042) do

complexo $(Co_3(Co(CN)_6)_2(H_2O)_{12})_{1,333}$ (JCPDS 96-152-5858). O padrão de difração (Figura 18f) da imagem exibida na Figura 18e mostrou a difração do anel relacionada aos planos (111), (022), (131), (040) e (133) do complexo $(Co_3(Co(CN)_6)_2(H_2O)_{12})_{1,333}$ (JCPDS 96-152-5858).

Em resumo, as imagens de TEM e HR—TEM mostram que o 'emaranhamento' de Co₃O₄ e GNR que engloba a aparência do complexo (Co₃(Co(CN)₆)₂(H₂O)₁₂)_{1,333} é mais eficaz para a amostra de Co₃O₄(Cont.55%)GNR, como já observado nos dados de DRX (Figura 13b), nas imagens de mapeamento SEM (Figura 17), aos resultados do TG (Figura 16) e AAS (Tabela 4).

- 5.2. Atividade catalítica para reação de redução de nitrato para produção de amônia usando compósitos sintetizados e depositados na superfície de um eletrodo de papel carbono
- 5.2.1. Perfil eletroquímico, C_{dc}, ECSA e espectroscopia de impedância

Os perfis eletroquímicos dos eletrodos de PC modificados com os compósitos sintetizados, com e sem a presença de nitrato, são apresentados através de voltamogramas cíclicos com corrente normalizada pela área geométrica do eletrodo de trabalho (1 cm 2). Os valores obtidos para ECSA foram calculados através da Equação 10 a partir da capacitância da dupla camada (Figuras 20 e 22) e os valores de R_s e R_{tc} foram obtidos através dos resultados de EIE apresentados na Figura 24.

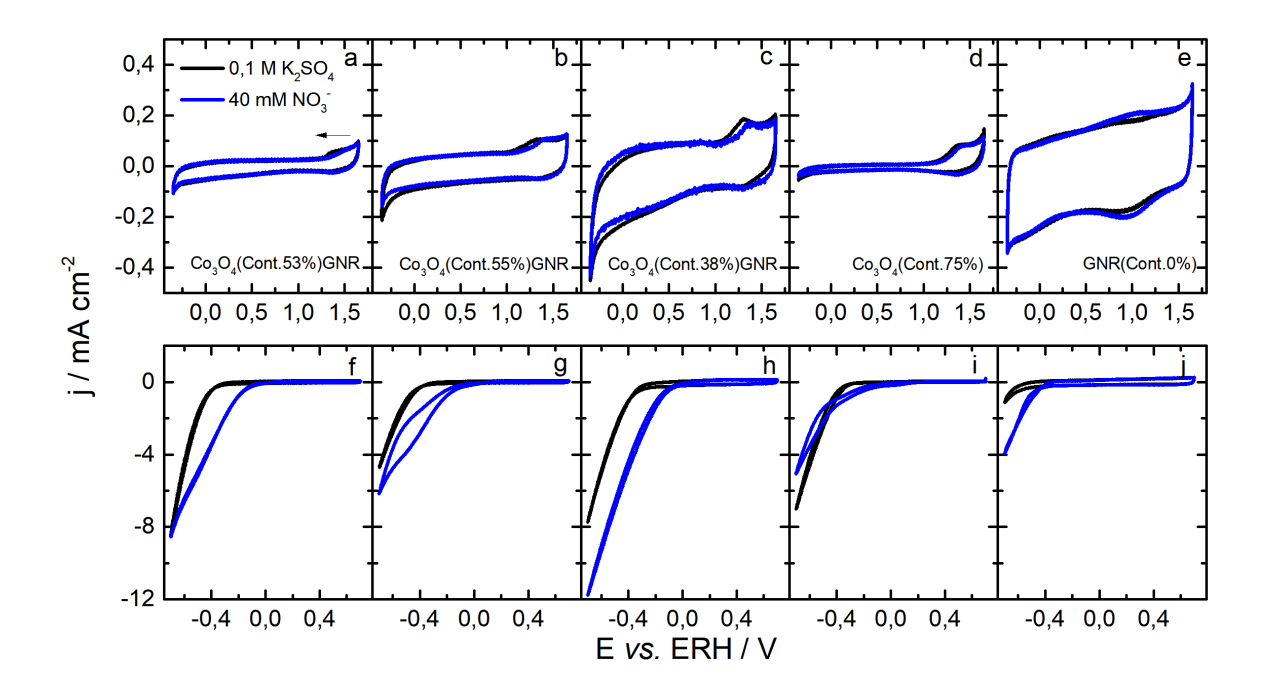


Figura 19. Voltamogramas cíclicos dos eletrodos de PC modificados com os compósitos, obtidos em solução aquosa de K_2SO_4 0,1 M saturada em Ar sem a presença de nitrato e com 40 mM de nitrato, com potenciais de varredura de 50 mV s⁻¹. Voltamogramas registrados de 1,65 a - 0,35 V para primeira linha (a - e) e de 0,7 a -0,7 V para segunda linha (f - j).

Como já esperado, na região de varredura de potenciais mais positivos Figura 19e (1,65 a –0,35 V) é visto para o GNR(Cont.0%) um comportamento de par redox discreto em torno de 1,0 V, característico da oxirredução de hidroquinona/quinona com amplas densidades de correntes capacitivas [68]. Com adição de nitrato ao sistema é observada pouca variação no perfil, com sutil variação na densidade de corrente. Para a janela de potencial mais negativa Figura 19j (0,7 a –0,7 V), há um aumento nas densidades de correntes (< –0,40 V) quando na presença de nitrato.

Em comparação ao GNR(Cont.0%), na Figura 19d é observada menor densidade de corrente capacitivas para o catalisador Co₃O₄(Cont.75%), com pico de densidade de corrente bem definido em torno de 1,40 V, que é característico da oxidação de Co²⁺ e Co³⁺ [118], sem mudança no comportamento da VC na presença ou ausência de NO₃⁻. Para potenciais mais negativos que 0,0 V (Figura 19i) é observado aumento na densidade de corrente na presença de nitrato e aumento ainda mais acentuado na sua ausência.

Para os materiais de Co₃O₄(.)GNR (Figura 19a–c) é observado um comportamento misto entre o GNR(Cont.0%) e Co₃O₄(Cont.75%). Em detalhe, para o Co₃O₄(Cont.38%)GNR

(Figura 19c) é observada densidade de correntes capacitivas menores em comparação ao GNR(Cont.0%) (Figura 19e) e maiores que o Co₃O₄(Cont.75%) (Figura 19d), com pico de densidade de corrente característico de Co²⁺ e Co³⁺ em torno de 1,34 V [118], sem muita alteração na presença de NO₃⁻. Como visto nos catalisadores apresentados anteriormente, (Figura 19h) as densidades de correntes aumentam bastante em potenciais mais negativos que -0,1 V na presença de NO₃⁻. De maneira semelhante a este material, o Co₃O₄(Cont.55%)GNR (Figura 19b) e Co₃O₄(Cont.53%)GNR (Figura 19a), apresentam comportamentos parecidos para os picos de oxidação para as espécies de Co e densidades de correntes mais elevadas em potenciais mais negativos, sendo este mais acentuado na presença de nitrato, em potenciais de-0,06 V na Figura 19f e 0,03 na Figura 19g, sendo para Co₃O₄(Cont.55%)GNR o potencial mais positivo em comparação as outras amostras. Além disso, para estes (Figura 19a-b), é visto também menores densidades de correntes capacitivas em comparação Co₃O₄(Cont.38%)GNR (Figura 19c).

Foram utilizadas as curvas de VC em diferentes velocidades de varreduras, para as diferentes concentrações de NO₃- (Figura 20) e diferentes materiais (Figura 22), para obter os valores de C_{dc} que foram calculados através das inclinações obtidas da curva construída com base na diferença entre as correntes anódicas e catódicas (Figuras 21 e 23), como descrito na Equação 9. Os valores de ECSA foram obtidos a partir do valor da inclinação extraído dessas VCs e estão resumidos nas Tabelas 5 e 6.

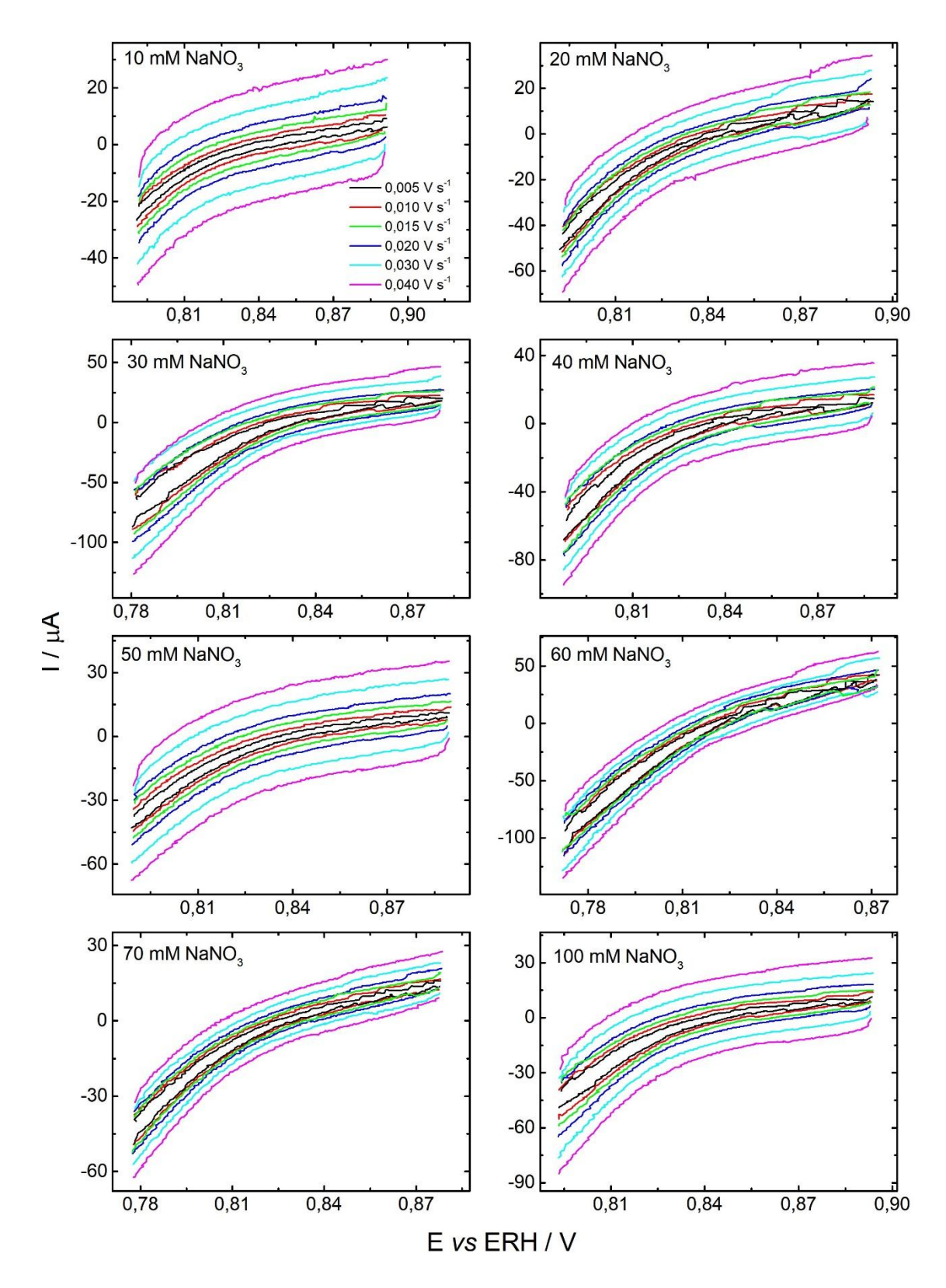


Figura 20. Voltamogramas cíclicos obtidos em uma região de potencial não faradaica para o eletrodo de PC modificado com 37,5 μg cm⁻² de Co₃O₄(Cont.55%)GNR em K₂SO₄ 0,1 M saturado com Ar, com diferentes concentrações de NO₃⁻ (10 – 100 mM). O potencial foi mantido constante durante 10 s em cada vértice das voltametrias. O procedimento se iniciou no potencial mais elevado da janela. Os valores de PCA estão apresentados na Tabela 15 (APÊNCICE I).

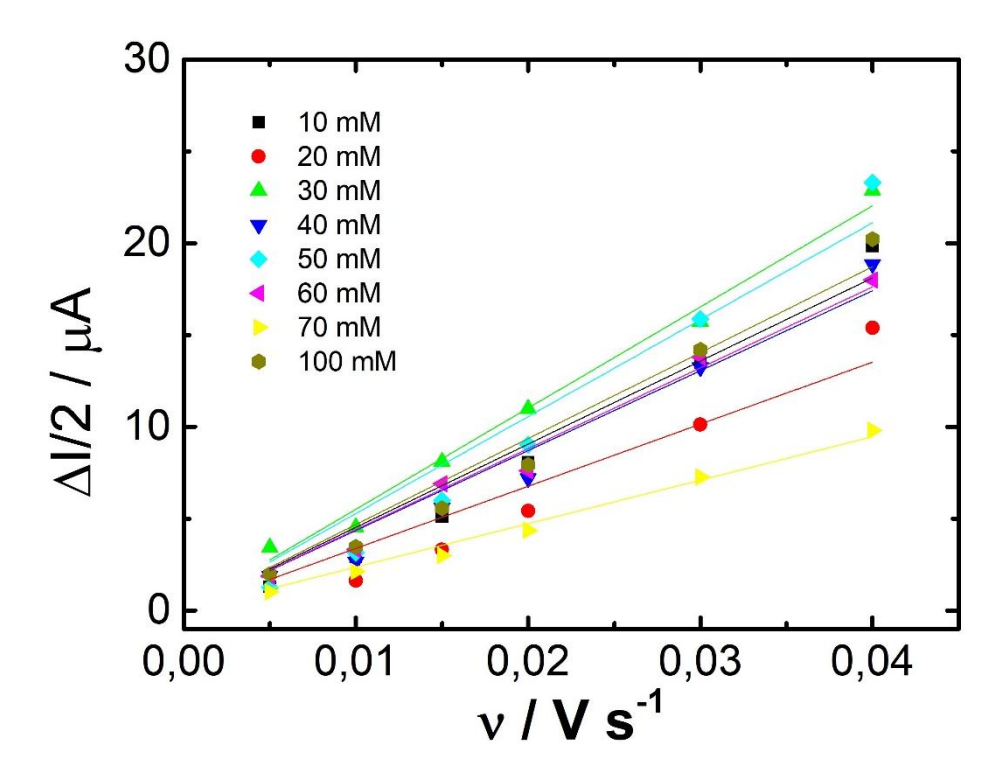


Figura 21. Gráfico da diferença entre as correntes catódicas e anódicas divididas por 2, obtidas em uma janela de potencial de 100 mV com PCA centralizado, versus velocidade de varredura para o eletrodo de PC modificado com 37,5 μg cm⁻² de Co₃O₄(Cont.55%)GNR em K₂SO₄ 0,1 M saturado com Ar, com diferentes concentrações de NO₃⁻ (10 – 100 mM). A inclinação dessas curvas resulta na C_{dc} para esse eletrodo modificado.

Tabela 5. Valores de C_{dc} obtidos da Equação 9 correspondentes às VCs Figura 20 e valores de ECSA para o eletrodo de PC modificado com 37,5 μg cm⁻² de $Co_3O_4(Cont.55\%)GNR$ em K_2SO_4 0,1 M saturado com Ar, com diferentes concentrações de NO_3^- (10 – 100 mM).

NO ₃ ⁻ concentração / mM	C_{dc} / mF	ECSA / cm ²
10	0,45	11,3
20	0,34	8,5
30	0,55	13,8
40	0,43	10,9
50	0,53	13,2
60	0,44	11,0
70	0,24	5,9
100	0,47	11,7

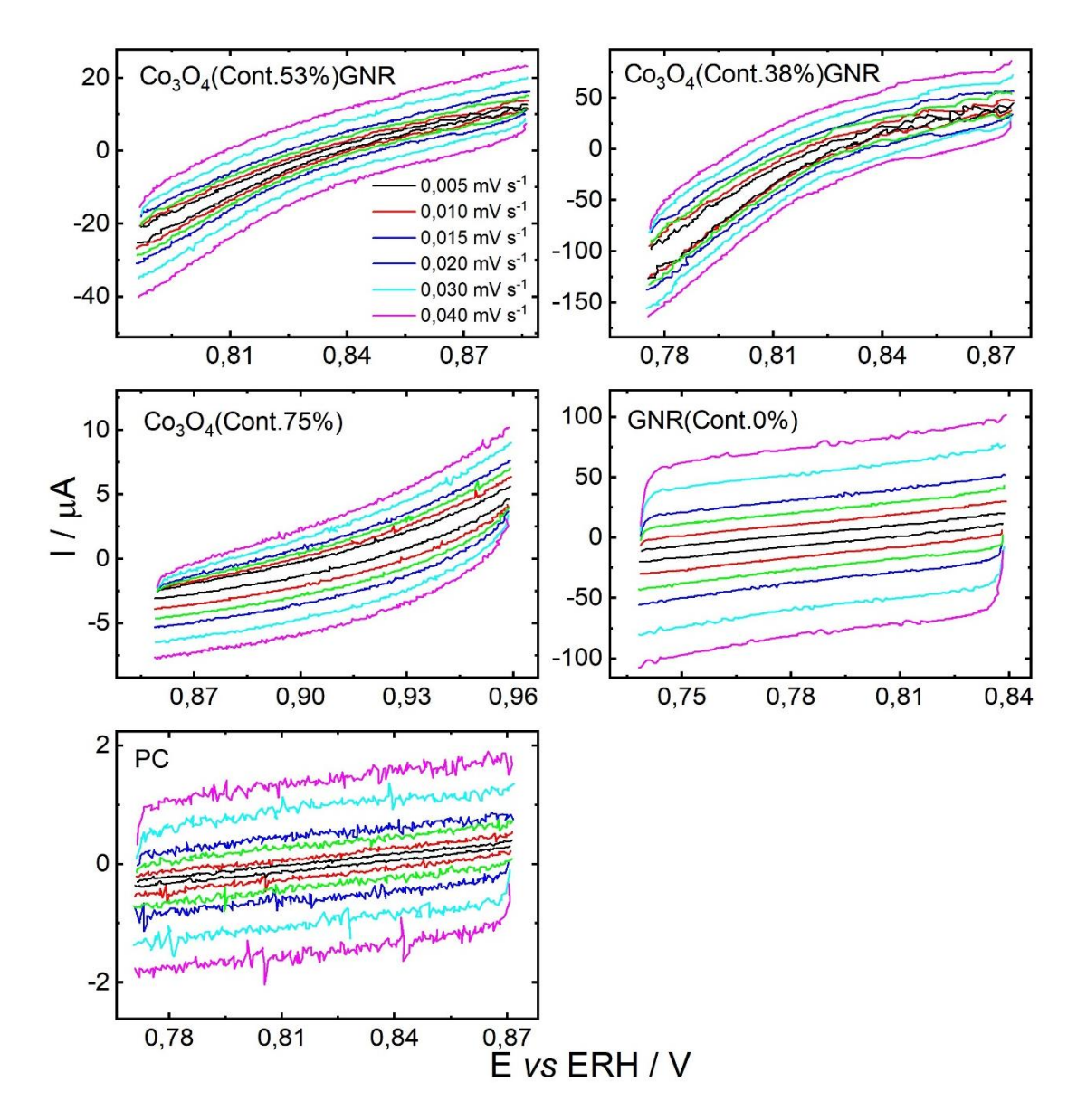


Figura 22. Voltamogramas cíclicos obtidos em uma região de potencial não faradaica para o eletrodo de PC puro e PC modificado com Co₃O₄(Cont.53%)GNR, Co₃O₄(Cont.38%)GNR, Co₃O₄(Cont.75%) e GNR(Cont.0%) em carregamento de 37,5 μg cm⁻² em K₂SO₄ 0,1 M saturado com Ar, em 40 mM de NO₃⁻. O potencial foi mantido constante durante 10 s em cada vértice das voltametrias. O procedimento se iniciou no potencial mais elevado da janela. Os valores de PCA estão apresentados na Tabela 15 (APÊNCICE I).

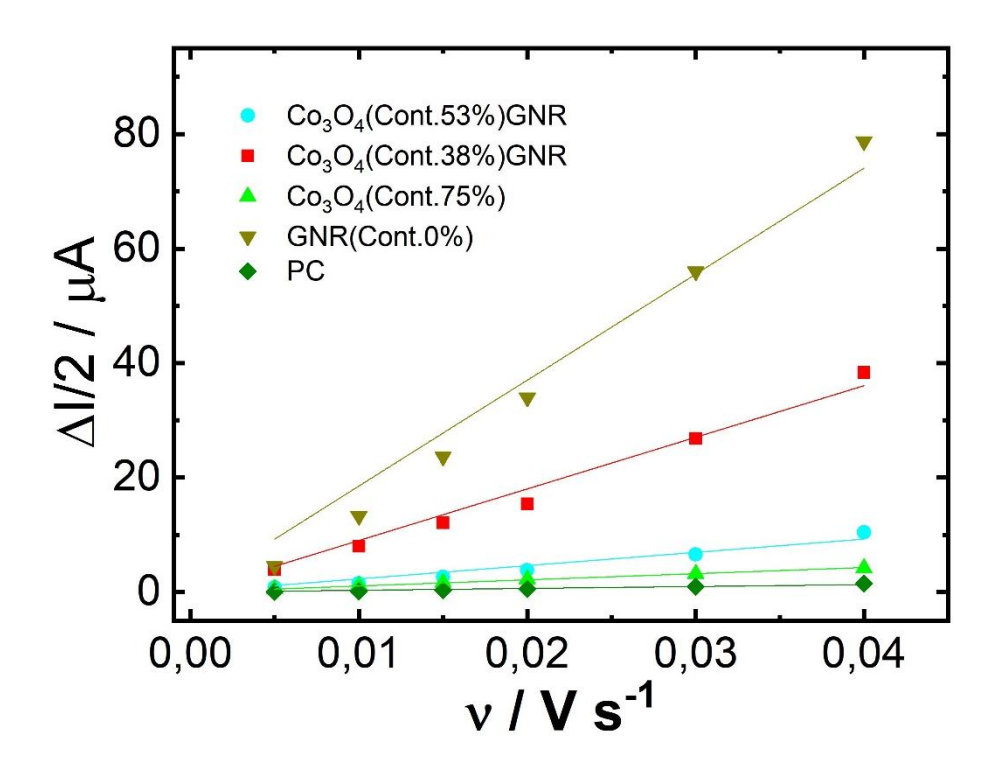


Figura 23. Gráfico da diferença entre as correntes catódicas e anódicas divididas por 2, obtidas em uma janela de potencial de 100 mV com PCA centralizado, versus velocidade de varredura para o eletrodo de PC puro e PC modificado com Co₃O₄(Cont.53%)GNR, Co₃O₄(Cont.38%)GNR, Co₃O₄(Cont.75%) e GNR(Cont.0%) em carregamento de 37,5 μg cm⁻² em K₂SO₄ 0,1 M saturado com Ar, em 40 mM de NO₃⁻. A inclinação dessas curvas resulta na C_{dc} para esses eletrodos puro ou modificados.

Tabela 6. Valores de C_{dc} obtidos da Equação 9 correspondente as VCs da Figura 22 e valores de ECSA para os eletrodos de PC puro e PC modificado com $Co_3O_4(Cont.55\%)GNR$, $Co_3O_4(Cont.53\%)GNR$, $Co_3O_4(Cont.53\%)GNR$, $Co_3O_4(Cont.53\%)GNR$, $Co_3O_4(Cont.53\%)$ e GNR(Cont.0%) em carregamento de 37,5 µg cm⁻² em K_2SO_4 0,1 M saturado com Ar, em 40 mM de NO_3^-

Catalisador	C_{dc} / mF	ECSA / cm ²
Co ₃ O ₄ (Cont.55%)GNR	0,43	10,9
Co ₃ O ₄ (Cont.53%)GNR	0,23	5,8
Co ₃ O ₄ (Cont.38%)GNR	0,90	22,5
Co ₃ O ₄ (Cont.75%)	0,11	2,7
GNR(Cont.0%)	1,85	46,3
PC	0,03	0,8

Diante dos valores de C_{dc} apresentados nas Figuras 20 e 22 resumidos nas Tabelas 5 e 6, foi calculado a área eletroquimicamente ativa para esses materiais, para as diferentes

concentrações de NaNO₃ em Co₃O₄(Cont.55%)GNR não há diferença significativa nos valores de ECSA (com valores médios de 11,5 cm², em exceção para 70 mM de NO₃⁻ com menor valor de 5,9 cm²). Esses valores se mostraram muito superiores aos valores do PC puro (0,8 cm²) e Co₃O₄(Cont.75%) (2,7 cm²). É observado para o GNR(Cont.0%) e Co₃O₄(Cont.38%)GNR maiores valores de ECSA em 46,3 e 22,5 cm², respectivamente, podendo ser visto maior área relação Co₃O₄(Cont.53%)GNR ativa segundo material em ao Co₃O₄(Cont.55%)GNR devido a maior influência do GNR na sua estrutura, com maior porcentagem em massa de carbono como visto na Tabela 3. Esses resultados se mostram de acordo com os perfis de VC apresentados na Figura 19. O catalisador Co₃O₄(Cont.55%)GNR que apresentou melhor performance na redução eletroquímica de 40 mM de NO₃⁻ exibiu valores de ECSA superiores em 4 vezes em relação ao valor de Co₃O₄(Cont.75%), o que ressalta que o melhor desempenho pode ser atribuído ao emaranhamento entre o Co₃O₄ e o GNR com a presença do complexo ' $(Co_3(Co(CN)_6)_2(H_2O)_{12})_{1.333}$ '.

Para melhor entendimento da performance desses materiais, os gráficos de Nyquist são apresentados a seguir e a partir destes resultados de EIE é possível obter informações sobre a resistência eletrolítica da solução e resistência de transferência de carga. São apresentados nas Tabelas 7 e 8 os valores de pH da solução antes e após os experimentos de CA.

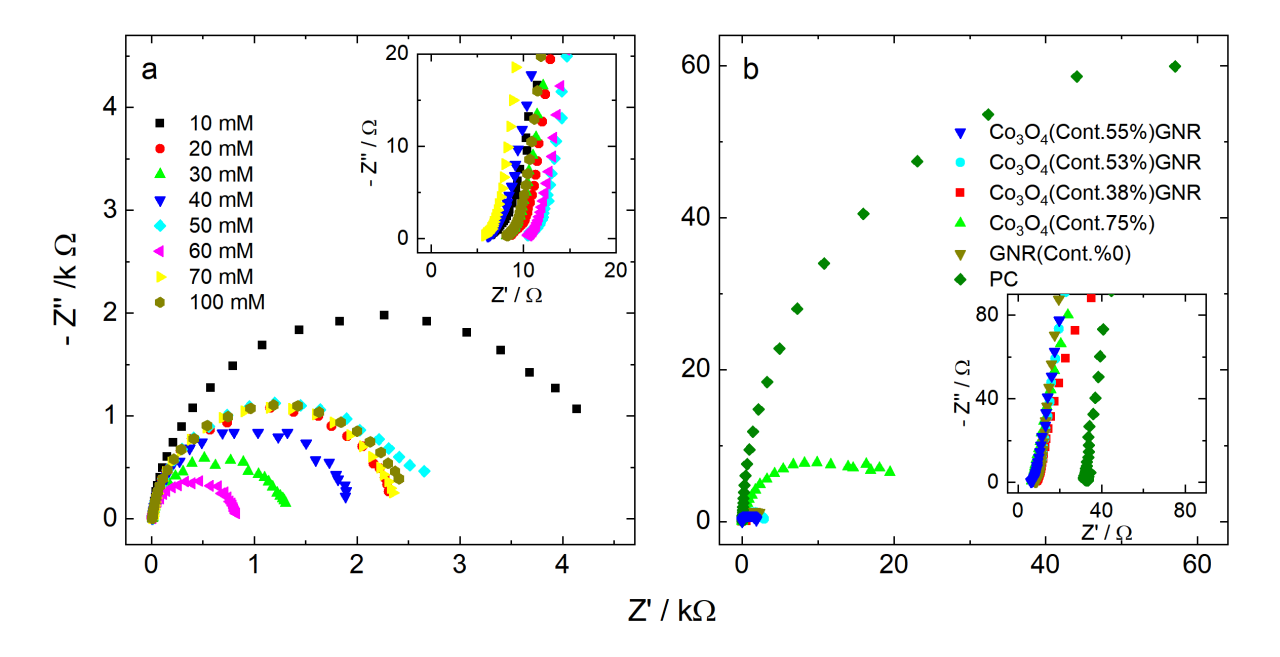


Figura 24. Resultados de EIE (gráfico de Nyquist) para o (a) eletrodo de PC modificado com 37,5 μ g cm⁻² de Co₃O₄(Cont.55%)GNR em K₂SO₄ 0,1 M em diferentes concentrações de NaNO₃ (10 – 100 mM) e (b) diferentes eletrodos em K₂SO₄ 0,1 M em 40 mM de NaNO₃. Faixa de frequência: 100 kHz – 10 mHz usando o valor do PCA como potencial constante para aquisição da EIE. Para ambos os experimentos, o eletrólito foi saturado em Ar.

Os resultados de EIE apresentados na Figura 24 mostram que a R_s foi de 6,5 a 11,6 Ω para os eletrodos de PC modificados para as diferentes concentrações de nitrato e diferentes catalisadores, e para o eletrodo de PC puro que foi de 34,5 Ω . A R_{tc} apresenta menor valor para o eletrocatalisador $Co_3O_4(Cont.38\%)GNR$ em valor de 0,7 $k\Omega$ na presença de 40 mM de NaNO3 e maior valor para PC puro (>> 60 $k\Omega$). É observado que a combinação de Co_3O_4 e GNR diminui a R_{tc} em relação ao $Co_3O_4(Cont.75\%)$ (16 $k\Omega$). Porém, o melhor catalisador $Co_3O_4(Cont.55\%)GNR$ e a melhor concentração de 40 mM de NaNO3 para produção de amônio apresenta valores de 1,9 $k\Omega$ e R_s de 6,6 Ω . Esses valores estão resumidos nas Tabelas 7 e 8.

Tabela 7. Valores de resistência da solução eletrolítica (R_s) e transferência de carga (R_{tc}) obtidos para o eletrodo de PC modificado com 37,5 µg cm⁻² de Co₃O₄(Cont.55%)GNR empregando K₂SO₄ 0,1 M saturado com Ar na presença de várias concentrações de NaNO₃. Os valores de R_s e R_{tc} foram obtidos com base nos resultados do EIE (Figura 24a). Os pH das soluções são relatados antes e após os experimentos de CA.

Concentração de NO ₃ -/mM	R_{S} / Ω	R_{tc} / $k\Omega$	pH da solução antes da CA	pH da solução após a CA
10	7,3	4,5	9,08	9,45
20	9,6	2,3	9,41	12,39
30	9,0	1,4	9,27	11,39
40	6,6	1,9	9,77	10,22
50	11,6	2,7	9,64	9,72
60	11,4	0,8	9,12	12,1
70	6,5	2,4	9,11	10,23
100	9,0	2,5	9,28	12,35

Tabela 8. Valores de resistência da solução eletrolítica (R_s) e transferência de carga (R_{tc}) obtidos para o eletrodo de PC modificado com 37,5 μg cm⁻² dos diferentes catalisadores, empregando 0,1 M de K_2SO_4 saturado com Ar na presença de 40 mM de NaNO₃. Os valores de R_s e R_{tc} foram obtidos com base nos resultados do EIE (Figura 24b). Os pH das soluções são relatados antes e após os experimentos de CA.

Eletrocatalisadores	Rs /	R_{tc} / $k\Omega$	pH da solução antes da CA	pH da solução após a CA
PC	34,5	>>60,0	8,58	9,85
GNR(Cont.0%)	8,9	2,6	9,37	11,56
Co ₃ O ₄ (Cont.75%)	7,3	16,0	10,7	12,09
Co ₃ O ₄ (Cont.38%)GNR	9,3	0,7	10,18	12,51
Co ₃ O ₄ (Cont.53%)GNR	8,7	2,7	9,76	11,71
Co ₃ O ₄ (Cont.55%)GNR	6,6	1,9	9,77	10,22

5.2.2. Estudo eletroquímico de voltametria de varredura linear e cronoamperometria

Na Figura 26 são apresentadas as respostas do estudo eletroquímico através de voltamogramas de varredura linear estacionária para os materiais de Co₃O₄(.)GNR, GNR(Cont.0%), Co₃O₄(Cont.75%) e PC, e diferentes concentrações de nitrato (Figura 25) para Co₃O₄(Cont.55%)GNR, com correntes normalizadas pela área geométrica dos eletrodos de trabalho (1 cm²). Os potenciais aplicados na CA foram escolhidos através dos resultados obtidos na LSV e os resultados estão apresentados na Figura 27.

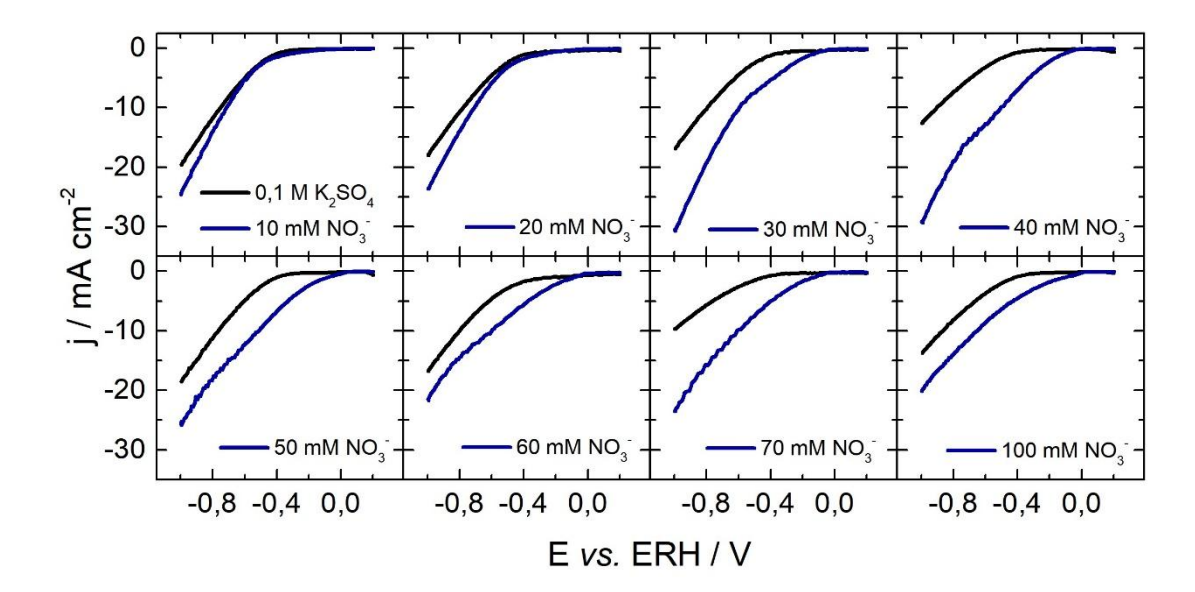


Figura 25. Voltamogramas de: Voltametria de varredura linear (LSV) registrados para o PC modificado com 37,5 μ g cm⁻² do catalisador Co₃O₄(Cont.55%)GNR empregado em K₂SO₄ 0,1 M saturado com Ar, na presença de diversas concentrações de nitrato a taxa de varredura de 5 mV s⁻¹. As varreduras foram iniciadas em 0,2 V.

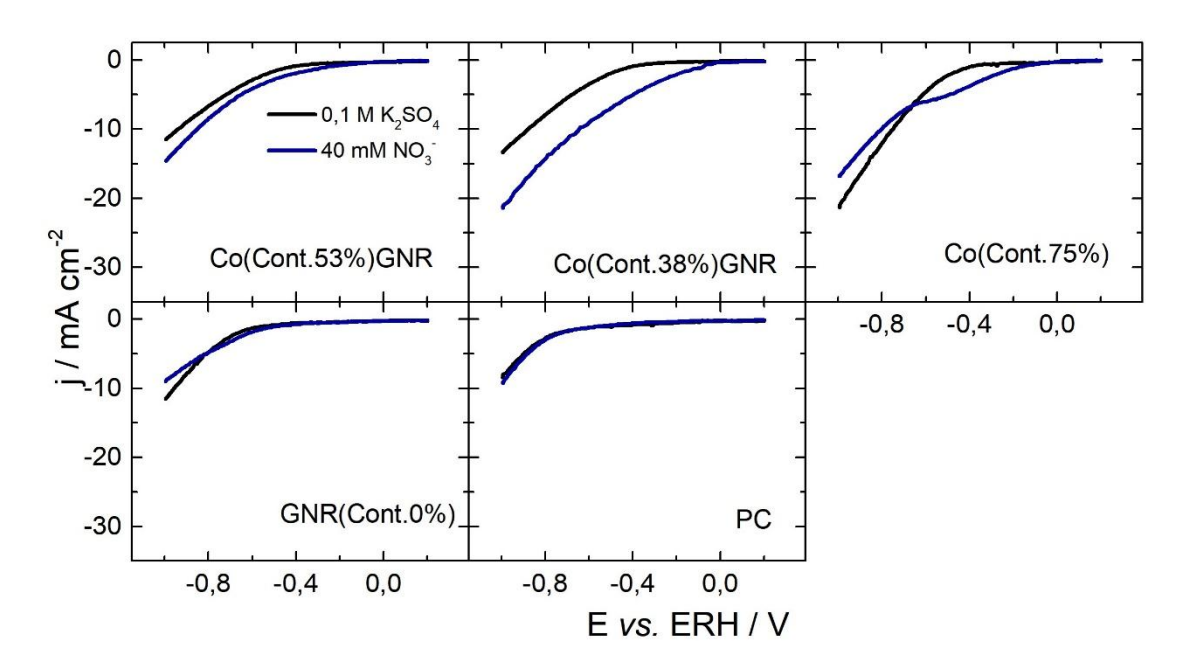


Figura 26. Voltamogramas de: Voltametria de varredura linear (LSV) registrados para o PC modificado com 37,5 μ g cm⁻² dos diferentes catalisadores (Co₃O₄(.)GNR, Co₃O₄(Cont.75%) e GNR(Cont.0%), e para o PC sem modificação empregado em K₂SO₄ 0,1 M saturado com Ar, na presença de 40 mM de nitrato a taxa de varredura de 5 mV s⁻¹. As varreduras foram iniciadas em 0,2 V.

As respostas apresentadas nas figuras acima exibem maiores densidades de corrente para todas as curvas na presença de nitrato em relação a sua ausência (curva de K₂SO₄ 0,1 M) e este pode ser um indicativo de que mais elétrons foram dedicados a síntese de NH₄⁺[119]. Os valores de sobrepotencial (η) foram obtidos em −10 mA cm⁻² através da diferença nos valores de potencial adquirido na curva de K_2SO_4 0,1 M e na curva na presença de NaNO₃ ($\eta = E_{(NaNO3)}$ - E_(K2SO4 0,1M)). Assim, foi observado maior valor de sobrepotencial para o catalisador $Co_3O_4(Cont.55\%)GNR$ na presença de 40 mM de NaNO₃ ($\eta = 406.5$ mV), o segundo maior valor foi obtido para a concentração de 70 mM (η = 393,71 mV) e o menor valor para 10 mM de NaNO₃ ($\eta = 49,29$ mV). Na Figura 26 são apresentados para os diferentes catalisadores menores valores de sobrepotencial, em $\eta = -51,26$ mV para Co₃O₄(Cont.75%) e η de 228,39 e 86,7 mV para Co₃O₄(Cont.38%)GNR e Co₃O₄(Cont.53%)GNR, respectivamente. É observada diminuição na densidade de corrente na presença de nitrato em relação a curva em K₂SO₄ 0,1 M para os eletrocatalisadores puros, já para as variações Co₃O₄(.)GNR é visto um aumento na densidade de corrente, sugerindo então que a combinação de GNR com Co₃O₄ possibilita que os elétrons na presença de NaNO₃ sejam direcionados à síntese de NH₄⁺ e suprimam assim a produção de H₂, em destaque para o eletrocatalisador Co₃O₄(Cont.55%)GNR em comparação aos demais, dados que serão confirmados no gráfico de produção de NH₄⁺ e EF.

Diante dos resultados obtidos na LSV, foram selecionados três potenciais para serem aplicados na CA (-0,5, -0,6 e -0,7 V vs. ERH) em 40 mM de NaNO₃ utilizando 37,5 μg cm⁻² de Co₃O₄(Cont.55%)GNR. Os cromatogramas estão apresentados na figura abaixo e os pulsos observados a cada uma hora de cronoamperometria são devido à pausa do experimento para coleta de alíquotas para análise dos produtos.

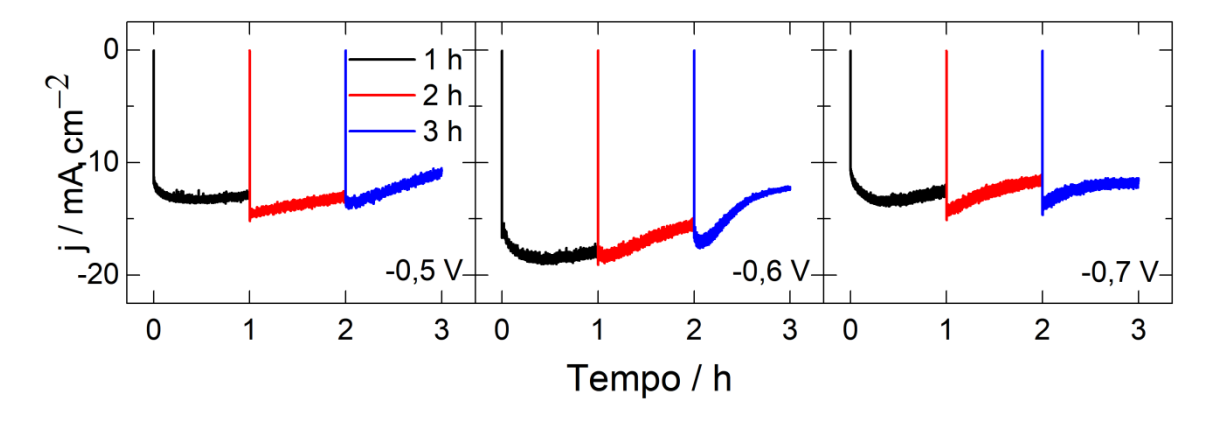


Figura 27. Resultados cronoamperométricos obtidos para os diferentes potenciais (-0.5; -0.6 e -0.7 V vs. ERH) obtidos para o catalisador $Co_3O_4(Cont.55\%)GNR$ empregado em K_2SO_4 0.1M

saturado em Ar na presença de 40 mM de NaNO₃. Após cada hora de experimento de CA, o experimento foi interrompido para coleta das alíquotas.

Foi observado para o potencial –0,6 V maior densidade de corrente para as três horas (–18,66 mA cm⁻²) de experimento em relação aos demais potenciais estudados (–13,9 e –13,46 mA cm⁻² para os potenciais –0,5 e –0,7 V, respectivamente), mesmo na terceira hora onde é observado um aumento na densidade de corrente no sentido positivo (–13,55 mA cm⁻²). Diante desse resultado, foram analisadas as diferentes concentrações de NaNO₃ para o catalisador Co₃O₄(Cont.55%)GNR em –0,6 V e o gráfico apresentado na Figura 28.

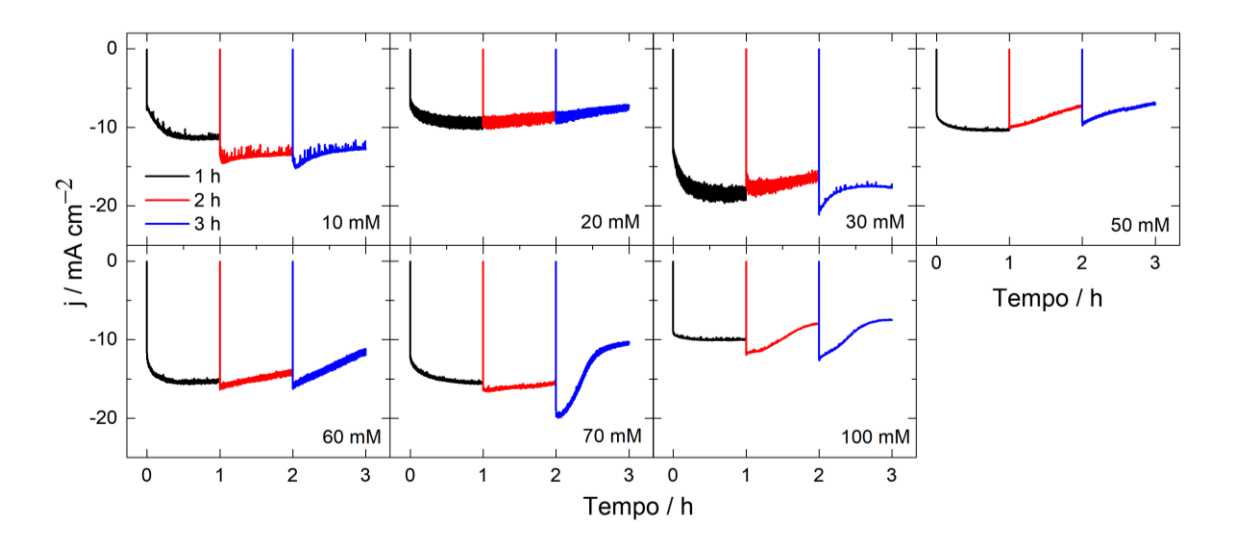


Figura 28. Resultados cronoamperométricos obtidos em −0,6 V vs. ERH obtidos para o catalisador Co₃O₄(Cont.55%)GNR empregado em K₂SO₄ 0,1M saturado em Ar na presença de diferentes concentrações de NaNO₃. Após cada hora de experimento de CA, o experimento foi interrompido para coleta das alíquotas.

Todas as concentrações de nitrato avaliadas apresentaram menor densidade de corrente durante as três horas de cronoamperometria. A concentração de 30 mM apresentou valores muito próximos em densidade de corrente a concentração de 40 mM, como já observado no experimento de LSV (Figura 25), mas devido ao maior sobrepotencial observado nesse experimento, foi empregada a concentração de 40 mM de nitrato em –0,6 V para avaliar a performance dos demais eletrocatalisadores, como apresentado na Figura 29.

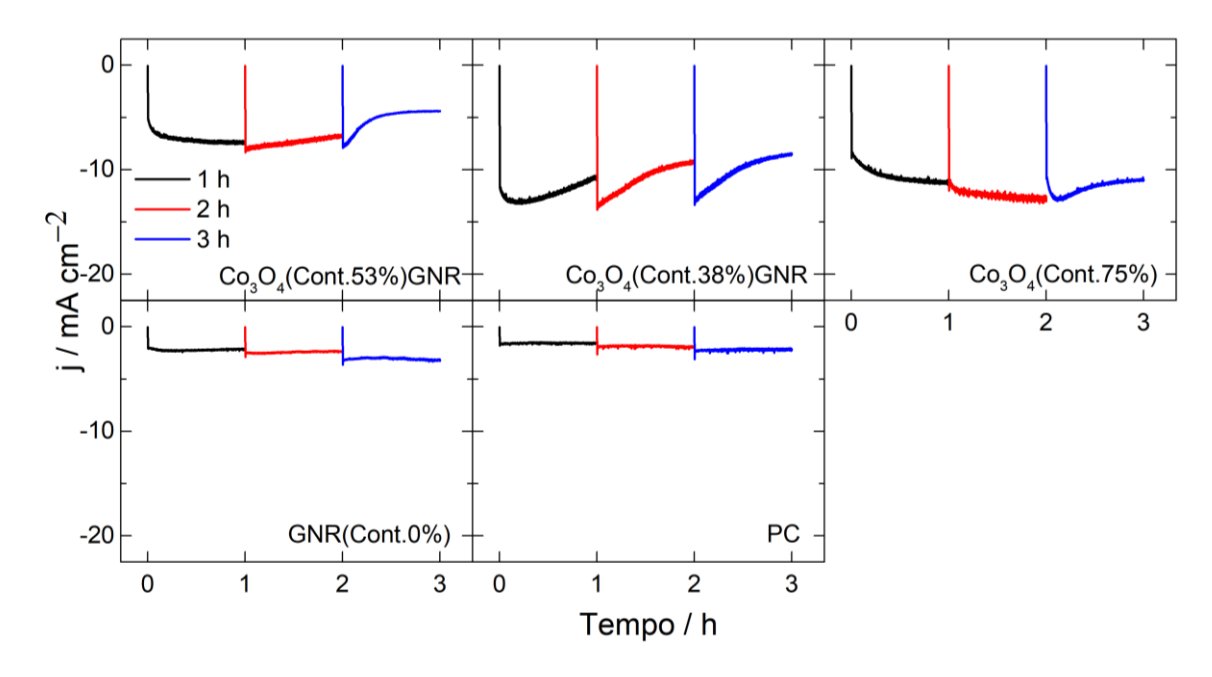


Figura 29. Resultados cronoamperométricos obtidos em -0.6 V vs. ERH para os diferentes catalisadores: diferentes variações de $Co_3O_4(.)GNR$, $Co_3O_4(Cont.75\%)$, GNR(Cont.0%) e PC sem modificação, empregado em K_2SO_4 0,1M saturado em Ar na presença de 40 mM de NaNO₃. Após cada hora de experimento de CA, o experimento foi interrompido para coleta das alíquotas.

É observado densidade de correntes quase desprezíveis do PC sem modificação e do GNR(Cont.0%). Para os demais eletrocatalisadores foi observado menor densidade de corrente em comparação ao Co₃O₄(Cont.55%)GNR, em valores de –7,51, –12,2 e –12,65 mA cm⁻² para Co₃O₄(Cont.53%)GNR, Co₃O₄(Cont.38%)GNR e Co₃O₄(Cont.75%), respectivamente. Esses resultados indicam que a melhor concentração de 40 mM de NaNO₃ em –0,6 V usando o eletrocatalisador Co₃O₄(Cont.55%)GNR pode apresentar maior rendimento na síntese eletroquímica de NH₄⁺ e maior EF, como apresentados na Seção 5.3.

5.3. Análise dos produtos resultantes da eletrorredução de NO₃⁻

As quantificações dos produtos foram realizadas através das curvas de calibração com uso de padrões, assim, a Figura 30 apresenta as curvas no UV-visível com as respectivas equações lineares para quantificação de NO₃⁻, NO₂⁻, NH₄⁺ e N₂H₂, e as curvas no CI estão

apresentadas na Figura 31 com as respectivas equações lineares para quantificação de NO_3^- , NO_2^- e NH_4^+ .

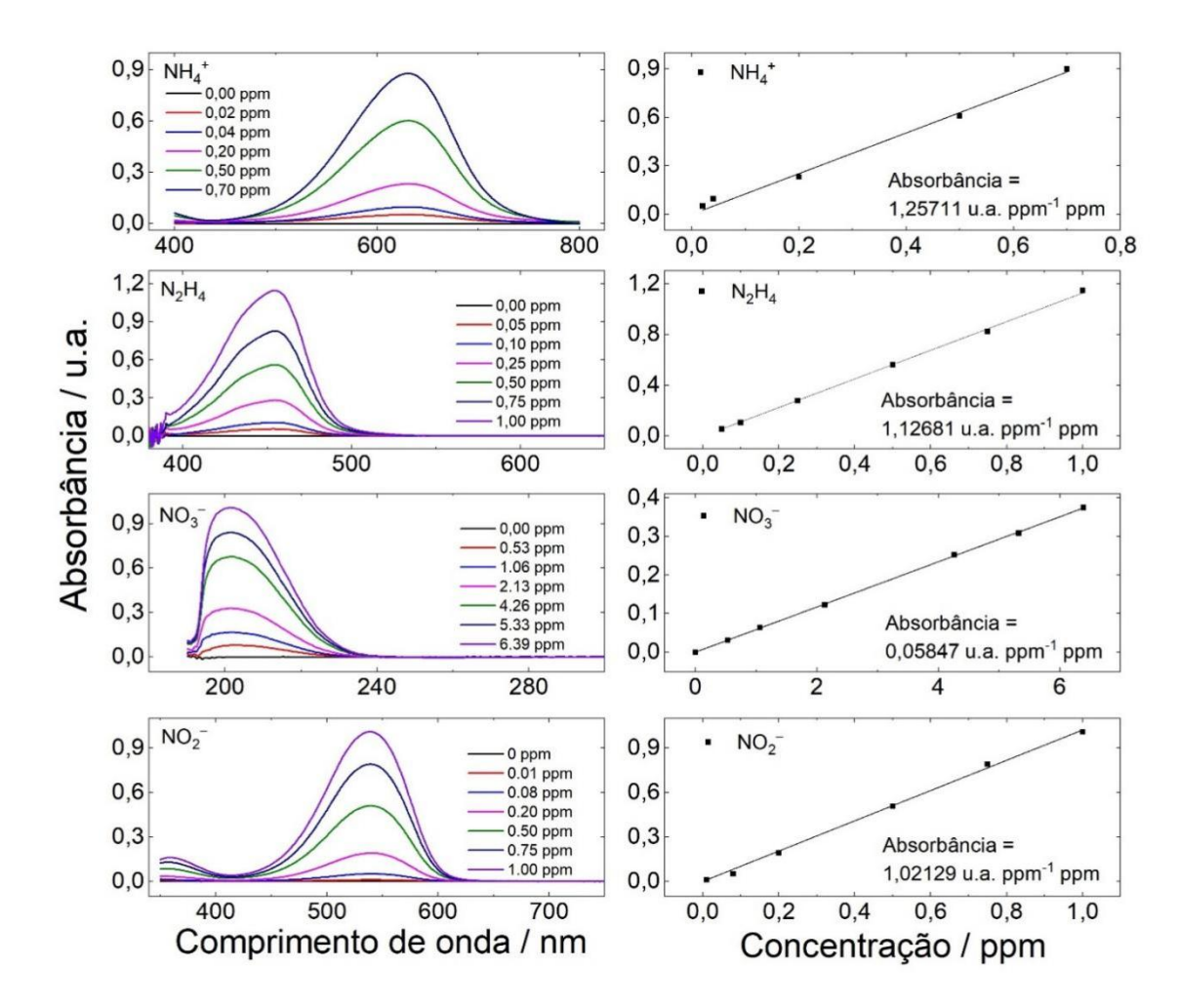


Figura 30. Curvas padrão de calibração no UV-visível (figuras da coluna da esquerda) usadas para quantificar NH₄⁺, N₂H₄, NO₃⁻ e NO₂⁻. As figuras da direita apresentam o comportamento linear baseado nas respostas obtidas no UV-visível para cada composto na sua faixa de concentração avaliado com sua respectiva equação linear.

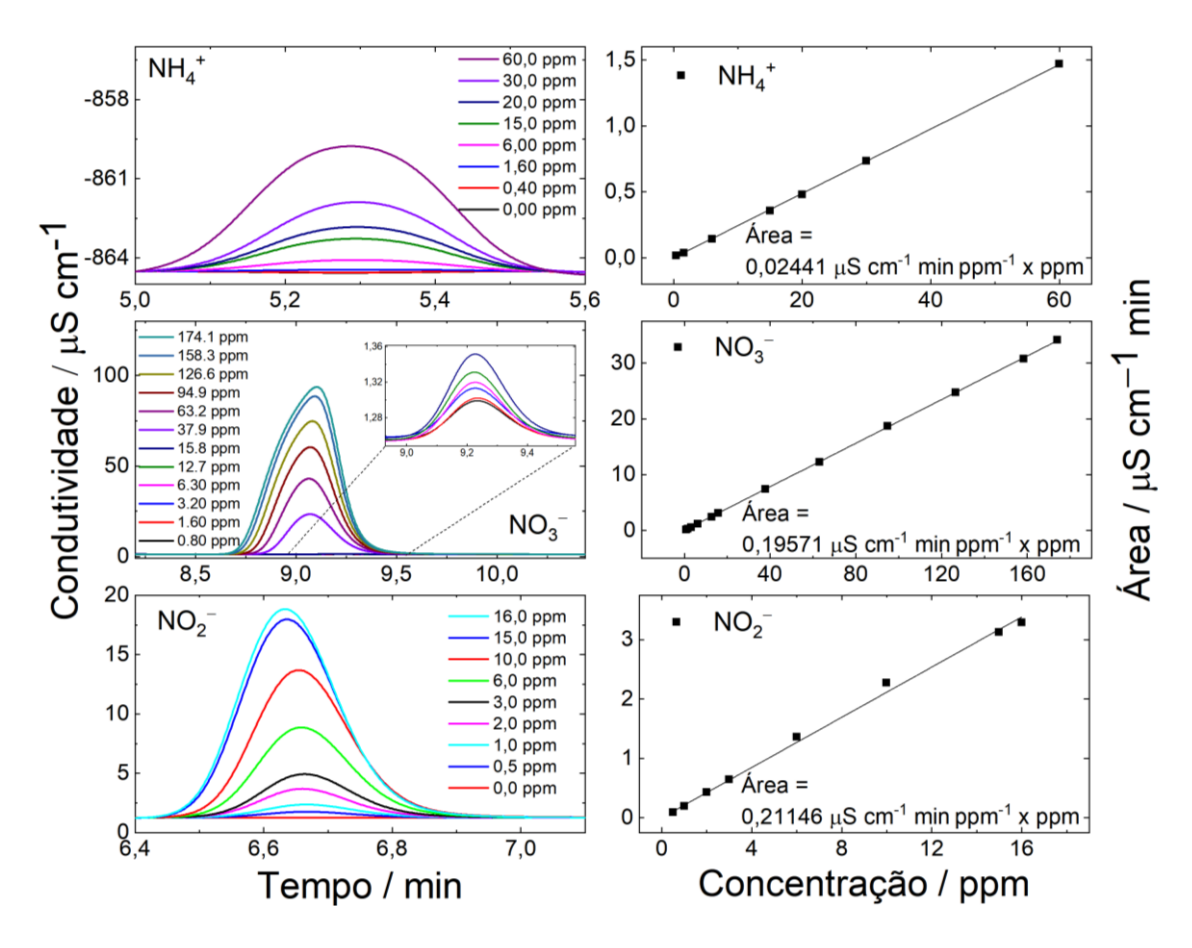


Figura 31. Curvas padrão de calibração no CI (figuras da coluna da esquerda) usadas para quantificar NH₄⁺, NO₃⁻ e NO₂⁻. As figuras da direita apresentam o comportamento linear baseado nas respostas obtidas no CI para cada composto na sua faixa de concentração avaliado com sua respectiva equação linear.

A partir da correlação das absorbâncias com a respectiva equação linear descrita na Figura 30 e correlação da condutividade com a respectiva equação linear apresentada na Figura 31 foram obtidas as quantificações de amônio no ramo catódico da célula H durante as três horas de CA usando Co₃O₄(Cont.55%)GNR em diferentes potenciais, concentrações e para os diferentes catalisadores na presença de 40 mM de NO₃ (adicionado apenas no ramo catódico) em –0,6 V vs. ERH (em carregamento de 37,5 μg cm⁻²) e estão apresentadas na Figura 32, onde foram calculadas a taxa de produção de amônia e EF. Os respectivos cromatogramas e espectros UV-visíveis usados para as quantificações estão apresentados nas Figuras 42 a 50 (APÊNDICE B). A Tabela 14 (APÊNDICE H) também apresenta os rendimentos de NH₄⁺ mas em outras dimensões.

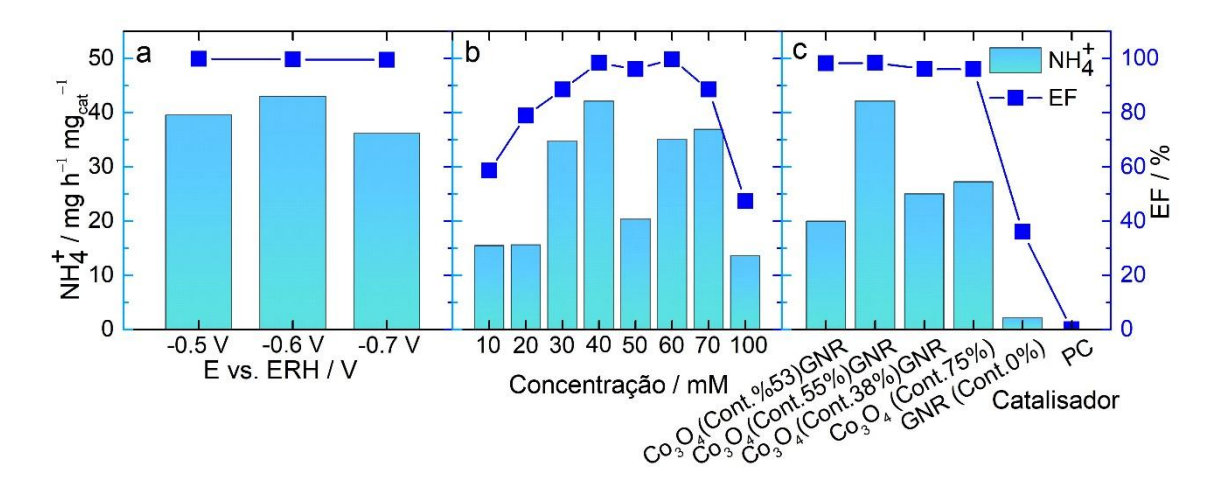


Figura 32. Taxa de rendimento de NH_4^+ e EF obtidos em três horas de CA, experimentos conduzidos em K_2SO_4 0,1 M saturado em Ar e nas seguintes condições: catalisador $Co_3O_4(Cont.55\%)GNR$ em carregamento de 37,5 μg cm⁻² em 40 mM de nitrato em diferentes potenciais; (b) catalisador $Co_3O_4(Cont.55\%)GNR$ em carregamento de 37,5 μg cm⁻² em diferentes concentrações de nitrato aplicando potencial de -0.6 V vs. ERH; (c) para os diferentes catalisadores em carregamento de 37,5 μg cm⁻² em 40 mM de NO_3^- aplicando potencial de -0.6 V vs. ERH.

Na Figura 32a–c é exibido a taxa de formação de amônia e EF, para todas as condições avaliadas e foram obtidos melhores resultados empregando o catalisador Co₃O₄(Cont.55%)GNR em 40 mM de NO₃⁻ aplicando o potencial de –0,6 V vs. ERH, em valores de 42,11 mg h⁻¹ mg_{cat}⁻¹, e valores de EF de 98,7 %. Assumimos que o mecanismo de produção de NH₄⁺ segue o caminho descrito por Anastasiadou e colaboradores [120]:

$$NO_3^- \rightarrow NO_3^- \xrightarrow{ads} \stackrel{+e^-}{\longrightarrow} NO_3^{2-} \xrightarrow{ads} \stackrel{H_2O \rightarrow 2OH^-}{\longrightarrow} NO_2^- \xrightarrow{ads}$$
 (Equação 35)

onde em meio alcalino/neutro, a conversão de NO_3^- em NO_2^- ads é a etapa determinante da taxa para produção de amônia:

$$NO_{2}^{-}\underset{ads}{\overset{+}e^{-}}NO_{2}^{2-}\underset{ads}{\overset{2H^{+}\rightarrow H_{2}O}{\longrightarrow}}NO_{ads}\overset{+H^{+}+e^{-}}{\longrightarrow}HNO_{ads}\overset{+H^{+}+e^{-}}{\longrightarrow}H_{2}NO_{ads}\overset{+H^{+}+e^{-}}{\longrightarrow}$$

$$H_2NOH_{ads} \xrightarrow{2H^+ \to H_2O} NH_3 \xrightarrow{H^+ \atop pKa=9.25} NH_4^+$$
 (Equação 36)

Para Figura 32b é apresentado o menor valor de rendimento de NH₄⁺ para concentração de 100 mM de NO₃⁻ em valor de 13,56 mg h⁻¹ mg_{cat}⁻¹ e EF de 47,32%, além disso, é observado uma diminuição na EF para as concentrações menores que 40 mM e nas concentrações de 70 e

100 mM, e a EF reflete a eficiência de transferência de elétrons necessárias para conduzir uma reação eletroquímica especifica (como visto nas Equações 35 e 36), o que sugere que a diminuição dessa eficiência pode ser atribuído a formação de N₂ ou outros subprodutos.

Para os diferentes materiais (Figura 32c) é observado para Co₃O₄(Cont.38%)GNR e Co₃O₄(Cont.53%)GNR rendimentos de NH₄⁺ inferiores em razão de 2x em relação ao melhor catalisador Co₃O₄(Cont.55%)GNR na mesma condição; e valores de 27,21 mg h⁻¹ mg_{cat}⁻¹ e EF de 95,92% para o Co₃O₄(Cont.75%). Essa diminuição na produção de amônio pode ser atribuída à ausência do GNR nesse catalisador, o que leva ao menor desempenho do catalisador visto que a combinação da estrutura das nanofitas de grafeno a esse metal venha a ser aprimorada por um material de apoio que permite que haja uma distribuição uniforme dos sítios ativos do metal (como visto nas imagens de microscopia SEM e SEM com mapeamento Figura 17), e corroborado pelo desempenho apresentado pelo Co₃O₄(Cont.55%)GNR para a mesma proporção em síntese de Co na presença de GNR e que apresentou a melhor taxa de produção de NH₄⁺.

Não foi observado a formação de NH₄⁺ para o PC sem modificação e valores quase insignificantes no GNR(Cont.0%) puro. Essas baixas taxas de rendimento e EF podem ser atribuídas também a formação de subprodutos e/ou a conversão incompleta de NO₃⁻.

Para essas mesmas condições foram avaliadas a eficiência de conversão de nitrato, seletividade de amônia e a migração de nitrato do ramo catódico para o anódico e estão apresentadas na Figura 33.

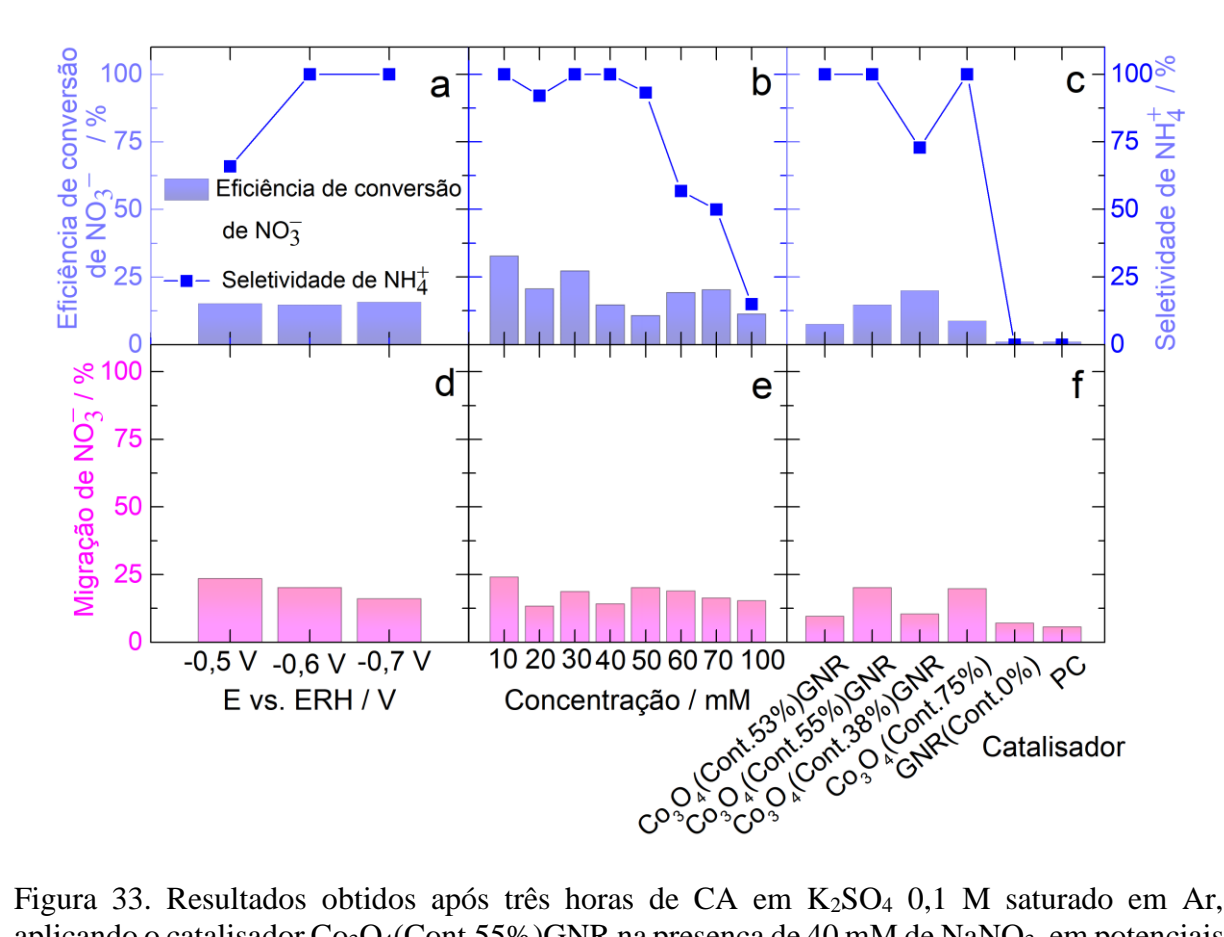


Figura 33. Resultados obtidos após três horas de CA em K_2SO_4 0,1 M saturado em Ar, aplicando o catalisador $Co_3O_4(Cont.55\%)GNR$ na presença de 40 mM de NaNO3, em potenciais de -0.5, -0.6 e -0.7 V vs. ERH (a) eficiência de conversão de NO_3^- e Seletividade de NH_4^+ e (d) migração de NO_3^- ; Aplicando o catalisador $Co_3O_4(Cont.55\%)GNR$ em -0.6 V vs. ERH na presença de 10; 20; 30; 40; 50; 60; 70 e 100 mM de NaNO3 (b) eficiência de conversão de NO_3^- e Seletividade de NH_4^+ e (e) migração de NO_3^- ; Aplicando o PC sem e com modificação das variações de $Co_3O_4(.)GNR$, $Co_3O_4(Cont.75\%)$ e GNR(Cont.0%) em carregamento de 37,5 μ g cm $^{-2}$ em 40 mM de NaNO3 a -0.6 V vs. ERH (c) eficiência de conversão de NO_3^- e Seletividade de NH_4^+ e (f) migração de NO_3^- .

Para o Co₃O₄(Cont.55%)GNR foi observado 100% de seletividade de amônia para ambos os potenciais −0,6 e −0,7V com 14,7% e 15,78% de conversão de nitrato, respectivamente, e devido a análise do menor custo energético somada a maior taxa de produção de amônia estudada (Figura 33a–c) foi selecionado o potencial −0,6V como potencial de trabalho. A Figura 33d apresenta maior valor de migração em 23,54% para o potencial de −0,5 V que apresentou menor valor de seletividade em 65,91% (Figura 33a).

Na Figura 33b é observado valores de seletividade inferiores a 56,79% para concentrações maiores que 60 mM. Na Figura 33c é observado maior valor de eficiência de conversão de NO₃⁻ em 19,98% para a variação Co₃O₄(Cont.38%)GNR dentre as variações estudadas e essa conversão pode ser atribuído a formação de N₂ com menor valor de seletividade de amônia em 72,76%. Além disso, para nenhum dos materiais e condições

estudadas foi possível quantificar NO_2^- e N_2H_2 em ambos os ramos (catódico e anódico), e não foi quantificado NH_4^+ no ramo anódico.

Para os casos em que é observada menor seletividade de NH₄⁺, o mecanismo de redução de NO₃⁻ pode ser direcionado à produção de N₂, isso é representado pela adição das etapas abaixo:

A etapa determinante da taxa de conversão de NO₃⁻ em NO₂⁻ [120] é seguida pelo mecanismo de Duca–Feliu–Koper [121] para produção de N₂:

$$NO_{2\text{-ads}} \xrightarrow{H_2O \to 2OH^-} NO_{ads} \xrightarrow{H_2O \to 4OH^-} NH_{2,ads} \xrightarrow{NO_{ads} \to H_2O} N_2 \text{ (Equação 37)}$$

Ou pelo mecanismo proposto por Katsounaros-Kyriacou [122] no qual é gerado N_2 como segue:

$$NO_{2}^{-}_{ads} \xrightarrow{+e^{-}} NO_{2}^{2-}_{ads} \xrightarrow{2H^{+} \rightarrow H_{2}O} NO_{ads} \xrightarrow{+H^{+} + e^{-}} HNO_{ads} \xrightarrow{+H^{+} + e^{-}} H_{2}NO_{ads} \xrightarrow{+H^{+} + e^{-}} H_{2}$$

Para todas as condições avaliadas foi quantificado valores de migração superiores ao valor de migração quantificado na ausência de potencial (Tabela 9), isso nos dá o indício de que o potencial tem influência significativa na migração de NO₃⁻.

Tabela 9. Porcentagem de migração de NO₃⁻ em relação ao tempo obtidos a partir dos resultados de UV para o ramo anódico da célula H. O experimento foi conduzido usando 0,1 M de K₂SO₄ saturado com Ar na presença de 40 mM de NO₃⁻ (adicionado apenas no ramo catódico), sem aplicação de potencial.

Tempo / h	Ramo anódico/
	%
0	0
1	0,09
2	2,96
3	3,86

A Figura 34 mostra os resultados obtidos nos experimentos eletroquímicos conduzidos utilizando o eletrodo PC modificado com 37,5 μg cm⁻² de Co₃O₄(Cowt.%55)GNR em 0,1 M

de K₂SO₄ saturado com Ar na ausência de NaNO₃; O NaNO₃ não foi aplicado na solução eletrolítica para mostrar que o NH₄⁺ é derivado do NO₃⁻ e não de outras fontes de N.

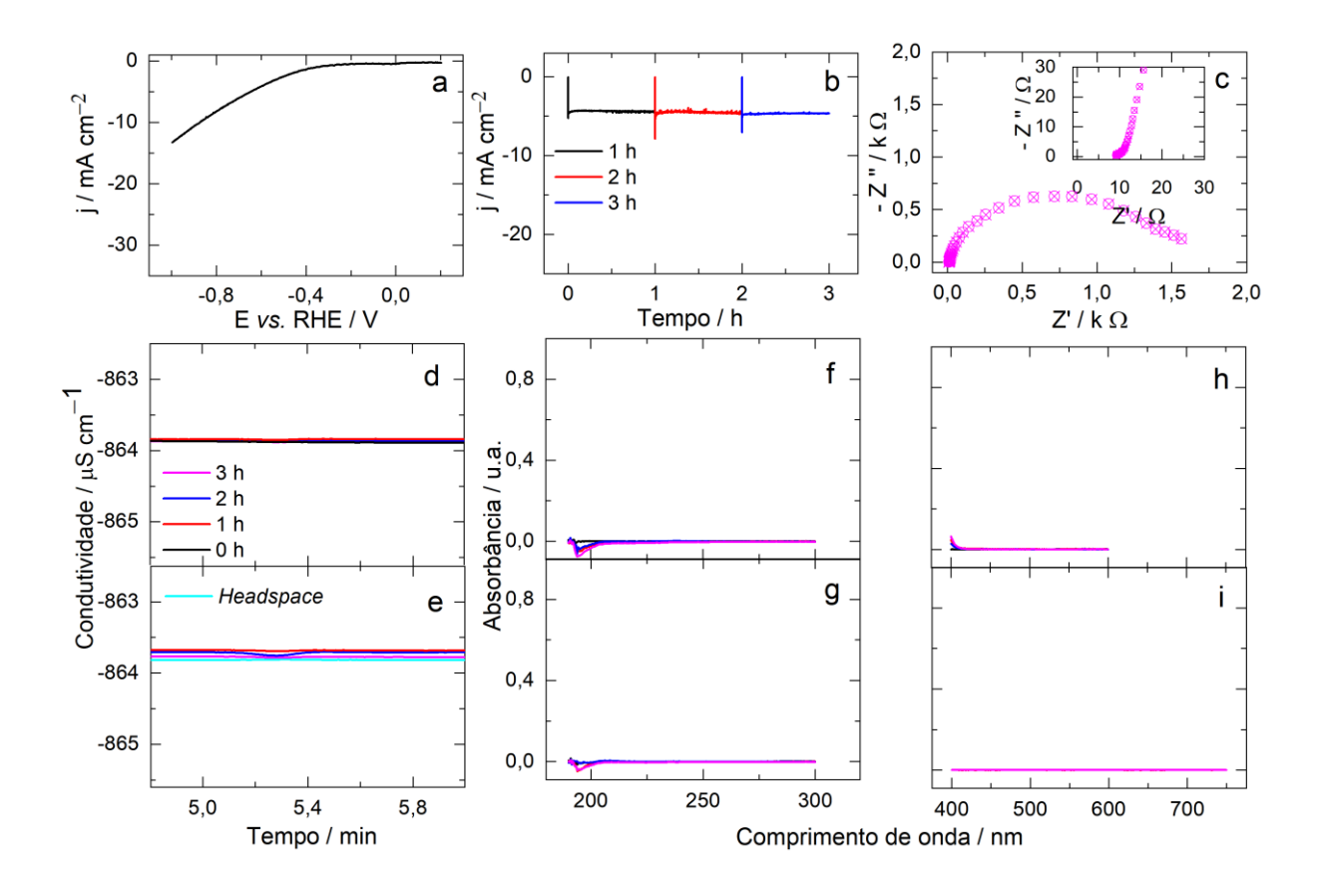


Figura 34. Respostas obtidas para o PC modificado com 37,5 μ g cm⁻² de Co₃O₄(Cont.55%)GNR empregando K₂SO₄ 0,1 M saturado em Ar: (a) LSV registrada a ν = 5 mV s⁻¹ (0,2 a –1,0 V); (b) resultados CA (–0,6 V), o experimento foi interrompido a cada hora para retirada de alíquotas da solução; (c) resultados do EIE (gráfico de Nyquist); curvas de CI usadas para quantificar NH₄⁺ nos ramos anódicos (d) e catódicos (e) da célula H; curvas UV utilizadas para quantificar NO₃⁻ nos ramos (f) anódicos e catódico (g); curvas do UV-visível usadas para quantificar hidrazina (h) e NO₂⁻ (i) no ramo catódico da célula.

A resposta de LSV na Figura 34a apresenta valores muito próximos às curvas para os mesmo catalisador na ausência de NO₃⁻ (Figura 25); as respostas cronoamperométricas são menores em densidade de corrente em pelo menos três vezes as que foram observadas na presença de NO₃⁻ (Figura 28); a R_{tc} registrada é de 1,5 kΩ (Figura 34c), que é semelhante aos valores de R_{tc} obtidos para o eletrodo Co₃O₄(Cont.55%)GNR na presença das variadas concentrações de NO₃⁻ (Tabela 7). Além disso, não foi possível detectar a presença de NH₄⁺ (Figura 34d-e) e NO₃⁻ nos ramos anódicos e catódicos da célula H (Figura 34f-g), nem a presença de hidrazina (Figura 34h) e NO₂⁻ (Figura 34i). O pH da solução variou de 6,0 antes dos experimentos de cronoamperometria para 12,1 após os experimentos.

Os resultados obtidos nesse trabalho são excelentes e comparáveis aos obtidos para os melhores catalisadores relatados na literatura (Tabela 10), empregando menor carregamento de catalisador quando comparado a estes catalisadores aplicados a redução eletroquímica de NO_3^- visando a produção de NH_4^+ .

Tabela 10. Visão geral de catalisadores, potenciais, eficiência de conversão de nitrato, eficiência faradaicas e seletividade de amônia.

Catalisador; carregamento	Potencial ou densidade de corrente	Eficiência de conversão de nitrato (%)	Taxa de rendimento de amônia	EF (%)	Seletivid ade de amônia (%)	Ref.
Co ₃ O ₄ (Cont.55 %)GNR; 37,5 µg cm ⁻²	−0,6 V vs. ERH	14,7	42,11 mg h ⁻¹ mg _{cat} ⁻¹ ou 87,79 μmol h ⁻¹ cm ⁻² ou 2,34 mmol h ⁻¹ mg _{cat} ⁻¹ ou 1,58 mg h ⁻¹ cm ⁻²	98,7	100	Este trabalho
Co ₂ AlO ₄ /CC; –	−0,7 V vs. ERH	-	7,9mg h ⁻¹ cm ⁻² at -0,9 V vs. ERH	92,6	-	[54]
CoP PANSs; 114,3 μg cm ⁻²	−0,5 V vs. ERH	-	$\begin{array}{c} 19,28 \pm 0,53 \\ \text{mg h}^{-1} \\ \text{mg}_{\text{cat}}^{-1} \\ (2,204 \text{ mg h}^{-1} \\ \text{cm}^{-2}) \end{array}$	94,24 ± 2,8	_	[51]
Ni/Cu ₂ O/Co(OH) _x ; –	$40 \text{ mA} \\ \text{cm}^{-2}$	90,3	1,22 mmol NH ₃ g _{cat} ⁻¹ h ⁻¹	22	94,0	[56]
Co ₃ O ₄ /CF; 6.400 μg cm ⁻²	-1,3 V vs Ag/AgCl	Remoção de NO ₃ ⁻ (91%)	283 µg mg ⁻¹ h ⁻¹	22,19	82,1	[60]
(Cu _{0,6} Co _{0,4})Co ₂ O ₄ ; 1.000 μg cm ⁻²	−0,45 V vs. ERH	-	1,09 mmol h ⁻¹ cm ⁻²	96,5	-	[62]
S-Co ₃ O ₄ ; 400 µg cm ⁻²	−0,60 V vs. ERH	-	174,2 mmol h ⁻¹ g ⁻¹ ; 314.5 mmol h ⁻¹ g ⁻¹	89,9; 87,6	-	[65]
Cu ₂ O+Co ₃ O ₄ on CP; 500 µg cm ⁻²	-0,30 V vs. ERH	-	12,76 mg h ⁻¹ cm ⁻²	85,4	~98	[27]

5.3.1. Diferentes carregamentos do catalisador Co₃O₄(Cont.55%)GNR

Considerando a grande variedade de cargas de catalisadores usadas na literatura (35 – 6.400 µg cm⁻², Tabela 10), decidimos avaliar os efeitos da aplicação do catalisador Co₃O₄(Cont.55%)GNR na superfície do PC em 19; 56; 75 e 150 µg cm⁻². Aplicando a melhor condição experimental obtida, os ensaios foram realizados em K₂SO₄ 0,1 M na presença de 40 mM de NO₃⁻ apenas no ramo catódico da célula H, sendo aplicados potencial de –0,6V vs. ERH e os resultados estão apresentados nas Figuras 35 e 36.

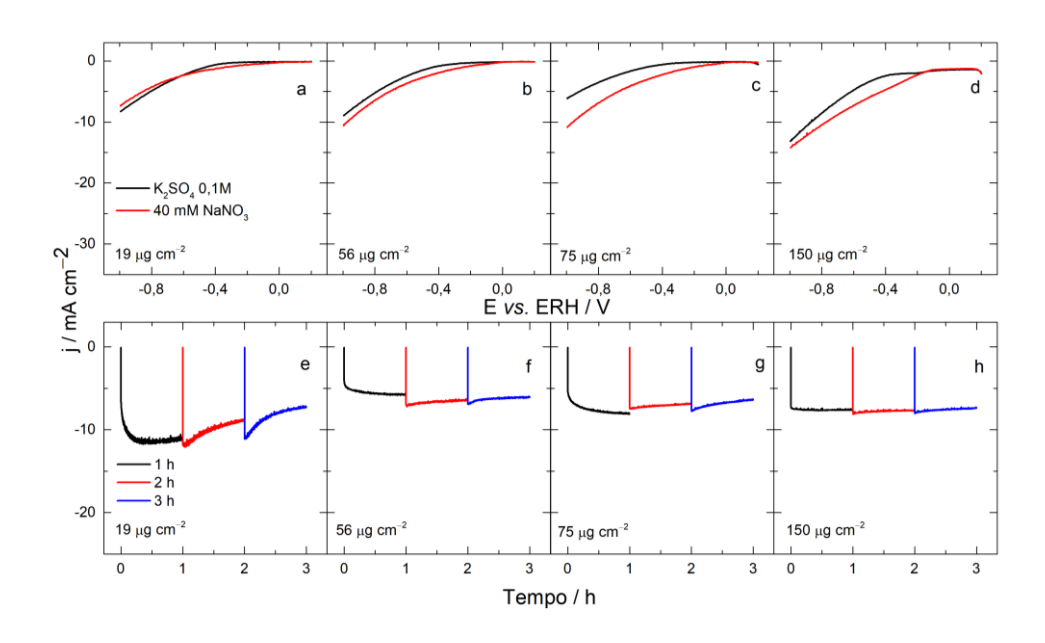


Figura 35. PC modificado com diferentes carregamentos de Co₃O₄(Cont.55%)GNR empregado em K₂SO₄ 0,1 M saturado com Ar e 40 mM de NO₃⁻: LSVs a taxa de varredura de 5 mV s⁻¹, foram iniciadas em 0,2 V para os carregamentos de (a)19, (b) 56, (c) 75 e (d)150 μg cm⁻²; resultados cronoamperométricos obtidos em –0,6 V vs. ERH para os diferentes carregamentos (e)19, (f) 56, (g) 75 e (h)150 μg cm⁻²: Após cada hora de experimento de CA, o experimento foi interrompido para coleta das alíquotas.

Na Figura 35a-d foram obtidas menores densidades de corrente em comparação com as respostas da LSV apresentada na Figura 25, para o carregamento de 37,5 μg cm⁻² de Co₃O₄(Cont.55%)GNR, tanto na presença quando na ausência de NaNO₃. Além disso, as respostas cronoamperométricas (Figura 35e-h), foram encontradas como sendo, em média, 2,5 vezes menores em densidade de corrente em comparação com as respostas apresentadas na Figura 27. Os valores de R_{tc} obtidos para o eletrodo de PC modificado com Co₃O₄(Cont.55%)GNR para os carregamentos 19; 56; 75 e 150 μg cm⁻² (Tabela 12, APÊNDICE C) foram maiores do que os obtidos para o carregamento de 37,5 μg cm⁻² (Tabela

8). O pH da solução variou de 6,9 à 13,9 antes e após os experimentos de CA (Tabela 12, APÊNDICE C).

A partir da correlação das absorbâncias com a respectiva equação linear descrita na Figura 30 e correlação da condutividade com a respectiva equação linear apresentada na Figura 31 foram obtidas as quantificações de amônio no ramo catódico da célula H para os carregamentos 19; 56; 75 e 150 μg cm⁻² após três horas de CA usando Co₃O₄(Cont.55%)GNR em –0,6 V vs. ERH na presença de 40 mM de NO₃ (adicionado apenas no ramo catódico da célula H) e estão apresentadas na Figura 36a, onde foram calculadas a taxa de produção de amônio e EF. Para essas mesmas condições foram avaliadas a eficiência de conversão de nitrato, seletividade de amônio (Figura 36b) e a migração de nitrato do ramo catódico para o anódico (Figura 36c).

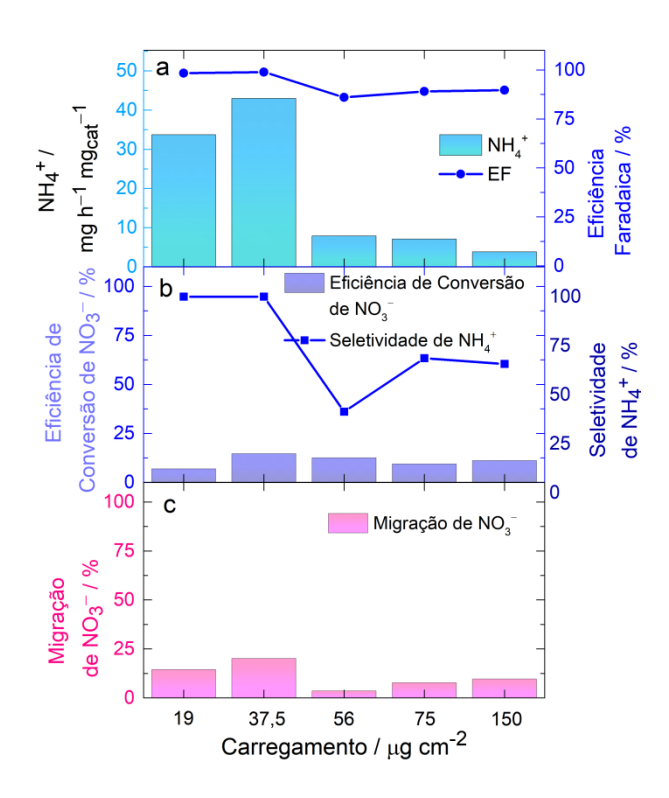


Figura 36. Resultados obtidos após três horas de experimentos cronoamperométricos –0,6V *vs*. ERH em K₂SO₄ 0,1 M saturado em Ar, aplicando o catalisador Co₃O₄(Cont.55%)GNR em carregamento de 19, 37,5, 56, 75 e 150 μg cm⁻² na presença de 40 mM de NaNO₃: (a) Taxa de rendimento de NH₄⁺ e EF; (b) Eficiência de Conversão de NO₃⁻ e Seletividade de NH₄⁺ e (c) Migração de NO₃⁻

A Figura 36a, exibe as taxas de rendimento de NH₄⁺ e EF após três horas de experimentos cronoamperométricos, variaram de 3,85 a 7,92 mg h⁻¹ mg_{cat}⁻¹ e 89,7 a 86%, respectivamente, para os carregamentos de Co₃O₄(Cont.55%)GNR em 150, 75 e 56 μg cm⁻²,

enquanto que o eletrodo de PC modificado com 19 μg cm⁻² de Co₃O₄(Cont.55%)GNR apresentou taxa de rendimento de NH₄⁺ em 30,7 mg h⁻¹ mg_{cat}⁻¹ e EF de 98,4%. Esses valores são menores que os valores apresentados para o eletrodo de PC modificado com 37,5 μg cm⁻². Além disso, a eficiência de conversão de NO₃⁻ para os carregamentos de 19, 56, 75 e 150 μg cm⁻² do Co₃O₄(Cont.55%)GNR no eletrodo de PC variou de 12,6 a 7%, com seletividade de NH₄⁺ de 41,4 a 99,6% (Figura 36b); e as porcentagens de migração de NO₃⁻ estavam na faixa de 3,6 a 14,5% (Figura 36c); esses valores são menores que o valores obtidos para o mesmo catalisador em carregamento de 37,5 μg cm⁻² (correspondendo a 20,6 μg cm⁻² de Co), que foram de 14,71 % de eficiência de conversão de NO₃⁻, 100% de seletividade de NH₄⁺ e 20,17% de migração de NO₃⁻; esses resultados são excelentes e comparáveis aos obtidos para os melhores catalisadores relatados na literatura (Tabela 10).

Em essência, os resultados mostram que quando a carga de Co₃O₄(Cont.55%)GNR é superiores a 37,5 μg cm⁻², há um aumento nos sítios ativos vizinhos (Tabela 13, APÊNDICE E) e espécies de NO_{ads} ou HNO_{ads}, e isso faz com que o mecanismo de Feliu-Koper [121] ou Katsounaros-Kyricous [122] (Equações 37 e 38) produza N₂ favoravelmente em vez de NH₄⁺.

5.3.2. Migração eletroquímica de NO₃⁻ do ramo catódico para anódico da célula H

Considerando que o uso da célula H separada com vidro sinterizado claramente permitiu a migração de NO₃⁻ do cátodo para o ânodo, e que o NH₄⁺ e os intermediários produzidos na RRNO₃⁻ provavelmente também permeou através do vidro sinterizado e migrou para o ânodo, onde é oxidado [123,124], considerar essas variáveis que possam levar a alguns números imprecisos quando se trata em determinar a taxa de rendimento de NH₄⁺ e EF é relevante. Para compreender a influência da migração de nitrato nessas quantificações, foram avaliados duas novas condições: (i) foi adicionado NaNO₃ em ambos os ramos da célula H; e (ii) empregando uma célula H contendo uma membrana de Nafion 117 (Figura 9), que separa os ramos anódico e catódico, foi adicionado NaNO₃ apenas no ramo catódico. A membrana de Nafion 117 foi escolhida com base nos relatos da literatura [125–128], dos quais não são apresentadas a influência da migração nos experimentos. Os ensaios foram performados na melhor condição eletroquímica obtida empregando o catalisador Co₃O₄(Cont.55%)GNR, na concentração de

NaNO₃ de 40 mM aplicando potencial cronoamperométrico de –0,6 V vs. ERH. Apresentados nas Figuras 37 e 38.

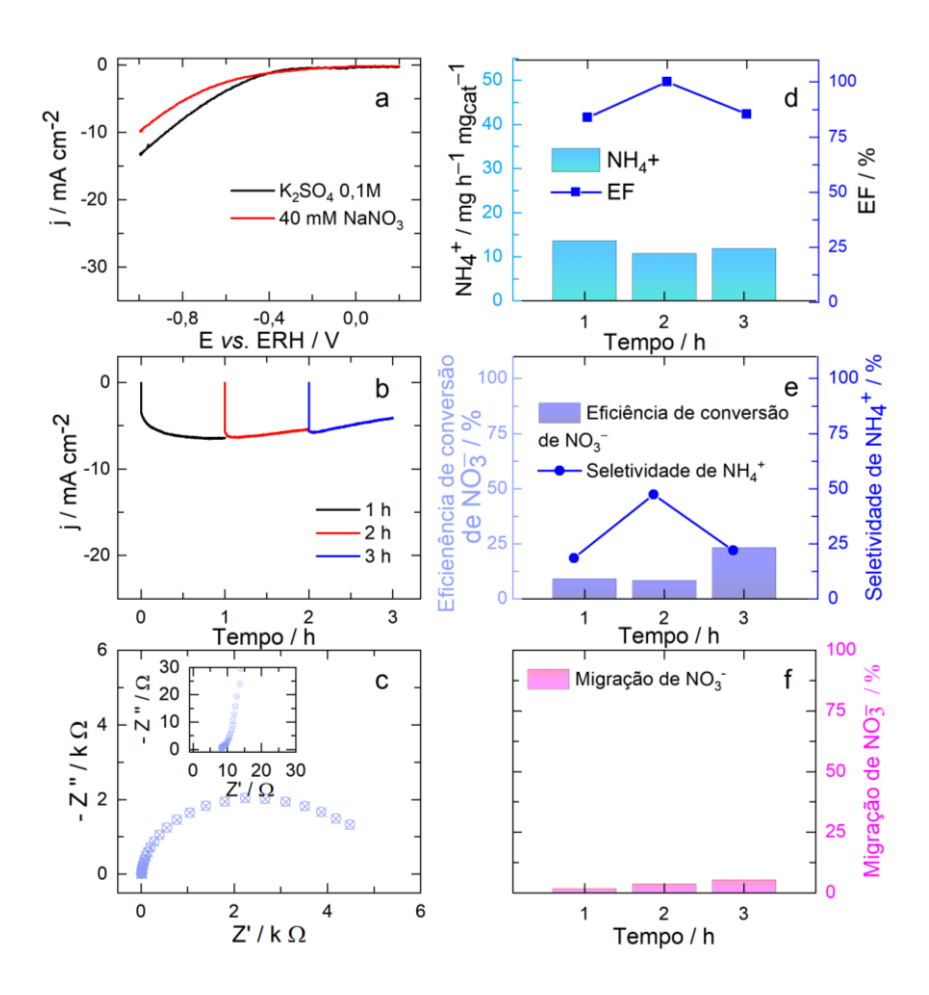


Figura 37. Respostas obtidas para o eletrodo de PC modificado com $Co_3O_4(Cont.55\%)GNR$ em carregamento de 37,5 µg cm⁻² em K_2SO_4 0,1 M saturado em Ar na presença de 40 mM de NaNO₃ nos ramos anódico e catódico da célula H: (a) LSV registrada em v = 5 mV s⁻¹ (0,2 a – 1,0 V); (b) resultados de CA (–0,6V), o experimento foi interrompido a cada hora para retirada de alíquotas da solução; (c) resultado de EIE (gráfico de Nyquist); (d) taxa de rendimento de NH₄⁺ e valores de EF obtidos após três horas de experimentos de CA; (e) eficiência de conversão de NO_3 e seletividade de NH_4 e (f) migração de NO_3 .

Na Figura 37a é observada a diminuição na densidade de corrente na presença de NaNO3 em ambos os ramos em comparação com a resposta obtida na LSV (Figura 25) quando 40 mM de NaNO3 foi adicionado inicialmente apenas no ramo catódico. Para os experimentos de cronoamperometria (Figura 37b) foi obtido densidade de corrente em pelo menos 2x menor que o experimento com 40 mM NaNO3 apenas no cátodo (Figura 27). Foram adquiridos valores de R_{tc} 5 k Ω superior em mais de 2,5 vezes do que foi obtido para apenas um ramo (Figura 24). Foi registrado a taxa de rendimento de NH₄+ de 12,09 mg h⁻¹ mg_{cat}-1 que foi 3,5 vezes a menos que

o valor registrado para o mesmo catalisador quando 40 mM de NaNO₃ estava inicialmente presente apenas no ramo catódico da célula H a –0,6 V vs. ERH (Figura 37d), assim como os valores de EF em 89,7% e seletividade de NH₄⁺ inferior a 50% (Figura 37e). Alcançando após três horas de CA o valor máximo de 5,29% de migração de nitrato (Figura 37f), representando 4 vezes menos do valor de migração de NO₃⁻ obtido para o mesmo catalisador quando 40 mM de NaNO₃ estava inicialmente apenas no ramo catódico da célula H.

Quando se trata da produção de NH₄⁺ a partir da produção eletroquímica de NO₃⁻, esses resultados apontam claramente para a relevância inegável da migração de NO₃⁻ do ramo catódico da célula H para o ramo anódico, quando NaNO₃ está presente inicialmente apenas no ramo catódico da célula H. Isso pode estar relacionado à complexa reação de redução de NO₃⁻ envolvendo vários intermediários adsorvidos, conforme descrito nas Equações 35 e 36, o que pode afetar a adsorção desses intermediários, dependendo do fluxo de espécies de NO₃⁻ perto da superfície do catalisador.

O pH da solução variou de 6,3 à 12,3 antes e após os do experimento de CA. Os valores de R_{tc}, R_s, C_{dc} e ECSA estão resumidos e apresentados Tabela 12 (APÊNDICE C).

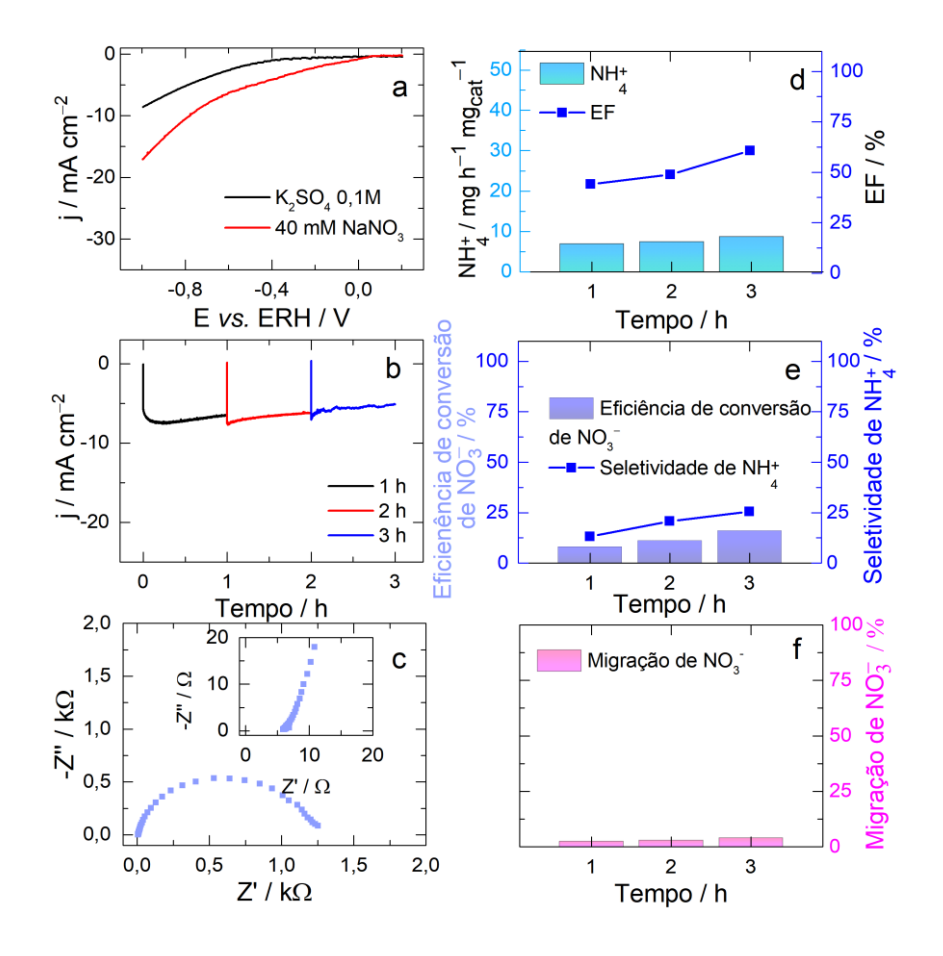


Figura 38. Respostas obtidas para o eletrodo de PC modificado com $Co_3O_4(Cont.55\%)GNR$ em carregamento de 37,5 µg cm⁻² da célula H com membrana de Nafion 117: (a) LSV registrada em $\nu = 5$ mV s⁻¹(0,2 a –1,0 V); (b) resultados de CA (–0,6V), o experimento foi interrompido a cada hora para a retirada de alíquotas da solução; (c) resultado de EIE (gráfico de Nyquist; (d) taxa de rendimento de NH_4^+ e valores de EF obtidos após três horas de experimentos de CA; (e) eficiência de conversão de NO_3^- e seletividade de NH_4^+ e (f) migração de NO_3^- .

A Figura 38a exibe a resposta da LSV, foi observado que para curva na presença de nitrato a densidade de corrente foi inferior em cerca de 2/3 da resposta obtida na presença de NO₃⁻ em 40 mM (Figura 25). O que reflete nas respostas obtidas no experimento de CA, sendo inferior em pelo menos duas vezes em termos de densidade de corrente em comparação a curva de 40 mM apenas no ramo catódico (Figura 27). Foram obtidos rendimentos de NH₄⁺ em 8,75 mg h⁻¹ mg_{cat}⁻¹ e EF em 61% para terceira hora (Figura 38d), com seletividade de ½ do que foi obtido para o mesmo experimento na célula H (Figura 33a).

Apesar dos trabalhos apresentados na literatura não tratarem a influência e os efeitos da migração de NO₃⁻ no sistema, os valores obtidos aqui apresentam que há a migração de NO₃⁻ nesse sistema (Figura 38f), com valor de 4,01% de nitrato migrado para o ramo anódico usando o sistema com célula H com membrana de Nafion 117, embora esse valor seja muito menor do

que o observada no experimento similar conduzido na célula H separada por vidro sinterizado (20,17%, Figura 33d), ela é muito próxima do valor obtido para o experimento conduzido na célula H separada por vidro sinterizado, que inicialmente continha NO₃⁻ nos ramos anódicos e catódicos (migração de NO₃⁻ em 3,77%, Figura 37f).

Os resultados obtidos aqui nos provam que apesar de usar a membrana de Nafion 117 como separador, houve a migração de NO₃⁻ do ramo catódico para o anódico e provavelmente alguma migração de NH₄⁺, em quantidades similares as observadas nos experimentos conduzidos usando a célula H separada por vidro sinterizado, com NO₃⁻ presente em ambos os ramos anódicos e catódicos, além dos valores relativamente próximos em termos de rendimento de NH₄⁺, EF, conversão de NO₃⁻ e seletividade de NH₄⁺, registradas em ambos os sistemas. Os altos valores de taxa de rendimento de NH₄⁺ e EF obtidos usando o vidro sinterizado como separador e aplicando NO₃⁻ inicialmente apenas no ramo catódico, reflete na precisão dos resultados descritos neste trabalho.

Os valores de R_{tc} e R_s (1,2 k Ω e 6,9 Ω , respectivamente) e o valor de ECSA (8,2 cm²) são muito próximos aos obtidos usando o sistema de célula H separado por vidro sinterizado e estão apresentados na Tabela 12 (APÊNDICE C) e Tabela 13 (APÊNDICE E). Foram quantificados 5,19 ppm de NO_2^- para o primeiro tempo de coleta, 13,62 e 25,66 ppm para os tempos 2 e 3, respectivamente (Figura 51, APÊNDICE B), o pH da solução variou de 8,4 antes dos experimentos de cronoamperometria para 12,9 após os experimentos.

5.4. Técnicas in situ para identificar os intermediários e produtos gerados durante a eletrorredução de NO₃⁻

Para identificar os intermediários e produtos gerados durante a eletrorredução de NO_3^- , medições de FTIR in situ e Raman in situ foram conduzidas usando o catalisador $Co_3O_4(Cont.55\%)GNR$ em carregamento de 37,5 μ g cm⁻² com e sem a presença de 40 mM de NO_3^- em 0,1 M de K_2SO_4 . Foram realizadas também análise de Raman in situ para os catalisadores: $Co_3O_4(Cont.75\%)$ e GNR(Cont.0%) suportados em carbono puro em

carregamento de 37,5 μ g cm $^{-2}$, aplicado em 0,1 M de K_2SO_4 na ausência e na presença de 40 mM de $NaNO_3$.

5.4.1. Medições de FTIR in situ

As medições de FTIR in situ foram realizadas suportando o catalisador em carbono vítreo, em K₂SO₄ 0,1 M na ausência (Figura 65, APÊNDICE F) e presença de 40 mM de NaNO₃ (Figura 39).

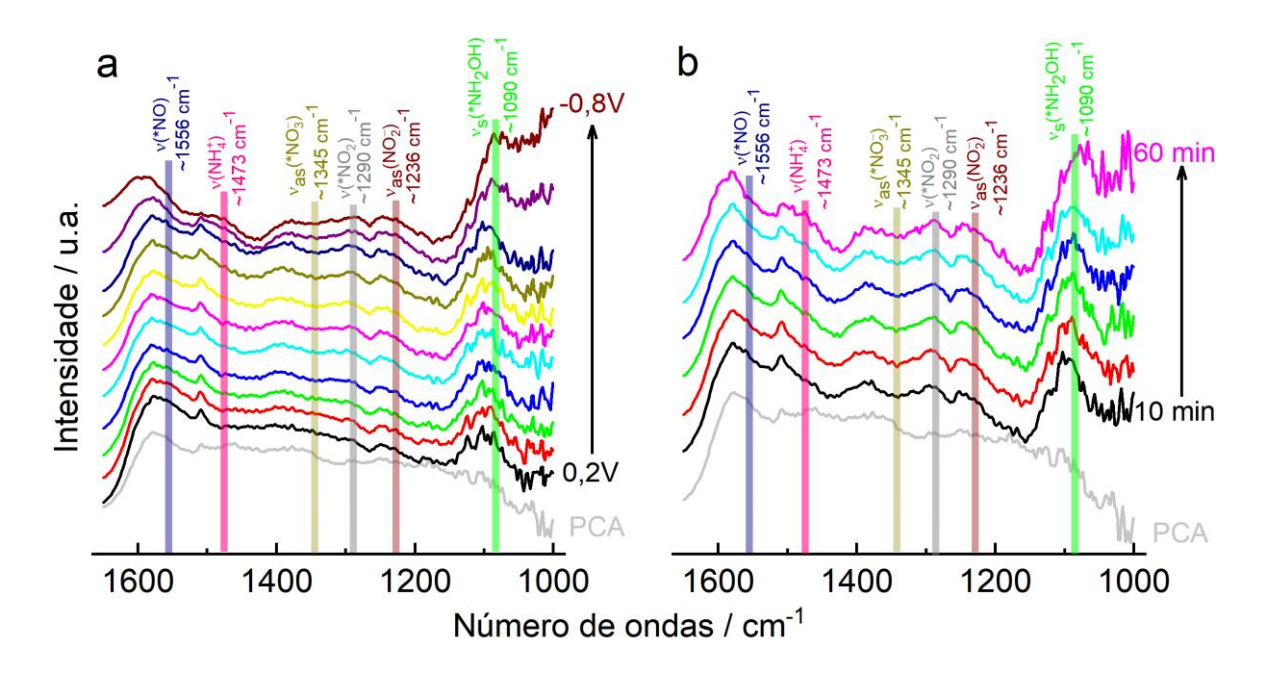


Figura 39. Espectros de FTIR in situ para o eletrodo de CV modificado com 37,5 μg cm⁻² de Co₃O₄(Cont.55%)GNR (como ET) na presença de 40 mM de NaNO₃ e 0,1 M de K₂SO4: (a) em diferentes potenciais cronoamperométricos (diferença de 100 mV para cada espectro, 0,2 a –0,8 V vs. ERH) e espectro PCA; (b) em diferentes tempos (após 10 min de cronoamperometria em –0,6 V vs. ERH para aquisição de cada espectro) e espectro do PCA.

A Figura 39a mostra os espectros de FTIR obtidos sob diferentes potenciais cronoamperométricos, tomando o espectro de PCA como referência. Como pode ser observado, há bandas positivas (mais intensas após 0 V na direção de potenciais negativos) em torno de 1090, 1236, 1290, 1473 e 1556 cm⁻¹, que correspondem à vibração de alongamento de NH₂OH adsorvido (v_s(*NH₂OH))[129,130], NO₂⁻ vibração de alongamento antissimétrica (v_{as}(NO₂⁻)) [130–132], respectivamente, e uma banda negativa em torno de 1345 cm⁻¹ que está ligada ao alongamento assimétrico de NO₃⁻ (v_{as}(NO₃⁻))[129]. Em geral, há um aumento na intensidade desses picos quando o tempo cronoamperométrico é aumentado em um potencial de –0,6 V

(Figura 39b); além disso, os picos não são observados na ausência de NaNO₃ em 0,1 M de K₂SO₄ (Figura 65, APÊNDICE F).

Os resultados de FTIR in situ ajudaram a mostrar definitivamente que o mecanismo de ação da eletrorredução de nitrato no catalisador Co₃O₄(Cont.55%)GNR é exatamente como descrito por Anastasiadou e colaboradores [120] (Equação 36).

5.4.2. Medições de Raman in situ

As medidas em Raman in situ foram realizadas suportando o catalisador em carbono na ausência (Figura 66, APÊNDICE F) e na presença de 40 mM de NaNO₃ (Figura 40), as medições de Raman in situ foram usadas para identificar os intermediários e produtos que foram gerados durante a eletrorredução de NO₃⁻.

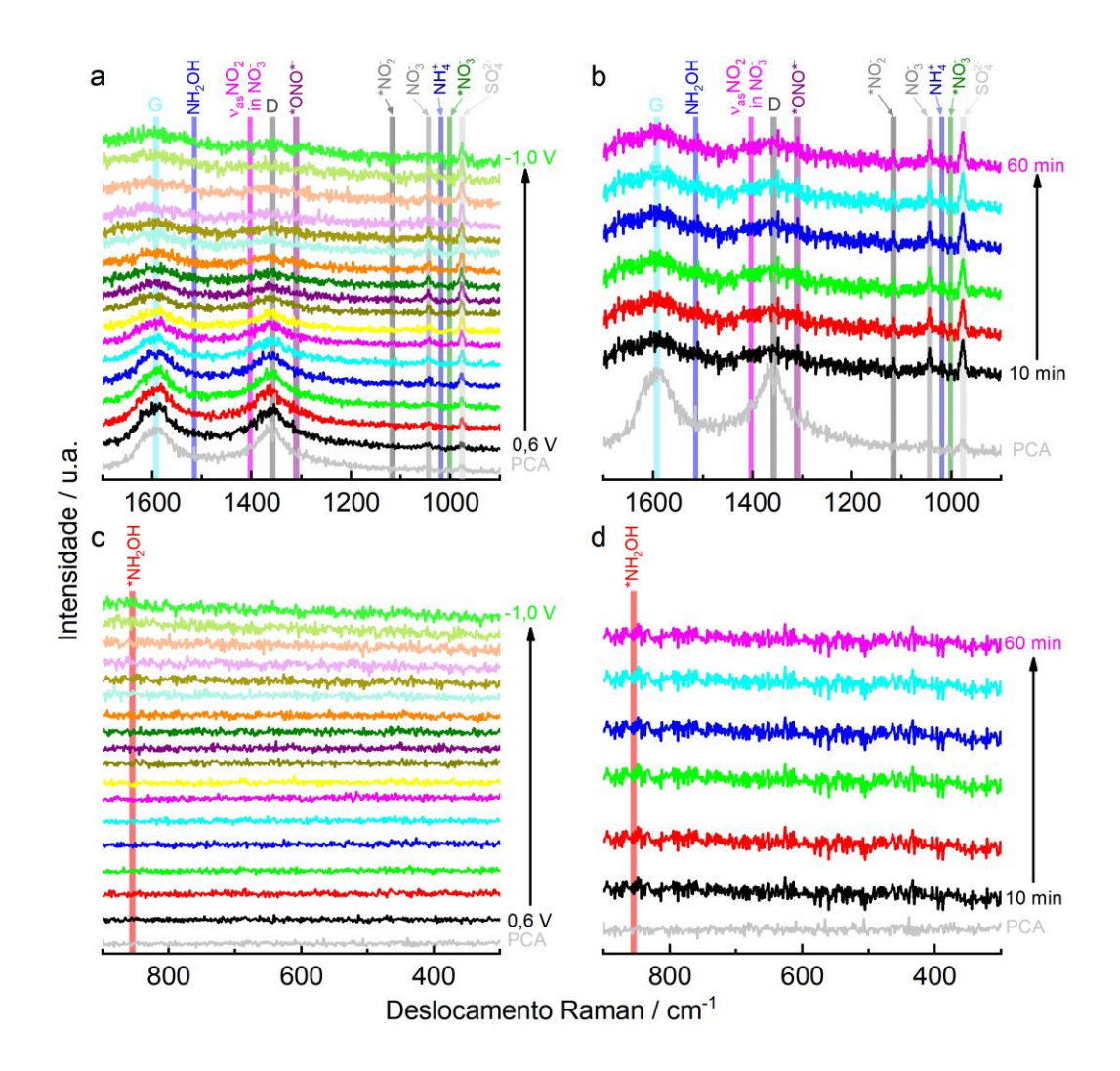


Figura 40. Espectro de Raman in situ para o catalisador Co₃O₄(Cont.55%)GNR suportado em carbono em carregamento de 37,5 μg cm⁻² (como ET) em 0,1M de K₂SO₄ e 40 mM de NaNO₃: (a e c) em diferentes potenciais cronoamperométricos (diferença de 100 mV para cada espectro, de 0,6 a –1,0 V vs. ERH) e espectro de PCA; (b e d) em diferentes tempos (após 10 min de CA em –0,6 V vs. ERH para aquisição de cada espectro) e espectro de PCA.

As Figura 40a e c mostram espectros de Raman sob diferentes potenciais cronoamperométricos, onde o espectro de PCA é tomado como referência. Como pode ser observado, bandas podem ser encontradas em torno de 977, 1001, 1019, 1045, 1116, 1358, 1402, 1514 e 1593 cm⁻¹ correspondem ao SO₄⁻² [132], espécies de *NO₃⁻, [133] simetria vibracional de alongamento de NO₂ adsorvido em uma configuração nitro (*NO₂⁻) [132], banda de desordem da banda d do GNR, vibrações antissimétrica do grupo NO₂ em NO₃⁻ (*v*_{as}NO₂ em NO₃⁻) [132,133], N–H curvatura de NH₂OH [134], e banda de grafite do GNR (banda G), respectivamente. As intensidades de muitas dessas bandas aumentam em potenciais mais negativos do que –0,1 V *vs.* ERH. A banda em cerca de 855 cm⁻¹ está ligada ao modo de estiramento de N–O do intermediário *NH₂OH adsorvido na superfície [134]. As intensidades

diminuídas das bandas D e G do GNR em potenciais mais negativos que -0,5 V (Figura 40a e c) apontam para a adsorção de reagentes e a formação e dessorção de intermediários em diferentes estágios do processo de eletrorredução de nitrato. Além disso, em geral, a intensidade desses picos aumenta quando o tempo de cronoamperometria é aumentado para -0,6 V (Figura 40b e d); também, apenas bandas relacionadas a SO₄²⁻ e banda D e G do GNR são identificadas na ausência de NaNO₃ em 0,1 M de K₂SO₄ (Figura 66, APÊNDICE F).

Os resultados de Raman in situ também ajudaram a confirmar que o mecanismo de ação da eletrorredução de nitrato por meio do catalisador Co₃O₄(Cont.55%)GNR é exatamente como descrito por Anastasiadou e colaboradores. A eficácia do catalisador Co₃O₄(Cont.55%)GNR é reforçada quando comparado aos espectros Raman dos catalisadores Co₃O₄(Cont.75%) e GNR(Cont.0%) (Figura 67, APÊNDICE F).

As Figura 67a e d (APÊNDICE F) para o catalisador Co₃O₄(Cont.75%) exibiram apenas o pico Raman que corresponde ao SO₄²⁻ em torno de 975 cm⁻¹ e em 1365 e 1590 cm⁻¹ correspondendo as bandas D e G referentes ao suporte de carbono puro (que são mais visíveis no PCA e nos potenciais de 0,2 a –0,3 V). Na presença de 40 mM de NaNO₃ e 0,1M de K₂SO₄ (Figura 67b e e, APÊNDICE F), há um pico visível em torno de 1043 cm⁻¹, que está relacionado as espécies de NO₃⁻ em solução. Para o catalisador GNR(Cont.0%) na presença de 40 mM de NaNO₃ e K₂SO₄ 0,1 M (Figura 67c e f, APÊNDICE F) exibiram apenas os picos de Raman característicos em torno de 1367 e 1587 cm⁻¹ correspondentes as bandas D e G, respectivamente, mascarando até mesmo os picos de Raman relacionados as espécies de NO₃⁻ e SO₄²⁻.

Assim, a produção de NH₄⁺ através da eletrorredução de NO₃⁻ aplicando o eletrocatalisador Co₃O₄(Cont.55%)GNR é evidenciada através de sua eficácia e revelada pelos intermediários formados, como sugerido por Anastasiadou e colaboradores [120] (Equações 35 e 36).

5.5. Mecanismo de produção de NH₃ a partir de cálculos de DFT.

Aqui, nós investigamos o mecanismo envolvendo a produção de NH₃ usando cálculos de DFT, levando em consideração os intermediários e produtos identificados por meio das análises de espectroscopia FTIR e Raman in situ, e que também estão em linha com o mecanismo sugerido por Anastasiadou e colaboradores [120]. O processo de reação em etapas

e as variações de energia livre de Gibbs (Δ G) [90,101], para cada etapa da reação foram calculados usando as expressões descritas na Seção 4.8). O diagrama de produção de NH₃ é mostrado na Figura 41, com potenciais representativos tomados em U = 0 V.

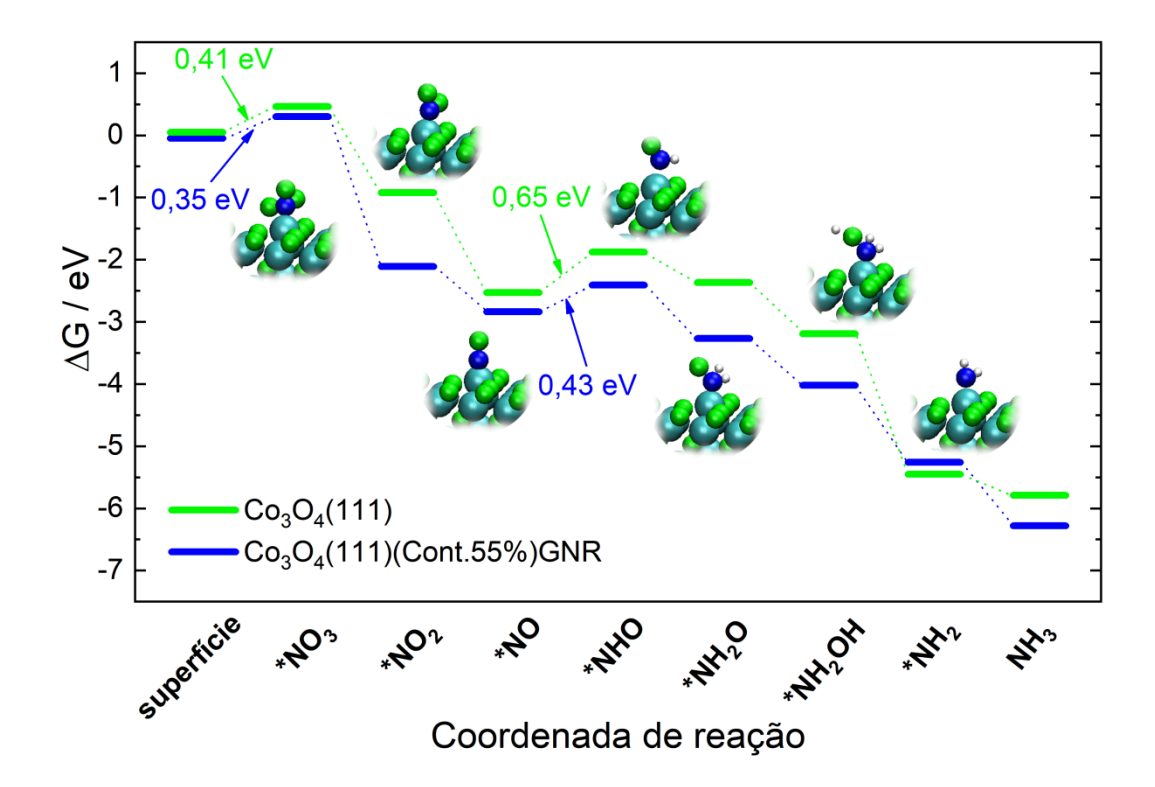


Figura 41. Diagrama de energia livre para produção de NH_3 . Cores dos átomos da estrutura interna: azul escuro = Co, verde = O, azul = N e Branco = H.

Em ambos os sistemas calculados, com e sem o GNR, a primeira etapa, corresponde a adsorção do NO₃⁻, envolve uma alta energia. O RDS no processo envolve a adição do primeiro átomo de hidrogênio ao NO, correspondendo a uma energia de 0,65 eV na ausência de GNR e 0,43 eV na presença de GNR; isso está em linha com a etapa ΔG4 (Equação 29). Vale a pena notar que apenas a etapa ΔG7 (Equação 32) é considerada mais favorável no sistema sem GNR. Para todas as outras etapas, a presença de GNR desempenha um papel significativo na facilitação da produção de amônia; essencialmente, isso confirma a importância do emaranhamento entre Co₃O₄ e GNR para o catalisador Co₃O₄(Cont.55%)GNR. Os resultados de DFT estão em linha com os resultados na literatura para outros eletrocatalisadores usados para redução de nitrato [129,135].

Deve-se notar que, enquanto alguns autores usam a energia livre de adsorção para construir o diagrama de energia para o mecanismo de redução de nitrato [136–138], no presente estudo, nós empregamos a energia livre de reação (Equações 26 a 33, Seção 4.8) para construir o diagrama (Figura 41). A primeira etapa de adsorção de NO₃⁻ que envolve alta energia, e o RSD no processo de eletrorredução de nitrato, que envolve a adição do primeiro átomo de hidrogênio ao NO, pode ser ligada a migração efetiva de NO₃⁻ do ramo catódico da célula H para o ramo anódico, o que favorece a adsorção de espécies na superfície do catalisador durante a RRNO₃⁻ visando a produção de NH₄⁺.

Os resultados obtidos através desse estudo, em resumo, nos permitem obter algumas clarezas no caminho nebuloso para redução eletroquímica de NO₃⁻ para produção de NH₄⁺:

- i) As espécies de Co²⁺ e Co³⁺ identificados através da deconvolução de HR-XPS ajudaram a confirmar que o óxido de espinélio Co₃O₄ é o óxido predominante nos nanocompósitos Co₃O₄(.)GNR e nas nanoestruturas de Co₃O₄(Cont.75%); além disso, os estudos de AE e TG reforçam a prevalência dessa espécie;
- ii) As imagens de mapeamento SEM mostram que existe um forte emaranhamento envolvendo os elementos Co, C, O e N no catalisador Co₃O₄(Cont.55%)GNR, responsável pela melhor resposta obtida em termos de eletrorredução de NO₃⁻ à NH₄⁺;
- iii) O surgimento de uma espécie de complexo '(Co₃(Co(CN)₆)₂(H₂O)₁₂)_{1,333}' foi confirmada pelos resultados de DRX, e pelas imagens de HR-TEM, além dos padrões de difração obtidos; a presença de vários planos no Co₃O₄ a algum tipo de estrutura do complexo '(Co₃(Co(CN)₆)₂(H₂O)₁₂)_{1,333}' na superfície dos catalisadores, em geral, favorece a redução eletroquímica de NO₃⁻ à produção de NH₄⁺, em destaque ao melhor catalisador, que apresentou um emaranhamento maior entre o Co₃O₄ e o GNR e uma ocorrência altamente efetiva do complexo '(Co₃(Co(CN)₆)₂(H₂O)₁₂)_{1,333}';
- iv) O catalisador Co₃O₄(Cont.55%)GNR apresenta estabilidade eletroquímica, como visto nos experimentos cronoamperométricos, confirmados pelos resultados do XPS e HR-XPS, bem como observado pelas imagens de SEM e de mapeamento, TEM e HR-TEM, e imagens de padrões de difração de elétrons;
- v) Em geral, descobriu-se que os altos valores de ECSA e os baixos valores de R_{tc} obtidos para os catalisadores favorecem a redução eletroquímica de NO_3^- para a

- produção de NH_4^+ (com exceção do GNR(Cont.0%) que não apresentou favorecer a redução eletroquímica de NO_3^- nem a produção de NH_4^+);
- vi) A migração efetiva de NO₃⁻ do ramo catódico para o ramo anódico da célula H parece favorecer a adsorção da espécie na superfície do catalisador (espécies envolvidas na complexa reação de redução eletroquímica de NO₃⁻) para produção de NH₄⁺, corroborados pelos ensaios de adição de 40 mM de NO₃⁻ nos ramos anódicos e catódicos da célula H e pelo ensaio de adição de 40 mM de NO₃⁻ no ramo catódico da célula H com membrana de Nafion 117;
- vii) O ajuste das condições reacionais como o tipo de catalisador empregado, concentração de NO_3^- , potencial aplicado, carregamento do catalisador na superfície do eletrodo são parâmetros que podem promover a produção de N_2 em vez de apenas a produção de NH_4^+ .
- viii) As análises in situ e o cálculo de DFT auxiliaram na compreensão do caminho para produção de NH₄⁺ através da eletrorredução de NO₃⁻ aplicando o eletrocatalisador Co₃O₄(Cont.55%)GNR, que é evidenciada através de sua eficácia e revelada pelos intermediários formados, como foi sugerido por Anastasiadou e colaboradores.

6. CONCLUSÃO

Este trabalho utilizou um método hidrotérmico simples, envolvendo CoCl₂.6H₂O, ureia e nanofitas de grafeno (GNR), para a síntese de Co₃O₄(Cont.75%), Co₃O₄(Cont.38%)GNR, Co₃O₄(Cont.53%)GNR, Co₃O₄(Cont.55%)GNR. A presença de Co₃O₄ nos catalisadores foi confirmada através de resultados de Raman, DRX, imagens de HR-TEM e padrão de difração, e resultados de deconvolução de HR-XPS. A presença do complexo '(Co₃(Co(CN)₆)₂(H₂O)₁₂)_{1,333}' responsável pelo forte emaranhamento envolvendo os elementos C, Co, O e N na estrutura do catalisador Co₃O₄(Cont.55%)GNR foi confirmado por DRX e padrões de difrações (HR-TEM).

O catalisador $Co_3O_4(Cont.55\%)GNR$ apresentou os melhores resultados, com taxa de produção de NH_4^+ de 42,11 mg h⁻¹ mg_{cat}⁻¹, EF de 98,7%, eficiência de conversão de NO_3^- de 14,71% e 100% de seletividade de NH_4^+ , quando 37,5 µg cm⁻² (20,6 µg cm⁻² de Co) do catalisador foi empregado. Isso foi confirmado através da análise de cargas de catalisadores variando de 19 a 150 µg cm⁻².

A eficiência do catalisador Co₃O₄(Cont.55%)GNR na redução eletroquímica de NO₃⁻ para NH₄⁺ foi favorecido pelos valores médios elevados de ECSA e valores baixos de R_{tc}, exibindo estabilidade eletroquímica e apresentando maior emaranhamento envolvendo Co₃O₄ e GNR, com ocorrência mais efetiva da estrutura tipo complexo '(Co₃(Co(CN)₆)₂(H₂O)₁₂)_{1,333}' e migração eficaz de NO₃⁻ do ramo catódico da célula eletroquímica para o ramo anódico, que foi confirmada pelo experimento conduzido em uma célula H separada por uma membrana de Nafion 117, o que parece favorecer a adsorção de espécies na superfície do catalisador.

Os resultados de FTIR e Raman *in situ* e os cálculos de DFT ajudaram a confirmar a presença dos intermediários adsorvidos NO₃⁻, NO₂⁻, NO e NH₂OH, e o produto NH₄⁺, com o intermediário adsorvido de NO apresentando transição de baixa energia (0,43 eV para o RDS) para o próximo intermediário (*NO para *HNO) para o catalisador Co₃O₄(Cont.55%)GNR.

As descobertas deste estudo revelam um mecanismo altamente promissor para síntese de catalisadores de óxidos de Co emaranhados com GNR, demonstrando alta eficiência na eletrossíntese de NH₄⁺ a partir da redução de NO₃⁻, apresentando excelentes resultados em termos de taxa de rendimento de NH₄⁺, EF, eficiência de conversão de NO₃⁻ e seletividade de

NH₄⁺. Além disso, o eletrocatalisador proposto é relativamente barato e ecologicamente correto, pois requer uma quantidade muito pequena de metal não nobre em sua preparação.

7. REFERÊNCIAS

- [1] S. Giddey, S.P.S. Badwal, C. Munnings, M. Dolan, Ammonia as a Renewable Energy Transportation Media, ACS Sustain Chem Eng 5 (2017) 10231–10239. https://doi.org/10.1021/acssuschemeng.7b02219.
- [2] S.L. Foster, S.I.P. Bakovic, R.D. Duda, S. Maheshwari, R.D. Milton, S.D. Minteer, M.J. Janik, J.N. Renner, L.F. Greenlee, Catalysts for nitrogen reduction to ammonia, Nat Catal 1 (2018) 490–500. https://doi.org/10.1038/s41929-018-0092-7.
- [3] Y. Xiong, Y. Wang, J. Zhou, F. Liu, F. Hao, Z. Fan, Electrochemical Nitrate Reduction: Ammonia Synthesis and the Beyond, Advanced Materials 36 (2024). https://doi.org/10.1002/adma.202304021.
- [4] G.F. Chen, Y. Yuan, H. Jiang, S.Y. Ren, L.X. Ding, L. Ma, T. Wu, J. Lu, H. Wang, Electrochemical reduction of nitrate to ammonia via direct eight-electron transfer using a copper–molecular solid catalyst, Nat Energy 5 (2020) 605–613. https://doi.org/10.1038/s41560-020-0654-1.
- [5] Q. Hu, Y. Qin, X. Wang, H. Zheng, K. Gao, H. Yang, P. Zhang, M. Shao, C. He, Grain Boundaries Engineering of Hollow Copper Nanoparticles Enables Highly Efficient Ammonia Electrosynthesis from Nitrate, CCS Chemistry 4 (2022) 2053–2064. https://doi.org/10.31635/ccschem.021.202101042.
- [6] M. Wang, M.A. Khan, I. Mohsin, J. Wicks, A.H. Ip, K.Z. Sumon, C.T. Dinh, E.H. Sargent, I.D. Gates, M.G. Kibria, Can sustainable ammonia synthesis pathways compete with fossil-fuel based Haber-Bosch processes?, Energy Environ Sci 14 (2021) 2535–2548. https://doi.org/10.1039/d0ee03808c.
- [7] T. Kandemir, M.E. Schuster, A. Senyshyn, M. Behrens, R. Schlögl, The Haber-Bosch process revisited: On the real structure and stability of "ammonia iron" under working conditions, Angewandte Chemie International Edition 52 (2013) 12723–12726. https://doi.org/10.1002/anie.201305812.

- [8] K. Fan, W. Xie, J. Li, Y. Sun, P. Xu, Y. Tang, Z. Li, M. Shao, Active hydrogen boosts electrochemical nitrate reduction to ammonia, Nat Commun 13 (2022). https://doi.org/10.1038/s41467-022-35664-w.
- [9] S. Xu, Y. Shi, Z. Wen, X. Liu, Y. Zhu, G. Liu, H. Gao, L. Sun, F. Li, Polystyrene spherestemplated mesoporous carbonous frameworks implanted with cobalt nanoparticles for highly efficient electrochemical nitrate reduction to ammonia, Appl Catal B 323 (2023). https://doi.org/10.1016/j.apcatb.2022.122192.
- [10] J. Li, G. Zhan, J. Yang, F. Quan, C. Mao, Y. Liu, B. Wang, F. Lei, L. Li, A.W.M. Chan, L. Xu, Y. Shi, Y. Du, W. Hao, P.K. Wong, J. Wang, S.X. Dou, L. Zhang, J.C. Yu, Efficient Ammonia Electrosynthesis from Nitrate on Strained Ruthenium Nanoclusters, J Am Chem Soc 142 (2020) 7036–7046. https://doi.org/10.1021/jacs.0c00418.
- [11] M. Luo, S. Guo, Strain-controlled electrocatalysis on multimetallic nanomaterials, Nat Rev Mater 2 (2017). https://doi.org/10.1038/natrevmats.2017.59.
- [12] V. Rosca, M. Duca, M.T. DeGroot, M.T.M. Koper, Nitrogen Cycle Electrocatalysis, Chem Rev 109 (2009) 2209–2244. https://doi.org/10.1021/cr8003696.
- [13] L.A. Kibler, Hydrogen electrocatalysis, ChemPhysChem 7 (2006) 985–991. https://doi.org/10.1002/cphc.200500646.
- [14] C. Sun, F. Li, H. An, Z. Li, A.M. Bond, J. Zhang, Facile electrochemical co-deposition of metal (Cu, Pd, Pt, Rh) nanoparticles on reduced graphene oxide for electrocatalytic reduction of nitrate/nitrite, Electrochim Acta 269 (2018) 733–741. https://doi.org/10.1016/j.electacta.2018.03.005.
- [15] W. Zhang, L. Yang, C. An, J. Zhang, J. Zhu, P. Chen, Enhancing electrochemical nitrogen reduction with Ru nanowires: via the atomic decoration of Pt, J Mater Chem A Mater 8 (2020) 25142–25147. https://doi.org/10.1039/d0ta09937f.
- [16] S. Cattarin, M. Musiani, Electrosynthesis of nanocomposite materials for electrocatalysis, Electrochim Acta 52 (2007) 2796–2805. https://doi.org/10.1016/j.electacta.2006.07.035.

- [17] W. Zhang, Y. Shen, F. Pang, D. Quek, W. Niu, W. Wang, P. Chen, Facet-Dependent Catalytic Performance of Au Nanocrystals for Electrochemical Nitrogen Reduction, ACS Appl Mater Interfaces 12 (2020) 41613–41619. https://doi.org/10.1021/acsami.0c13414.
- Y. Wang, W. Zhou, R. Jia, Y. Yu, B. Zhang, Unveiling the Activity Origin of a Copper-based Electrocatalyst for Selective Nitrate Reduction to Ammonia, Angewandte Chemie
 International Edition 59 (2020) 5350–5354. https://doi.org/10.1002/anie.201915992.
- [19] J. Hu, T. Zhao, H. Zhang, X. Li, A. Shi, X. Li, Q. Wang, G. Hu, Fe2P nanoparticle-decorated porous biochar for high-efficiency electrosynthesis of ammonia from toxic nitrite, Surfaces and Interfaces 38 (2023). https://doi.org/10.1016/j.surfin.2023.102818.
- [20] A.J. Bard, L.R. Faulkner, Electrochemical methods: fundamentals and applications, 2nd ed., 2001.
- [21] S. Xie, H. Dong, E.I. Iwuoha, X. Peng, Phase transition of catalysts for advanced electrocatalysis, Coord Chem Rev 514 (2024). https://doi.org/10.1016/j.ccr.2024.215920.
- [22] Z. Wang, S.D. Young, B.R. Goldsmith, N. Singh, Increasing electrocatalytic nitrate reduction activity by controlling adsorption through PtRu alloying, J Catal 395 (2021) 143–154. https://doi.org/10.1016/j.jcat.2020.12.031.
- [23] W. Song, L. Yue, X. Fan, Y. Luo, B. Ying, S. Sun, D. Zheng, Q. Liu, M.S. Hamdy, X. Sun, Recent progress and strategies on the design of catalysts for electrochemical ammonia synthesis from nitrate reduction, Inorg Chem Front 10 (2023) 3489–3514. https://doi.org/10.1039/d3qi00554b.
- [24] S.L. Foster, S.I.P. Bakovic, R.D. Duda, S. Maheshwari, R.D. Milton, S.D. Minteer, M.J. Janik, J.N. Renner, L.F. Greenlee, Catalysts for nitrogen reduction to ammonia, Nat Catal 1 (2018) 490–500. https://doi.org/10.1038/s41929-018-0092-7.
- [25] Z. Zhang, K. Yao, L. Cong, Z. Yu, L. Qu, W. Huang, Facile synthesis of a Ru-dispersed N-doped carbon framework catalyst for electrochemical nitrogen reduction, Catal Sci Technol 10 (2020) 1336–1342. https://doi.org/10.1039/c9cy02500f.

- [26] Y. Tong, H. Guo, D. Liu, X. Yan, P. Su, J. Liang, S. Zhou, J. Liu, G.Q. Lu, S.X. Dou, Vacancy Engineering of Iron-Doped W18O49 Nanoreactors for Low-Barrier Electrochemical Nitrogen Reduction, Angewandte Chemie International Edition 59 (2020) 7356–7361. https://doi.org/10.1002/anie.202002029.
- [27] J. Zhang, W. He, T. Quast, J.R.C. Junqueira, S. Saddeler, S. Schulz, W. Schuhmann, Single-entity Electrochemistry Unveils Dynamic Transformation during Tandem Catalysis of Cu2O and Co3O4 for Converting NO3– to NH3, Angewandte Chemie International Edition 62 (2023). https://doi.org/10.1002/anie.202214830.
- [28] S. Niu, Recent progress and challenges in structural construction strategy of metal-based catalysts for nitrate electroreduction to ammonia, Journal of Energy Chemistry 86 (2023) 69–83. https://doi.org/10.1016/j.jechem.2023.07.006.
- [29] Z. Gao, Y. Zhang, D. Li, C.J. Werth, Y. Zhang, X. Zhou, Highly active Pd-In/mesoporous alumina catalyst for nitrate reduction, J Hazard Mater 286 (2015) 425–431. https://doi.org/10.1016/j.jhazmat.2015.01.005.
- [30] M. Chen, H. Wang, Y. Zhao, W. Luo, L. Li, Z. Bian, L. Wang, W. Jiang, J. Yang, Achieving high-performance nitrate electrocatalysis with PdCu nanoparticles confined in nitrogen-doped carbon coralline, Nanoscale 10 (2018) 19023–19030. https://doi.org/10.1039/c8nr06360e.
- [31] S. Garcia-Segura, M. Lanzarini-Lopes, K. Hristovski, P. Westerhoff, Electrocatalytic reduction of nitrate: Fundamentals to full-scale water treatment applications, Appl Catal B 236 (2018) 546–568. https://doi.org/10.1016/j.apcatb.2018.05.041.
- [32] X. Zhang, Y. Wang, C. Liu, Y. Yu, S. Lu, B. Zhang, Recent advances in non-noble metal electrocatalysts for nitrate reduction, Chemical Engineering Journal 403 (2021). https://doi.org/10.1016/j.cej.2020.126269.
- [33] X. Zhang, Y. Wang, C. Liu, Y. Yu, S. Lu, B. Zhang, Recent advances in non-noble metal electrocatalysts for nitrate reduction, Chemical Engineering Journal 403 (2021). https://doi.org/10.1016/j.cej.2020.126269.

- [34] Q. Hu, S. Qi, Q. Huo, Y. Zhao, J. Sun, X. Chen, M. Lv, W. Zhou, C. Feng, X. Chai, H. Yang, C. He, Designing Efficient Nitrate Reduction Electrocatalysts by Identifying and Optimizing Active Sites of Co-Based Spinels, J Am Chem Soc 146 (2024) 2967–2976. https://doi.org/10.1021/jacs.3c06904.
- [35] K. Wu, C. Sun, Z. Wang, Q. Song, X. Bai, X. Yu, Q. Li, Z. Wang, H. Zhang, J. Zhang, X. Tong, Y. Liang, A. Khosla, Z. Zhao, Surface Reconstruction on Uniform Cu Nanodisks Boosted Electrochemical Nitrate Reduction to Ammonia, ACS Mater Lett 4 (2022) 650–656. https://doi.org/10.1021/acsmaterialslett.2c00149.
- [36] J. Cai, Y. Wei, A. Cao, J. Huang, Z. Jiang, S. Lu, S.Q. Zang, Electrocatalytic nitrate-to-ammonia conversion with ~100% Faradaic efficiency via single-atom alloying, Appl Catal B 316 (2022). https://doi.org/10.1016/j.apcatb.2022.121683.
- [37] J. Yang, H. Qi, A. Li, X. Liu, X. Yang, S. Zhang, Q. Zhao, Q. Jiang, Y. Su, L. Zhang, J.F. Li, Z.Q. Tian, W. Liu, A. Wang, T. Zhang, Potential-Driven Restructuring of Cu Single Atoms to Nanoparticles for Boosting the Electrochemical Reduction of Nitrate to Ammonia, J Am Chem Soc 144 (2022) 12062–12071. https://doi.org/10.1021/jacs.2c02262.
- [38] Z. Wang, S.D. Young, B.R. Goldsmith, N. Singh, Increasing electrocatalytic nitrate reduction activity by controlling adsorption through PtRu alloying, J Catal 395 (2021) 143–154. https://doi.org/10.1016/j.jcat.2020.12.031.
- [39] Q. Wang, X. Zhao, J. Zhang, X. Zhang, Investigation of nitrate reduction on polycrystalline Pt nanoparticles with controlled crystal plane, Journal of Electroanalytical Chemistry 755 (2015) 210–214. https://doi.org/10.1016/j.jelechem.2015.08.005.
- [40] J. Yang, P. Sebastian, M. Duca, T. Hoogenboom, M.T.M. Koper, pH dependence of the electroreduction of nitrate on Rh and Pt polycrystalline electrodes, Chemical Communications 50 (2014) 2148–2151. https://doi.org/10.1039/c3cc49224a.
- [41] K. Chen, Z. Ma, X. Li, J. Kang, D. Ma, K. Chu, Single-Atom Bi Alloyed Pd Metallene for Nitrate Electroreduction to Ammonia, Adv Funct Mater 33 (2023). https://doi.org/10.1002/adfm.202209890.

- [42] J. Zhang, W. He, T. Quast, J.R.C. Junqueira, S. Saddeler, S. Schulz, W. Schuhmann, Single-entity Electrochemistry Unveils Dynamic Transformation during Tandem Catalysis of Cu2O and Co3O4 for Converting NO3– to NH3, Angewandte Chemie International Edition 62 (2023). https://doi.org/10.1002/anie.202214830.
- [43] S. Zhang, J. Wu, M. Zheng, X. Jin, Z. Shen, Z. Li, Y. Wang, Q. Wang, X. Wang, H. Wei, J. Zhang, P. Wang, S. Zhang, L. Yu, L. Dong, Q. Zhu, H. Zhang, J. Lu, Fe/Cu diatomic catalysts for electrochemical nitrate reduction to ammonia, Nat Commun 14 (2023). https://doi.org/10.1038/s41467-023-39366-9.
- [44] L. Qiao, D. Liu, A. Zhu, J. Feng, P. Zhou, C. Liu, K.W. Ng, H. Pan, Nickel-facilitated in-situ surface reconstruction on spinel Co3O4 for enhanced electrochemical nitrate reduction to ammonia, Appl Catal B 340 (2024). https://doi.org/10.1016/j.apcatb.2023.123219.
- [45] J.T. Matsushima, V.C. Fernandes, A.B. Couto, M.R. Baldan, N.G. Ferreira, Investigation of a Cu/Pd Bimetallic System Electrodeposited on Boron-Doped Diamond Films for Application in Electrocatalytic Reduction of Nitrate, International Journal of Electrochemistry 2012 (2012) 1–10. https://doi.org/10.1155/2012/213420.
- [46] Y. Zhang, X. Chen, W. Wang, L. Yin, J.C. Crittenden, Electrocatalytic nitrate reduction to ammonia on defective Au1Cu (111) single-atom alloys, Appl Catal B 310 (2022). https://doi.org/10.1016/j.apcatb.2022.121346.
- [47] J. Xu, L. Wang, Y. Sun, J. Zhang, C. Zhang, M. Zhang, Fabrication of porous MgCo2O4 nanoneedle arrays/Ni foam as an advanced electrode material for asymmetric supercapacitors, J Alloys Compd 779 (2019) 100–107. https://doi.org/10.1016/j.jallcom.2018.11.260.
- [48] Z.Y. Wu, M. Karamad, X. Yong, Q. Huang, D.A. Cullen, P. Zhu, C. Xia, Q. Xiao, M. Shakouri, F.Y. Chen, J.Y. (Timothy) Kim, Y. Xia, K. Heck, Y. Hu, M.S. Wong, Q. Li, I. Gates, S. Siahrostami, H. Wang, Electrochemical ammonia synthesis via nitrate reduction on Fe single atom catalyst, Nat Commun 12 (2021). https://doi.org/10.1038/s41467-021-23115-x.

- [49] J. Wang, C. Cai, Y. Wang, X. Yang, D. Wu, Y. Zhu, M. Li, M. Gu, M. Shao, Electrocatalytic Reduction of Nitrate to Ammonia on Low-Cost Ultrathin CoOx Nanosheets, ACS Catal 11 (2021) 15135–15140. https://doi.org/10.1021/acscatal.1c03918.
- [50] Y. Yu, C. Wang, Y. Yu, Y. Wang, B. Zhang, Promoting selective electroreduction of nitrates to ammonia over electron-deficient Co modulated by rectifying Schottky contacts, Sci China Chem 63 (2020) 1469–1476. https://doi.org/10.1007/s11426-020-9795-x.
- [51] Y. Jia, Y.G. Ji, Q. Xue, F.M. Li, G.T. Zhao, P.J. Jin, S.N. Li, Y. Chen, Efficient Nitrate-to-Ammonia Electroreduction at Cobalt Phosphide Nanoshuttles, ACS Appl Mater Interfaces 13 (2021) 45521–45527. https://doi.org/10.1021/acsami.1c12512.
- [52] J. Wang, C. Cai, Y. Wang, X. Yang, D. Wu, Y. Zhu, M. Li, M. Gu, M. Shao, Electrocatalytic Reduction of Nitrate to Ammonia on Low-Cost Ultrathin CoOx Nanosheets, ACS Catal 11 (2021) 15135–15140. https://doi.org/10.1021/acscatal.1c03918.
- [53] X. Deng, Y. Yang, L. Wang, X.Z. Fu, J.L. Luo, Metallic Co Nanoarray Catalyzes Selective NH3 Production from Electrochemical Nitrate Reduction at Current Densities Exceeding 2 A cm-2, Advanced Science 8 (2021). https://doi.org/10.1002/advs.202004523.
- [54] Z. Deng, J. Liang, Q. Liu, C. Ma, L. Xie, L. Yue, Y. Ren, T. Li, Y. Luo, N. Li, B. Tang, A. Ali Alshehri, I. Shakir, P.O. Agboola, S. Yan, B. Zheng, J. Du, Q. Kong, X. Sun, High-efficiency ammonia electrosynthesis on self-supported Co2AlO4 nanoarray in neutral media by selective reduction of nitrate, Chemical Engineering Journal 435 (2022). https://doi.org/10.1016/j.cej.2022.135104.
- [55] W. He, J. Zhang, S. Dieckhöfer, S. Varhade, A.C. Brix, A. Lielpetere, S. Seisel, J.R.C. Junqueira, W. Schuhmann, Splicing the active phases of copper/cobalt-based catalysts achieves high-rate tandem electroreduction of nitrate to ammonia, Nat Commun 13 (2022). https://doi.org/10.1038/s41467-022-28728-4.

- [56] G.A. Cerrón-Calle, A. Wines, S. Garcia-Segura, Atomic hydrogen provision by cobalt sites in a bimetallic Ni/Co(OH)x and trimetallic Ni/Cu2O/Co(OH)x configurations for superior ammonia production, Appl Catal B 328 (2023). https://doi.org/10.1016/j.apcatb.2023.122540.
- [57] M.S. Wu, B. Xu, C.Y. Ouyang, Manipulation of spin-flip in Co3O4: a first principles study, J Mater Sci 51 (2016) 4691–4696. https://doi.org/10.1007/s10853-016-9786-x.
- [58] L. Xiong, D. Ni, W. Xiong, H. Wang, C. Ouyang, The thermodynamics and electronic structure analysis of P-doped spinel Co3O4, Physical Chemistry Chemical Physics 23 (2021) 3588–3594. https://doi.org/10.1039/d0cp05284a.
- [59] L. Su, K. Li, H. Zhang, M. Fan, D. Ying, T. Sun, Y. Wang, J. Jia, Electrochemical nitrate reduction by using a novel Co3O4/Ti cathode, Water Res 120 (2017) 1–11. https://doi.org/10.1016/j.watres.2017.04.069.
- [60] W. Fu, X. Du, P. Su, Q. Zhang, M. Zhou, Synergistic Effect of Co(III) and Co(II) in a 3D Structured Co3O4/Carbon Felt Electrode for Enhanced Electrochemical Nitrate Reduction Reaction, ACS Appl Mater Interfaces 13 (2021) 28348–28358. https://doi.org/10.1021/acsami.1c07063.
- [61] Z. Niu, S. Fan, X. Li, Z. Liu, J. Wang, J. Duan, M.O. Tadé, S. Liu, Facile Tailoring of the Electronic Structure and the d-Band Center of Copper-Doped Cobaltate for Efficient Nitrate Electrochemical Hydrogenation, ACS Appl Mater Interfaces 14 (2022) 35477– 35484. https://doi.org/10.1021/acsami.2c04789.
- [62] Q. Hu, S. Qi, Q. Huo, Y. Zhao, J. Sun, X. Chen, M. Lv, W. Zhou, C. Feng, X. Chai, H. Yang, C. He, Designing Efficient Nitrate Reduction Electrocatalysts by Identifying and Optimizing Active Sites of Co-Based Spinels, J Am Chem Soc 146 (2024) 2967–2976. https://doi.org/10.1021/jacs.3c06904.
- [63] L. Qiao, D. Liu, A. Zhu, J. Feng, P. Zhou, C. Liu, K.W. Ng, H. Pan, Nickel-facilitated in-situ surface reconstruction on spinel Co3O4 for enhanced electrochemical nitrate reduction to ammonia, Appl Catal B 340 (2024). https://doi.org/10.1016/j.apcatb.2023.123219.

- [64] Z. Deng, C. Ma, Z. Li, Y. Luo, L. Zhang, S. Sun, Q. Liu, J. Du, Q. Lu, B. Zheng, X. Sun, High-Efficiency Electrochemical Nitrate Reduction to Ammonia on a Co3O4Nanoarray Catalyst with Cobalt Vacancies, ACS Appl Mater Interfaces 14 (2022) 46595–46602. https://doi.org/10.1021/acsami.2c12772.
- [65] Z. Niu, S. Fan, X. Li, J. Yang, J. Wang, Y. Tao, G. Chen, Tailored electronic structure by sulfur filling oxygen vacancies boosts electrocatalytic nitrogen oxyanions reduction to ammonia, Chemical Engineering Journal 451 (2023). https://doi.org/10.1016/j.cej.2022.138890.
- [66] Z. Meng, J.X. Yao, C.N. Sun, X. Kang, R. Gao, H.R. Li, B. Bi, Y.F. Zhu, J.M. Yan, Q. Jiang, Efficient Ammonia Production Beginning from Enhanced Air Activation, Adv Energy Mater 12 (2022). https://doi.org/10.1002/aenm.202202105.
- [67] E.S.F. Cardoso, G. V. Fortunato, C.D. Rodrigues, F.E.B. Júnior, M. Ledendecker, M.R.V. Lanza, G. Maia, Impacts of Graphene Nanoribbon Production Methods on Oxygen-Reduction Electrocatalysis in Different Environments, ChemElectroChem 11 (2024). https://doi.org/10.1002/celc.202300505.
- [68] E.S.F. Cardoso, G. V. Fortunato, C.D. Rodrigues, M.R.V. Lanza, G. Maia, Exploring the Potential of Heteroatom-Doped Graphene Nanoribbons as a Catalyst for Oxygen Reduction, Nanomaterials 13 (2023). https://doi.org/10.3390/nano13212831.
- [69] A.S. Souza, L.S. Bezerra, E.S.F. Cardoso, G. V. Fortunato, G. Maia, Nickel pyrophosphate combined with graphene nanoribbon used as efficient catalyst for OER, J Mater Chem A Mater 9 (2021) 11255–11267. https://doi.org/10.1039/d1ta00817j.
- [70] L.S. Bezerra, G. Maia, Developing efficient catalysts for the OER and ORR using a combination of Co, Ni, and Pt oxides along with graphene nanoribbons and NiCo2O4, J Mater Chem A Mater 8 (2020) 17691–17705. https://doi.org/10.1039/d0ta05908k.
- [71] B.K. Martini, G. Maia, Using a combination of Co, Mo, and Pt oxides along with graphene nanoribbon and MoSe2 as efficient catalysts for OER and HER, Electrochim Acta 391 (2021). https://doi.org/10.1016/j.electacta.2021.138907.

- [72] M.K.R. De Souza, E.D.S.F. Cardoso, G. V. Fortunato, M.R.V. Lanza, C.E. Nazário, M.V.B. Zanoni, G. Maia, J.C. Cardoso, Combination of Cu-Pt-Pd nanoparticles supported on graphene nanoribbons decorating the surface of TiO2nanotube applied for CO2photoelectrochemical reduction, J Environ Chem Eng 9 (2021). https://doi.org/10.1016/j.jece.2021.105803.
- [73] S. Prass, J. St-Pierre, & M. Klingele, K.A. Friedrich, & N. Zamel, Hydrogen Oxidation Artifact During Platinum Oxide Reduction in Cyclic Voltammetry Analysis of Low-Loaded PEMFC Electrodes, (n.d.). https://doi.org/10.1007/s12678-020-00627-6/Published.
- [74] C. SKOOG, WEST, HOLLER, Fundamentos de Química Analítica, 2016.
- [75] D.C. Harris, Quantitative Chemical Analysis, 2007.
- [76] V. Vivier, M.E. Orazem, Impedance Analysis of Electrochemical Systems, Chem Rev 122 (2022) 11131–11168. https://doi.org/10.1021/acs.chemrev.1c00876.
- [77] N. Bhuvanendran, S. Ravichandran, Q. Xu, T. Maiyalagan, H. Su, A quick guide to the assessment of key electrochemical performance indicators for the oxygen reduction reaction: A comprehensive review, Int J Hydrogen Energy 47 (2022) 7113–7138. https://doi.org/10.1016/j.ijhydene.2021.12.072.
- [78] C.C.L. McCrory, S. Jung, J.C. Peters, T.F. Jaramillo, Benchmarking heterogeneous electrocatalysts for the oxygen evolution reaction, J Am Chem Soc 135 (2013) 16977–16987. https://doi.org/10.1021/ja407115p.
- [79] D.A. Skoog, F.J. Holler, S.R. Crouch, Principles of Instrumental Analysis, Walter de Gruyter GmbH, 2017.
- [80] I. Giolito, Princípios Básicos da Termogravimetria e Análise Térmica Diferencial/ Calorimetria Exploratória Diferencial, 1974.
- [81] S.K. Kulkarni, Nanotechnology: Principles and Practices, 3^a ed., 2015.

- [82] Z.L. Wang, Transmission electron microscopy of shape-controlled nanocrystals and their assemblies, Journal of Physical Chemistry B 104 (2000) 1153–1175. https://doi.org/10.1021/jp993593c.
- [83] A.W. Adamson, A.P. Gast, Physical chemistry of surfaces, Wiley Interscience 6^a ed (1997).
- [84] B.D. Cullity, S.R. Stock, Elements of X-Ray Diffraction, 3^a ed., Pearson. 2014, p. 283 288.
- [85] M. Ladd, R. Palmer, Structure Determination by X-ray Crystallography, 2013, p. 111 117, 133.
- [86] K. Nakamoto, Infrared and Raman Spectra of Inorganic and Coordination Compounds, (2006). https://doi.org/10.1002/9780470027325.s4104.
- [87] Y. Gong, X. Chen, W. Wu, Application of fourier transform infrared (FTIR) spectroscopy in sample preparation: Material characterization and mechanism investigation, Advances in Sample Preparation 11 (2024). https://doi.org/10.1016/j.sampre.2024.100122.
- [88] Stephen Y. Lin, Carlton W. Dence, Methods in Lignin Chemistry, Springer. 1992, p. 83.
- [89] S. Mourdikoudis, R.M. Pallares, N.T.K. Thanh, Characterization techniques for nanoparticles: Comparison and complementarity upon studying nanoparticle properties, Nanoscale 10 (2018) 12871–12934. https://doi.org/10.1039/c8nr02278j.
- [90] Raymond. Chang, J.W. Thoman, Physical chemistry for the chemical sciences, University Science Books, 2014. P. 600 602.
- [91] P. Atkins, J. De Paula, PHYSICAL CHEMISTRY Thermodynamics, Structure, and Change, 10^a ed., 2014, p. 433, 434, 975 977
- [92] H. Polkowska-Motrenko, zena Danko, R. Dybczy, A. Koster-Ammerlaan, P. Bode, Effect of acid digestion method on cobalt determination in plant materials, 2000.

- [93] M.W. Weatherburn, B. Lubochinsky, J.P. Zalta, B. St, Phenol-Hypochlorite Reaction for Determination of Ammonia, UTC, 1954. https://doi.org/10.1021/ac60252a045.
- [94] G.W. Watt, J.D. Chrisp, A Spectrophotometric Method for the Determination of Hydrazine, Vol. 24, No 12, 1952.
- H. Wang, Q. Mao, T. Ren, T. Zhou, K. Deng, Z. Wang, X. Li, Y. Xu, L. Wang, [95] Synergism of Interfaces and Defects: Cu/Oxygen Vacancy-Rich Cu-Mn3O4Heterostructured Ultrathin Nanosheet Arrays for Selective **Nitrate** Electroreduction to Ammonia, ACS Appl Mater Interfaces 13 (2021) 44733–44741. https://doi.org/10.1021/acsami.1c11249.
- [96] L.X. Li, W.J. Sun, H.Y. Zhang, J.L. Wei, S.X. Wang, J.H. He, N.J. Li, Q.F. Xu, D.Y. Chen, H. Li, J.M. Lu, Highly efficient and selective nitrate electroreduction to ammonia catalyzed by molecular copper catalyst@Ti3C2TxMXene, J Mater Chem A Mater 9 (2021) 21771–21778. https://doi.org/10.1039/d1ta06664a.
- [97] J. Enkovaara, C. Rostgaard, J.J. Mortensen, J. Chen, M. Dułak, L. Ferrighi, J. Gavnholt, C. Glinsvad, V. Haikola, H.A. Hansen, H.H. Kristoffersen, M. Kuisma, A.H. Larsen, L. Lehtovaara, M. Ljungberg, O. Lopez-Acevedo, P.G. Moses, J. Ojanen, T. Olsen, V. Petzold, N.A. Romero, J. Stausholm-Møller, M. Strange, G.A. Tritsaris, M. Vanin, M. Walter, B. Hammer, H. Häkkinen, G.K.H. Madsen, R.M. Nieminen, J.K. Nørskov, M. Puska, T.T. Rantala, J. Schiøtz, K.S. Thygesen, K.W. Jacobsen, Electronic structure calculations with GPAW: A real-space implementation of the projector augmented-wave method, Journal of Physics Condensed Matter 22 (2010). https://doi.org/10.1088/0953-8984/22/25/253202.
- [98] J.J. Mortensen, L.B. Hansen, K.W. Jacobsen, Real-space grid implementation of the projector augmented wave method, Phys Rev B Condens Matter Mater Phys 71 (2005). https://doi.org/10.1103/PhysRevB.71.035109.
- [99] J.P. Perdew, K. Burke, M. Ernzerhof, Generalized Gradient Approximation Made Simple, 1996.
- [100] H.J. Monkhorst, J.D. Pack, Special points for Brillonin-zone integrations*, 1976.

- [101] J.K. Nørskov, J. Rossmeisl, A. Logadottir, L. Lindqvist, J.R. Kitchin, T. Bligaard, H. Jónsson, Origin of the overpotential for oxygen reduction at a fuel-cell cathode, Journal of Physical Chemistry B 108 (2004) 17886–17892. https://doi.org/10.1021/jp047349j.
- [102] J. Liang, L. Fu, K. Gao, X. Duan, Accelerating radical generation from peroxymonosulfate by confined variable Co species toward ciprofloxacin mineralization: ROS quantification and mechanisms elucidation, Appl Catal B 315 (2022). https://doi.org/10.1016/j.apcatb.2022.121542.
- [103] L. Wu, B. Li, Y. Li, X. Fan, F. Zhang, G. Zhang, Q. Xia, W. Peng, Preferential growth of the cobalt (200) facet in co@n-c for enhanced performance in a fenton-like reaction, ACS Catal 11 (2021) 5532–5543. https://doi.org/10.1021/acscatal.1c00701.
- [104] D. Adekoya, H. Chen, H.Y. Hoh, T. Gould, M.S.J.T. Balogun, C. Lai, H. Zhao, S. Zhang, Hierarchical Co3O4@N-Doped Carbon Composite as an Advanced Anode Material for Ultrastable Potassium Storage, ACS Nano 14 (2020) 5027–5035. https://doi.org/10.1021/acsnano.0c01395.
- [105] Z. Chen, L. Cai, X. Yang, C. Kronawitter, L. Guo, S. Shen, B.E. Koel, Reversible Structural Evolution of NiCoOxHy during the Oxygen Evolution Reaction and Identification of the Catalytically Active Phase, ACS Catal 8 (2018) 1238–1247. https://doi.org/10.1021/acscatal.7b03191.
- [106] J. Bin Wu, M.L. Lin, X. Cong, H.N. Liu, P.H. Tan, Raman spectroscopy of graphene-based materials and its applications in related devices, Chem Soc Rev 47 (2018) 1822–1873. https://doi.org/10.1039/c6cs00915h.
- [107] M.G. Schwab, A. Narita, Y. Hernandez, T. Balandina, K.S. Mali, S. De Feyter, X. Feng, K. Müllen, Structurally defined graphene nanoribbons with high lateral extension, J Am Chem Soc 134 (2012) 18169–18172. https://doi.org/10.1021/ja307697j.
- [108] X. Li, T. Li, Q. Zhong, K. Du, H. Li, J. Huang, Chemical unzipping of multiwalled carbon nanotubes for high-capacity lithium storage, Electrochim Acta 125 (2014) 170–175. https://doi.org/10.1016/j.electacta.2014.01.106.

- [109] R. Wei, Y. Gu, L. Zou, B. Xi, Y. Zhao, Y. Ma, Y. Qian, S. Xiong, Q. Xu, Nanoribbon Superstructures of Graphene Nanocages for Efficient Electrocatalytic Hydrogen Evolution, Nano Lett 20 (2020) 7342–7349. https://doi.org/10.1021/acs.nanolett.0c02766.
- [110] D. V. Kosynkin, A.L. Higginbotham, A. Sinitskii, J.R. Lomeda, A. Dimiev, B.K. Price, J.M. Tour, Longitudinal unzipping of carbon nanotubes to form graphene nanoribbons, Nature 458 (2009) 872–876. https://doi.org/10.1038/nature07872.
- [111] A.N. Abbas, G. Liu, A. Narita, M. Orosco, X. Feng, K. Müllen, C. Zhou, Deposition, characterization, and thin-film-based chemical sensing of ultra-long chemically synthesized graphene nanoribbons, J Am Chem Soc 136 (2014) 7555–7558. https://doi.org/10.1021/ja502764d.
- [112] M.G. Schwab, A. Narita, S. Osella, Y. Hu, A. Maghsoumi, A. Mavrinsky, W. Pisula, C. Castiglioni, M. Tommasini, D. Beljonne, X. Feng, K. Müllen, Bottom-Up Synthesis of Necklace-Like Graphene Nanoribbons, Chem Asian J 10 (2015) 2134–2138. https://doi.org/10.1002/asia.201500450.
- [113] X. Wang, J. Ma, W. Zheng, S. Osella, N. Arisnabarreta, J. Droste, G. Serra, O. Ivasenko, A. Lucotti, D. Beljonne, M. Bonn, X. Liu, M.R. Hansen, M. Tommasini, S. De Feyter, J. Liu, H.I. Wang, X. Feng, Cove-Edged Graphene Nanoribbons with Incorporation of Periodic Zigzag-Edge Segments, J Am Chem Soc 144 (2022) 228–235. https://doi.org/10.1021/jacs.1c09000.
- [114] A. Narita, X. Feng, Y. Hernandez, S.A. Jensen, M. Bonn, H. Yang, I.A. Verzhbitskiy, C. Casiraghi, M.R. Hansen, A.H.R. Koch, G. Fytas, O. Ivasenko, B. Li, K.S. Mali, T. Balandina, S. Mahesh, S. De Feyter, K. Müllen, Synthesis of structurally well-defined and liquid-phase-processable graphene nanoribbons, Nat Chem 6 (2014) 126–132. https://doi.org/10.1038/nchem.1819.
- [115] D.B. Schuepfer, F. Badaczewski, J.M. Guerra-Castro, D.M. Hofmann, C. Heiliger, B. Smarsly, P.J. Klar, Assessing the structural properties of graphitic and non-graphitic carbons by Raman spectroscopy, Carbon N Y 161 (2020) 359–372. https://doi.org/10.1016/j.carbon.2019.12.094.

- [116] H.W. Kim, M.B. Ross, N. Kornienko, L. Zhang, J. Guo, P. Yang, B.D. McCloskey, Efficient hydrogen peroxide generation using reduced graphene oxide-based oxygen reduction electrocatalysts, Nat Catal 1 (2018) 282–290. https://doi.org/10.1038/s41929-018-0044-2.
- [117] E.S.F. Cardoso, G. V. Fortunato, G. Maia, Use of Rotating Ring-Disk Electrodes to Investigate Graphene Nanoribbon Loadings for the Oxygen Reduction Reaction in Alkaline Medium, ChemElectroChem 5 (2018) 1691–1701. https://doi.org/10.1002/celc.201800331.
- [118] C.D. Rodrigues, L.S. Bezerra, E.S.F. Cardoso, G. V. Fortunato, P.K. Boruah, M.R. Das, M.R.V. Lanza, G. Maia, Using coupled Ni and Zn oxides based on ZIF8 as efficient electrocatalyst for OER, Electrochim Acta 435 (2022). https://doi.org/10.1016/j.electacta.2022.141362.
- [119] F. Lei, W. Xu, J. Yu, K. Li, J. Xie, P. Hao, G. Cui, B. Tang, Electrochemical synthesis of ammonia by nitrate reduction on indium incorporated in sulfur doped graphene, Chemical Engineering Journal 426 (2021). https://doi.org/10.1016/j.cej.2021.131317.
- [120] D. Anastasiadou, Y. van Beek, E.J.M. Hensen, M. Costa Figueiredo, Ammonia electrocatalytic synthesis from nitrate, Electrochemical Science Advances 3 (2023). https://doi.org/10.1002/elsa.202100220.
- [121] M. Duca, M.C. Figueiredo, V. Climent, P. Rodriguez, J.M. Feliu, M.T.M. Koper, Selective catalytic reduction at quasi-perfect Pt(100) domains: A universal low-temperature pathway from nitrite to N2, J Am Chem Soc 133 (2011) 10928–10939. https://doi.org/10.1021/ja203234v.
- [122] I. Katsounaros, G. Kyriacou, Influence of nitrate concentration on its electrochemical reduction on tin cathode: Identification of reaction intermediates, Electrochim Acta 53 (2008) 5477–5484. https://doi.org/10.1016/j.electacta.2008.03.018.
- [123] Y. Tian, Z. Mao, L. Wang, J. Liang, Green Chemistry: Advanced Electrocatalysts and System Design for Ammonia Oxidation, Small Struct 4 (2023). https://doi.org/10.1002/sstr.202200266.

- [124] Y. Li, H.S. Pillai, T. Wang, S. Hwang, Y. Zhao, Z. Qiao, Q. Mu, S. Karakalos, M. Chen, J. Yang, D. Su, H. Xin, Y. Yan, G. Wu, High-performance ammonia oxidation catalysts for anion-exchange membrane direct ammonia fuel cells, Energy Environ Sci 14 (2021) 1449–1460. https://doi.org/10.1039/d0ee03351k.
- [125] Q. Yao, J. Chen, S. Xiao, Y. Zhang, X. Zhou, Selective Electrocatalytic Reduction of Nitrate to Ammonia with Nickel Phosphide, ACS Appl Mater Interfaces 13 (2021) 30458–30467. https://doi.org/10.1021/acsami.0c22338.
- [126] N. Pirrone, S. Garcia-Ballesteros, S. Hernández, F. Bella, Membrane/electrolyte interplay on ammonia motion inside a flow-cell for electrochemical nitrogen and nitrate reduction, Electrochim Acta 493 (2024). https://doi.org/10.1016/j.electacta.2024.144415.
- [127] N. Pirrone, S. Garcia-Ballesteros, S. Hernández, F. Bella, Membrane/electrolyte interplay on ammonia motion inside a flow-cell for electrochemical nitrogen and nitrate reduction, Electrochim Acta 493 (2024). https://doi.org/10.1016/j.electacta.2024.144415.
- [128] L. Szpyrkowicz, S. Daniele, M. Radaelli, S. Specchia, Removal of NO3- from water by electrochemical reduction in different reactor configurations, Appl Catal B 66 (2006) 40–50. https://doi.org/10.1016/j.apcatb.2006.02.020.
- [129] G. Zhang, G. Wang, Y. Wan, X. Liu, K. Chu, Ampere-Level Nitrate Electroreduction to Ammonia over Monodispersed Bi-Doped FeS2, ACS Nano 17 (2023) 21328–21336. https://doi.org/10.1021/acsnano.3c05946.
- [130] Y. Liu, Z. Zheng, S. Jabeen, N. Liu, Y. Liu, Y. Cheng, Y. Li, J. Yu, X. Wu, N. Yan, L. Xu, H. Li, Mechanochemical route to fabricate an efficient nitrate reduction electrocatalyst, Nano Res 17 (2024) 4889–4897. https://doi.org/10.1007/s12274-024-6478-8.
- [131] Y. Yu, C. Wang, Y. Yu, Y. Wang, B. Zhang, Promoting selective electroreduction of nitrates to ammonia over electron-deficient Co modulated by rectifying Schottky contacts, Sci China Chem 63 (2020) 1469–1476. https://doi.org/10.1007/s11426-020-9795-x.

- [132] S. Zhang, Y. Zha, Y. Ye, K. Li, Y. Lin, L. Zheng, G. Wang, Y. Zhang, H. Yin, T. Shi, H. Zhang, Oxygen-Coordinated Single Mn Sites for Efficient Electrocatalytic Nitrate Reduction to Ammonia, Nanomicro Lett 16 (2024). https://doi.org/10.1007/s40820-023-01217-z.
- [133] J. Sharp, A. Ciotti, H. Andrews, S.R. Udayasurian, M. García-Melchor, T. Li, Sustainable Electrosynthesis of Cyclohexanone Oxime through Nitrate Reduction on a Zn-Cu Alloy Catalyst, ACS Catal 14 (2024) 3287–3297. https://doi.org/10.1021/acscatal.3c05388.
- [134] L. Bai, F. Franco, J. Timoshenko, C. Rettenmaier, F. Scholten, H.S. Jeon, A. Yoon, M. Rüscher, A. Herzog, F.T. Haase, S. Kühl, S.W. Chee, A. Bergmann, R.C. Beatriz, Electrocatalytic Nitrate and Nitrite Reduction toward Ammonia Using Cu2O Nanocubes: Active Species and Reaction Mechanisms, J Am Chem Soc 146 (2024) 9665–9678. https://doi.org/10.1021/jacs.3c13288.
- [135] Z. Niu, S. Fan, X. Li, P. Wang, M.O. Tade, S. Liu, Optimizing Oxidation State of Octahedral Copper for Boosting Electroreduction Nitrate to Ammonia, ACS Appl Energy Mater 5 (2022) 3339–3345. https://doi.org/10.1021/acsaem.1c03969.
- [136] Q. Yan, R. Zhao, L. Yu, Z. Zhao, L. Liu, J. Xi, Enhancing Compatibility of Two-Step Tandem Catalytic Nitrate Reduction to Ammonia Over P-Cu/Co(OH)2, Advanced Materials (2024). https://doi.org/10.1002/adma.202408680.
- [137] R. Zhao, Q. Yan, L. Yu, T. Yan, X. Zhu, Z. Zhao, L. Liu, J. Xi, A Bi-Co Corridor Construction Effectively Improving the Selectivity of Electrocatalytic Nitrate Reduction toward Ammonia by Nearly 100%, Advanced Materials 35 (2023). https://doi.org/10.1002/adma.202306633.
- [138] X. Zhang, X. Liu, Z.F. Huang, L. Guo, L. Gan, S. Zhang, M. Ajmal, L. Pan, C. Shi, X. Zhang, G. Yang, J.J. Zou, Tandem Nitrate Electroreduction to Ammonia with Industrial-Level Current Density on Hierarchical Cu Nanowires Shelled with NiCo-Layered Double Hydroxide, ACS Catal 13 (2023) 14670–14679. https://doi.org/10.1021/acscatal.3c04541.

APÊNDICE A – DADOS EXTRAIDOS DOS ESPECTROS DE XPS DE ALTA RESOLUÇÃO

Tabela 11. Posição e porcentagens de grupos funcionais ou estados químicos presentes no GNR(Cont.0%), $Co_3O_4(Cont.75\%)$, as diferentes variações de $Co_3O_4(.)GNR$ e ao Co_3O_4GNR pós-estabilidade, obtidos a partir do espectro de HR XPS apresentado nas Figuras 13 e 15.

Catalisadores	Nome	Estado químico	Posição (eV)	Cont. %
Co ₃ O ₄ (Cont.53%)GNR	O 1s	Со-О	528,9	5,5
		$Co(OH)_2$	530,2	7,5
		O-defeito	531,9	41,5
		C-O	532,7	35,4
		H_2O	533,8	10,1
	C 1s	C=C & C-C	282,7	20,3
		C-OH & C-O-C	284,4	31,8
		C=O & COOH	285,5	28,5
		π – π	286,3	19,4
		Co(III)2p _{3/2}	782,6	41,2
		Co(II)2p _{3/2}	785,7	17,7
	Co 2p	satélite	788,8	17,8
		$Co(III)2p_{1/2}$	797,6	5,3
		$Co(II)2p_{1/2}$	799,4	9,9
		satélite	803,4	8,1
Co3O4GNR pós- estabilidade		Со-О	528,7	20,1
		$Co(OH)_2$	530,2	24,7
	O 1s	O-defeito	532,4	21,7
		C-O	534,4	26,9
		H_2O	535,4	6,6
	C 1s	C=C & C-C	285,2	32,7
		C-OH & C-O-C	287,4	41,9
		C=O &COOH	288,2	25,4
		Co(III)2p _{3/2}	779,0	25,4
		$Co(II)2p_{3/2}$	780,7	14,6
		satélite	786,2	28,4
	Co 2p	$Co(III)2p_{1/2}$	794,2	13,0
		$Co(II)2p_{1/2}$	796,1	7,3
		satélite	801,3	11,3
Co ₃ O ₄ (Cont.55%)GNR	O 1s	Со-О	530,7	24,2
		$Co(OH)_2$	532,5	37,3
		O-defeito	534,0	26,4
		C–O	535,8	6,0
		<u>H</u> ₂ O	537,1	6,1
	C 1s	C=C & C-C	284,8	32,9
		C-OH & C-O-C	285,9	30,0
		C=O & COOH	287,3	25,6
		π – π	289,2	11,5

	•	Co(III)2p _{3/2}	780,0	13,7
		$Co(II)2p_{3/2}$	783,4	16,8
	Co 2p	satélite	786,3	33,5
		$Co(III)2p_{1/2}$	789,9	21,4
		$Co(II)2p_{1/2}$	794,8	6,9
		satélite	802,0	7,7
		Co-O	529,7	4.0
	O 1s	$Co(OH)_2$	532,3	29,4
Co ₃ O ₄ (Cont.38%)GNR		O-defeito	533,7	18,5
		C-O	535,1	24,2
	C 1s	H_2O	537,1	23,9
		C=C & C-C	284,3	28,1
		C-OH & C-O-C	285,7	37,4
		C=O & COOH	288,3	18,8
		$\pi\!\!-\!\!\pi$	289,7	15,7
		Co(III)2p _{3/2}	779,9	7,5
		$Co(II)2p_{3/2}$	785,0	26,5
	C = 2	satélite	787,9	31,2
	Co 2p	$Co(III)2p_{1/2}$	791,3	14,3
		$Co(II)2p_{1/2}$	794,7	9,4
		satélite	802,9	11,1
		Co-O	529,6	16,4
	O 1s	$Co(OH)_2$	530,5	24,9
		O-defeito	531,7	30,0
		C-O	533,0	23,6
	C 1s	H ₂ O	534,5	5,1
		C=C & C-C	284,9	46,0
Co ₃ O ₄ (Cont.75%)	CIS	C-OH & C-O-C	286,2	38,8
		C=O & COOH	288,3	11,9
		π – π	290,1	3,3
	Co 2p	Co(III)2p _{3/2}	780,0	16,7
		$Co(II)2p_{3/2}$	781,9	26,9
		satélite	787,5	26,1
		$Co(III)2p_{1/2}$	795,3	7,5
		$Co(II)2p_{1/2}$	796,8	11,4
		satélite	802,2	11,4
		C=O	532,4	33,1
	O 1s	C-O	534,1	57,2
		H ₂ O	536,7	9,7
	C 1s	C=C & C-C	285,0	39,0
GNR(Cont.0%)		C-OH & C-O-C	286,2	26,4
		C=O & COOH	287,6	20,8
		$\pi \!\!-\!\! \pi$	289,4	13,8

APÊNDICE B – CURVAS USADAS PARA QUANTIFICAR AMÔNIO, NITRATO E NITRITO

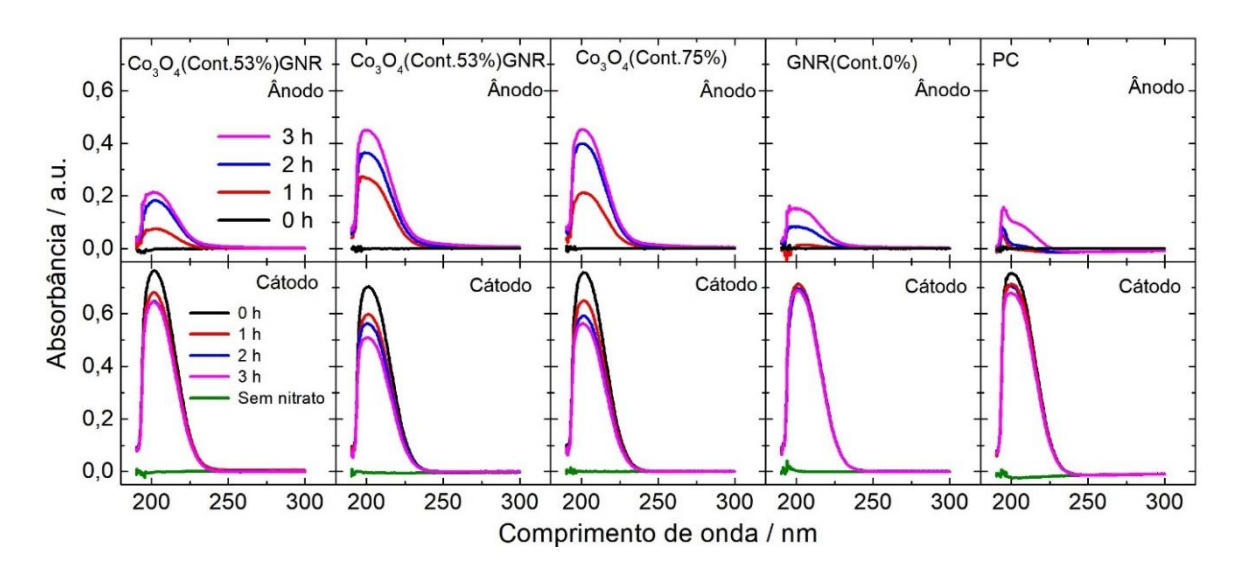


Figura 42. Curvas de UV usadas para quantificar nitrato em ambos os ramos da célula H (alíquotas: ânodo, $60 \,\mu\text{L}$; cátodo $20 \,\mu\text{L}$) após os experimentos cronoamperométricos em - $0.6 \, \text{V}$ vs. ERH aplicados a diferentes catalisadores em $40 \, \text{mM}$ de NO_3^- .

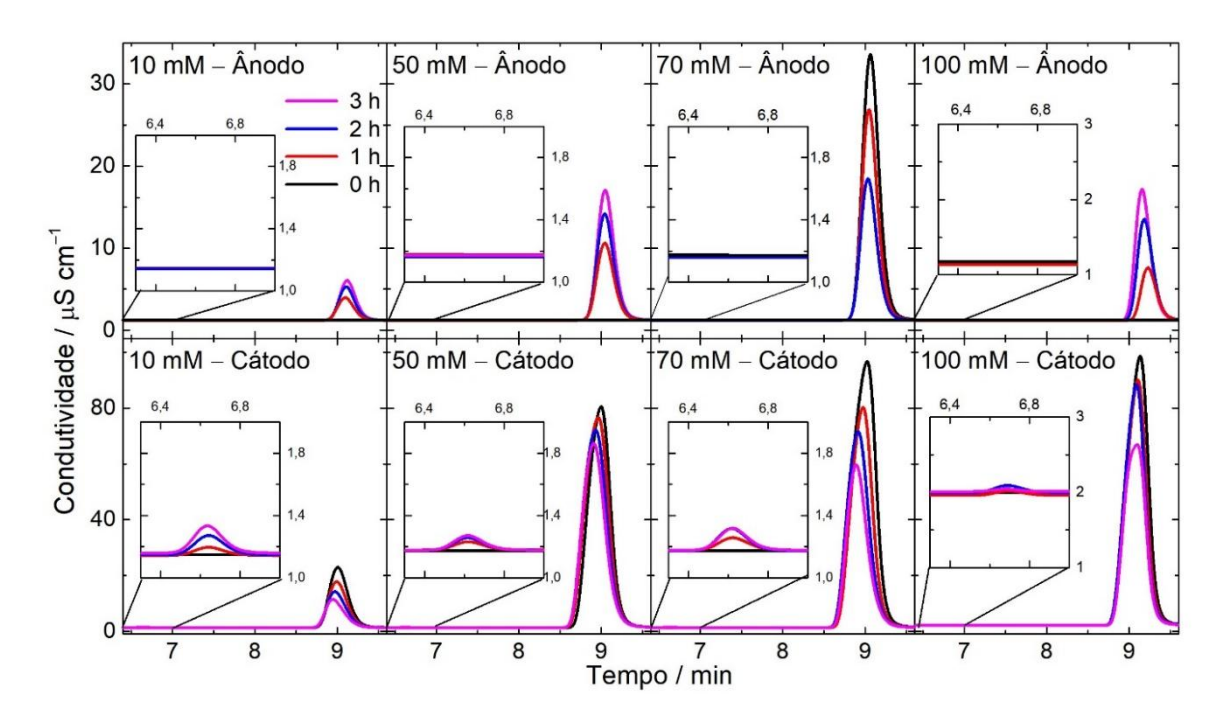


Figura 43. Curvas de CI usadas para quantificar nitrato em ambos os ramos da célula H (alíquotas de 500 μL ânodo e cátodo) após os experimentos cronoamperométricos em –0,6 V vs. ERH aplicado a Co₃O₄(Cont.55%)GNR em diferentes concentrações de NO₃-.

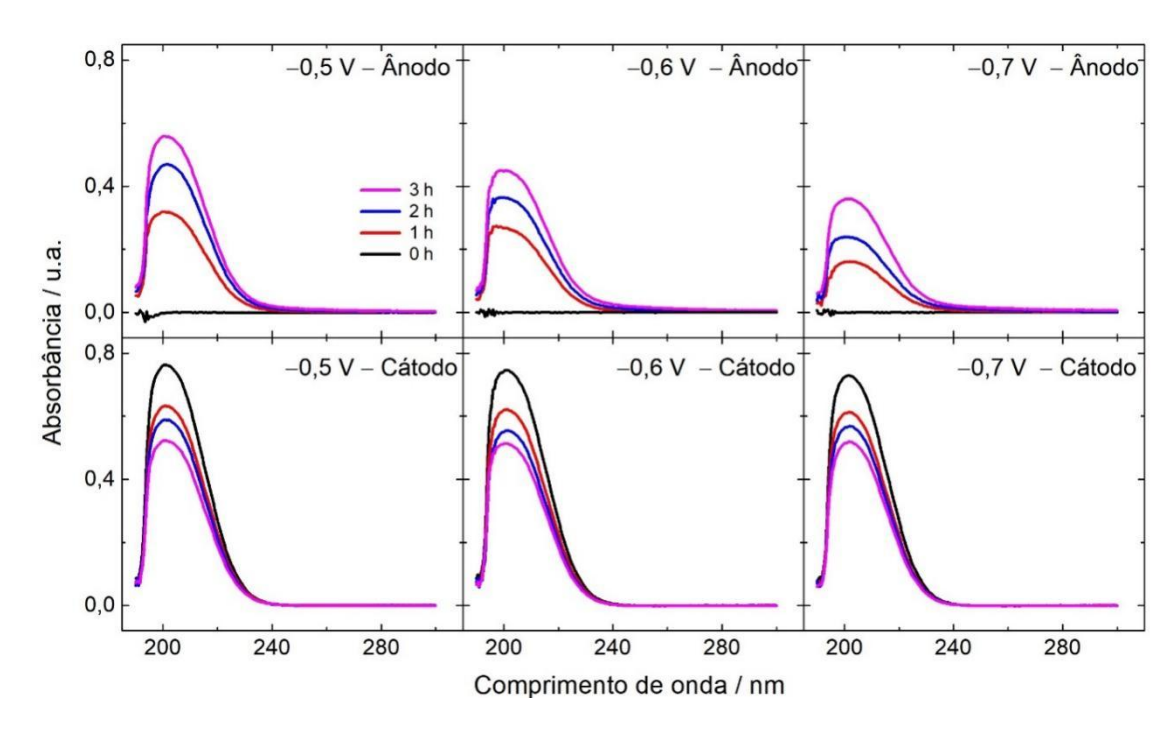


Figura 44. Curvas no UV usadas para quantificar NO_3^- após os experimentos cronoamperométricos em diferentes potenciais aplicado a $Co_3O_4(Cont.55\%)GNR$ em 40 mM de NO_3^- (alíquotas: ânodo, 60 μ L; cátodo 20 μ L).

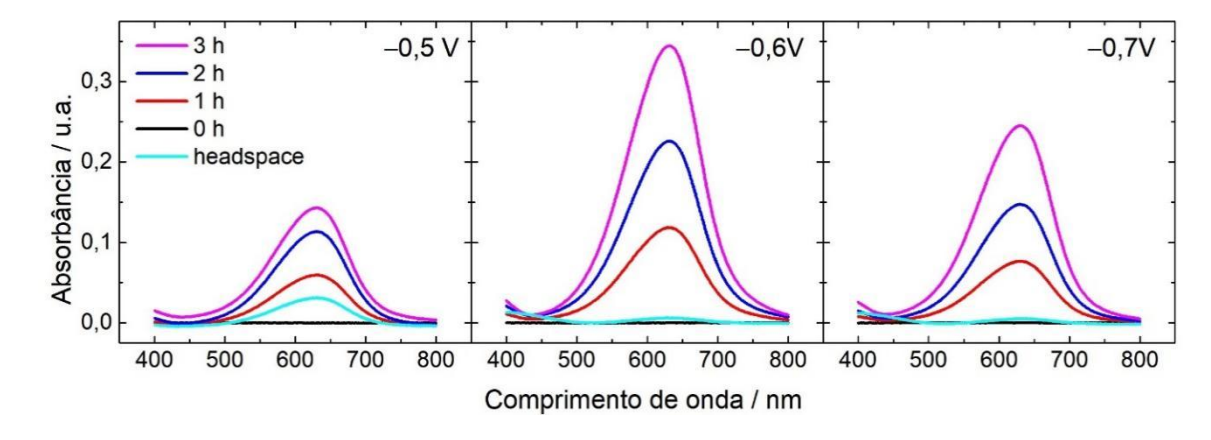


Figura 45. Curvas no UV-visível usadas para quantificar NH_4^+ após os experimentos cronoamperométricos em diferentes potenciais aplicado a $Co_3O_4(Cont.55\%)GNR$ em 40 mM de NO_3^- (alíquota de $20~\mu L$)

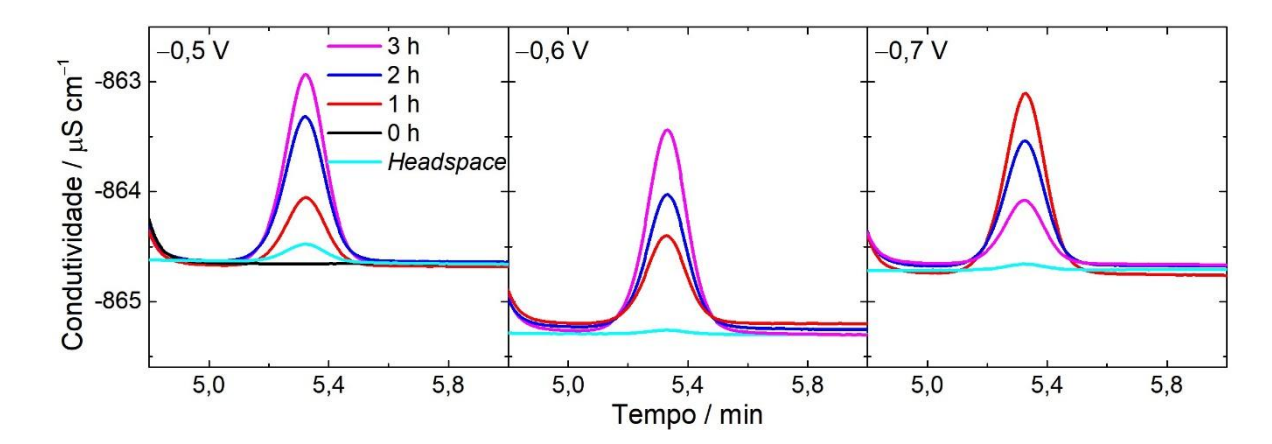


Figura 46. Curvas no CI usadas para quantificar NH_4^+ após os experimentos cronoamperométricos em diferentes potenciais aplicado a $Co_3O_4(Cont.55\%)GNR$ em 40 mM de NO_3^- (alíquota de $100~\mu L$)

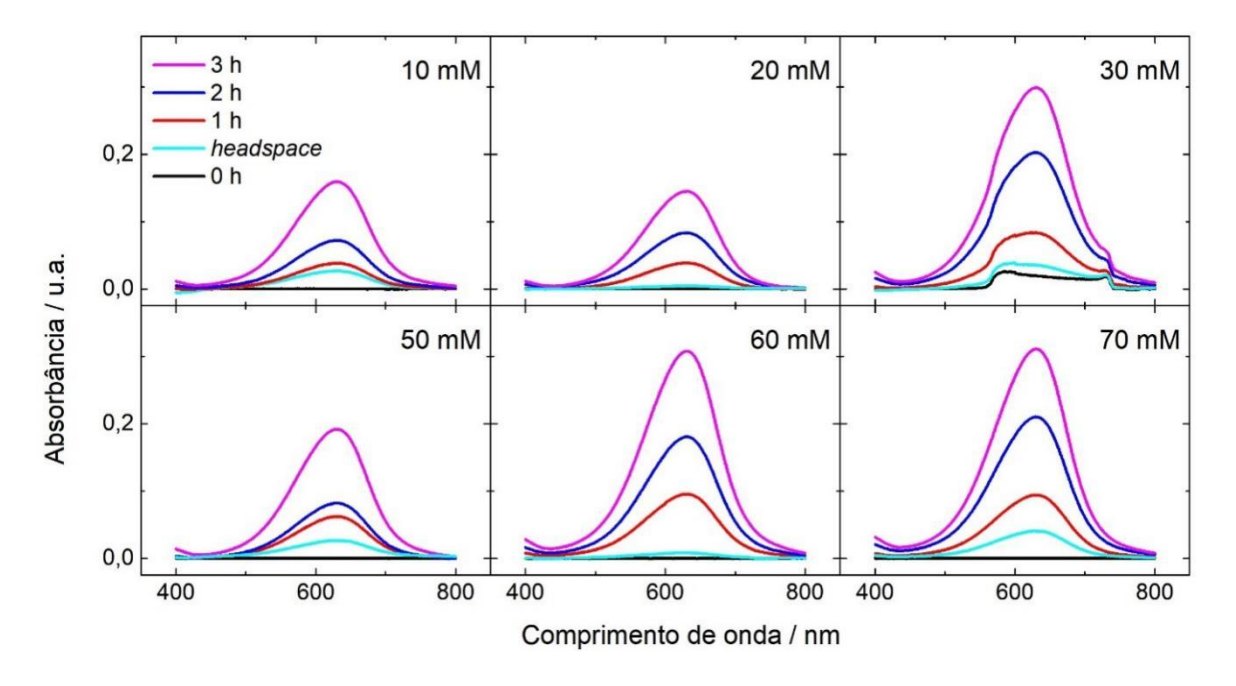


Figura 47. Curvas no UV-visível usadas para quantificar NH_4^+ após os experimentos cronoamperométricos em -0.6 V vs. ERH aplicado a $Co_3O_4(Cont.55\%)GNR$ em diferentes concentrações de NO_3^- (alíquota de $20~\mu L$).

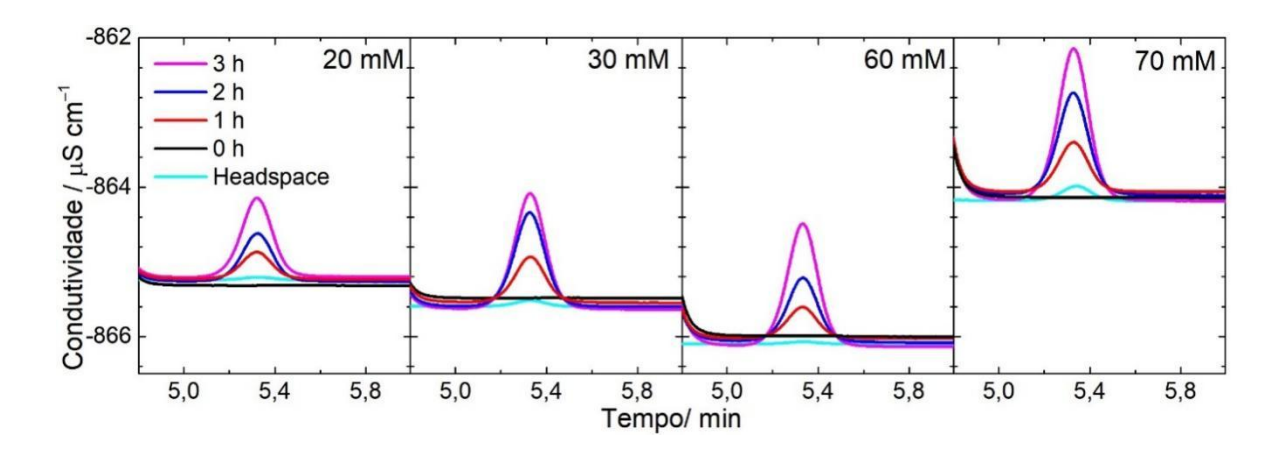


Figura 48. Curvas no CI usadas para quantificar NH_4^+ após os experimentos cronoamperométricos em -0.6~V vs. ERH aplicado a $Co_3O_4(Cont.55\%)GNR$ em diferentes concentrações de NO_3^- (alíquota de $100~\mu L$).

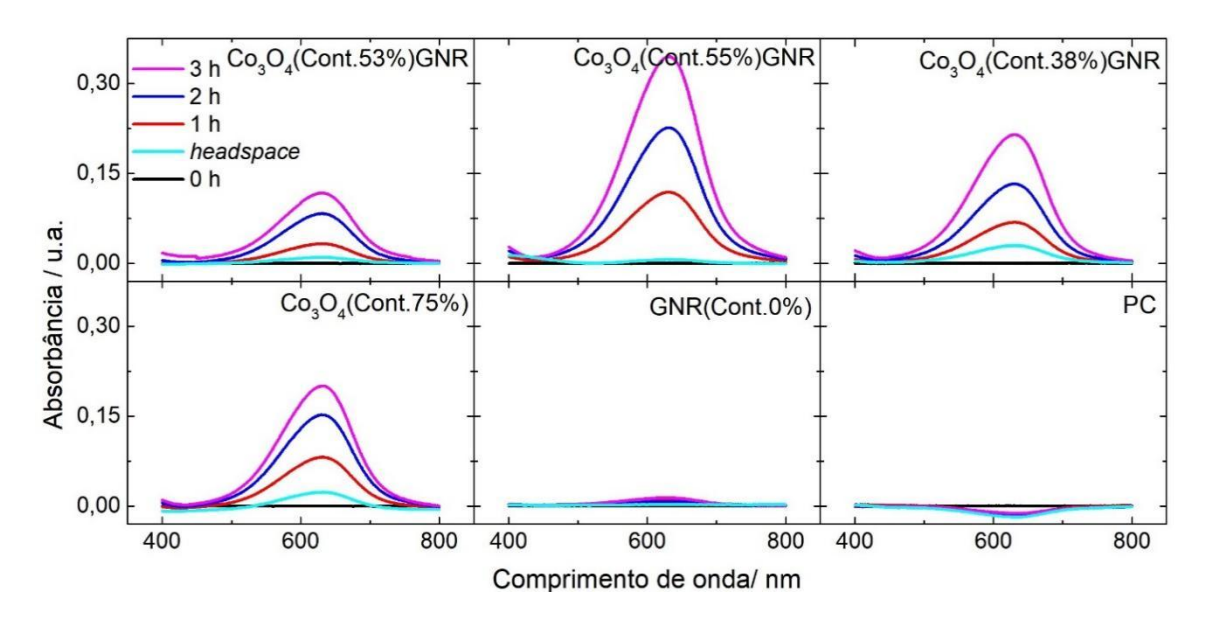


Figura 49. Curvas no UV-visível usadas para quantificar NH_4^+ após os experimentos cronoamperométricos em -0.6 V vs. ERH aplicado a diferentes catalisadores em 40 mM de NO_3^- (alíquota de 20 μ L).

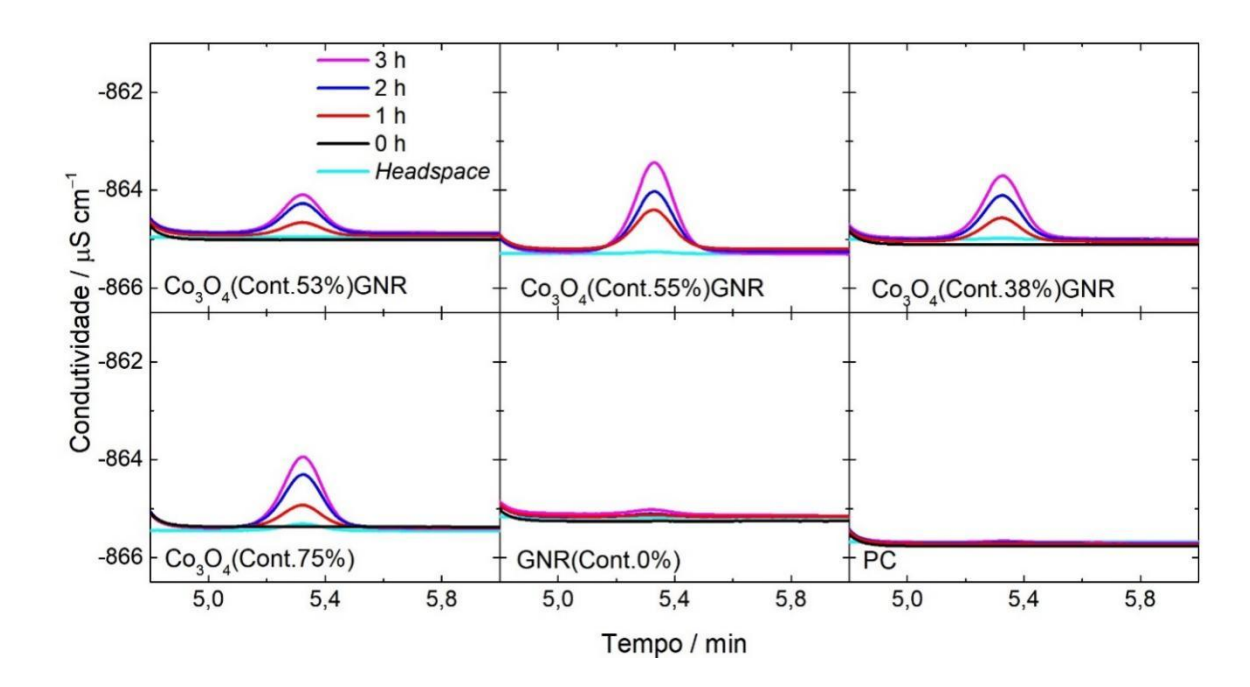


Figura 50. Curvas no CI usadas para quantificar NH_4^+ após os experimentos cronoamperométricos em -0.6~V vs. ERH aplicado a diferentes catalisadores em 40~mM de NO_3^- (alíquota de $100~\mu L$).

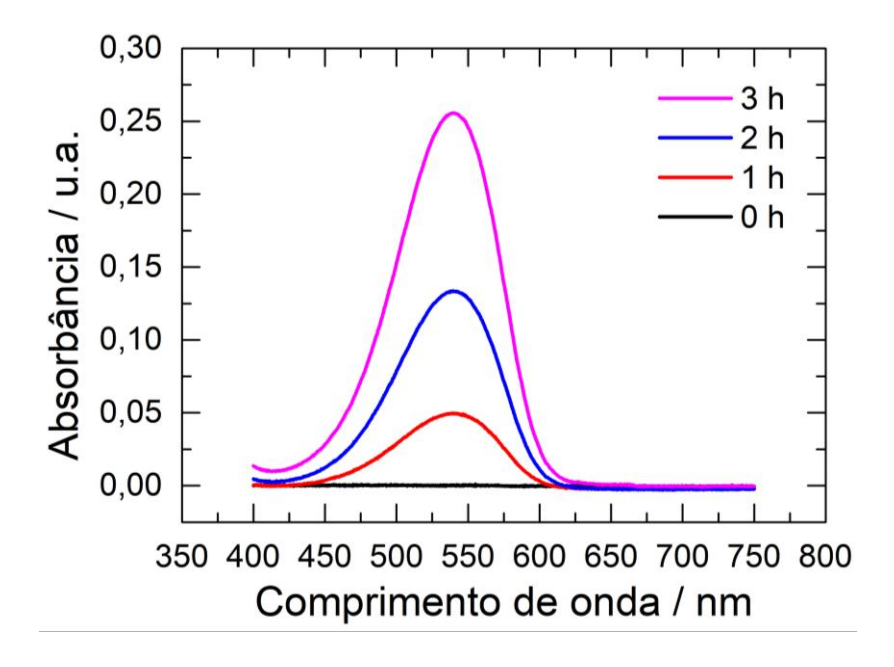


Figura 51. Curvas no UV-visível usadas para quantificar NO_2^- após os experimentos cronoamperométricos em -0.6 V vs. ERH aplicado ao catalisador $Co_3O_4(Cont.55\%)GNR$ em 40 mM de NO_3^- (alíquota de 100 μL) usando a Célula H com membrana de Nafion 117.

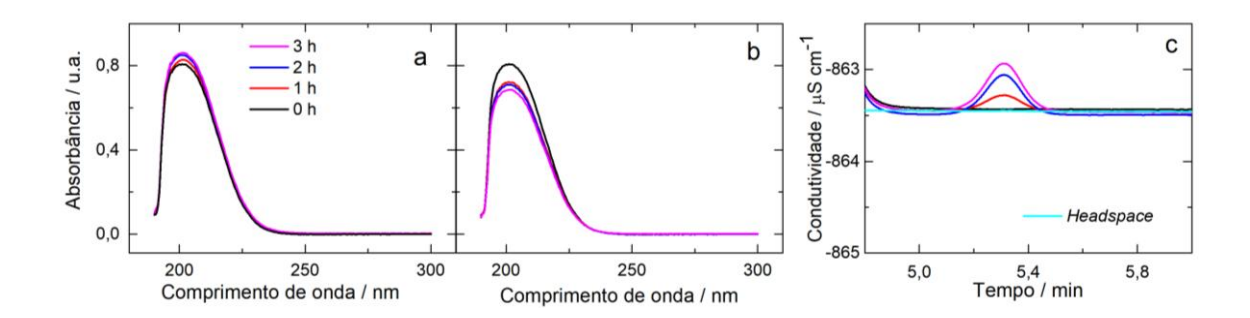


Figura 52. Espectros de UV usados para quantificar NO_3^- nos ramos: (a) anódico (alíquota de $20~\mu L$), (b) catódico (alíquota de $20~\mu L$) da célula H e (c) curvas de CI usadas para quantificar NH_4^+ (alíquota de $100~\mu L$) no ramo catódico, durante os experimentos CA conduzidos a -0.6 V vs. ERH no catalisador de PC modificado com 37,5 μg cm $^{-2}$ de $Co_3O_4(Cont.55\%)GNR$.

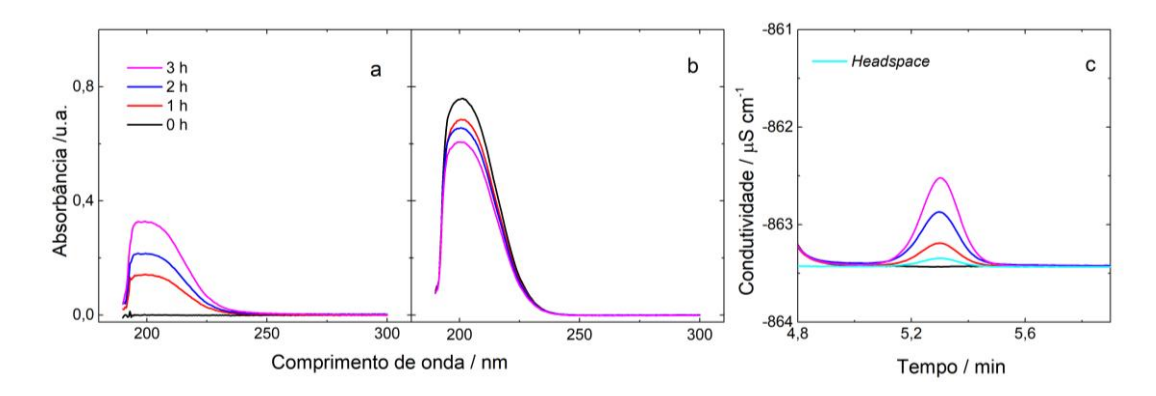


Figura 53. Espectros de UV usados para quantificar NO_3^- nos ramos: (a) anódico (alíquota de $20~\mu L$), (b) catódico (alíquota de $20~\mu L$) da célula H e (c) curvas de CI usadas para quantificar NH_4^+ (alíquota de $100~\mu L$) no ramo catódico, durante os experimentos CA conduzidos a -0.6 V vs. ERH no catalisador de PC modificado com $19~\mu g$ cm $^{-2}$ de $Co_3O_4(Cont.55\%)GNR$.

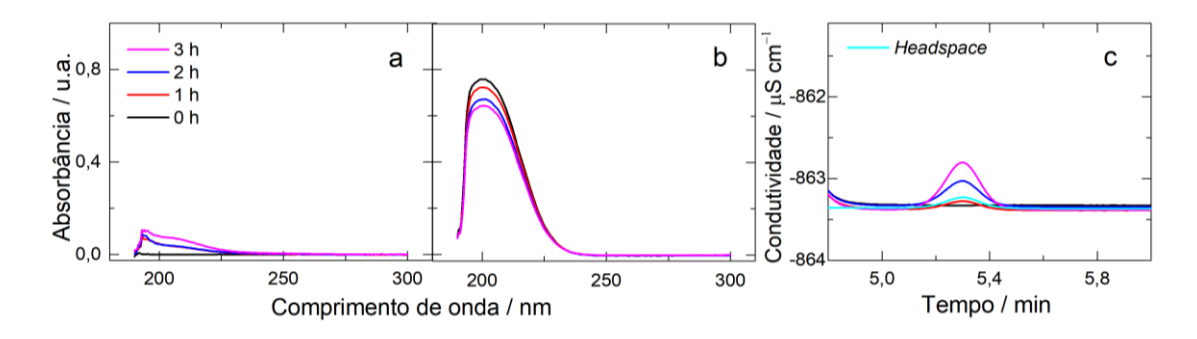


Figura 54. Espectros de UV usados para quantificar NO_3^- nos ramos: (a) anódico (alíquota de $20~\mu L$), (b) catódico (alíquota de $20~\mu L$) da célula H e (c) curvas de CI usadas para quantificar NH_4^+ (alíquota de $100~\mu L$) no ramo catódico, durante os experimentos CA conduzidos a -0.6 V vs. ERH no catalisador de PC modificado com $56~\mu g~cm^{-2}$ de $Co_3O_4(Cont.55\%)GNR$.

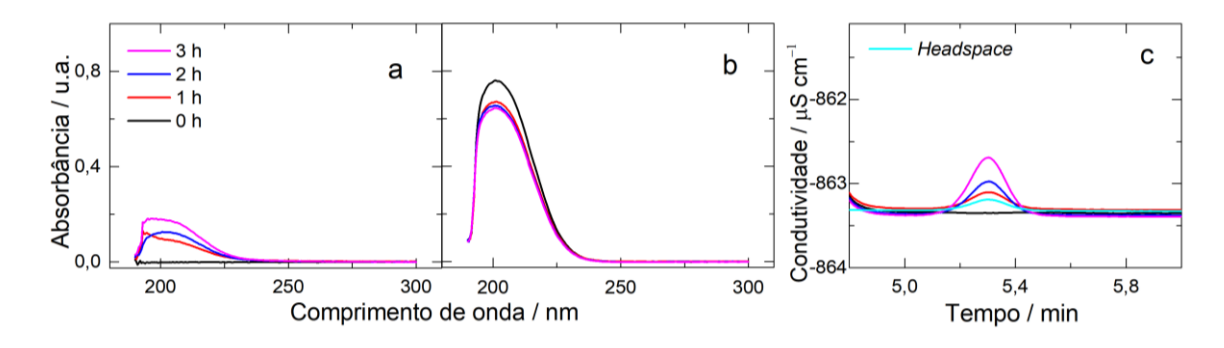


Figura 55. Espectros de UV usados para quantificar NO_3^- nos ramos: (a) anódico (alíquota de $20~\mu L$), (b) catódico (alíquota de $20~\mu L$) da célula H e (c) curvas de CI usadas para quantificar NH_4^+ (alíquota de $100~\mu L$) no ramo catódico, durante os experimentos CA conduzidos a -0.6 V vs. ERH no catalisador de PC modificado com 75 μg cm $^{-2}$ de $Co_3O_4(Cont.55\%)GNR$.

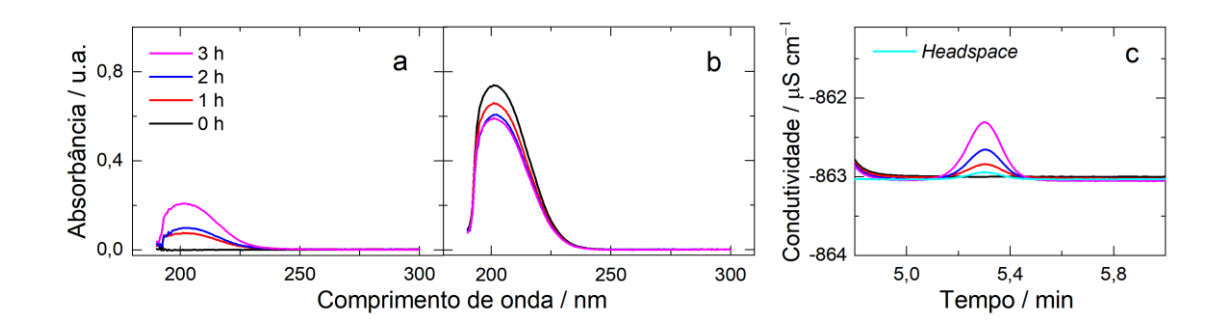


Figura 56. Espectros de UV usados para quantificar NO_3^- nos ramos: (a) anódico (alíquota de $20~\mu L$), (b) catódico (alíquota de $20~\mu L$) da célula H e (c) curvas de CI usadas para quantificar NH_4^+ (alíquota de $100~\mu L$) no ramo catódico, durante os experimentos CA conduzidos a -0.6 V vs. ERH no catalisador de PC modificado com $150~\mu g~cm^{-2}$ de $Co_3O_4(Cont.55\%)GNR$.

APÊNDICE C – DADOS EXTRAIDOS DOS GRÁFICOS DE NYQUIST E MEDIDAS DE PH

Tabela 12. Valores de R_s e R_{tc} obtidos para o eletrodo de PC modificado com diferentes carregamentos de $Co_3O_4(Cont.55\%)GNR$ empregando K_2SO_4 0,1 M saturado com Ar na presença de 40 mM de NaNO3 na célula H e da célula H com membrana de Nafion 117 Os valores de R_s e R_{tc} foram obtidos com base nos resultados do EIS (Figura 38c – Figura 60c). Os pH das soluções são relatados antes e após os experimentos de CA.

Carregamento /	Rs / \O	$ m R_{tc}$ / $ m k\Omega$	pH da solução	pH da solução
$\mu \mathrm{g}~\mathrm{cm}^{-2}$			antes da CA	após a CA
37,5 (Célula H com membrana de Nafion117)	6,9	1,2	8,38	12,97
19	9,1	2,6	7,24	12,51
56	12,1	5,1	7,83	11,59
75	10,6	2,9	6,85	11,73
150	10,5	2,3	8,80	13,39

APÊNDICE D – RESPOSTAS OBTIDAS PARA OS DIFERENTES CARREGAMENTOS DO Co₃O₄(Cont.55%)GNR NO PC

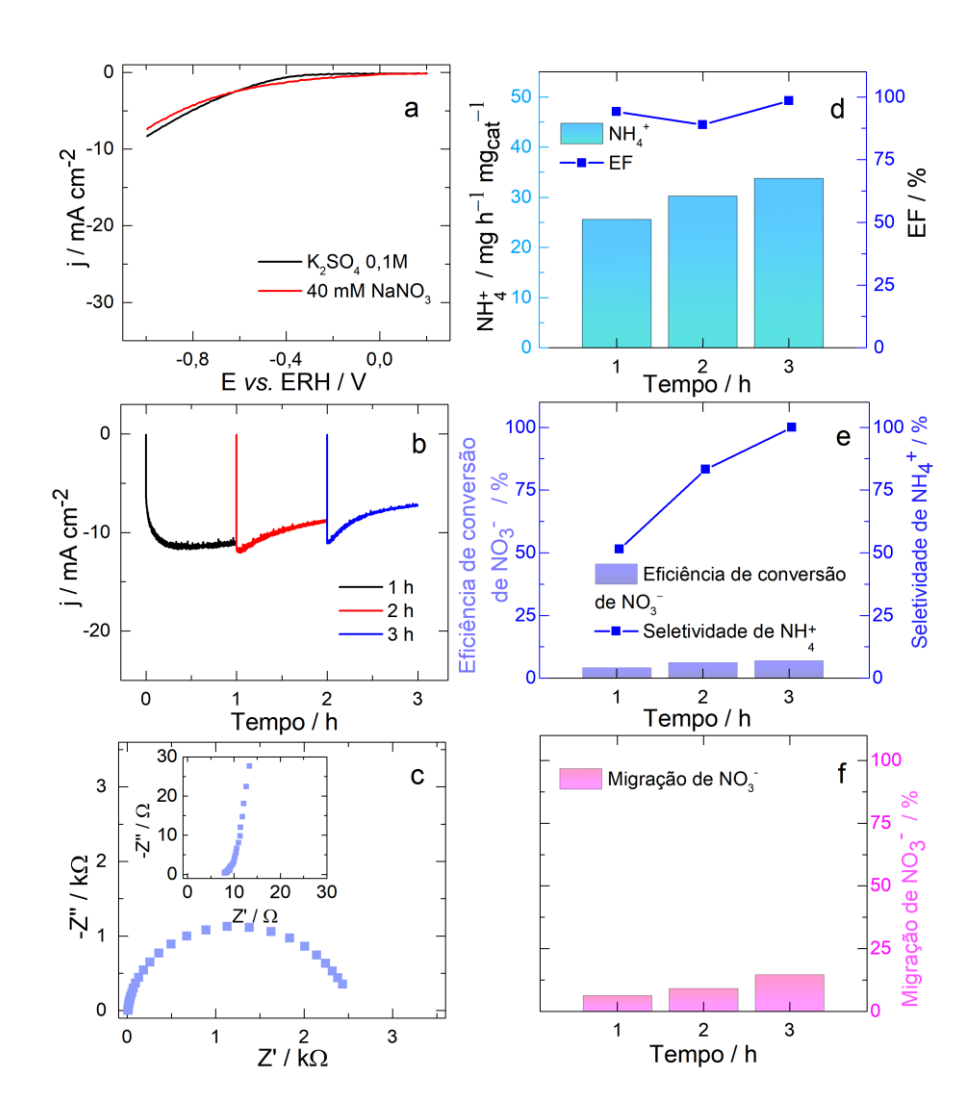


Figura 57. Respostas obtidas para o eletrodo de PC modificado com $Co_3O_4(Cont.55\%)GNR$ em carregamento de 19 μ g cm⁻² com nitrato adicionado no ramo catódico da célula H: (a) LSV registrada em $\nu = 5$ mV s⁻¹(0,2 a -1,0 V); (b) resultados de CA (-0,6V), o experimento foi interrompido a cada hora para a retirada de alíquotas da solução; (c) resultado de EIE (gráfico de Nyquist; (d) taxa de rendimento de NH₄⁺ e valores de EF obtidos após três horas de experimentos de CA; (e) eficiência de conversão de NO₃⁻ e seletividade de NH₄⁺ e (f) migração de NO₃⁻.

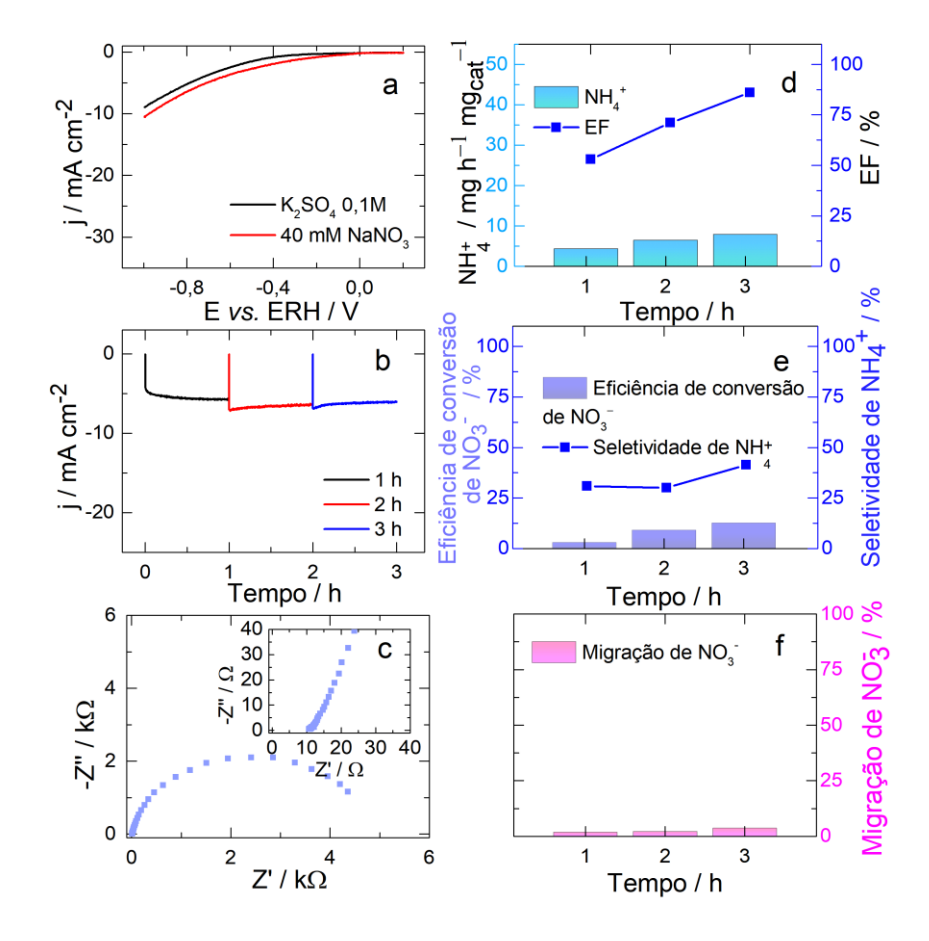


Figura 58. Respostas obtidas para o eletrodo de PC modificado com $Co_3O_4(Cont.55\%)GNR$ em carregamento de 56 µg cm⁻² com nitrato adicionado no ramo catódico da célula H: (a) LSV registrada em v=5 mV s⁻¹(0,2 a –1,0 V); (b) resultados de CA (–0,6V), o experimento foi interrompido a cada hora para a retirada de alíquotas da solução; (c) resultado de EIE (gráfico de Nyquist; (d) taxa de rendimento de NH_4^+ e valores de EF obtidos após três horas de experimentos de CA; (e) eficiência de conversão de NO_3^- e seletividade de NH_4^+ e (f) migração de NO_3^- .

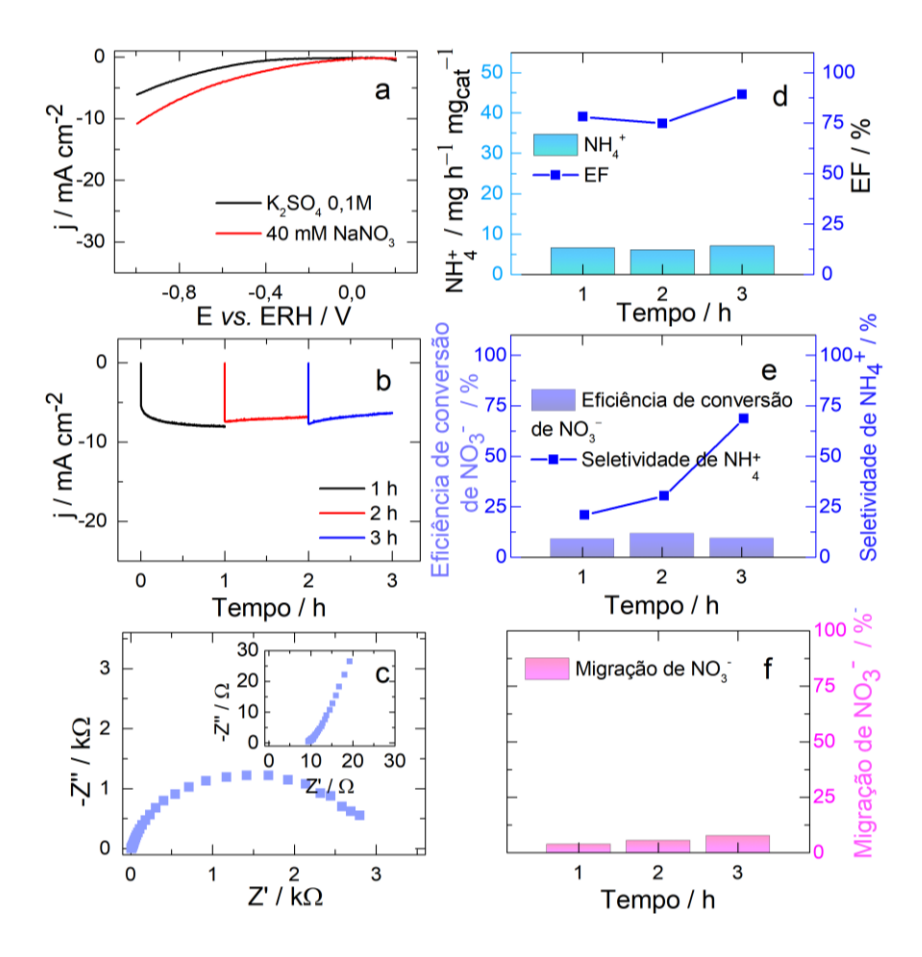


Figura 59. Respostas obtidas para o eletrodo de PC modificado com $Co_3O_4(Cont.55\%)GNR$ em carregamento de 75 µg cm⁻² com nitrato adicionado no ramo catódico da célula H: (a) LSV registrada em v=5 mV s⁻¹(0,2 a -1,0 V); (b) resultados de CA (-0,6V), o experimento foi interrompido a cada hora para a retirada de alíquotas da solução; (c) resultado de EIE (gráfico de Nyquist; (d) taxa de rendimento de NH_4^+ e valores de EF obtidos após três horas de experimentos de CA; (e) eficiência de conversão de NO_3^- e seletividade de NH_4^+ e (f) migração de NO_3^- .

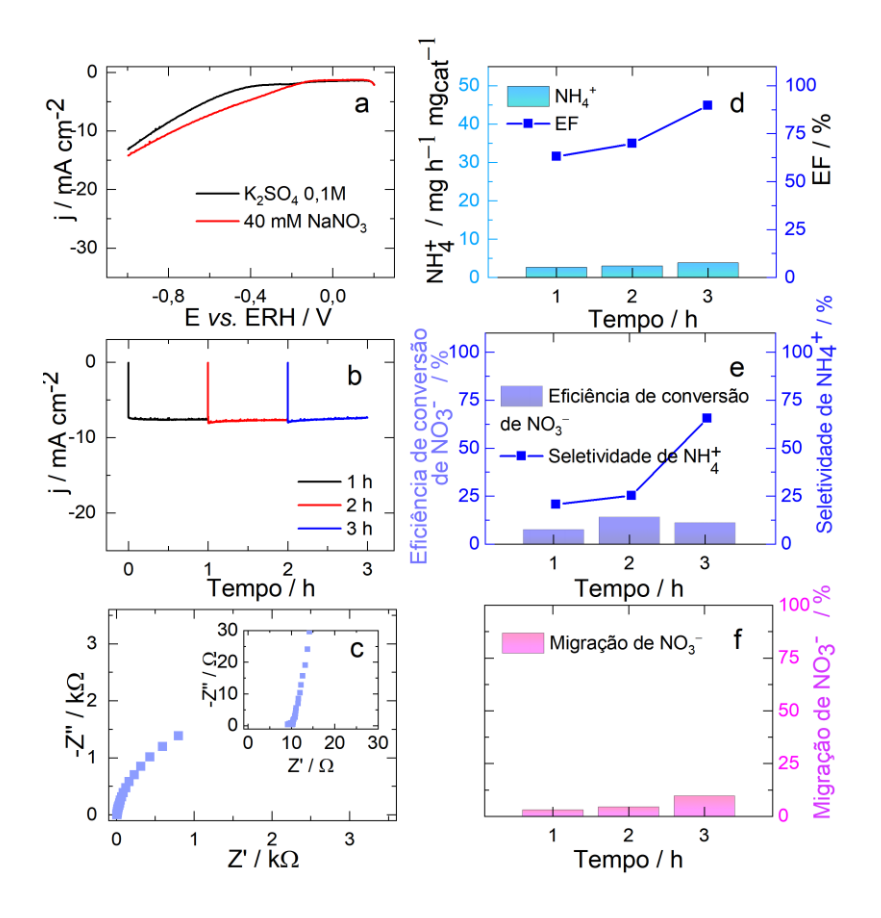


Figura 60. Respostas obtidas para o eletrodo de PC modificado com $Co_3O_4(Cont.55\%)GNR$ em carregamento de 150 µg cm⁻² com nitrato adicionado no ramo catódico da célula H: (a) LSV registrada em $\nu = 5$ mV s⁻¹(0,2 a -1,0 V); (b) resultados de CA (-0,6V), o experimento foi interrompido a cada hora para a retirada de alíquotas da solução; (c) resultado de EIE (gráfico de Nyquist; (d) taxa de rendimento de NH_4^+ e valores de EF obtidos após três horas de experimentos de CA; (e) eficiência de conversão de NO_3^- e seletividade de NH_4^+ e (f) migração de NO_3^- .

APÊNDICE E – VOLTAMETRIAS CICLICAS USADAS PARA OBTER VALORES DE ECSA

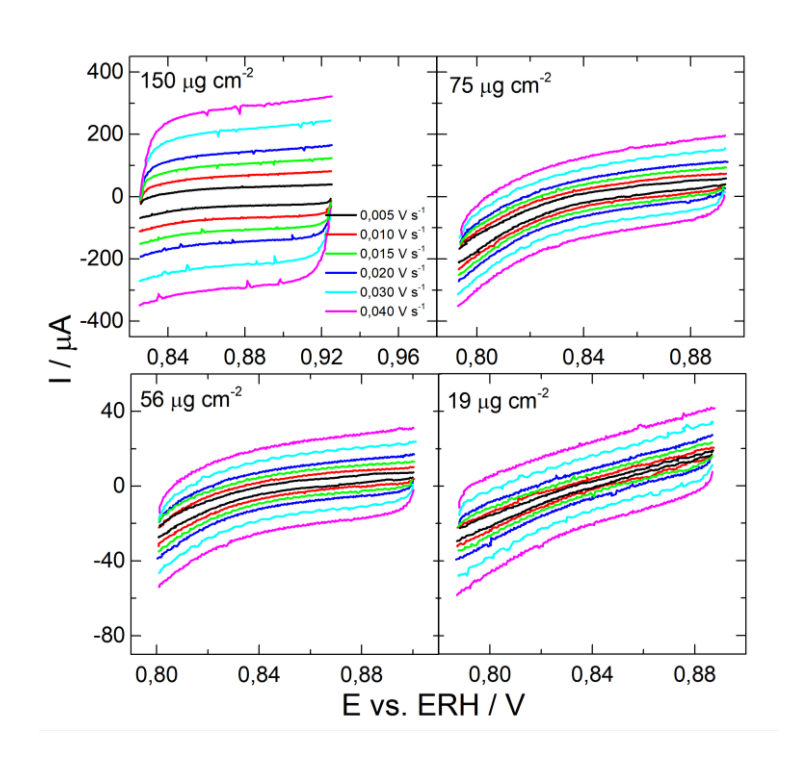


Figura 61. Voltamogramas cíclicos obtidos em uma região de potencial não faradaica para o eletrodo de PC modificado com diferentes carregamentos (19, 56, 75 e 150 μg cm⁻²) de Co₃O₄(Cont.55%)GNR em K₂SO₄ 0,1 M saturado com Ar, em 40 mM de NO₃⁻ na célula H. O procedimento se iniciou no potencial mais elevado da janela. Os valores de PCA estão apresentados na Tabela 15 (APÊNCICE I).

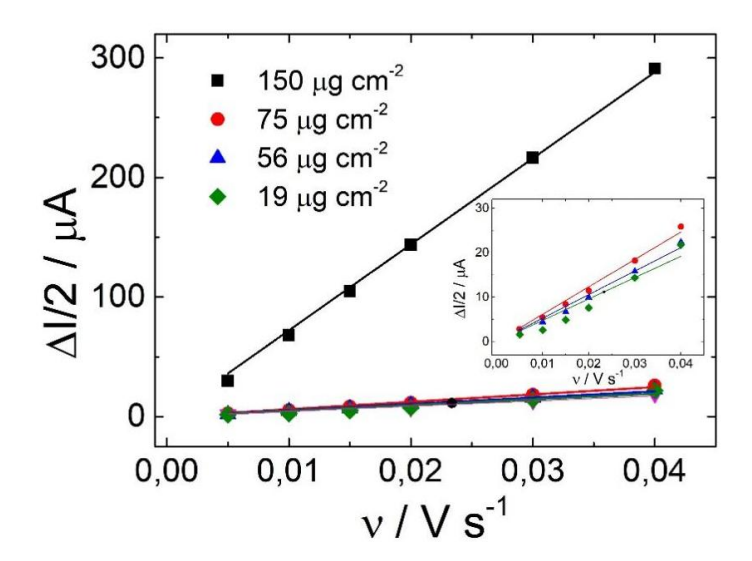


Figura 62. Gráfico da diferença entre as correntes catódicas e anódicas divididas por 2, obtidas em uma janela de potencial de 100 mV com PCA centralizado, versus velocidade de varredura para o eletrodo de PC modificado com diferentes carregamentos (19, 56, 75 e 150 µg cm⁻²) de

Co₃O₄(Cont.55%)GNR em K₂SO₄ 0,1 M saturado com Ar, com 40 mM de NO₃⁻ na célula H; a inclinação dessas curvas resulta na C_{dc} para esse eletrodo modificado.

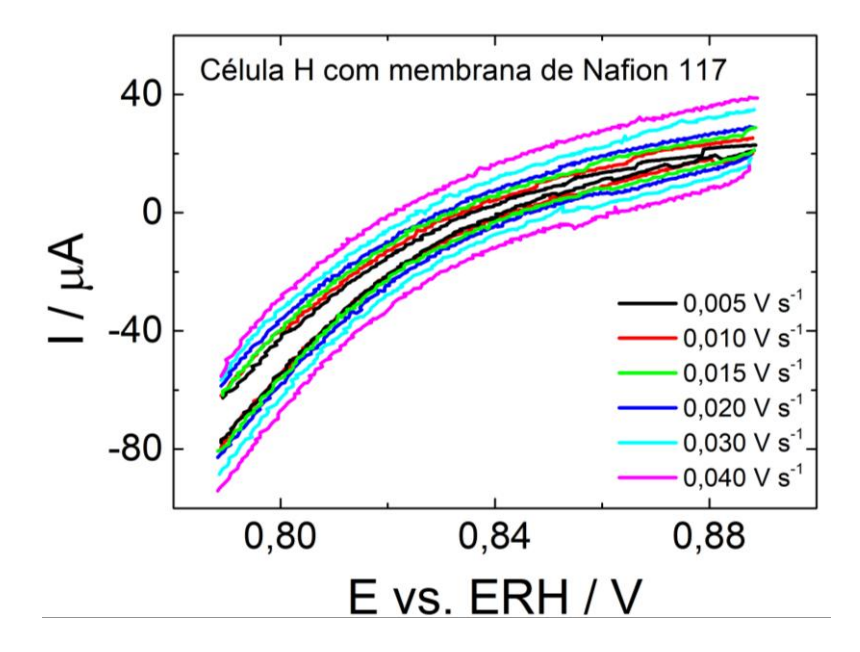


Figura 63. Voltamogramas cíclicos obtidos em uma região de potencial não faradaica para o eletrodo de PC modificado com 37,5 μg cm⁻² de Co₃O₄(Cont.55%)GNR em K₂SO₄ 0,1 M saturado com Ar, em 40 mM de NO₃⁻ na célula H com membrana de Nafion 117. O procedimento se iniciou no potencial mais elevado da janela. Os valores de PCA estão apresentados na Tabela 15 (APÊNCICE I).

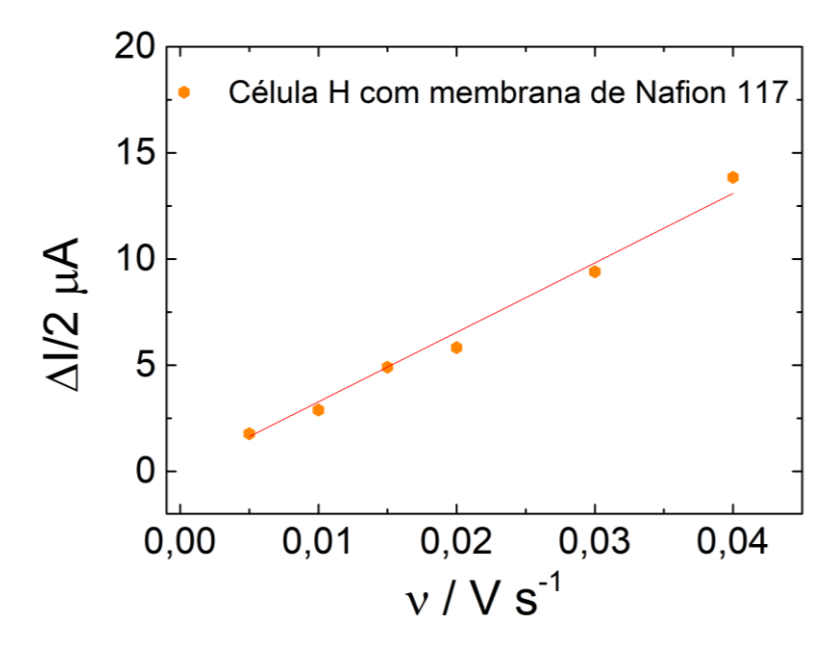


Figura 64. Gráfico da diferença entre as correntes catódicas e anódicas divididas por 2, obtidas em uma janela de potencial de 100 mV com PCA centralizado, versus velocidade de varredura para o eletrodo de PC modificado com 37,5 µg cm⁻² de Co₃O₄(Cont.55%)GNR em K₂SO₄ 0,1 M saturado com Ar, em 40 mM de NO₃⁻ na célula H com membrana de Nafion 117; a inclinação dessas curvas resulta na C_{dc} para esse eletrodo modificado.

Tabela 13. Valores de C_{dc} obtidos da Equação 9 correspondente as VCs Figura 62 e Figura 64 e valores de ECSA para o eletrodo de PC modificado com diferentes carregamentos (19, 56, 75 e 150 μg cm⁻²) de $Co_3O_4(Cont.55\%)GNR$ em K_2SO_4 0,1 M saturado com Ar, com 40 mM de NO_3^- na célula H; e na célula H com membrana de Nafion 117 para o carregamento de 37,5 μg cm⁻².

Carregamento / µg cm ⁻²	C _{dc} / mF	ECSA / cm ²
19	0,48	12,0
56	0,53	13,2
75	0,62	15,4
150	7,2	177,7
37,5 – Célula H com	0,33	8,2
membrana de Nafion117		

APÊNDICE F – ESPCETROS *IN SITU* PARA COMPOR O MECANISMO DE REDUÇÃO DE NITRATO

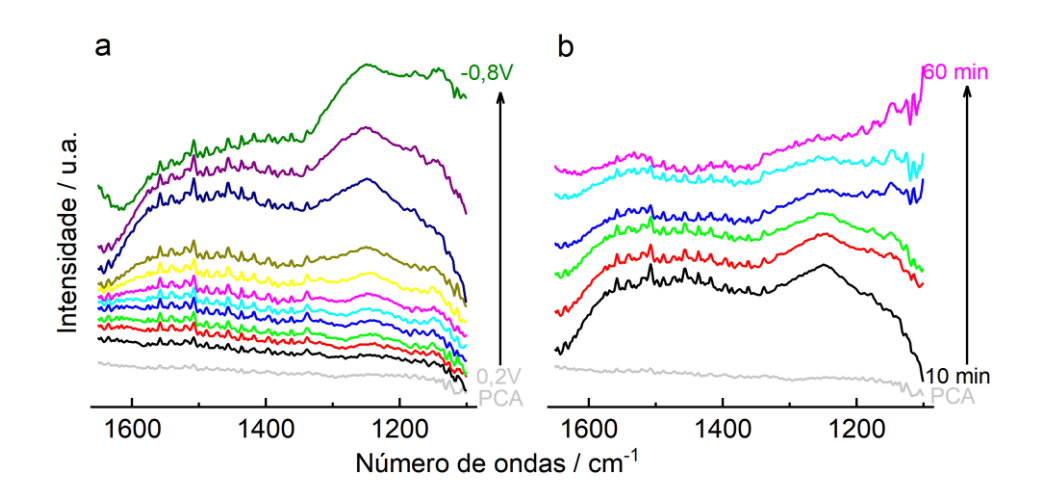


Figura 65. Espectros de FTIR in situ para o eletrodo de CV modificado com 37,5 μg cm⁻² de Co₃O₄(Cont.55%)GNR (como ET) em 0,1 M de K₂SO4: (a) em diferentes potenciais cronoamperométricos (diferença de 100 mV para cada espectro, 0,2 a –0,8 V vs. ERH) e espectro PCA; (b) em diferentes tempos (após 10 min de cronoamperometria em –0,6 V vs. ERH para aquisição de cada espectro) e espectro do PCA.

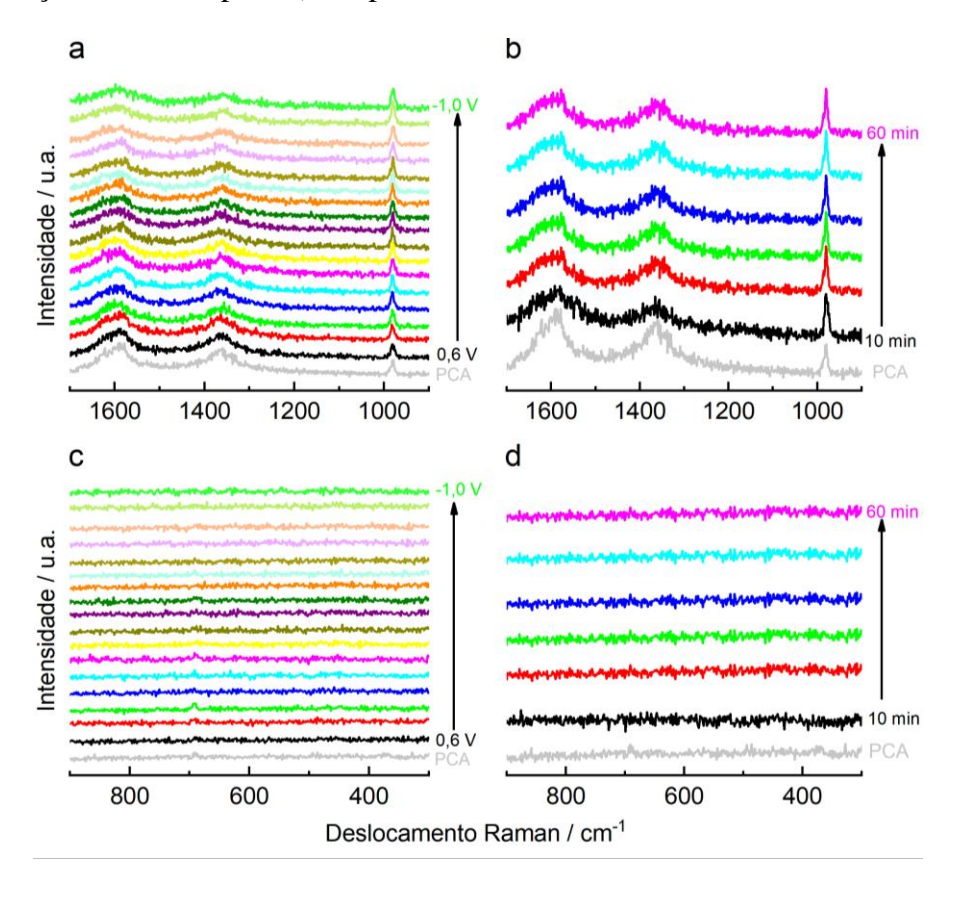


Figura 66. Espectro de Raman in situ para o catalisador $Co_3O_4(Cont.55\%)GNR$ suportado em carbono em carregamento de 37,5 μ g cm⁻² (como ET) em 0,1M de K_2SO_4 : (a e c) em diferentes

potenciais cronoamperométricos (diferença de 100 mV para cada espectro, de 0,6 a –1,0 V vs. ERH) e espectro de PCA; (b e d) em diferentes tempos (após 10 min de CA em –0,6 V vs. ERH para aquisição de cada espectro) e espectro de PCA.

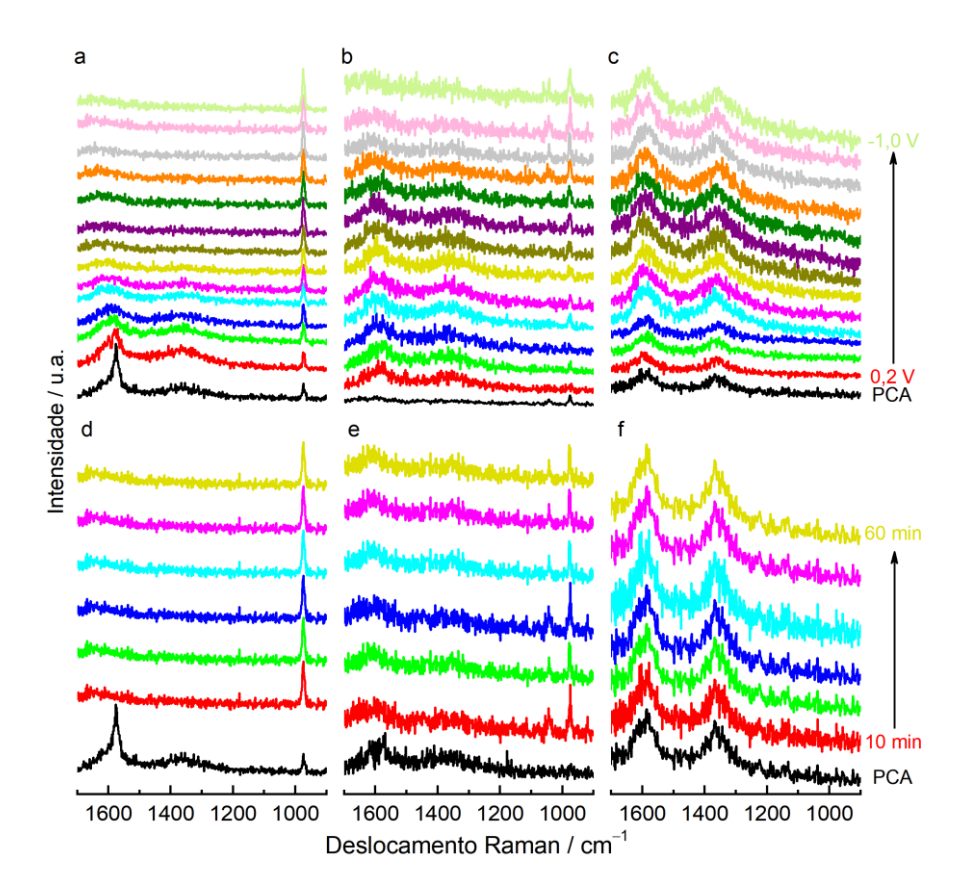


Figura 67. Espectros de Raman in situ em diferentes potenciais cronoamperométricos (diferença de 100 mV para cada espectro, de 0,6 a -1,0 V vs. ERH) e espectro de PCA para os catalisadores suportados em carbono em carregamento de 37,5 µg cm⁻², como ET: Co₃O₄(Cont.75%) em (a) 0,1M de K₂SO₄, (b) 0,1 M K₂SO₄ + 40 mM de NaNO₃ e (c) GNR(Cont.0%); espectros em diferentes tempos (após 10 min de CA em -0,6 V vs. ERH para aquisição de cada espectro) e espectro de PCA para: Co₃O₄(Cont.75%) em (d) 0,1M de K₂SO₄, (e) 0,1 M K₂SO₄ + 40 mM de NaNO₃ e (f) GNR(Cont.0%) 0,1 M K₂SO₄ + 40 mM NaNO₃.

APÊNDICE G – REPRESENTAÇÃO DO CATALISADOR Co₃O₄(Cont.55%)GNR APÓS A OTIMIZAÇÃO GEOMÉTRICA

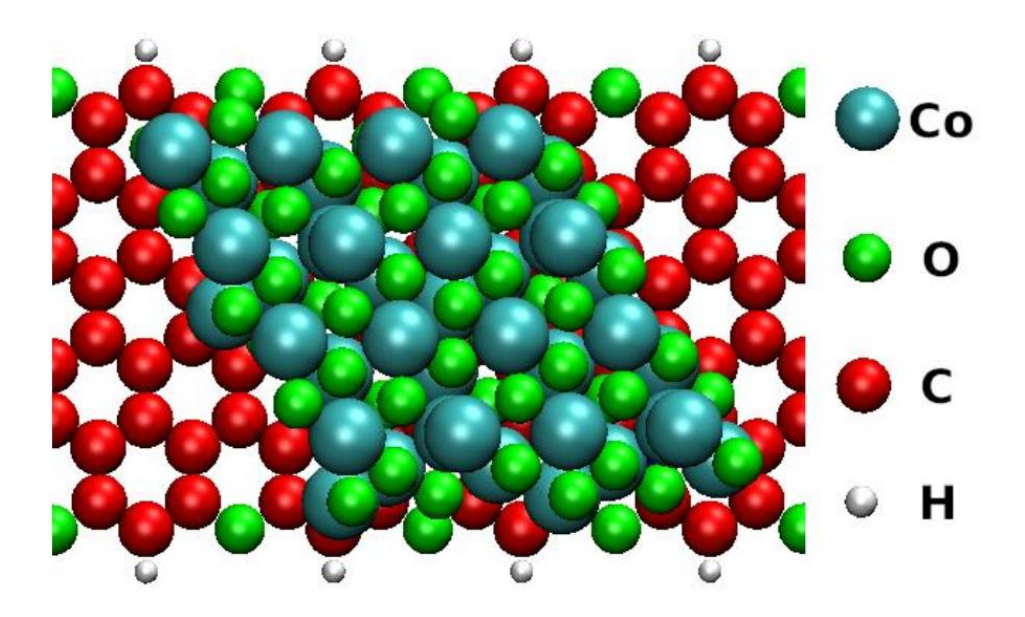


Figura 68. Representação do catalisador $Co_3O_4(111)(Cont.55\%)GNR$ após a otimização completa da geometria.

$\mathbf{AP\hat{E}NDICE}\;\mathbf{H}-\mathbf{TAXAS}\;\mathbf{M\acute{E}DIAS}\;\mathbf{DE}\;\mathbf{RENDIMENTO}\;\mathbf{DE}\;\mathbf{NH4^{+}}$

Tabela 14. Taxas médias de rendimento de NH₄⁺ após três horas de CA Quantificação obtida a partir de resultados de UV-visível e CI (APÊNDICE B).

Potencial (V vs. ERH)	μmol h ⁻¹	mg h ⁻¹ cm ⁻²	mg	mmol
	cm ⁻²	S	$h^{-1}mg_{cat}^{-1}$	$h^{-1}mg_{cat}^{-1}$
-0.5	82,49	1,48	39,58	2,20
-0.6	87,79	1,58	42,11	2,34
-0.7	75,35	1,35	36,15	2,01
NO ₃ ⁻ concentração (mM)	μ mol h ⁻¹	mg h ⁻¹ cm ⁻²	mg	mmol
	cm^{-2}	_	$h^{-1}mg_{cat}^{-1}$	$h^{-1}mg_{cat}^{-1}$
10	32,25	0,58	15,46	0,86
20	32,52	0,58	15,59	0,87
30	72,30	1,30	34,68	1,93
40	87,79	1,58	42,11	2,34
50	42,34	0,76	20,30	1,129
60	73,05	1,31	35,03	1,95
70	76,87	1,38	36,87	2,05
100	28,23	0,51	13,55	0,75
Catalisadores	μ mol h ⁻¹	$\mathrm{mg}\;\mathrm{h}^{-1}\;\mathrm{cm}^{-2}$	mg	mmol
	cm^{-2}		$h^{-1}mg_{cat}^{-1}$	$h^{-1}mg_{cat}^{-1}$
Co ₃ O ₄ (Cont. 53%)GNR	41,55	0,75	19,94	1,11
Co ₃ O ₄ (Cont.55%)GNR	87,79	1,58	42,11	2,34
Co ₃ O ₄ (Cont.38%)GNR	52,13	0,94	25,00	1,39
Co ₃ O ₄ (Cont.75%)	56,72	1,02	27,21	1,51
GNR(Cont.0%)	4,44	0,08	2,13	0,12

APÊNDICE I – VALORES DE POTENCIAL DE CIRCUITO ABERTO

Tabela 15. Valores de PCA medidos nos experimentos de voltametrias cíclicas obtidos em uma região de potencial não faradaica usados nas Figura 20, Figura 22, Figura 61e Figura 63.

NO ₃ ⁻ concentração (mM)	PCA / V
10	0,842
20	0,843
30	0,831
40	0,838
50	0,836
60	0,822
70	0,828
100	0,844
Catalisadores	PCA / V
Co ₃ O ₄ (Cont.53%)GNR	0,837
Co ₃ O ₄ (Cont.55%)GNR	0,838
Co ₃ O ₄ (Cont.38%)GNR	0,826
Co ₃ O ₄ (Cont.75%)	0,909
GNR(Cont.0%)	0,789
PC	0,822
Células eletroquímicas	PCA / V
Célula H com 40 mM de nitrato em ambos os ramos (catódico	0,840
e anódico)	
Célula H com 40 mM de nitrato no ramo catódico	0,838
Célula H com membrana de Nafion 117	0,840
Diferentes carregamentos	PCA / V
19	0,839
37,5	0,838
56	0,852
75	0,845
150	0,877

APÊNDICE J – VALORES DE VARIAÇÕES NA ENERGIA DO PONTO ZERO E O TERMO ENTRÓPICO

Tabela 16. Correção de Energia de Ponto Zero e Contribuições entrópicas para as energias Livres.

Co ₃ O ₄ (Cont.55%)GNR							
	$\Delta \mathbf{E}$	TS	Τ ΔS	ZPE	Δ ZPE	ΔΖΡΕ-ΤΔS	
Superfície		0,45	0,00	0,36	0,00	0,00	
$NO_3 + H^+$	-0,53	0,20	-0,25	0,46	0,10	0,35	
$NO_2 + H_2O_{(l)}$	-2,03	0,67	0,27	0,30	-0,29	-0,56	
$*NO + 2H_2O_{(l)}$	-2,93	0,67	0,27	0,26	-0,12	-0,39	
*NHO	-3,12	0,00	-0,20	0,23	0,03	0,23	
*NH ₂ O	-3,84	0,00	-0,20	0,25	-0,12	0,09	
*NH ₂ OH	-4,57	0,00	-0,20	0,25	-0,14	0,07	
$*NH_2 + H_2O_{(l)}$	-5,39	0,67	0,47	0,40	0,02	-0,46	
NH ₃	-6,38	0,34	0,14	0,10	-0,25	-0,39	
	Co ₃ O ₄ (Cont.75%)						
	$\Delta \mathbf{E}$	TS	Τ ΔS	ZPE	Δ ZPE	Δ ZPE -T Δ S	
Superfície		0,45	0,00	0,36	0,00	0,00	
$NO_3 + H^+$	-0,47	0,20	-0,25	0,46	0,10	0,35	
$NO_2 + H_2O_{(l)}$	-0,94	0,67	0,27	0,30	-0,29	-0,56	
$NO + 2H_2O(1)$	-2,72	0,67	0,27	0,26	-0,12	-0,39	
*NHO	-2,68	0,00	-0,20	0,23	0,03	0,23	
*NH2O	-3,04	0,00	-0,20	0,25	-0,12	0,09	
*NH ₂ OH	-3,83	0,00	-0,20	0,25	-0,14	0,07	
$*NH_2 + H_2O_{(l)}$	-5,48	0,67	0,47	0,40	0,02	-0,46	
NH ₃	-5,99	0,34	0,14	0,10	-0,25	-0,39	

PRODUÇÃO CIENTÍFICA

Journal of Electroanalytical Chemistry 856 (2020) 113384



Contents lists available at ScienceDirect

Journal of Electroanalytical Chemistry

journal homepage: www.elsevier.com/locate/jelechem



The effective role of ascorbic acid in the photoelectrocatalytic reduction of CO₂ preconcentrated on TiO₂ nanotubes modified by ZIF-8



J.C. Cardoso ^{a,*}, S. Stulp ^b, M.K.R. de Souza ^a, F.F. Hudari ^c, J.R. Gubiani ^d, R.C.G. Frem ^c, M.V.B. Zanoni ^c

- Institute of Chemistry, Federal University of Mato Grosso do Sul, Av. Senador Filinto Muller, 1555, CP 549, CEP 79074-460 Campo Grande, MS, Brazil
 Universidade do Vale do Taquari (Univates), Center of Sciences and Engineering, Lajeado

- São Paulo State University (UNESP), Institute of Chemistry, Araraquara, Brazil
 Instituto de Química de São Carlos, Universidade de São Paulo, CP 780, CEP 13560-970 São Carlos, SP, Brazil

ARTICLE INFO

Article history: Received 6 May 2019 Received in revised form 12 August 2019 Accepted 15 August 2019 Available online 17 August 2019

Keywords: Photoelectrocatalysis Photocatalyst Methanol Ethanol Electron donor agent

ABSTRACT

This work is aimed at investigating the effects of ascorbic acid as sacrificial agent in the photoelectrocatalytic re $duction \ of \ CO_2 \ to \ alcohol. \ The \ results \ show \ that \ the \ addition \ of \ electron \ donor \ agent \ (0.2 \ mol \ L^{-1} \ ascorbic \ acid) \ to$ the electrolyte (0.1 mol L⁻¹ sodium sulfate pH 4.5) led to an improvement of 22% and 12% in CO₂/methanol and CO₂/ethanol conversion respectively, after 3 h of photoelectrolysis conducted on TiO₂ nanotubes decorated with ZIF-8 nanoparticles under $E_{\rm app}=0.1~V$ and UV–Vis irradiation. The photoelectrocatalytic results were compared with photocatalytic, photolytic and electrocatalytic performance. The findings of this work unfold an interesting perspective for the use of sacrificial agent in photoelectrocatalysis and the generation of products of great energetic value from pollutants that cause environmental degradation in systems carried out under constant pressure

© 2019 Elsevier B.V. All rights reserved.

Journal of Environmental Chemical Engineering 9 (2021) 105803



Contents lists available at ScienceDirect

Journal of Environmental Chemical Engineering

journal homepage: www.elsevier.com/locate/jece





Combination of Cu-Pt-Pd nanoparticles supported on graphene nanoribbons decorating the surface of TiO2 nanotube applied for CO2 photoelectrochemical reduction

Marciélli Karoline Rodrigues de Souza a, Eduardo dos Santos Freitas Cardoso a, Guilherme V. Fortunato ⁵, Marcos R.V. Lanza ^b, Carlos Eduardo Nazário ^a, Maria Valnice Boldrin Zanoni ^c, Gilberto Maia ^a, Juliano Carvalho Cardoso ^{a,d,*}

- a Institute of Chemistry, Federal University of Mato Grosso do Sul, Av. Senador Filinto Muller, 1555, CP 549, CEP 79074-460, Campo Grande, MS, Brazil
- São Carlos Institute of Chemistry, University of São Paulo, Av. Trabalhador São-Carlense 400, São Carlos, SP 13566-590, Brazil
 São Paulo State University (UNESP), Institute of Chemistry, Araraquara, SP, Brazil
 Muclear and Energy Research Institute, IPEN-CNEN/SP, São Paulo, SP, 05508000, Brazil

ARTICLE INFO

Editor: Dr. G. Palmisano

Photoelectrocatalysis Photocatalysis Added-value products Methanol Ethanol

ABSTRACT

The photoelectrocatalysis (PEC) technique was applied in CO₂ reduction using different proportions of Cu, Pd, and Pt supported on graphene nanoribbons (GNR) and deposited on the surfaces of ${\rm TiO_2}$ nanotubes. Altogether, nine combinations of TiO2-NT/GNR-metal were assembled, although only three of them efficiently promoted the generation of methanol and ethanol in high quantities. Comparison with the photocatalysis, photolysis, and electrocatalysis techniques showed the extremely high efficiency of PEC, which enabled production of methanol and ethanol at levels around 19.2-fold and 44.4-fold higher, respectively, than photocatalysis, the second most efficient technique. The presence of metallic nanoparticles in the system facilitated CO_2 reduction due to the trapping of the photogenerated electrons, prolonging their lifetime, lowering the reaction energy barrier for CO2 reduction, and provided active intermediates. Therefore, the assembly of these materials containing low amounts of metals is highly promising, since it can assist in alleviating environmental problems caused by CO2 emissions, while at the same time enabling the energetically efficient generation of compounds of commercial value.

Environmental Chemistry Letters (2023) 21:1555–1583 https://doi.org/10.1007/s10311-022-01543-5

REVIEWPAPER



Electrochemical conversion of biomass-derived aldehydes into fine chemicals and hydrogen: A review

Jayaraman Theerthagiri¹·K. Karuppasamy²·Juhyeon Park¹·Nihila Rahamathulla³·M. L. Aruna Kumari⁴·Marciélli K. R. Souza⁵·Eduardo S. F. Cardoso⁵·Arun Prasad Murthy³·Gilberto Maia⁵·Hyun-Seok Kim²·Myong Yong Choi¹o

Received: 11 October 2022 / Accepted: 8 November 2022 / Published online: 23 November 2022 © The Author(s), under exclusive licence to Springer Nature Switzerland AG 2022

Abstract

The decrease in fossil fuel usage and the projected 28% increase in the global energy demand by 2040 are calling for advanced methods to convert modern biomass into fine chemicals. For instance, biomass-derived aldehydes appear as promising substitutes for the chemical and fuel industries. Here, we review electrochemical upgrading of furfural and 5-hydroxymethylfurfural with a focus on catalysis and selectivity mechanisms. We also present hybrid water electrolysis systems for production of hydrogen and chemicals. We discuss electrochemical oxidation or hydrogenation of furfural and 5-hydroxymethylfurfural using metal oxides, noble metals, transition metal nanoparticles and alloys, and nonoxides. We compare electrochemical processes with combustion, chemical, thermochemical, and biochemical processes for biomass conversion.

Keywords Biomass-derived aldehydes · Furfural · 5-Hydroxymethylfurfural · Electrochemical oxidization · Hydrogenation · Hybrid water electrolyzer · Value-added chemicals · Hydrogen fuel

Coordination Chemistry Reviews 513 (2024) 215880



Contents lists available at ScienceDirect

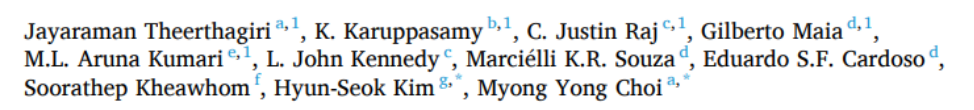
Coordination Chemistry Reviews

journal homepage: www.elsevier.com/locate/ccr



Review

Structural engineering of metal oxyhydroxide for electrochemical energy conversion and storage



- a Core-Facility Center for Photochemistry & Nanomaterials, Department of Chemistry (BK21 FOUR), Research Institute of Natural Sciences, Gyeongsang National University, Jinju 52828, South Korea
- b Department of Chemical and Petroleum Engineering, Khalifa University of Science and Technology, Abu Dhabi 127788, United Arab Emirates

 Department of Physics, School of Advanced Sciences, Vellore Institute of Technology (VIT), Chennai Campus, Chennai 600 127, Tamil Nadu, India
- department of Physics, School of Interactions, records and A.S. Senador Filinto Muller, 1555, Campo Grande, MS 79074-460, Brazil department of Chemistry, The Oxford College of Science, Bengaluru, Karnataka 560102, India

- Department of Chemical Engineering, Faculty of Engineering, Chulalongkorn University, Bangkok 10330, Thailand
 Division of Electronics and Electrical Engineering, Dongguk University-Seoul, Seoul 04620, Republic of Korea

ARTICLE INFO

Keywords: Metal oxyhydroxides Electrocatalysis Electrode materials Energy conversion and storage Hydrogen Production

ABSTRACT

In electrochemical energy conversion and storage (EECS) technologies, developing highly active electrocatalysts and electrode materials with improved electrochemical and cycling activities has been a crucial study for many decades. The metal oxyhydroxides (MOOHs) are robust materials searching for new nanostructured catalysts/ electrodes with enhanced electrochemical performance and desired structural and composite characteristics. Their recent advances in defect engineering are very inspiring. Herein, we discuss the advantages and present the accomplishments of various MOOHs (M = mono-, bi-, and mixed-metal) in EECS systems, including supercapacitors, alkali metal ion batteries, and hydrogen and oxygen evolutions via water electrolysis. We thoroughly discussed the design and synthetic strategies of MOOH with the control of distinct promises for EECS. Additionally, we highlighted useful accessibilities to unravel practical and scientific interpretations in targeting MOOH products for EECS. Finally, we concisely proposed the existing difficulties and directions for future consideration.



Available online at www.sciencedirect.com

ScienceDirect



Review Article

Recent progress on graphene nanoribbon-based electrocatalysts for oxygen reduction reaction



Yogesh Kumar¹, Srinu Akula¹, Marciélli K. R. Souza², Gilberto Maia2 and Kaido Tammeveski1

Graphene nanoribbons (GNRs) have emerged as promising candidates for catalysing the oxygen reduction reaction (ORR) due to their unique structural and electronic properties. This review presents a comprehensive overview of recent advances in utilising GNRs as catalysts or support materials for ORR application and discusses the underlying active sites, synthesis strategies, and optimisation approaches. The synergistic effects between GNRs and dopants, heteroatom substitutions and hybridisation with other materials have also been included. Moreover, experimental studies have elucidated the intricate interplay between GNR structure and the ORR kinetics, providing valuable catalyst design and optimisation insights. This review highlights the potential of GNR-based catalysts for ORR electrocatalysis and underscores the ongoing efforts to overcome existing limitations to realise their applicability in future electrochemical energy conversion technologies.

- Institute of Chemistry, University of Tartu, Ravila 14a, Tartu 50411,
- ² Institute of Chemistry, Federal University of Mato Grosso do Sul, Av Senador Filinto Muller 1555, Campo Grande, MS 79074-460, Brazil

responding author: Tammeveski, Kaido (ka

Current Opinion in Electrochemistry 2024, 47:101554 This review comes from a themed issue on Electrocatalysis (2024)

For complete overview about the section, refer Ele Available online 10 June 2024

ss://doi.org/10.1016/j.coelec.2024.101554

Edited by Pawel J. Kulesza and Iwona Rutkowska

2451-9103/D 2024 Elsevier B.V. All rights are reserved, including those for text and data mining, All training, and similar technologies.

Keywords

Chrygen reduction reaction, Hydrogen peroxide, Graphene nano
ribbons, Heteroatom-doped GNR, Transition metal-doped GNR,
Graphene nanoribbon-supported platinum, Electrocatalysis.

Introduction

In pursuing cleaner and more efficient electrochemical energy conversion technologies, electrocatalysis has become a focus for researchers seeking alternatives to conventional energy conversion and storage systems.

The oxygen reduction reaction (ORR) is important among the critical electrochemical processes, serving as a linchpin in devices such as polymer electrolyte mem-brane fuel cells (PEMFCs) and metal-air batteries [1,2]. However, the sluggish kinetics of the ORR necessitates the development of electrocatalysts capable of accelerating the four-electron reduction pathway.

In this context, graphene nanoribbons (GNRs) have emerged as promising candidates, drawing attention to their unique structure and electronic properties [3]. As 1-dimensional derivatives of graphene, GNRs exhibit distinctive features, such as well-defined edges and tuneable widths, offering opportunities for tailored catalytic applications [4]. The synthesis of GNRs has evolved to provide precise control over their dimensions and edge structures, thereby influencing their electro-catalytic behaviour. Understanding the fundamental electrochemical mechanisms of GNR-based catalysts involves exploring the role of edge sites, defects, heteroatom and transition metal doping, and attachment of other materials [5-11*]. Currently, efforts to enhance the ORR performance focus on structural engineering, surface functionalisation, and hybridisation with other materials, emphasising the creation of synergistic effects for improved electrocatalytic efficiency and stability

This review aims to comprehensively survey the recent advances in utilising GNRs as electrocatalysts for the ORR, shedding light on their synthesis methods, electrochemical mechanisms, and strategies for enhancing their performance. The review is based on the papers published in the last five years. Also, this review delves into the theoretical underpinnings, using computational modelling to elucidate the details of the ORR mecha-nism on GNRs. A general understanding of the structure-activity relationships governing GNR-based electrocatalysts emerges by combining experimental insights with theoretical predictions.

Synthesis of graphene nanoribbons

GNRs can be synthesised using two primary approaches: (i) top-down and (ii) bottom-up methods [12]. Topdown methods typically involve techniques such as unzipping carbon nanotubes (CNTs) [13], slicing graphene [14], and cracking graphite [15]. Among

Current Opinion in Electrochemistry 2024, 47:101554

Journal of Materials Chemistry A



REVIEW

Cite this: DOI: 10.1039/d4ta02891k

Electrochemical strategies for urea synthesis via C-N coupling of integrated carbon oxide-nitrogenous molecule reduction

Jayaraman Theerthagiri,†^a K. Karuppasamy,†^{bc} Gilberto Maia, ¹ † M. L. Aruna Kumari,†^e Ahreum Min,†^a Cheol Joo Moon,†^a Marciélli K. R. Souza,^d Neshanth Vadivel,^f Arun Prasad Murthy, ¹ * Soorathep Kheawhom, ¹ * Akram Alfantazi^{bc} and Myong Yong Choi ¹ * ^a

The electrochemical coupling of C and N has sparked considerable research attention, heralded as a capable method to curb carbon and nitrogen emissions while concurrently storing surplus renewable electricity in valuable chemical compounds such as urea, amides, and amines. Electrocatalytic urea synthesis via a C-N coupling reaction (CNCR) comprises the electroreduction of CO₂ alongside the coreduction of various inorganic nitrogen sources (NO₃⁻, NO₂⁻, N₂, and NO). However, the main hurdles for this electrochemical C-N coupling are the inert nature of the involved molecules and the prevalence of competing side reactions. This review comprehensively examines recent advancements in electrocatalytic C-N coupling, emphasizing the various mechanistic pathways involved in urea production, including the CO₂ reduction and NO₃ reduction reaction. Additionally, electrochemical key performance parameters and future advancement directions for electrocatalytic urea production are discussed. The electrochemical CNCR accomplishes effective resource use and delivers direction and reference for molecular coupling reactions. The insights gleaned from these observations may illuminate the development of effective catalysts in forthcoming research and expand the potential applications in green urea production.

Received 26th April 2024 Accepted 1st July 2024

DOI: 10.1039/d4ta02891k

rsc.li/materials-a

Este trabalho:



This article is licensed under CC-BY 4.0 @ 1

www.acsami.org

Effective Nitrate Electroconversion to Ammonia Using an Entangled Co₃O₄/Graphene Nanoribbon Catalyst

Marciélli K. R. Souza, Eduardo S. F. Cardoso, Leandro M. C. Pinto, Isabela S. C. Crivelli, Clauber D. Rodrigues, Robson S. Souto, Ary T. Rezende-Filho, Marcos R. V. Lanza, and Gilberto Maia*



Cite This: ACS Appl. Mater. Interfaces 2025, 17, 1295–1310



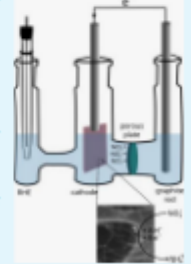
ACCESS

Metrics & More



Supporting Information

ABSTRACT: There has been huge interest among chemical scientists in the electrochemical reduction of nitrate (NO_3^-) to ammonia (NH_4^{-1}) due to the useful application of NH_4^{-1} in nitrogen fertilizers and fuel. To conduct such a complex reduction reaction, which involves eight electrons and eight protons, one needs to develop high-performance (and stable) electrocatalysts that favor the formation of reaction intermediates that are selective toward ammonia production. In the present study, we developed and applied Co₃O₄/ graphene nanoribbon (GNR) electrocatalysts with excellent properties for the effective reduction of NO₃⁻ to NH₄⁻¹, where NH₄⁻¹ yield rate of 42.11 mg h⁻¹ mg_{ca}⁻¹, FE of 98.7%, NO₃⁻ conversion efficiency of 14.71%, and NH₄⁻¹ selectivity of 100% were obtained, with the application of only 37.5 µg cm⁻² of the catalysts (for the best catalyst —Co₃O₄(Cowt %55)GNR, only 20.6 µg cm⁻² of Co was applied), confirmed by loadings ranging from 19–150 µg cm⁻². The highly satisfactory results obtained from the application of the proposed catalysts were favored by high average values of electrochemically active surface area (ECSA) and low R_{ct} values, along with the presence of several planes in Co₃O₄ entangled with GNR and the occurrence of a kind of "(Co₃(Co(CN)₆)₂(H₂O)₁₂)_{1,333} complex" structure on the catalyst surface, in addition to the effective migration of NO₃⁻ from the cell cathodic branch to the anodic branch, which was confirmed by the experiment conducted using a H-cell separated by a Nafion 117 membrane. The in situ ETIR and Raman spectroscopy results that are selective toward ammonia production. In the present study, we developed and applied Co₃O₄/



experiment conducted using a H-cell separated by a Nafion 117 membrane. The in situ FTIR and Raman spectroscopy results helped identify the adsorbed intermediates, namely, NO₃-, NO₂-, NO, and NH₂OH, and the final product NH₄+, which are compatible with the proposed NO₃⁻ electroreduction mechanism. The Density Functional Theory (DFT) calculations helped confirm that the Co₃O₄(Cowt %55)GNR catalyst exhibited a better performance in terms of nitrate electroreduction in comparison with Co₃O₄(Cowt %75), considering the intermediates identified by the in situ FTIR and Raman spectroscopy results and the rate-determining step (RDS) observed for the transition of *NO to *NHO (0.43 eV).

KEYWORDS: Ammonia, nitrate electroreduction, graphene nanoribbon, Co3O4 entanglement

■ INTRODUCTION

With the world facing imminent threats of climate change in our present time, the electrochemical conversion of nitrate (NO₃-) to ammonia (NH₃) has become extremely important to chemical scientists and the society at large, since the product of this conversion process can be used in diverse applications that can contribute to pollution reduction and environmental preservation. Among these applications include the following: (i) NH₃ can be used in nitrogen fertilizers and fuels — green liquid and hydrogen-rich energy carrier, which is carbon-free and easily transportable² — and as chemical precursors;¹ (ii) NO₃ can be electrochemically converted to the nontoxic N₂ gas, which is of great interest to environmental scientists; and (iii) NO₃ electrochemical conversion to NH₃ can be used in place of the Haber-Bosch (H-B) industrial NH3 synthesis process (N₂ + 3H₂ → 2NH₃— synthesis process that requires both high temperature and pressure: 350-550 °C, 150-350 atm⁴), which involves the consumption of a large amount of energy and high carbon emission.^{5,8} NH₃ production under the process involves the consumption of approximately 2% of global energy and the release of nearly 1.8 tons of CO2 per

NH3 ton produced.4 The amount of CO2 released during the preparation of hydrogen gas used in the H-B process is equivalent to nearly 1.5% of global CO₂ released from fossil fuels into the atmosphere. Due to the lower dissociation energy of the N=O bond (only 204 kJ mol-1), theoretically, NO₃ requires low overpotentials to be reduced to NH₃.

NO₃ pollution in the environment is caused by the rampant use of artificial fertilizers, undesirable industrial activities, fossil fuels combustion, and household/human waste accumulated in animals and plants, as well as in surface and underground waters.9 The presence of NO3- in drinking water poses serious risks to human health; these risks include liver damage, cancer, and blue baby syndrome — linked to nitrite anions (NO_2^- , a product derived from NO₃⁻ transformation), 10 particularly

Received: October 23, 2024 Revised: December 7, 2024 Accepted: December 16, 2024

Published: December 27, 2024





© 2024 The Authors. Published by American Chemical Society

https://doi.org/10.1021/acsami.4c18269 ACS Appl. Mater. Interfaces 2025, 17, 1295—1310